

TECHNICKÁ UNIVERZITA V LIBERCI

FAKULTA STROJNÍ

Obor 23-03V Strojní inženýrství

zaměření

Tváření kovů a plastů

Katedra strojírenské technologie

Oddělení tváření kovů a plastů

Vliv morfologie povrchu plechu na rozvoj deformace při tažení výlisků z plechu

**Influence of the morphology of the surface of metal sheets upon the course
of the deformation when drawing stamped metal sheets**

UNIVERZITNÍ KNIHOVNA
TECHNICKÉ UNIVERZITY V LIBERCI

Ing. Pavel Solfronk



3146071303

Vedoucí katedry: Prof. Ing. Jaroslav Exner, CSc.

Školitel: Doc. Ing. Mirko Král, CSc.

Rozsah práce a příloh:

Počet stran: 189

Počet obrázků: 114

Počet tabulek: 41

Počet příloh: 44

KSP
grafy obaly U361 S

Anotace

Téma práce: Vliv morfologie povrchu plechu na rozvoj deformace při tažení výlisků z plechu

Předkládaná disertační práce se zabývá problematikou zpracování žárově pozinkovaných plechů se zvláštní morfologií povrchu. Důraz je kladen na materiály s morfologií povrchu plechu označovanou jako EDT (Electric Discharge Texturing), EBT (Electron Beam Texturing) a PRETEX (Preussag Texturing), které se používají při zpracování v automobilovém průmyslu.

Pomocí tribologické zkoušky je u testovaných materiálů s morfologií povrchu EBT, EDT a PRETEX experimentálně zjišťován koeficient tření pro různé nastavení technologických podmínek. Vliv morfologie povrchu plechu na rozvoj deformace při různých technologických podmínkách je experimentálně zjišťován na jednoduchém i tvarově složitém výlisku.

Rozvoj deformace na výlisku je také zjišťován pomocí numerické simulace s využitím specializovaného programu PAM-STAMPTM, kde je kladen důraz na vliv počátečních podmínek na výsledek simulace. Je vyhodnocena shoda experimentálně získaných výsledků a výsledků získaných pomocí numerické simulace.

Výsledky disertační práce poskytují informace o chování materiálů se zvláštní morfologií povrchu při tažení výlisků z plechu. Výsledků měření lze použít pro zpřesňování výpočtových modelů při analýze deformace výlisku, zvláště pak při použití metody konečných prvků.

Theme of presented work: Influence of the morphology of the surface of metal sheets upon the course of the deformation when drawing stamped metal sheets

The presented thesis is concerned with the problems of processing of hot galvanised metal sheets with a special morphology of the surface. Emphasis is laid upon the materials with the morphology of the metal sheet surface designated as the EDT (Electric Discharge Texturing), EBT (Electron Beam Texturing) and PRETEX (Preussag Texturing), which are used for processing in the automobile industry.

By means of a tribological test, with the tested materials with the surface morphology EBT, EDT and PRETEX there are ascertained experimentally the coefficients of friction for various adjustments of the technological conditions. The influence of the morphology of the metal sheet surface upon the course of the deformation under various technological conditions is ascertained experimentally both with a simple shape piece and with a stamped piece of complicated shapes.

At the same time, the course of the deformation on a stamped piece is ascertained by means of a numerical simulation, too, employing a specialised program PAM-STAMPTM, which accentuates the effect of the initial conditions upon the result of the simulation. There is evaluated the degree of correspondence between the results obtained experimentally and those obtained by means of the numerical simulation.

The results of the thesis provide information upon the conduct of the materials with a special morphology of the surface when drawing stamped metal sheets. The results of the measuring can be employed in order to make more exact the calculation models for the analysis of the deformation of a stamped piece, in particular when employing the method of final elements.

Poděkování:

Touto cestou bych nejprve rád vyjádřil poděkování mému prvnímu školiteli Prof. Ing. Viktoru Mikešovi, CSc., který orientoval mé první kroky v počátku mého doktorandského studia a bohužel se z důvodu dlouhodobé těžké nemoci dokončení mého studia nedožil.

Dále bych chtěl poděkovat školiteli Doc. Ing. Mirko Královi, CSc. a Ing. Lubomíru Rolečkovi kteří mně poskytli cenné rady a připomínky při vypracování mé disertační práce. Chtěl bych také poděkovat své manželce Iloně za trpělivost v průběhu celého mého doktoranského studia.

Obsah

1.	Úvod.....	1
2.	Problematika tažení výlisků nepravidelných tvarů	3
2.1.	Charakteristika výlisků karosářského typu	3
3.	Diagramy mezních přetvoření.....	8
3.1.	Definice diagramů mezních přetvoření	8
3.2.	Diagramy mezních přetvoření stanovené početními metodami	10
3.3.	Určování diagramů mezních přetvoření experimentálním způsobem	11
3.4.	Určování mezního stupně přetvoření	15
4.	Analýza tvářecích procesů z hlediska výpočtu napětí a deformace.....	19
4.1.	Metoda řešení pomocí diferenciálních rovnic rovnováhy.....	19
4.2.	Numerické řešení pomocí metody konečných prvků	25
4.2.1.	Fyzikální a numerické modelování plošného tváření	25
4.2.2.	Základní pojmy mechaniky kontinua	27
4.2.2.1.	Popis kinematiky kontinua	27
4.2.2.2.	Míry deformace tělesa.....	28
4.2.2.3.	Míry napjatosti.....	32
4.2.2.4.	Konjugovanost tenzorů napětí a deformace.....	33
4.2.3.	Přehled základních rovnic mechaniky poddajných těles	34
4.2.3.1.	Zákon zachování hmoty	34
4.2.3.2.	Zákon zachování hybnosti	35
4.2.3.3.	Zákon zachování momentu hybnosti.....	35
4.2.3.4.	Zákon zachování energie	36
4.2.3.5.	Rovnice kompatibility	36
4.2.3.6.	Konstitutivní vztahy.....	37
4.2.3.6.	Počáteční podmínky	37
4.2.4.	Základy metody konečných prvků	38
4.2.5.	Konstitutivní vztah elastoplastického anizotropního materiálu	39
4.2.5.1.	Odvození obecného konstitutivního modelu elastoplastického materiálu	39
4.2.5.2.	Matice elastoplastického chování C^{ep} pro potřeby numerické simulace plošného tváření.....	42
4.2.6.	Numerická integrace elastoplastických konstitutivních vztahů.....	43
4.2.7.	Popis deformace skořepiny – Mindlinova hypotéza	44
4.2.8.	Popis kontaktu s třením	47
4.2.9.	Pohybové rovnice tuhého tělesa podrobeného vazbám	48
4.2.9.1.	Popis polohy a orientace tuhého tělesa	48
4.2.9.2.	Pohybové rovnice pro tuhé těleso	49
4.2.10.	Numerické řešení pohybových rovnic, časová diskretizace	50
5.	Tribologie	54
5.1.	Kontaktní procesy	54
5.2.	Procesy tření	56

5.2.1. Suché tření.....	57
5.2.2. Mezné tření.....	57
5.2.3. Kapalinové tření.....	59
5.2.4. Smíšené tření	60
5.3. Hodnocení geometrie povrchu.....	61
5.4. Tribologické zkoušky.....	66
5.4.1. Modelování tření mezi přidržovačem a tažnicí	67
5.4.2. Modelování tření na tažné hraně.....	68
5.4.3. Modelování vypínání přes tažnou hranu.....	69
5.4.4. Modelování tření mezi přidržovačem, tažnicí a tažnou hanou.....	70
5.4.5. Další způsoby tribologických zkoušek	71
5.5. Morfologie povrchu plechů používaných v automobilovém průmyslu	71
5.5.1. Texturování pracovního válce metodou SBT (Shot Blast Texturing)	72
5.5.2. Texturování pracovního válce metodou EDT (Electric Discharge Texturing).....	73
5.5.3. Texturování pracovního válce metodou LT (Laser Texturing).....	74
5.5.4. Texturování pracovního válce metodou EBT (Electron Beam Texturing).....	75
5.5.5. Texturování pracovního válce metodou PRETEX (Preussag Texturing)	76
6. Cíle experimentální části disertační práce	78
7. Volba materiálů pro prováděné experimenty	79
8. Charakteristika materiálů použitých pro experimenty	81
8.1. Zjištění mechanických hodnot testovaných materiálů.....	81
8.1.1. Statická zkouška tahem	81
8.1.2. Diagramy mezních přetvoření	85
8.1.2.1. Metoda experimentálního modelování DMP	85
8.1.2.2. Vytváření deformační sítě a stanovení hodnot hlavních normálních přetvoření	85
8.1.2.3. Diagramy mezních přetvoření testovaných materiálů	87
8.2. Morfologie povrchu plechu	93
8.2.1. Drsnost povrchu.....	93
8.2.2. Snímky povrchu materiálu.....	98
8.3. Dílčí závěry	100
9. Experimentální zjištění koeficientu tření.....	101
9.1. Metodika měření.....	101
9.2. Podmínky zkoušky.....	104
9.2.1. Rychlosť posuvu.....	104
9.2.2. Kontaktní tlak	104
9.2.3. Použité mazadlo.....	105
9.3. Tribologická zkouška protahováním pásku	107
9.4. Vliv koeficientu tření na velikost tažné síly	121
9.5. Diskuse výsledků měření.....	126
10. Experimentální zjištění vlivu morfologie povrchu plechu na rozvoj deformace při tažení výlisku.....	130

10.1.	Experimentální zjištění deformace materiálu při převládajících posuvech materiálu	130
10.1.1.	Tvar výrobku a stručná charakteristika nástroje pro experiment.....	130
10.1.2.	Experimentální zjištění deformace výtažku.....	131
10.1.3.	Podmínky experimentu	134
10.1.4.	Výsledky měření	135
10.2.	Experimentální zjištění deformace materiálu při převládajícím vypínání materiálu	154
10.2.1.	Princip zkoušky	154
10.2.2.	Podmínky zkoušky	156
10.2.3.	Výsledky měření	156
10.3.	Statistické zpracování a rozbor výsledků měření	158
10.3.1.	Vyhodnocení výsledků deformace zjištěných tažením	158
10.3.1.1.	Vliv přidržovacího tlaku na rozvoj deformace.....	159
10.3.1.2.	Vliv morfologie povrchu plechu na rozvoj deformace	160
10.3.1.3.	Vliv mazadla na rozvoj deformace při tažení výlisku	164
10.3.1.4.	Vliv rychlosti posuvu materiálu na rozvoj deformace.....	165
10.3.2.	Vyhodnocení výsledků deformace zjištěných vypínáním	166
11.	Numerická simulace tažení výlisku	168
11.1.	Stručná charakteristika programu PAM-STAMP TM	169
11.2.	Simulace tažení pláště sacího koše	170
11.2.1	Definice procesu tažení pomocí PAM-Generis TM	170
11.2.2.	Vlastní numerická simulace tažení	173
11.2.3.	Vyhodnocení výsledků numerické simulace	173
11.3.	Vyhodnocení výsledků simulace	182
12.	Deformace zjištěná na výlisku nepravidelného tvaru	183
13.	Diskuse výsledků disertační práce	186
14.	Závěr	189
	Seznam použité literatury	190
	Seznam publikační činnosti	

Keywords-Klíčová slova

Morphology	morfologie
Surface	povrch
hot galvanised	žárové pokovení
Electric Discharge Texturing	texturování pomocí elektrického výboje
Electron Beam Texturing	texturování pomocí elektronového paparsku
Viscosity	viskozita
Tool	nástroj
Diffusion	difuze
Tensile test	zkouška tahem
Deformation	deformace
numerical simulation	numerická simulace
deep drawing	hluboké tažení

Seznam použitých zkrátek a symbolů

Označení

Rozměr

Význam

Prohlášení

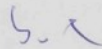
Byl jsem seznámen s tím, že na mou diplomovou (*bakalářskou, doktorskou*) práci se plně vztahuje zákon č. 121/2000 o právu autorském, zejména § 60 (Školní dílo) a § 35 (o nevýdělečném užití díla k vnitřní potřebě školy).

Beru na vědomí, že TUL má právo na uzavření licenční smlouvy o užití mé práce a prohlašuji, že **souhlasím** s případným užitím mé práce (prodej, zapůjčení apod.).

Jsem si vědom toho, že užit své diplomové (*bakalářské, doktorské*) práce či poskytnout licenci k jejímu využití mohu jen se souhlasem TUL, která má právo ode mne požadovat přiměřený příspěvek na úhradu nákladů, vynaložených univerzitou na vytvoření díla (až do jejich skutečné výše).

Datum 20. 3. 2003

Podpis



S

Pa

2.Piolův-Kirchhofův tenzor napěti, transformační maticy

Seznam použitých zkratek a symbolů

Označení	Rozměr	Význam
A	%	tažnost
b	m	šířka
B	1	levý Cauchyho tenzor deformace
C	1	konstanta úměrnosti
c_d	$m s^{-1}$	rychlosť šíření napěťové vlny
C	1	pravý Cauchyho tenzor deformace
C	Pa	tenzor elastických konstant
C^{ep}	Pa	tenzor elastoplastických vlastností
C^{ep}	Pa	matice elastoplastického chování
C	1	matice tlumení
^t C		aktuální konfigurace
⁰ C		referenční konfigurace
D	s^{-1}	tenzor rychlosti deformace
^r D	s^{-1}	rotovaný tenzor rychlosti deformace
D		Jacobiho matice vazeb
e _{ijk}	1	Levi-Civitův tenzor
E	1	Lagrangeův tenzor deformace
E'	1	Almanasiho tenzor deformace
E	Pa	Yangův modul pružnosti
F	1	Deformační gradient
F	$N m^{-1}$	intenzita objemových sil
F	Pa^2	funkce plasticity
F	1	parametr Hillovy podmínky plasticity
F _p	N	přidržovací síla
G	1	parametr Hillovy podmínky plasticity
G	1	Greenův tenzor deformace
h _i	m	tloušťka v i-tém uzlu
H	1	parametr Hillovy podmínky plasticity
H _p	Pa	modul zpevnění
I	1	jednotkový tenzor
j	1	Jacián
u	mm	pole posuvu
K	J	kinetická energie
K	$N m^{-1}$	matice tuhosti
L	s^{-1}	gradient rychlosti deformace
L	1	parametr Hillovy podmínky plasticity
M	kg	matice hmotnosti
n	1	exponent deformačního zpevnění
p	Pa	přidržovací tlak
q		vektor zobecněných posuvů
r	1	součinitel normálové anizotropie
r	1	polohový vektor v kartézkých souřadnicích
R	1	tenzor rotace(spin)
S	Pa	deviátor napětí
S	Pa	2. Piolův-Kirchhofův tenzor napětí, transformační matice

s		směrodatná odchylka výběru
U	1	pravý tenzor
U	J	vnitřní energie
v	$m, m s^{-1}$	složka posuvu, rychlosť posuvu
w	m	složka posuvu
W	1	tenzor rychlosťi rotace
x_0	mm	poloha častice kontinua v aktuálni konfiguraci
Y	mm	poloha častice kontinua v referenčni konfiguraci
α	$^\circ$	úhel
α	1	podíl hlavních napětí
δ_{ij}	1	Kroneckerovo delta
$\hat{\partial}$	m	průměr vektoru
ε	1	poměrná deformace
ε	1	infinitesimální tenzor deformace
ε^e	1	elastická část infinites. tenzoru deformace
ε^p	1	plastická část infinites. tenzoru deformace
ε_i	1	intenzita poměrné deformace
ε_p	1	kumulativní plastická deformace
ε	1	logaritmický tenzor deformace v referenční konfiguraci
φ		pole veličiny
φ	1	natočení, logaritmická deformace
Φ		funkční hodnoty v uzlech
λ_i		i-té vlastní číslo
λ		Lagrangeův multiplikátor
μ	1	součinitel tření
ν	1	Poissonovo číslo
σ	Pa	skutečné, Cauchyho napětí
$\tau\sigma$	Pa	korotovaný tenzor napětí
$^{GN}\dot{\sigma}$	$Pa s^{-1}$	Greenova-Naghdiova rychlosť tenzoru napětí
$^J\dot{\sigma}$	$Pa s^{-1}$	Jaumannova rychlosť tenzoru napětí
$^O\dot{\sigma}$	$Pa s^{-1}$	Oldreova rychlosť tenzoru napětí
$^{Tr}\dot{\sigma}$	$Pa s^{-1}$	Truesdellova rychlosť tenzoru napětí
τ	Pa	1. Piolův-Kirchhofův tenzor napětí
ω	s^{-1}	vlastní frekvence
∇u	1	materiálový gradient posuvu
$\overline{\nabla} u$	1	prostорový gradient posuvu
x,y,z	m	globální kartézské souřadnice
ξ, η, ζ	m	lokální kartézské souřadnice
r,s,t	1	izoparametrické souřadnice
ψ, θ, φ	1	Eulerovy úhly 313
EDT		Electric Discharge Texturing
EBT		Electron Beam Texturing
Pretex		Preussag Texturing
MKP		metoda konečných prvků
KMP		křivka mezních přetvoře

1. ÚVOD

Tváření plechu se používá pro výrobu kovových součástí ve všech průmyslových oborech. Velký význam této technologie v průmyslové výrobě souvisí s tím, že umožňuje zhotovení součástí nejrůznějších tvarů, roviných nebo prostorových, jakož i součástí nejrůznějších velikostí. Výhodou takto zhotovených součástí je kvalitní povrch, vysoká přesnost předepsaných rozměrů a poměrně vysoká tuhost při minimální váze součásti. V případě tváření za studena se také dociluje zvýšení meze kluzu, meze pevnosti a meze únavy v závislosti na stupni přetvoření [1].

Požadovaná změna tvaru a rozměrů výchozího materiálu vznikne účinkem vnějších sil, které způsobí plastickou deformaci některé nebo převážné části objemu tvářené součásti. Plasticky přetvořená oblast může být obklopena elasticky deformovanou oblastí nebo ohraničena elasticky deformovanými a nedeformovanými oblastmi, které ovlivňují průběh deformace v sousední plastické oblasti. Při tváření plechů je tloušťka stěny zpravidla malá ve srovnání s ostatními rozměry tvářené součásti, takže změna tloušťky stěny je mnohem menší než změny rozměrů plasticky přetvořené oblasti v obou zbývajících směrech.

Zdokonalení tvářecího postupu mnohdy předpokládá navržení vhodné úpravy tvářecích podmínek, např. změnu stupně přetvoření při jedné tvářecí operaci, změnu deformační rychlosti, změnu mazání, změnu geometrie tvářecího nástroje nebo volbu jiného výchozího materiálu, popřípadě jeho vhodnou povrchovou úpravu. Při stanovení tvářecích podmínek nových tvářecích postupů dnes již nevystačíme s dosavadními empirickými metodami, založenými na extrapolaci předchozích praktických zkušeností. Vzhledem k tomu, že konečná kvalita tvářeného výrobku je ovlivněna velkým množstvím faktorů, je třeba kombinovat praktické zkušenosti s teoretickým rozborom uvažovaného tvářecího postupu. S ohledem na vliv všech zúčastněných vlivů je přesný teoretický výpočet deformace a napjatosti tvářené součásti velmi obtížný. Z těchto důvodů se zavádí určité zjednodušující předpoklady, které se mohou pro jednotlivé tvářecí operace značně lišit. Výsledek výpočtu je tím cennější, čím víc se přiblíží skutečnému postupu, tj. čím větší byl počet uvažovaných tvářecích faktorů.

Teoretický rozbor tvářecího postupu při zvolené kombinaci tvářecích faktorů se zaměřuje především na:

- určení přetvárných sil, jejichž znalost je nutná pro správné navržení tvářecího stroje a nástroje,

- určení přípustného stupně přetvoření při jedné tvářecí operaci, které má vliv na počet operací při zhотовování dané součásti,
- snížení případné zmetkovitosti vlivem nedodržení předepsaných rozměrových tolerancí, kvality povrchu, mechanických vlastností v určitých místech výrobku a velikosti zbytkových napětí.

Při výpočtech napjatosti plasticky přetvořené oblasti se zpravidla vychází ze základních rovnic teorie plasticity. Ze složkových podmínek rovnováhy daného objemového elementu lze odvodit diferenciální rovnice rovnováhy, jež obsahuje hledané složky napjatosti. Tyto rovnice lze vyjádřit v kartézských, cylindrických nebo sférických souřadnicích, přičemž volba vhodných souřadnic záleží na tvaru plasticky přetvořené oblasti. Řešení složitých diferenciálních rovnic rovnováhy je spojeno s velkými matematickými obtížemi a je poměrně časově náročné. S masivním nasazením výpočetní techniky ve strojírenském průmyslu je dnes již zcela běžné, že k řešení této úlohy se využívá numerická simulace založená na metodě konečných prvků.

V současné době v celosvětovém měřítku dominantní místo v oblasti zpracování plechů zaujímá automobilový průmysl. Jedná se především o jednotlivé díly karoserie, které ovšem představují z výrobního hlediska jedny z nejsložitějších výrobků. Vzhledem k tomu, že v posledních letech značně vzrostly požadavky spotřebitelů na protikorozní ochranu automobilových karoserií, nacházejí stále větší využití v automobilovém průmyslu ocelové plechy s povlakem zinku. Snahou výrobců plechů pro automobilový průmysl je vyrobit materiál splňující kriteria bezproblémové lisovatelnosti, dobré korozní odolnosti a v neposlední řadě splňující kriterium vytvoření kvalitního laku. Z uvedených důvodů se výzkum výrobců plechů určených pro automobilový průmysl zaměřil na materiály se „zvláštní“ morfologií povrchu plechu, vyhovující náročným požadavkům zpracovatele plechu.

V rámci zjištění vlivu morfologie povrchu plechu na rozvoj deformace při tažení výlisků je předkládaná práce zaměřena na následující oblasti:

- charakteristika výlisků nepravidelných tvarů,
- hodnocení morfologie povrchu plechu s různou povrchovou texturou
- vliv morfologie povrchu plechu na koeficient tření
- příklad vlivu morfologie povrchu plechu na rozvoj deformace při tažení výlisků
- možnost využití numerické simulace v oblasti tažení výlisků

2. PROBLEMATIKA TAŽENÍ VÝLISKŮ NEPRAVIDELNÝCH TVARŮ

Tažení výlisků nepravidelných tvarů, jejichž klasickým představitelem jsou výlisky karosářského typu, představuje z technologického hlediska širokou problematiku výrazně se odlišující od problematiky hlubokého tažení jednoduché rotační nádoby. Jde převážně o výlisky složitých prostorových tvarů při jejichž výrobě se uplatňují, na rozdíl od hlubokého tažení, jak posuvy, tak i vypínání tvářeného materiálu. Výlisky nepravidelných tvarů je možné z hlediska jejich prostorového tvaru rozdělit do dvou základních skupin:

1. Ploché výlisky, při jejichž vzniku se uplatňuje převážně vypínání a méně posuvy.
2. Výlisky se složitým prostorovým tvarem a s velkou hloubkou tažení, při jejichž vzniku se uplatňuje především posuv materiálu a méně vypínání.

Vzhledem k tomu, že se jedná o výlisky nepravidelných tvarů, jejichž tvar se mění v závislosti na konstrukci a tvaru karoserie, je nutno vždy znova řešit základní otázky technologie tažení daného dílu. Řešením často nebývají ani teoretické výpočty, ani doposud získané praktické zkušenosti. Při globálním pohledu na uvedenou problematiku, jako na systém vzájemného působení mnoha faktorů, se ukáže její náročnost. Základní faktory ovlivňující řešenou problematiku jsou:

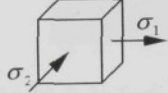
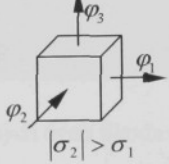
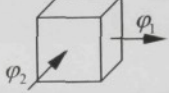
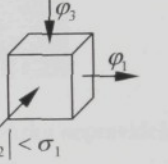
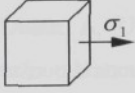
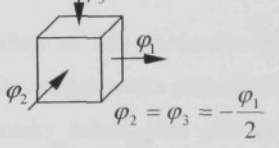
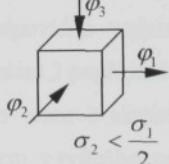
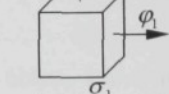
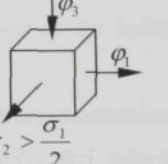
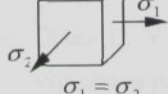
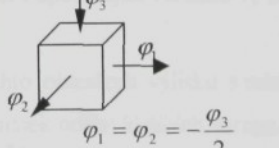
1. Tvářený materiál-plech.
2. Navržený tvar výlisku a nástřihu.
3. Vzájemná interakce nástroj-plech.
4. Funkce soustavy stroj-nástroj.

2.1. CHARAKTERISTIKA VÝLISKŮ KAROSÁŘSKÉHO TYPU

Výtažek je tvořen ve většině případů křivočarými plochami a jeho obrys je nepravidelný a složitý. Při vzniku těchto výlisků se uplatňují přetvoření jak posuvem (přes tažnou hranu tažnice), tak vypínáním (např. plech intenzivně brzděn pod přidržovačem). Tyto dva způsoby jsou krajní polohy přetvoření plechu, ke kterým dochází při výrobě výlisku. Nutno podotknout, že při praktickém lisování se oba tyto mezní případy objevují současně se vzájemným proměnným podílem, v závislosti na tvaru výlisku a technologických podmínek tažení. Pro daný typ výlisku je pak důležité zvolit vhodný podíl posuvů a vypínání. Při tažení hlubšího výlisku je nutné uvolnit plech z oblasti přidržovače a snížit tím podíl vypínání, aby byl zajištěn dostatek materiálu pro vytvoření požadovaného tvaru výlisku. Důsledkem

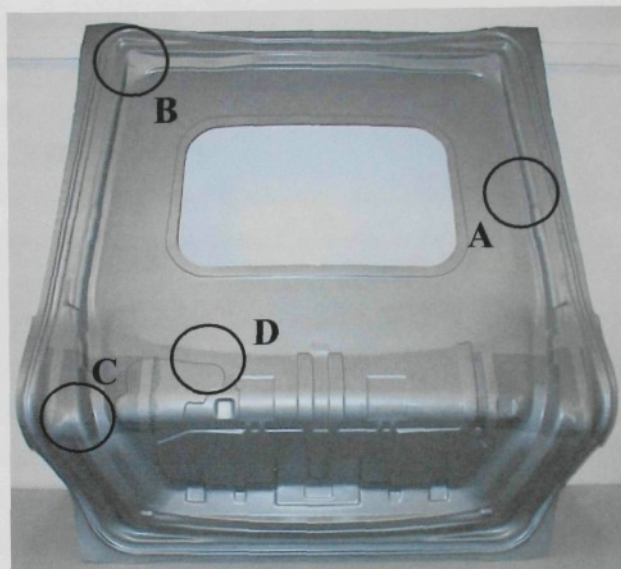
takového zásahu je menší zpevnění materiálu. Pro mělké výtažky je vhodnější posuv materiálu do tažnice více brzdit. Při tomto způsobu tváření dojde k většímu přetvoření, tím i k většímu zpevnění materiálu a plocha výlisku pak bude mít větší pevnost. Intenzivní brzdění však může způsobit nárůst tahového napětí, které může překročit mez pevnosti materiálu a způsobit vznik trhliny. Z úvahy vyplývá důležitost optimální volby poměru posuvu a vypínání pro konkrétní výlisek.

Obrys výtažku je ve většině případů nepravidelný a složitý. Složitými prostorovými plochami je tvořena nejen pracovní část tažníku a tažnice, ale i přidržovače. Stavy napjatosti a přetvoření jsou na výlisku rozloženy nerovnoměrně a materiál je tak při výrobě podroben komplexnímu přetvoření, které zahrnuje jak hluboké tažení a vypínání, tak i ohýbání a opětovné rovnání, rozšiřování a lemování. Schémata stavů napjatosti a přetvoření uplatňující se při tažení výlisků nepravidelných tvarů jsou na obr. 2.1.1.

	napjatost	přetvoření		
1		 $ \sigma_2 > \sigma_1$	 $\sigma_2 = -\sigma_1$	 $ \sigma_2 < \sigma_1$
2		 $\varphi_2 = \varphi_3 = -\frac{\varphi_1}{2}$		
3		 $\sigma_2 < \frac{\sigma_1}{2}$	 $\sigma_2 = \frac{\sigma_1}{2}$	 $\sigma_2 > \frac{\sigma_1}{2}$
4	 $\sigma_1 = \sigma_2$	 $\varphi_1 = \varphi_2 = -\frac{\varphi_3}{2}$		

Obr. 2.1.1. Schémata stavů napjatosti a přetvoření uplatňující se při tažení výlisků

Příklady uvedených stavů napjatosti a přetvoření, které se uplatňují při tažení výlisků karosářského typu, lze vidět na obrázku obr.2.1.2., kde je vidět výlisek pátých dveří Škoda Octavia.



Obr.2.1.2. Výlisek pátých dveří Škoda Octavia, představitel výlisku nepravidelného tvaru

- Oblast A. Uplatňují se zde především posovy s ohybem a narovnáním za tažnou hranou. Stavy napjatosti a přetvoření jsou blízké variantě 2 na obr.2.1.1.
- Oblast B. Podmínky tažení jsou zde podobné jako při hlubokém tažení rotačních nádob, tzn. převládají posovy. Stavy napjatosti a přetvoření pod přidržovačem odpovídají variantě 1, za tažnou hranou a na boční stěně odpovídají variantám 2 popřípadě 3
- Oblast C. Jde o tvarově složitou oblast, kde v důsledku omezeného styku plechu s nástrojem v průběhu tažení (zejména v počáteční fázi tažení) a při stavech napjatosti odpovídající variantě 1, může dojít k ztrátě stability a vzniku vln
- Oblast D. V těchto oblastech výlisku s místními prolisy jednoznačně převládá vypínání za podmínek odpovídajících variantám 3 a 4 na obr. 2.1.1

K technologickým zvláštnostem tažení výlisků nepravidelných tvarů patří i to, že plocha výlisku je mnohem větší než plocha která se nachází v oblasti přidržovače. Tuto

skutečnost je možno považovat za určující z hlediska volby technologických podmínek tažení. Další specifické zvláštnosti tažení výlisků karosárského typu je možno shrnout v těchto bodech:

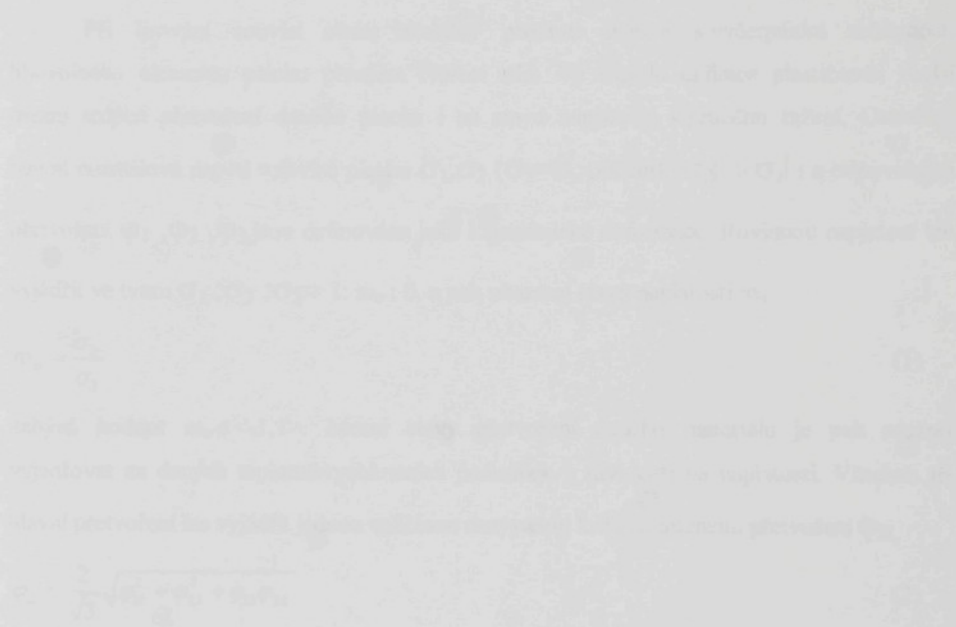
1. K přetvoření plechu dochází za působení převážně tahových napětí, tlaková napětí se objevují především v oblasti přidržovače. V prvních fázích tažení se však tlaková napjatost může objevit i mimo přidržovač a může způsobit nežádoucí vznik vln.
2. Pro získání kvalitního výlisku bez vln je třeba v oblasti přidržovače nebo tažné hrany plech intenzivně brzdit. Intenzita brzdění je zpravidla po obvodě výlisku proměnná.
3. Velké rozměry výlisku a členitost jeho tvaru často neumožňuje ovlivnit průběh tažení v oblasti přidržovače a je proto nutné použít technologické otvory a prolisy v nástřihu.
4. Úspěšné tažení lze zajistit i vhodným tvarem plochy přidržovače, lisovací polohou v nástroji a často je i nutné seskupení výlisků.
5. Konečná úprava tažného nástroje a volba technologických podmínek je prováděna v rámci tzv. zpracování nástroje, kdy je stanoven i definitivní tvar a rozměry nástřihu včetně volby jakosti zpracovávaného plechu.

Obecně lze konstatovat, že doplňkové technologické zásahy mají přispět k vytvoření příznivějšího stavu napjatosti a stupně přetvoření v kritických místech výtažku, čímž se docílí vyššího využití tvárnosti daného materiálu a celkové zvýšení efektivnosti tažení. Nerespektování již zmíněných zvláštností při tažení výlisků karosárského typu může vést k narušení bezproblémového tažení a lze předpokládat vznik zmetků, které se projevují v následujících podobách:

1. Lokalizace přetvoření, která vede v nejvíce přetvořené oblasti výlisku k tvárnému lomu v důsledku vyčerpání plasticity materiálu,
2. Porušení výlisku, vznik trhliny, způsobené překročením pevnosti materiálu v tahu mimo ohnisko přetvoření,
3. Zvlnění plechu jako projev nestability při působení tlakových napětí,
4. Výskyt povrchových vrásek, zadírání při styku plechu s nástrojem, otlaky, otřepy, vyboulení, propadliny, atd.
5. Nedodržení tvarové a rozměrové přesnosti

Za nejzávažnější lze označit případy vzniku trhlin na výliscích. Výlisek je však lisovatelný v případě, že jsou vyřešeny všechny uvedené problémy. Pro analýzu kritických oblastí výlisku

se často používá metoda povrchových deformačních sítí s jejíž pomocí se určí velikost přetvoření ve sledované oblasti a tyto hodnoty se porovnávají s mezními hodnotami přetvoření zachycenými formou diagramu mezních přetvoření.



Tento přístup je však dle mnoha odborníků nevhodný pro využití v průmyslu. K rozdílu DSCF lze dojít k kvantitativnímu vyhodnocení (počítání hodnoty plochovosti) a stave zjednodušit. Využití výše uvedeného grafu je však možné i v tomto případě. K určení diagramu mezních hodnot je nutné využít základního počtu mezních plochovostí, které byly zjištěny při poprvé klasifikací (DSCF). Tato klasifikace je však v průmyslu využívána jen výjimečně, protože využití klasifikace je významně složitější a náročnější než využití výše uvedeného grafu. Tento výhodný charakter grafu je využíván v mnoha aplikacích. Na výše uvedeném grafu je možné využít například hodnoty zpravidla výsledků měření mezních hodnot, aby klasifikaci měření využít pro posuvkování plochovostí. Tento graf je použit pro

3. DIAGRAMY MEZNÍCH PŘETVOŘENÍ [2,3]

3.1. DEFINICE DIAGRAMŮ MEZNÍCH PŘETVOŘENÍ

Při lisování souvisí ztráta stability procesu tváření s vyčerpáním schopnosti libovolného elementu plechu přenášet tvářecí sílu. Ve smyslu definice plastičnosti závisí mezní stupeň přetvoření daného plechu i na stavu napjatosti v průběhu tažení. Označme hlavní normálová napětí v rovině plechu σ_1, σ_2 ($\sigma_3=0$, přičemž $|\sigma_2| \leq |\sigma_1|$) a odpovídající přetvoření $\varphi_1, \varphi_2, \varphi_3$ jsou definována jako logaritmické deformace. Rovinnou napjatost lze vyjádřit ve tvaru $\sigma_1 : \sigma_2 : \sigma_3 = 1 : m_\sigma : 0$, a pak ukazatel stavu napjatosti m_σ

$$m_\sigma = \frac{\sigma_2}{\sigma_1} \quad (1)$$

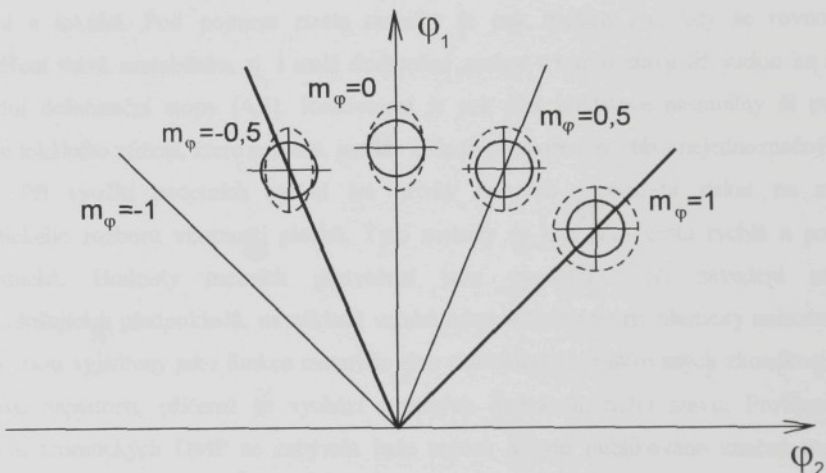
nabývá hodnot $m_\sigma \in <-1,1>$. Mezní stavy přetvoření daného materiálu je pak možno vyjadřovat za daných teplotně-rychlostních podmínek v závislosti na napjatosti. Všechna tři hlavní přetvoření lze vyjádřit jednou veličinou nazývanou kritická intenzita přetvoření Φ_{ik} ,

$$\varphi_{ik} = \frac{2}{\sqrt{3}} \sqrt{\varphi_{1k}^2 + \varphi_{2k}^2 + \varphi_{1k}\varphi_{2k}} \quad (2)$$

Tímto přístupem lze získat Diagram Mezních Přetvoření (DMP) v souřadnicích $m_\sigma - \varphi_{ik}$. K získání DMP lze dojít i kratší cestou než přes výpočet intenzity přetvoření (ze známých hodnot přetvoření) a stavu napjatosti spočteného pomocí vztahů mezi tenzory napětí a přetvoření. K určení diagramu mezních přetvoření lze bezprostředně využít zjištěné hodnoty hlavních normálních přetvoření $\varphi_{1k}, \varphi_{2k}$. S touto myšlenkou přišli poprvé Keeler (1965) a Goodwin (1968), kdy byl poprvé představen diagram mezních přetvoření jako závislost největšího přetvoření (major strain) φ_1 na nejmenším přetvoření φ_2 v rovině plechu. Jednotlivé stavy napjatosti charakterizované opět ukazatelem m_σ (pro prosté zatěžování $m_\sigma = \text{konst.}$) jsou v tomto diagramu představovány paprsky vycházejícími z počátku souřadného systému. Tedy i diagram s těmito souřadnými osami vyjadřuje závislost mezních deformací na napjatosti. Na výlisku nelze obecně určit přímo velikost napětí. Je však možné pomocí deformační sítě bezprostředně změřit hodnoty přetvoření jako následek působící napjatosti. Je výhodné pro proporcionální přetvoření definovat ukazatel stavu přetvoření m_φ vztahem (3)

$$m_\varphi = \frac{\varphi_2}{\varphi_1}$$

je zřejmé, že ukazatel stavu přetvoření m_φ leží ve stejném intervalu jako ukazatel m_σ čili $m_\varphi \in [-1, 1]$. Vzhledem k těmto skutečnostem bude ve vztahu ke komplexní analýze přetvoření výhodné používat výhradně DMP v souřadnicích $\varphi_2 - \varphi_1$ a používat ukazatele m_φ namísto m_σ . Praktické zkušenosti ukázaly, že ke vzniku trhlín na výliscích dochází při stavech přetvoření ohraničených hodnotami $m_\varphi = -0,5$ a $m_\varphi = 1$. V tomto rozsahu je pak nutné při sestavování diagramů mezních přetvoření modelovat stavy přetvoření. Grafické znázornění této oblasti je vidět na obr.3.1.1.



Obr.3.1.1: Stavy přetvoření v DMP charakterizované ukazatelem m_φ

Velikost mezních deformací je dána nejen plastičností plechu, ale je i výrazně závislá na způsobu definování mezního stavu. Za ten lze považovat na jedné straně dosažení meze pevnosti materiálu, na druhé straně je to porušení plechu tvárným lomem. K určení DMP je proto nutné získat množství hodnot mezních přetvoření v rozsahu příslušných stavů m_φ pro zvolený mezní stav v daném intervalu. Modelovat různé stavy m_φ lze experimentálně či početně, je-li vytvořen matematický model chování příslušného materiálu. Podle DMP lze hodnotit plastické vlastnosti dvou porovnávaných materiálů, či využít tento diagram ke komplexní analýze přetvoření výlisku.

3.2. DIAGRAMY MEZNÍCH PŘETVOŘENÍ STANOVENÉ POČETNÍMI METODAMI

Proces plastického přetvoření plechu platný obecně pro jakýkoliv výlisek je v podstatě procesem postupné lokalizace přetvoření, zužování plasticky přetvářených oblastí, což v konečné fázi přetvoření vede ke vzniku tvárného lomu.

Ve studiích zabývajících se lokalizací plastického toku materiálu se používá řada výrazů popisujících tyto děje. Je to např. „zužování“ (necking), termoplastické smykové pásy, ztráta stability a teorie rozdvojení (bifurcation). Zužování je pozorovatelné např. při zkoušce tahem při dosažení maximální síly. Vlastní zužování se prakticky ještě rozděluje na tzv. difúzní a lokální. Pod pojmem ztráta stability je pak myšlen jev, kdy se rovnoměrné přetvoření stává nestabilním, tj. i malé dodatečné změny v tomto stavu již vedou ke změně původní deformační stopy [4,5]. Rozdvojení je pak jiná představa nestability či počátku vzniku lokálního zúžení, které nastane, jestliže způsob přetvoření se stává nejednoznačným.

Při využití početních metod lze křivky mezních přetvoření získat na základě teoretického rozboru vlastností plechů. Tyto metody se jeví jako cesta rychlá a poměrně jednoduchá. Hodnoty mezních přetvoření jsou vypočteny, při zavedení určitých zjednodušujících předpokladů, na základě vztahů odvozených z teorie plasticity anizotropního tělesa. Jsou vyjádřeny jako funkce materiálových charakteristik zjištovaných zkouškou tahem a stavu napjatosti, přičemž se vychází z různých definic mezního stavu. Problematikou výpočtu teoretických DMP se zabývala řada autorů a bylo publikováno značné množství odborných článků a knih. Z tohoto důvodu zde nebude uveden podrobnější rozbor DMP. V současné době patří mezi nejrozšířenější následující matematické modely (početní metody) pro výpočet mezních přetvoření:

1. Metoda spočívající na matematickém určení okamžiku ztráty stability na mezi pevnosti, tzv. teoretické Goodwin-Keelerovy diagramy mezních přetvoření.

Pro „levou“ část DMP je uvažována podmínka lokální ztráty stability a pro „pravou“ část je uvažována podmínka difúzní ztráty stability. Odvození pro výpočet křivek mezních přetvoření vychází z prací řady autorů, kteří se danou problematikou zabývali [6,7,8].

2. Metoda vycházející z faktu, že materiál obsahuje výchozí nehomogenity zapříčinující vznik lokálních ztenčení, jež vedou k porušení, tzv. MK teorie. Tuto metodu výpočtu mezních přetvoření plechu v podmírkách rovinné napjatosti v důsledku lokálního zmenšení tloušťky vytvořili Marciak a

Kucziňsky [9]. Marciňákovu pojetí ztráty stability má velice blízko k realitě plastického přetvoření skutečného plechu. Vlastní výpočet vychází z předpokladu existence počáteční nerovnoměrnosti tloušťky nebo jiné nehomogeneity v materiálu, které během tváření zapříčiňují vznik ztenčených oblastí [10].

3. Metoda vycházející z existence vměstků v materiálu, kolem nichž se tvoří dutiny, jejichž postupným spojením dojde k porušení, tzv. křivka přetvoření dle Ghosche. Tato metoda výpočtu vychází z druhé krajní polohy definice mezního stavu-dosažení tvárného lomu. Tento postup výpočtu odvodil A.K. Ghosh [11], který vycházel z poznatků o mechanizmu tvárného lomu. Lomové kriterium ztráty stability v podstatě vymezuje mezní hodnoty vnitřních parametrů vedoucí k rozsáhlé koalescenci vnitřních dutin v celém průřezu materiálu [11,12].

Používané vztahy vycházejí z množství zjednodušujících předpokladů, které nemusí být vždy obecně platné pro všechny materiály a podmínky přetvoření. Teoretické předpoklady řešení jsou často příliš vzdálené od skutečnosti a zatím ani nemohou konkrétní realitu postihnout. Odvozené vztahy dost obtížně berou v úvahu i takové důležité faktory jako jsou rychlosť přetvoření, tloušťka plechu, historie přetvoření, podmínky tření a mnoho dalších. Rovněž srovnání vypočtených křivek vycházejících ze stejného kriteria mezního stavu je velice problematické v důsledku určité nejednotnosti metodik určování základních materiálových charakteristik. Z výše uvedených důvodů je použití teoretických křivek mezních přetvoření pro analýzu deformace skutečného výlisku diskutabilní. Pro řešení praktických problémů proto používají diagramy mezních přetvoření získané experimentální metodou.

3.3. URČOVÁNÍ DIAGRAMŮ MEZNÍCH PŘETVOŘENÍ EXPERIMENTÁLNÍM ZPŮSOBEM

K určení diagramu mezních přetvoření je nutné získat množství hodnot mezních přetvoření, vždy dvojic $[\varphi_{2k}; \varphi_{1k}]$, v rozsahu stavů přetvoření $m_\varphi \in (-0,5; 1)$, při dané definici mezního stavu. V tomto případě nikoli matematickým modelováním, ale experimentálním způsobem. Původním postupem uplatněným Keelerem (zjištováním mezních přetvoření na různých typech výlisků) je získání DMP značně náročné, pracné, zdlouhavé a s větším rozptylem získaných mezních přetvoření. Mnohem výhodnější je experimentální modelování

stavů přetvoření m_ϕ v laboratorních podmínkách, např. s využitím trhacích strojů pro zkoušku tahem, zařízení pro hydraulickou zkoušku, či jiným ze speciálních nástrojů. Zmíněné postupy se navzájem liší složitostí, nároky na zkušební zařízení, tvarem a provedením zkušebních vzorků a úplností výsledků, které poskytují. Nejvíce rozšířené a všeobecně známé zkoušky jsou:

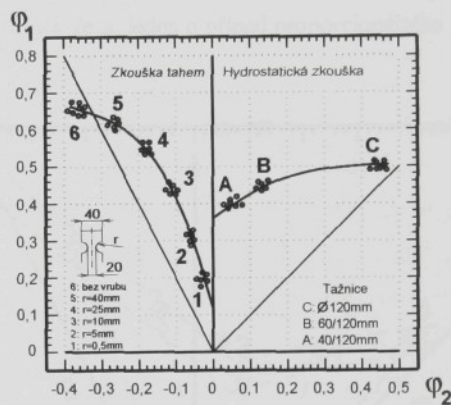
- Zkouška tahem tyčí opatřených rozmanitými vruby.
- Zkouška hydrostatická s kruhovou či eliptickou tažnicí.
- Zkouška hloubením plechu tažníky různých poloměrů.
- Zkouška vypínání zkušebních těles s vystrženými kruhovými segmenty proměnného poloměru.
- Zkouška vypínání zkušebních těles v podobě pruhů proměnné šíře (tzv. Nakazimova metoda).
- Zkouška vypínání tvarových nástříhů s vystrženými kruhovými segmenty konstantního poloměru polokulovým tažníkem.

Při zkoušce tahem tyčí opatřených vrub se různé stavy přetvoření modelují právě rozličnými tvary vrubů. Příprava vzorků není složitá a přetvoření lze jednoduše realizovat na trhacím stroji. Jedním z nedostatků tohoto postupu je, že lze modelovat jen stavy přetvoření odpovídající pouze „levé“ straně DMP.

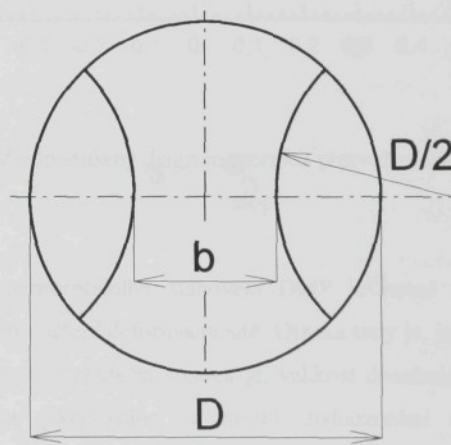
Při zkoušce hydrostatické se rozmanitých stavů přetvoření dosahuje použitím eliptických tažnic s proměnnou velikostí hlavních os. Příprava kruhových vzorků je velmi jednoduchá, mnohem větší nároky jsou však kladený na zhotovení sady eliptických tažnic a speciálního zkušebního zařízení. Nedostatkem tohoto postupu pak je, že lze naopak modelovat jen stavy přetvoření odpovídající „pravé“ straně DMP. K získání úplného DMP v požadovaném rozsahu přetvoření $m_\phi \in (-0,5; 1)$ je tedy nutno obě tyto metody kombinovat. Diagram mezních přetvoření získaný popsanou kombinací zkoušek je vidět na obr.3.3.1. Nevýhodou tohoto přístupu je jednak nutnost kombinace dvou zásadně odlišných metod a zejména pak z obr.3.3.1. na první pohled patrná nespojitost mezních přetvoření v oblasti rovininného přetvoření ($\varphi_2=0$).

Z řady existujících metod se jeví jako nevhodnější metoda poslední jmenovaná a to metoda vypínání tvarových zkušebních těles s proměnnou šírkou b . Tvar zkušebního tělesa je vidět na obr.3.3.2. K celé přípravě potřebného sortimentu zkušebních těles nutných k určení diagramu mezních přetvoření v celém požadovaném rozsahu $m_\phi \in (-0,5; 1)$ pak postačí jedený střížný nástroj. Zkušební pro zjištění diagramů mezních přetvoření pomocí vypínání

tvarových přístříhů se skládá ze speciálního nástroje umístěného na dvoučinném lisu. Nástříhy pevně sevřené v oblasti přírudy jsou vypínány polokulovým tažníkem o průměru 100 mm až do okamžiku vzniku trhliny či jinak definovaného mezního stavu. K snadnějšímu sledování procesu plastického přetvoření slouží uzavřený televizní okruh s kamerou umístěnou přímo v nástroji.

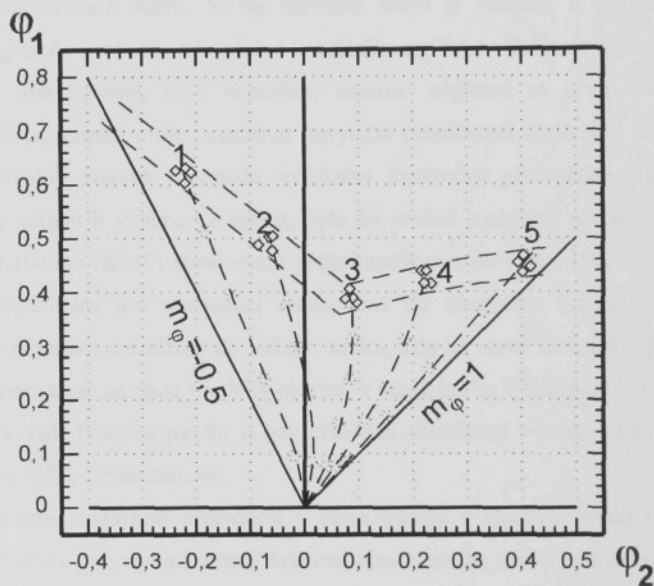


Obr. 3.3.1. Mezní stavy přetvoření dosahované zkouškou tahem tyčí s vruby a pomocí zkoušky hydraulické



Obr. 3.3.2. Tvarový nástříh k modelování různých stavů přetvoření pomocí vypínání kulovým tažníkem

Vlastní konstrukce diagramu mezních přetvoření je patrná z obr. 3.3.3, kde je diagram mezních přetvoření vytvořen pomocí vzorků pěti různých šírek. Tyto šířky modelují pět různých stavů přetvoření $m_\phi \in \langle -0,5; 1 \rangle$ představovaných deformačními stopami. Pro rovnoměrné pokrytí požadovaného intervalu stavů přetvoření $m_\phi \in \langle -0,5; 1 \rangle$ je obvykle nutno použít vzorků celkem 13-ti různých šírek. Bylo prokázáno, že deformační stopy získané touto metodou jsou v podstatě lineární, čili lze říci, že se jedná o případ proporcionálního přetvoření [3].



Obr. 3.3.3. Zjednodušený diagram mezních přetvoření získaný z 5-ti deformačních stop

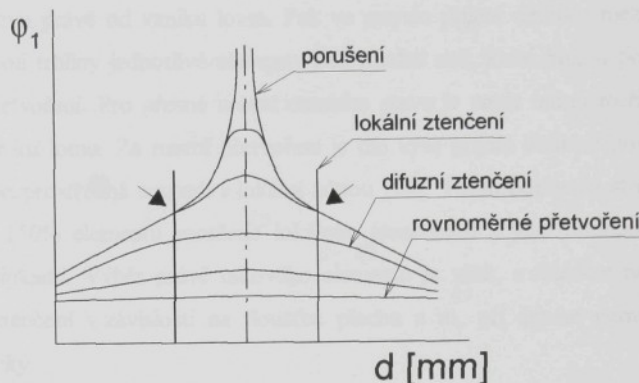
V případě experimentálního stanovení DMP je nutné velikost mezní deformace stanovit prostřednictvím měření deformační sítě. Otázka tedy je, jakým způsobem zjišťovat na reálném výlisku, a takovým zkušebním vzorek je, velikost dosaženého přetvoření, jež bude ve smyslu určité definice považováno za mezní. Jednoznačné definování mezního stavu přetvoření a způsobů jeho určování je velmi důležité, neboť to jsou důležité faktory zásadně ovlivňující polohu a tvar křivek mezních přetvoření.

3.4. URČOVÁNÍ MEZNÍHO STUPNĚ PŘETVOŘENÍ

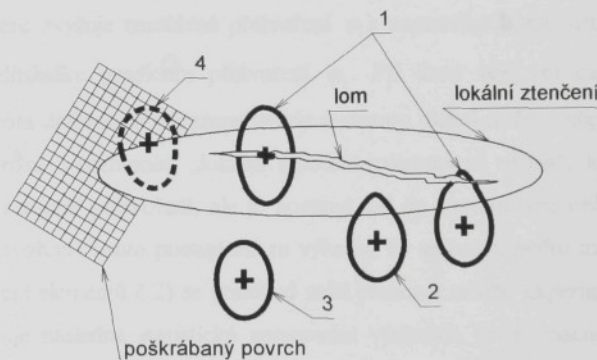
Řešení problému spočívá v určení, pro jak definovaný mezní stav a jakým způsobem se bude zjišťovat velikost dosaženého přetvoření, jež bude považováno za mezní. Bylo konstatováno že v oblasti velkých plastických přetvoření lze mezní stav definovat v rozmezí meze pevnosti a okamžiku vzniku tvárného lomu. Oba takto zvolené mezní stavy představují krajní hranice. Je zřejmé, že mezi těmito krajními mezemi může existovat celá řada různě definovaných mezních stavů. Volbu mezního stavu je vhodné, s ohledem na komplexní využití diagramů, uvažovat ve vztahu k reálnemu výlisku. Určit dosažení meze pevnosti u výlisku je dost obtížné, ne-li nemožné, zatímco objevení se první trhliny je naprostě evidentní. První případ může znamenat nevyužití plastičnosti materiálu, druhý pak znamená již neopravitelný zmetek. Přestože vysokého lomového přetvoření nelze z praktického hlediska ve vztahu k výlisku již využít, bylo by možné k analýze přetvoření použít i křivku mezních přetvoření (KMP) stanovenou pro okamžik vzniku lomu. Pro reálné výlisky je však prakticky využitelné jen přetvoření realizované do okamžiku vzniku lokálního ztenčení. Potom se deformace lokalizuje do úzkého krčku, kdy za stavu rovinného přetvoření dochází k prodloužení pouze na úkor tloušťky plechu. V okolí krčku k deformaci prakticky nedochází. Vzhledem k malé tloušťce plechu je pak přírůstek přetvoření v tomto okamžiku pro realizaci změny tvaru výlisku zanedbatelný.

Charakter rozložení přetvoření v okolí trhliny v různých fázích tažení je zřejmý z obr.3.4.1. Objektivní vizuální určení definovaného mezního stavu je dosti obtížné. Proto byly na základě experimentálních pozorování navrženy různé metody jeho stanovení, např. metoda ekvivalentního bodu, metoda grafická, metoda interpolacní, apod.. [2] Obecně nejrozšířenější postup při určování mezního přetvoření dle výše uvedené definice vychází z výběru vhodných elementů z okolí lomu [13], jak je naznačeno na obr. 3.4.2. Zviditelnění lokálního ztenčení okolo trhliny se dosáhne mírným poškrábáním povrchu plochým brouska. Výběr pak zahrnuje elementy deformační sítě zasažené lomem (č. 1 na obr. 3.4.2.), lokálním ztenčením (č. 2) a takové, které sousedí s místem porušení, ale nejsou zasaženy ani lomem, ani lokálním ztenčením (č. 3). Poloha bodů v DMP představujících přetvoření dle jednotlivých vybraných elementů je zřejmá - v DMP budou nejvýše body č.1, pak č. 2 a nejníže č. 3. Křivka mezních přetvoření ve smyslu navržené definice pro počátek lokálního ztenčení je vedena tak, aby ležela nad body určené elementy č. 3 a pod body danými elementy č. 1 a č. 2. Takto určená KMP v podstatě odděluje v DMP dvě oblasti. Nad ní existuje lokální ztenčení, pod ní ještě

nedošlo k lokalizaci deformace. KMP tvořící rozhraní obou těchto oblastí tak může odpovídat počátku vzniku lokálního přetvoření a plně vyhovět dané definici mezního stavu.



Obr. 3.4.1: Charakter rozložení přetvoření φ_1 v okolí trhliny



Obr. 3.4.2. Výběr elementů deformační sítě pro určení mezního přetvoření

Všechny výše zmíněné postupy určení mezního stavu si kladou za cíl co nejpřesnější a nejjednodušší určení mezního přetvoření v souladu s přijatou definicí. V této souvislosti je třeba si dálé uvědomit, že rozložení přetvoření (zvláště φ_1) vykazují různě velký gradient, daný zejména tvarem zkušebního tělesa, podmínkami tření, křivostí tažníku. Uvedené skutečnosti komplikují a znesnadňují efektivní určení mezního přetvoření. S ohledem na využívání experimentální metody určení DMP v rozsáhlém měřítku, důležitém pro potřeby praxe, je vhodné modifikovat předchozí způsoby tak, aby přijatá metoda určování mezního

přetvoření byla rychlá, snadná, pokud možno jednoznačná a v souladu s jeho definicí. Vzhledem k tomu, že vznik lomu je na výlisku evidentní, je výhodné odvijet stanovení mezního stavu právě od vzniku lomu. Pak ve smyslu přijaté definice mezního stavu vhodně vybrat v okolí trhliny jednotlivé elementy deformační sítě, které budou použity ke stanovení mezního přetvoření. Pro přesné určení mezního stavu je navíc nutno měřit elementy v místě prvního vzniku lomu. Za mezní přetvoření je dle výše přijaté definice považováno to, které z vnějšku bezprostředně sousedí s lokální zónou [14]. Tomu odpovídá střed elementu č.4 na obr. 3.4.2. (50% elementu zasaženo lokálním ztenčením) a jeho hodnota je na obr. 3.4.1. označena šipkami. Výběr právě takového elementu je však, s ohledem na proměnnou šířku lokálního ztenčení v závislosti na tloušťce plechu a m_p při daném parametru sítě, značně problematický.

Z dosud provedených experimentů vyplývá, že přijaté definici mezního stavu se nejvíce blíží hodnoty, které jsou získány měřením elementů č.2 na obr. 3.4.1. Na podstatné části plochy vymezené těmito elementy je rovnoměrné přetvoření a částečné zasažení lokálním ztenčením, které zvyšuje naměřené přetvoření φ_1 a napomáhá kompenzovat snížení hodnoty přetvoření v důsledku gradientu přetvoření φ_1 . Při dané velikosti elementu sítě je totiž změřená hodnota deformace přiřazena středu elementu. Střed měřené elipsy č.2 na obr. 3.4.1. však není totožný s rozhraním „lokální ztenčení-rovnoměrná oblast“, kde lze očekávat dle přijaté definice mezní přetvoření, ale je posunut dál do rovnoměrné oblasti, a tedy k nižším hodnotám přetvoření. Tento postup má tu výhodu, že snížením počtu měření (omezujeme se pouze na měření elementů č.2) se poněkud sníží pracnost celého experimentu. Další výhodou je, že umožňuje následné statistické zpracování výsledků, které značně rozšiřuje množství informací vytěžitelné z realizovaného experimentu.

Z předchozích kapitol je zřejmá podstata komplexní analýzy přetvoření výlisků, včetně uvedení výhod a předností. Její velká nevýhoda především v tom, že je možné takovou analýzu provádět pouze na skutečně odlisovaném výrobku. Touto metodou tedy není možné najít optimální řešení, aniž by se realizovalo vlastní tváření. Ve fázi kdy je již vyroben tažný nástroj (velmi často i nástroje pro následné operace tváření) je již velmi limitován počet parametrů, které lze měnit v rámci optimalizace průběhu lisování. Nelze tedy tímto způsobem posuzovat lisovatelnost dílu ve stadiu jeho navrhování či ve stadiu konstrukce lisovacího nástroje.

Možnost analyzovat proces přetvoření plechu již ve fázi konstrukce výlisku či nástroje vyžaduje vyřešit problém výpočtu plastické deformace v problematické oblasti navrhovaného



výlisku. Pro jednoduché tvary součástí a po zavedení určitých zjednodušujících předpokladů lze výpočet napětí a deformace provést „klasickou“ cestou. K těmto používaným metodám výpočtu především patří:

- Řešení diferenciálních rovnic rovnováhy s použitím podmínek plasticity.
- Metoda energetické rovnováhy.
- Metoda horního odhadu.
- Metoda kluzových čar, atd..

1. METODA ŘEŠENÍ FUNKCÍ DIFERENCIÁLNÍCH ROVNOVÁHY [1]

Metoda řešení funkcií diferenciálních rovnic je využívána pro řešení výpočtu vlastností součástí s komplikovanou tvaremi. Využívání funkční metody je možné i v případě, když lze součásti využít významné pomocné vlastnosti.

Využití funkční metody je využito výpočtu napětí a deformačních vlastností součástí s komplikovanou tvaremi.

Využití funkční metody je využito výpočtu napětí a deformačních vlastností součástí s komplikovanou tvaremi.

Využití funkční metody je využito výpočtu napětí a deformačních vlastností součástí s komplikovanou tvaremi.

Využití funkční metody je využito výpočtu napětí a deformačních vlastností součástí s komplikovanou tvaremi.

Využití funkční metody je využito výpočtu napětí a deformačních vlastností součástí s komplikovanou tvaremi.

Využití funkční metody je využito výpočtu napětí a deformačních vlastností součástí s komplikovanou tvaremi.

Využití funkční metody je využito výpočtu napětí a deformačních vlastností součástí s komplikovanou tvaremi.

Využití funkční metody je využito výpočtu napětí a deformačních vlastností součástí s komplikovanou tvaremi.

Využití funkční metody je využito výpočtu napětí a deformačních vlastností součástí s komplikovanou tvaremi.

Využití funkční metody je využito výpočtu napětí a deformačních vlastností součástí s komplikovanou tvaremi.

Využití funkční metody je využito výpočtu napětí a deformačních vlastností součástí s komplikovanou tvaremi.

Využití funkční metody je využito výpočtu napětí a deformačních vlastností součástí s komplikovanou tvaremi.

Využití funkční metody je využito výpočtu napětí a deformačních vlastností součástí s komplikovanou tvaremi.

Využití funkční metody je využito výpočtu napětí a deformačních vlastností součástí s komplikovanou tvaremi.

4. ANALÝZA TVÁŘECÍCH PROCESŮ Z HLEDISKA VÝPOČTU NAPĚtí A DEFORMACE

Při výpočtu napětí a deformace u tvářeného tělesa má na výsledek rozhodující vliv správná volba metody řešení tohoto problému. Ve vztahu k dané tvářecí operaci je třeba volit tu metodu výpočtu, která se svými předpoklady a zjednodušeními co nejvíce blíží skutečnosti. Z důvodu značné složitosti celého procesu tváření se však teoretický výpočet často liší od skutečnosti. Jedna z nejčastěji používaných metod výpočtu je metoda řešení diferenciálních rovnic rovnováhy s použitím podmínek plasticity.

4.1. METODA ŘEŠENÍ POMOCÍ DIFERENCIÁLNÍCH ROVNIC ROVNOMÍSTY [1]

Metoda řešení úloh pomocí diferenciálních rovnic rovnováhy s použitím podmínek plasticity je v teorii tváření, z důvodu poměrné jednoduchosti a názornosti, jednou z nejrozšířenějších. Umožňuje získání výsledků pomocí přímé integrace diferenciálních rovnic.

Jako příklad výpočtu je zde uveden výpočet napětí a deformace při tažení cylindrických výtažků z kruhového přístřihu při použití přidržovače s konstantní přítlačnou silou.

Při radiálním tažení výstřížku z dokonale plastického materiálu vypočítáme napjatost příruby za předpokladu, že třecí síly ve stykových plochách s tažnicí a přidržovačem neovlivní celkové rozložení napětí. Radiální napětí σ_r , napětí ve směru normály σ_z a tangenciální napětí σ_θ můžeme pak považovat za napětí hlavní. Kontaktní tlakové napětí σ_z , vyvozené přítlačnou silou F_p , je zpravidla malé ve srovnání s tahovým radiálním napětím σ_r a tlakovým tangenciálním napětím σ_θ . Největší tangenciální napětí vznikne na okraji příruby, kde také vznikne největší přírůstek tloušťky. Celá přítlačná síla pak působí na úzkém mezíkruží na okraji příruby. Přítlačné síle F_p přísluší třecí síle $2 \mu F_p$, směřující proti směru posuvu okraje příruby. Tato třecí síla vydovídá na okraji příruby radiální napětí

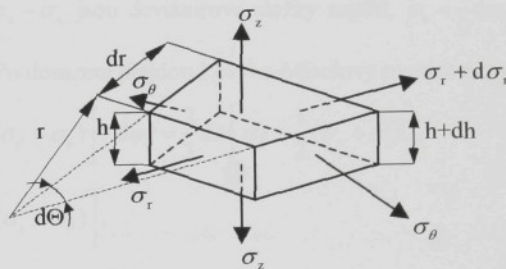
$$(\sigma_r)_{r=b} = \frac{\mu F_p}{\pi b h}. \quad (4)$$

Během tažení se zmenšuje poloměr každého objemového elementu z počáteční hodnoty $r = r_0$ na konečnou hodnotu $r = a$, rovnou poloměru otvoru tažnice. Při zmenšení počátečního poloměru okraje příruby b_0 na okamžitý poloměr b se zmenší počáteční poloměr

daného objemového elementu r_0 na okamžitý poloměr r . Z podmínky stálosti objemu prstence mezi počátečním poloměrem okraje příruby b_0 a počátečním poloměrem daného objemového elementu r_0 vyplývá vztah

$$r = \sqrt{r_0^2 + b^2 - b_0^2}. \quad (5)$$

Napjatost v přírubě můžeme vypočítat za předpokladu konstantní tloušťky a předpokladu, že tření je tak malé, že můžeme zanedbat kontaktní snykové napětí ve stykových plochách příruby s tažnicí a přidržovačem. Na daný objemový element na poloměru r pak působí napětí znázorněná na obr. 4.1.1.



Obr. 4.1.1. Napětí v objemovém elementu příruby při radiálním tažení

Ze složkové podmínky rovnováhy vnitřních sil v radiálním směru vyplývá diferenciální rovnice rovnováhy

$$dR - T d\Theta = 0, \quad (6)$$

kde $R = \sigma_r h r d\Theta$ je radiální síla, $T = \sigma_\theta h d\Theta$ je tangenciální síla a

$$dR = d(\sigma_r h r) d\Theta = \sigma_r h r \left(\frac{d\sigma_r}{\sigma_r} + \frac{dh}{h} + \frac{dr}{r} \right) d\Theta \text{ je přírůstek radiální síly na dráze. Dosazením do}$$

vztahu (6) dostáváme diferenciální rovnici rovnováhy

$$0 = h r d\sigma_r + \sigma_r r dh + \sigma_r h dr - \sigma_\theta h dr = \frac{d}{dr} (h \sigma_r) + \frac{h(\sigma_r - \sigma_\theta)}{r}, \quad (7)$$

rovnici dále upravíme na tvar

$$r \frac{d\sigma_r}{dr} + \sigma_r \frac{r}{h} \frac{dh}{dr} + \sigma_r - \sigma_\theta = 0. \quad (8)$$

Vztah mezi radiálním napětím σ_r a tangenciálním napětím σ_θ je určen Huberovou-Misesovou-Henckyho podmínkou plastičnosti

$$\sigma_r^2 - \sigma_r \sigma_\theta + \sigma_\theta^2 = \sigma_i^2 = \sigma_k^2. \quad (9)$$

Přírůstky hlavních deformací $d\varphi_r = d(\frac{dr}{dr_0})$, $d\varphi_\theta = \frac{dr}{dr_0}$, $d\varphi_z = \frac{dh}{h}$ určíme z Lévyho-

Misesových rovnic

$$\frac{d\varphi_r}{\sigma_r - \sigma_s} = \frac{d\varphi_\theta}{\sigma_\theta - \sigma_s} = \frac{d\varphi_z}{\sigma_z - \sigma_s} = d\omega \quad (10)$$

a z podmínky zachování objemu

$$d\varphi_r + d\varphi_\theta + d\varphi_z = 0, \quad (11)$$

kde $d\varphi_r, d\varphi_\theta, d\varphi_z$ jsou přírůstky hlavních deformací, $\sigma'_r = \sigma_r - \sigma_s$,

$\sigma'_\theta = \sigma_\theta - \sigma_s$, $\sigma'_z = \sigma_z - \sigma_s$ jsou deviátorové složky napětí, $\sigma_s = \frac{1}{3}(\sigma_r + \sigma_\theta + \sigma_z)$ je normálné oktaedrické napětí. Po dosazení přejdou Lévyho-Misesovy rovnice na tvar

$$\begin{aligned} d\varphi_r &= \frac{2}{3} d\omega \left[\sigma_r - \frac{1}{2}(\sigma_\theta + \sigma_z) \right], \quad d\varphi_\theta = \frac{2}{3} d\omega \left[\sigma_\theta - \frac{1}{2}(\sigma_z + \sigma_r) \right], \\ d\varphi_z &= \frac{2}{3} d\omega \left[\sigma_z - \frac{1}{2}(\sigma_r + \sigma_\theta) \right]. \end{aligned} \quad (12)$$

Sečtením kvadrátů pravých a levých stran obdržíme

$$d\varphi_i = \frac{2}{3} \sigma_i d\omega, \quad (13)$$

kde σ_i je intenzita napětí a $d\varphi_i$ je přírůstek intenzity deformace. Odtud vyplývá materiálový koeficient

$$d\omega = \frac{3}{2} \frac{d\varphi_i}{\sigma_i}. \quad (14)$$

Pro rovinnou napjatost $\sigma_z = 0$ z druhé a třetí rovnice (12) vypočítáme poměr

$$\frac{d\varphi_z}{d\varphi_\theta} = \frac{dh/h}{dr/r} = \frac{\sigma_r + \sigma_\theta}{\sigma_r - 2\sigma_\theta}, \quad (15)$$

z rovnice (15) vyplývá diferenciální rovnice

$$\frac{dh}{h} = \frac{\sigma_r + \sigma_\theta}{\sigma_r - 2\sigma_\theta} \frac{dr}{r}. \quad (16)$$

Dosazením za dh/h z rovnice (16) do diferenciální rovnice (8) obdržíme

$$0 = r \frac{d\sigma_r}{dr} + \sigma_r \left(1 + \frac{\sigma_r + \sigma_\theta}{\sigma_r - 2\sigma_\theta} \right) - \sigma_\theta = r \frac{d\sigma_r}{dr} + 2 \frac{\sigma_r^2 - \sigma_r \sigma_\theta + \sigma_\theta^2}{\sigma_r - 2\sigma_\theta} = r \frac{d\sigma_r}{dr} + \frac{2\sigma_r^2}{\sigma_r - 2\sigma_\theta}. \quad (17)$$

Z rovnice (9) určíme $4\sigma_i - 3\sigma_i^2 = \sigma_r^2 - 4\sigma_r \sigma_\theta + 4\sigma_\theta^2 = (\sigma_r - 2\sigma_\theta)^2$ a po dosazení do rovnice (17) se tato rovnice zjednoduší na tvar

$$r \frac{d\sigma_r}{dr} + \frac{2\sigma_i^2}{\pm \sqrt{4\sigma_i^2 - 3\sigma_r^2}} = 0. \quad (18)$$

Pro dokonale plastický materiál, tj. pro $\sigma_i = \sigma_k = \text{konst.}$, obdržíme integrací vztah

$$\frac{\sigma_r}{2} \sqrt{1 - \frac{3\sigma_r^2}{4\sigma_k^2}} + \frac{\sigma_k}{\sqrt{3}} \arcsin\left(\frac{\sqrt{3}}{2} \frac{\sigma_r}{\sigma_k}\right) = -\sigma_k \ln r + C. \quad (19)$$

Integrační konstantu C vypočítáme z okrajových podmínek. Při radiálním tažení bez tření bude $\sigma_r = 0$ pro $r = b$. Odtud vyplývá integrační konstanta a po jejím dosazení do (19) dostáváme

$$\frac{\sigma_r}{2} \sqrt{1 - \frac{3\sigma_r^2}{4\sigma_k^2}} + \frac{\sigma_k}{\sqrt{3}} \arcsin\left(\frac{\sqrt{3}}{2} \frac{\sigma_r}{\sigma_k}\right) = \sigma_k \ln \frac{b}{r}. \quad (20)$$

Při tažení se třením vypočítáme integrační konstantu z okrajové podmínky $\sigma_r = \frac{\mu F_p}{\pi b h}$ pro $r = b$.

Z rovnice (20) můžeme vypočítat radiální napětí σ_r daného objemového elementu s počátečním poloměrem r_0 , známe-li jeho okamžitý poloměr r a okamžitý poloměr příruby. Příslušné tangenciální napětí σ_θ vypočítáme z rovnice (9). Tloušťku h na poloměru r určíme dosazením vypočítaných napětí σ_r, σ_θ do rovnice (16). Integrací obdržíme

$$\begin{aligned} \ln \frac{h}{h_0} &= \int_{r_0}^r \frac{\sigma_r + \sigma_\theta}{\sigma_r - 2\sigma_\theta} \frac{dr}{r} = \left(\frac{\sigma_r + \sigma_\theta}{\sigma_r - 2\sigma_\theta} \right)_s \ln \frac{r}{r_0}, \\ h &= h_0 \left(\frac{r}{r_0} \right)^{\left(\frac{\sigma_r + \sigma_\theta}{\sigma_r - 2\sigma_\theta} \right)_s}. \end{aligned} \quad (21)$$

Střední hodnota zlomku $\left(\frac{\sigma_r + \sigma_\theta}{\sigma_r - 2\sigma_\theta} \right)_s$ je určena hodnotami napětí σ_r, σ_θ v daném objemovém

elementu během jeho posuvu z počátečního poloměru r_0 na okamžitý poloměr r .

Rovnice (20), určující radiální napětí příruby při daném stupni přetvoření, platí jen pro dokonale plastický materiál a je poměrně složitá. Její další nevýhoda je, že napětí σ_r zde není vyjádřeno explicitní funkcí parametru b/r , případně parametru r_0/r . Vztahy pro napětí σ_r, σ_θ vyjádřené parametrem r_0/r , lze odvodit pomocí přibližné Huberovy-Misesovy-Henckyho podmínky plastičnosti pro rovinou napjatost

$$\sigma_r - \sigma_\theta = \beta \sigma_k, \quad (22)$$

kde koeficient β je určen sečnou Misesovy elipsy, nahrazující její oblouk. Střední hodnota tohoto koeficientu je $\beta \approx 1,1$.



Při zhotovování výtažku z nedokonale plastického materiálu vyjádříme křivku zpevnění funkcí $\sigma_i = H(\varphi_i)$. Radiální deformace φ_i je malá ve srovnání s tangenciální deformací φ_θ . Intenzitu deformace φ_i pak můžeme nahradit tangenciální deformací

$$\varphi_\theta = -\ln \frac{r}{r_0} = \ln \frac{r_0}{r}. \quad (23)$$

Křivka zpevnění je pak určena funkcí

$$\sigma_i = H \left(\ln \frac{r_0}{r} \right) = \sigma_k. \quad (24)$$

Rovnice (22) pak přejde na tvar

$$\sigma_r - \sigma_\theta = \beta H \left(\ln \frac{r_0}{r} \right). \quad (25)$$

Dosazením za $(\sigma_r - \sigma_\theta)$ do rovnice (7) obdržíme diferenciální rovnici rovnováhy

$$\frac{d}{dr} (h \sigma_r) = -\frac{h}{r} \beta H \left(\ln \frac{r_0}{r} \right). \quad (26)$$

Pro řešení této rovnice je třeba vyjádřit proměnnou tloušťku příruby h jako funkci parametru r_0/r . Tuto funkci lze s použitím Lévyho-Misesovy rovnice pro deformační rychlosť odvodit z radiální rychlosti posuvu daného objemového elementu a po vyjádření má tvar [1]

$$\frac{dh}{h} = \frac{2\sigma_r - \beta H \left(\ln \frac{r_0}{r} \right)}{2\beta H \left(\ln \frac{r_0}{r} \right) - \sigma_r} \frac{dr}{r}, \quad \ln \frac{h}{h_0} = \int_{r_0}^r \frac{2\sigma_r - \beta H \left(\ln \frac{r_0}{r} \right)}{2\beta H \left(\ln \frac{r_0}{r} \right) - \sigma_r} \frac{dr}{r}. \quad (27)$$

Známe-li funkci $\sigma_k = H \left(\ln \frac{r_0}{r} \right)$, můžeme vypočítat numerickou integrací rovnic (26) a (27), pro libovolný stupeň přetvoření b/b_0 , tloušťku h a napětí σ_r v libovolném místě příruby. Napětí σ_θ vypočítáme z rovnice (22).

Přibližné hodnoty napětí σ_r, σ_θ při tažení výstřížku z dokonale plastického materiálu lze vypočítat za předpokladu, že změna tloušťky příruby neovlivní její celkovou napjatost. Rovnice (26) se pak zjednoduší na tvar

$$\frac{d\sigma_r}{dr} = -\frac{1}{r} \beta H \left(\ln \frac{r_0}{r} \right). \quad (28)$$

Pro dokonale plastický materiál, tj. pro $\sigma_k = \text{konst.}$, určíme integrací rovnice (28) radiální napětí σ_r

$$\sigma_r = -\beta \sigma_k \ln r + C. \quad (29)$$

Integrační konstantu C vypočítáme z okrajové podmínky $\sigma_r = \frac{\mu F_p}{\pi b h}$ pro $r=b$. Po dosazení do

rovnice (29) a z podmínky plasticity (22) dostáváme vztahy pro výpočet σ_r , σ_θ

$$\sigma_r = \beta \sigma_k \ln \frac{b}{r} + \frac{\mu F_p}{\pi b h}, \quad \sigma_\theta = -\beta \sigma_k \left(1 - \ln \frac{b}{r}\right) + \frac{\mu F_p}{\pi b h}. \quad (30)$$

Při zhotovování výrobku nelze zanedbávat přídavná napětí $\Delta\sigma_r$, příslušná plastickému ohybu a plastickému narovnání na okraji tažné hrany a přídavná napětí příslušná tření podél tažné hrany. V každém objemovém elementu příruby, který se posouvá podél tažné hrany, změní se meridiánový poloměr křivosti střední vrstvy z původní hodnoty $R_s = \infty$ na hodnotu $R_s = R_T + \frac{h}{2}$, kde R_T je poloměr tažné hrany. Okraj příruby se tedy ohýbá vlivem ohybového momentu M , při současném působení tahových napětí. Zanedbáme-li vliv deformačního zpevnění a účinek tahových napětí, bude vnější ohybový moment M , vztázený na jednotku délky, rovný

$$M_1 = \sigma_k \frac{h^2}{4}. \quad (31)$$

Ohyb rovinného proužku o úhel $d\gamma$ vyžaduje přídavnou deformační práci

$$M_1 d\gamma = \sigma_k \frac{h^2}{4} d\gamma, \text{ kterou můžeme vyjádřit také pomocí přídavného radiálního napětí } \Delta\sigma_r.$$

Účinkem tohoto přídavného napětí se posune objemový element z počáteční polohy 1 do polohy 2, viz. obr. 4.1.2., Z rovnosti práce vnitřního a vnějšího ohybového momentu dostaneme vztah

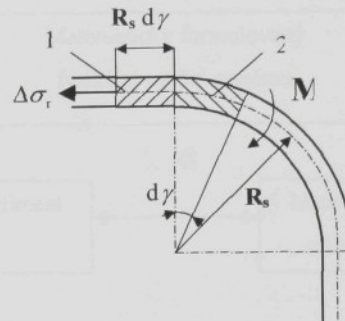
$$\Delta\sigma_r h R_s d\gamma = \sigma_k \frac{h^2}{4} d\gamma. \quad (32)$$

Vztah pro výpočet přídavného napětí $\Delta\sigma_r$ potřebné k ohybu a narovnání kolem tažné hrany se středním poloměrem R_s se vypočítá dle vztahu

$$\Delta\sigma_r = \frac{\sigma_k}{2} \frac{h}{R_T + \frac{h}{2}}. \quad (33)$$

Vliv tření podél tažné hrany vyjádříme koeficientem $e^{\alpha\mu}$, kde α je úhel ohybu. Pro zaoblenou tažnou hranu s kruhovým obrysem platí $\alpha = 90^\circ$. Celkové tahové napětí na okraji cylindrické stěny výtažku je tedy rovné celkovému radiálnímu napětí na poloměru $r = a$, kde a je poloměr otvoru tažnice. Vztah pro výpočet tohoto napětí má tvar

$$(\sigma_r)_{r=a} = \left[\beta \sigma_k \ln \frac{b}{a} + \frac{\mu F_p}{\pi b h} + \frac{\sigma_k}{2} \frac{h}{R_t + \frac{h}{2}} \right] e^{\alpha \mu}. \quad (34)$$



Obr.4.1.2. Ohyb materiálu v oblasti tažné hrany

Z výše uvedených vztahů je vidět, že použití výpočtu napětí a deformace materiálu pomocí metody diferenciálních rovnic rovnováhy s použitím podmínek plasticity je poměrně složité a při výpočtu se často používá zjednodušujících předpokladů, které více či méně ovlivňují přesnost výpočtu.

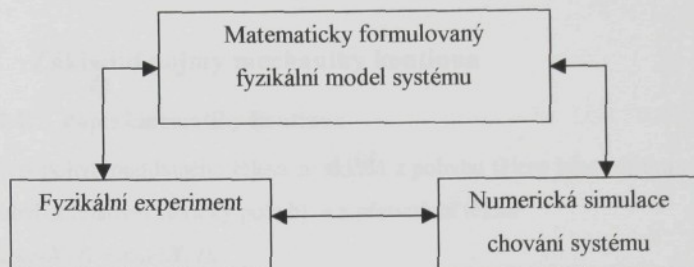
S rozvojem výpočetní techniky a současně s její cenovou dostupností se v současné době používají ve strojírenství numerické metody výpočtu založené na metodě konečných prvků. Nespornou výhodou těchto metod je možnost řešení značně složitých nelineárních úloh, mezi které patří i úlohy z oblasti plošného tváření.

4.2. NUMERICKÉ ŘEŠENÍ POMOCÍ METODY KONEČNÝCH PRVKŮ [15,16]

4.2.1. Fyzikální a numerické modelování plošného tváření

Fyzikální jevy jsou obecně velmi složité, a proto se pro jejich analýzu volí určité, zpravidla zjednodušující, předpoklady. Zvolené předpoklady jsou buď vypozorovány z experimentu nebo plynou z obecně přijímaných teorií. Při analýze výsledků pak nesmíme zapomínat na oblast platnosti vytvořené teorie. V praxi nastává mnoho chyb plynoucích z použití teorie, aniž by byla splněna oprávněnost pro možnost jejího použití. Nezastupitelnou

úlohu při fyzikálním a matematickém modelování hraje experiment. Možné schéma interakcí při modelování je na obr.4.2.1.1. Z experimentu plynou některé zákonitosti a předpoklady, které je zpravidla možné použít jako zpětnou vazbu na teorii, popř. je použit při numerické simulaci.



Obr.4.2.1.1: Souvislosti fyzikálního a matematického modelování s fyzikálním experimentem [2]

Procesy plošného tváření jsou z pohledu termodynamiky procesy nevratné, dissipativní, nestacionární a nelineární. V průběhu tváření dochází k interakci deformačního, napěťového a teplotního pole. V dalším výkladu se bude předpokládat, že vliv tepelných efektů je zanedbatelný na pole napětí a deformací při tváření za studena. Plošné tváření je specifické svým schématem napjatosti, které lze s dostatečnou přesností považovat za rovinou napjatost. Plošné tváření řadíme mezi nelineární fyzikální procesy. Nelinearity se u plošného tváření projevuje takto:

- Velké posuvy a natočení bodů zkoumaného tělesa.
- Velké deformace.
- Nelineární elastoplastické chování tělesa (vliv deformačního zpevnění).
- Směrová závislost mechanických vlastností (anizotropie materiálu).
- U velkých deformací lokální plastické deformace s nukleací porušení a s následným tvárným lomem.
- Problematika kontaktu s anizotropním třením.
- Při velkých rychlostech tváření nelze zanedbat vliv setrvačních a gyroskopických účinků.

Tyto vlivy je třeba brát v úvahu při sestavování fyzikálního a matematického modelu pro potřeby plošného tváření.



Při fenomenologickém pohledu na přetváření těles, tedy bez zkoumání struktury a jejího vlivu na chování tělesa, se využívá poznatků mechaniky kontinua. Mechanika kontinua pohlíží na těleso jako na spojité prostředí. V mechanice poddajných těles se používá Lagrangeův popis kontinua, sleduje se pohyb částice kontinua X v čase t , tj. $\mathbf{x} = \mathbf{x}(X, t)$.

4.2.2. Základní pojmy mechaniky kontinua

4.2.2.1. Popis kinematiky kontinua

Obecný pohyb poddajného tělesa se skládá z pohybu tělesa jako tuhého celku (unášivý translaci pohyb a relativní sférický pohyb) a z přetvoření tělesa

$$\mathbf{x}(X, t) = \mathbf{x}_{\text{nedef}}(X, t) + \mathbf{x}_{\text{def}}(X, t). \quad (35)$$

Při znalosti vektorového pole polohového vektoru částice kontinua X v aktuální konfiguraci $\mathbf{x}(X, t)$ a v referenční konfiguraci $\mathbf{x}(X, t_0)$ lze zjistit veškeré informace o přetvoření [19]. Nechť jsou dány dvě nekonečně blízké částice kontinua v referenční konfiguraci $\mathbf{x}(X_A, t_0) \equiv X_A$, $\mathbf{x}(X_B, t_0) \equiv X_B$ a jim odpovídající částice v aktuální konfiguraci $\mathbf{x}(X_A, t) \equiv x_A$, $\mathbf{x}(X_B, t) \equiv x_B$. Vzájemná poloha částic X_A a X_B je v referenční konfiguraci dána vektorem dX

$$dX = X_B - X_A \quad (36)$$

a v aktuální konfiguraci je vzájemná poloha částic x_A a x_B dána vektorem $d\mathbf{x}$

$$d\mathbf{x} = x_B - x_A \quad (37)$$

Dalším důležitým pojmem v mechanice kontinua je deformační gradient definovaný

$$F_{ij} = \frac{\partial x_i}{\partial X_j}. \quad (38)$$

Po zavedení F_{ij} lze nalézt relaci

$$d\mathbf{x} = \mathbf{F} dX, \quad (39)$$

odvození a předpoklady viz [15]. Posuv částic mezi referenční a aktuální konfigurací \mathbf{u} se vypočte

$$\mathbf{u} = \mathbf{x} - X, \quad (40)$$

Analogickou veličinou k deformačnímu gradientu \mathbf{F} je materiálový gradient posuvu definovaný vztahem

$$\nabla \mathbf{u} = \frac{\partial u_i}{\partial X_j}, \quad (41)$$

a prostorový gradient posuvu

$$\bar{\nabla} \boldsymbol{u} = \frac{\partial \boldsymbol{u}_i}{\partial x_j}, \quad (42)$$

Pomocí definice posuvu (6) lze dokázat, že platí vztah mezi gradienty posuvu a deformačním gradientem

$$\nabla \boldsymbol{u} = \boldsymbol{F} - \boldsymbol{I}, \quad (43)$$

$$\bar{\nabla} \boldsymbol{u} = \boldsymbol{F} + \boldsymbol{I}, \quad (44)$$

kde \boldsymbol{I} je jednotkový tenzor. Vztah mezi elementárním objemem dV_0 v referenční konfiguraci a dV v aktuální konfiguraci je

$$dV = j V_0, \quad (45)$$

kde $j = \det \boldsymbol{F}$.

Vztah mezi elementárním obsahem dS_0 v referenční konfiguraci a dS v aktuální konfiguraci je

$$dS = j \boldsymbol{F}^T dS_0. \quad (46)$$

4.2.2.2. Míry deformace tělesa

Změnu velikosti a tvaru tělesa označujeme jako deformaci tělesa a zjišťujeme ji pomocí posuvů jednotlivých částic tělesa. Posunutí je míra vyjádřená v jednotkách délky. Tato veličina však neříká sama o sobě nic o tom, zda jsou posuvy malé nebo velké. Pro získání představy o velikosti deformace je zapotřebí posuvy vztahovat na celkové rozměry tělesa. Tímto způsobem se získají bezrozměrné veličiny, které se nazývají přetvoření, deformace.

Při definici měr přetvoření se musí vycházet z požadavků, aby míry přetvoření nebyly závislé na volbě souřadného systému a nebyly ovlivněny pohybem tělesa jako tuhého celku, tj. byly objektivní [17]. Jedna z možností jak definovat míru přetvoření je založena na porovnání rozdílu infinitesimálních vzdáleností dvou částic v aktuální konfiguraci ' C ' a v referenční konfiguraci ' ${}^0 C$ '. Nechť dX je vzájemná poloha částic X_A a X_B v referenční konfiguraci ' ${}^0 C$ ' a dx je vzájemná poloha částic v aktuální konfiguraci ' C '. Při určení délek se použije Pythagorova věta

$$dx = \|dx\| = (\ dx_i \cdot dx_i)^{\frac{1}{2}}, \quad (47)$$

$$dX = \|dX\| = (\ dX_i \cdot dX_i)^{\frac{1}{2}}. \quad (48)$$



Za pomocí vztahu (39) se určí relace mezi kvadráty infinitesimálních vzdáleností dvou částic v aktuální konfiguraci $'C$ a v referenční konfiguraci $'_0 C$

$$dx^T \cdot dx = (\mathbf{F} dX)^T \cdot \mathbf{F} dX = dX^T \mathbf{F}^T \mathbf{F} dX, \quad (49)$$

a obdobně

$$dX^T \cdot dX = (\mathbf{F}^{-1} dx)^T \cdot \mathbf{F}^{-1} dx = dx^T \mathbf{F}^{-T} \mathbf{F}^{-1} dx. \quad (50)$$

Zavedeme dále tzv. pravý Cauchyho tenzor deformace \mathbf{C} , pro který platí

$$\mathbf{C} = \mathbf{F}^T \cdot \mathbf{F}, \quad (51)$$

levý Cauchyho tenzor deformace \mathbf{B} , pro který platí

$$\mathbf{B} = \mathbf{F} \mathbf{F}^T, \quad (52)$$

a Greenův tenzor deformace \mathbf{G}

$$\mathbf{G} = \mathbf{F}^{-T} \mathbf{F}^{-1}. \quad (53)$$

S využitím vztahů (49) a (50) se určí rozdíl velikosti délek infinitesimálních vzdáleností dvou častic v aktuální konfiguraci $'C$ a v referenční konfiguraci $'_0 C$

$$dx^2 - dX^2 = dX^T [\mathbf{F}^T \cdot \mathbf{F} - \mathbf{I}] dX, \quad (54)$$

$$dx^2 - dX^2 = dx^T [\mathbf{I} - \mathbf{F}^{-T} \cdot \mathbf{F}^{-1}] dx. \quad (55)$$

Tenzory v závorkách (54) a (55) se označí

$$2\mathbf{E} = \mathbf{F}^T \mathbf{F} - \mathbf{I}, \quad (56)$$

$$2\mathbf{E}' = \mathbf{I} - \mathbf{F}^{-T} \mathbf{F}^{-1} \quad (57)$$

a nazvou se Lagrangeův tenzor deformace \mathbf{E} a Almanasiho tenzor deformace \mathbf{E}' . Lagrangeův a Almanasiho tenzor deformace mají tedy tvar

$$\mathbf{E} = \frac{1}{2} (\mathbf{F}^T \mathbf{F} - \mathbf{I}), \quad (58)$$

$$\mathbf{E}' = \frac{1}{2} (\mathbf{I} - \mathbf{F}^{-T} \mathbf{F}^{-1}). \quad (59)$$

Pomocí gradientu deformace \mathbf{F} se odfiltruje z obecného pohybu diferenciálního objemu částice složka příslušející translaci tělesa jako tuhého celku. Jedná se tedy o složku pohybu, která nemění vzájemné polohy častic. Deformační gradient \mathbf{F} lze rozložit pomocí pravostranné, resp. levostranné polární dekompozice na součin ortogonálního tenzoru rotace (spinu) \mathbf{R} a symetrického, pozitivně definitního pravého, resp. levého tenzoru ryzí deformace (protažení) \mathbf{U} , resp. \mathbf{V}

$$\mathbf{F} = \mathbf{R} \cdot \mathbf{U} = \mathbf{V} \mathbf{R}, \quad (60)$$

Kde pro ortogonální tenzor rotace \mathbf{R} platí

$$\mathbf{R} \mathbf{R}^T = \mathbf{I}. \quad (61)$$

Tímto způsobem se podařilo rozdělit zbylou část pohybu na rotaci a čistou deformaci. Tenzor U popisuje protažení před rotací a tenzor V popisuje protažení po rotaci.

Lagrangeův tenzor deformace E a Almanasiho tenzor deformace E' se nechají také vyjádřit pomocí gradientů posuvu

$$E = \frac{1}{2} (\nabla u + (\nabla u)^T + (\nabla u)^T \nabla u), \quad (62)$$

$$E' = \frac{1}{2} \left(\bar{\nabla} u + \left(\bar{\nabla} u \right)^T - \left(\bar{\nabla} u \right)^T \bar{\nabla} u \right). \quad (63)$$

Pokud jsou přetvoření malá, tj. platí pro složky gradientů posuvu

$$\left\| \frac{\partial u_i}{\partial X_j} \right\| \ll 1 \quad \text{a} \quad \left\| \frac{\partial u_i}{\partial x_j} \right\| \ll 1,$$

potom lze Lagrangeův a Almanasiho tenzor deformace linearizovat do tvaru

$$\varepsilon = \frac{1}{2} (\nabla u + (\nabla u)^T), \text{ resp.} \quad \varepsilon_y = \frac{1}{2} \left(\frac{\partial u_i}{\partial X_j} + \frac{\partial u_j}{\partial X_i} \right), \quad (64)$$

$$\varepsilon' = \frac{1}{2} \left(\bar{\nabla} u + \left(\bar{\nabla} u \right)^T \right), \text{ resp.} \quad \varepsilon'_y = \frac{1}{2} \left(\frac{\partial u_i}{\partial x_j} + \frac{\partial u_j}{\partial x_i} \right), \quad (65)$$

kde tenzoru ε se říká infinitesimální (Lagrangeův) tenzor deformace vztavený na referenční konfiguraci ${}^0 C$ (někdy tenzor malých deformací) a tenzoru ε' se říká infinitesimální (Almanasiho) tenzor deformace vztavený na aktuální konfiguraci ${}^1 C$.

Při Lagrangeově popisu, tj. $x = x(X, t)$, je rychlosť částice

$$v = \dot{x} = \frac{\partial x}{\partial t}. \quad (66)$$

Pro další úvahy se zavede gradient rychlosti

$$L = \text{grad } v = \frac{\partial v}{\partial x}. \quad (67)$$

Časová derivace gradientu deformace \dot{F} je za použití vztahu (67)

$$\dot{F} = \frac{\partial F}{\partial t} = \frac{\partial}{\partial t} \left(\frac{\partial x}{\partial X} \right) = \frac{\partial}{\partial X} \left(\frac{\partial x}{\partial t} \right) = \frac{\partial v}{\partial X} \cdot \frac{\partial x}{\partial X} = L \cdot F. \quad (68)$$

Ze vztahu (68) lze určit gradient rychlosti L

$$L = \dot{F} \cdot F^{-1}. \quad (69)$$

Gradient rychlosti se dále rozloží na symetrickou a asymetrickou část

$$L = D + W, \quad (70)$$

kde D je tenzor rychlosti deformace

$$\mathbf{D} = \frac{1}{2}(\mathbf{L} + \mathbf{L}^T), \quad (71)$$

a kde \mathbf{W} je tenzor rychlosti rotace (tenzor spinu, tenzor vřivosti)

$$\mathbf{W} = \frac{1}{2}(\mathbf{L} - \mathbf{L}^T). \quad (72)$$

Tenzor rychlosti deformace \mathbf{D} se rovná rychlosti deformace $\dot{\epsilon}$. V referenční konfiguraci ${}^{t_0}C$ se definuje zpětně rotovaný tenzor rychlosti deformace

$${}^r\mathbf{D} = \mathbf{R}\mathbf{D}\mathbf{R}^T. \quad (73)$$

Pro úplnost je třeba ještě uvést vztahy pro rychlosť Lagrangeova tenzoru rychlosti deformace

$$\dot{\mathbf{E}} = \mathbf{F}^T \mathbf{D} \mathbf{F} \quad (74)$$

a rychlosť Almanasiho tenzoru deformace

$$\dot{\mathbf{E}}' = \mathbf{D} - \mathbf{E} {}^r\mathbf{L} - \mathbf{L}^T \mathbf{E}' \quad (75)$$

Důležitou mírou přetvoření je logaritmický tenzor deformace vztažený k referenční konfiguraci ${}^{t_0}C$

$$\mathcal{E} = \ln \mathbf{U} = \frac{1}{2} \ln \mathbf{C}, \quad (76)$$

a logaritmický tenzor deformace vztažený k aktuální konfiguraci tC

$$\mathcal{E}' = \ln \mathbf{V} = \frac{1}{2} \ln \mathbf{B}. \quad (77)$$

Tyto dva tenzory jsou mezi sebou vázány vztahem

$$\mathcal{E}' = \mathbf{R} \mathcal{E} \mathbf{R}^T. \quad (78)$$

Rychlosť logaritmického tenzoru deformace $\dot{\mathcal{E}}$ se vypočte podle schématu

$$\dot{\mathcal{E}} = {}^r D_{ij} \quad \text{pro } i = j$$

$$\dot{\mathcal{E}} = {}^r D_{ij} \quad \text{pro } i \neq j; \lambda_i = \lambda_j \text{ přes } i, j \text{ se nesčítá}$$

$$\dot{\mathcal{E}} = \frac{2\lambda_i \lambda_j \ln(\lambda_i / \lambda_j)}{\lambda_i^2 - \lambda_j^2} {}^r D_{ij} \quad \text{pro } i \neq j; \lambda_i \neq \lambda_j, \quad (79)$$

kde λ_i, λ_j jsou vlastní hodnoty tenzoru \mathbf{U} a \mathbf{V} , platí $\lambda(\mathbf{U}) = \lambda(\mathbf{V})$ [16].

4.2.2.3. Míry napjatosti

Na těleso působí sily, které se rozdělují podle způsobu působení na vnější a vnitřní. Vnější síly lze dále rozdělit na síly objemové a síly povrchové. Vnitřní síly zajišťují soudržnost tělesa.

Objemové síly jsou charakterizovány intenzitou objemových sil \mathbf{f} . Celkový silový účinek objemových sil je síla $\int_V \mathbf{f} dV$ a moment $\mathbf{M} = \int_V (\mathbf{r} \times \mathbf{f}) dV$. Příkladem objemových sil jsou síly gravitační a síly setrvačné.

Povrchové síly jsou charakterizovány silou působící na infinitesimální povrch tělesa a jsou charakterizovány intenzitou povrchových sil \mathbf{t} . Celkový silový účinek povrchových sil je síla $\int_V \mathbf{t} dS$ a moment $\mathbf{M} = \int_V (\mathbf{r} \times \mathbf{t}) dS$.

Skutečný (Cauchyho) vektor napětí je definován vztahem

$$\mathbf{t}_{\text{Cauchy}} = {}^t \mathbf{t} = \lim_{\Delta S \rightarrow 0} \frac{\Delta \mathbf{F}}{\Delta S}, \quad (80)$$

kde $\Delta \mathbf{F}$ je výslednice sil působících na okamžitou plochu ΔS , která v limitě přechází na bod. Vztah mezi skutečným vektorem napětí a tenzorem skutečného (Cauchyho) napětí je vyjádřen Cauchyho vztahem

$${}^t \mathbf{t}_i = {}^t \sigma_{ij} {}^t n_j, \quad (81)$$

kde je ${}^t \mathbf{n}$ normála charakterizující orientaci plošky ΔS . Dále bude písmenem σ označováno Cauchyho napětí.

Pro přehlednost jsou uvedeny další míry napětí [16], [17].

1. Piola-Kirchhoffův tenzor napětí τ je skutečné napětí σ vztavené na referenční plochu

$$\tau = j \mathbf{F}^{-1} \sigma. \quad (82)$$

2. Piola-Kirchhoffův tenzor napětí S je skutečné napětí σ přeneseno z aktuální konfigurace na referenční konfiguraci

$$S = j \mathbf{F}^{-1} \sigma \mathbf{F}. \quad (83)$$

Korotované napětí je definováno

$${}^t \sigma = \mathbf{R}^T \sigma \mathbf{R}. \quad (84)$$

Pro ucelení celého problému jsou zde ještě uvedeny definice rychlostí napětí:

1. Jaumannova rychlosť napětí je definována vztahem

$${}^J \dot{\sigma} = \dot{\sigma} - \mathbf{W}_\sigma - \sigma \mathbf{W}^T \quad (85)$$

a má fyzikální význam rychlosti napětí vnímanou pozorovatelem unášeným s bodem, k němuž se vztahuje a současně s ním rotuje.

2. Greenova-Naghdiova rychlosť napětí je časová změna korotovaného napětí a má tvar

$${}^{GN} \dot{\sigma} = \dot{\sigma} + \mathbf{W}^T \sigma + \sigma \mathbf{W}. \quad (86)$$

3. Oldroova rychlosť napětí

$${}^O \dot{\sigma} = \dot{\sigma} - \mathbf{L} \sigma - \sigma \mathbf{L}^T. \quad (87)$$

4. Truesdellova rychlosť napětí

$${}^{TR} \dot{\sigma} = \dot{\sigma} + \text{tr}(\mathbf{L}) \sigma - \mathbf{L} \sigma - \sigma \mathbf{L}^T, \quad (88)$$

kde $\text{tr}(\mathbf{L}) = L_{ii}$.

4.2.2.4. Konjugovanost tenzorů napětí a deformace

Tenzory napětí a deformace jsou konjugované, pokud je výsledkem jejich skalárního součinu práce. Pro skalární součin lze také využít tenzor napětí a tenzor rychlosti deformace. Pokud je jejich skalárním součinem výkon, říkáme, že tyto veličiny jsou výkonově konjugované.

Mechanická práce povrchových a objemových sil v okamžité konfiguraci $'C$ je rovna

$$'W = \int_S {}'_t i {}' u_i d' S + \int_V {}'_t \mathbf{f}_i {}' u_i d' V. \quad (89)$$

Použitím Cauchyho vztahu ${}'_t i = {}'_t \sigma_y {}' n_j$ a Greenovy věty se získá

$$'W = \int_S {}'_t \sigma_y {}' n_j {}' u_i d' S + \int_V {}'_t \mathbf{f}_i {}' u_i d' V = \int_V \left[\frac{\partial ({}'_t \sigma_y {}' u_i)}{\partial x_j} + {}'_t \mathbf{f}_i {}' u_i \right] d' V \quad (90)$$

$$'W = \int_V \left[{}'_t \sigma_y \frac{\partial' u_i}{\partial x_j} + \left(\frac{\partial' \sigma_y}{\partial x_j} + {}'_t \mathbf{f}_i \right) {}' u_i \right] d' V. \quad (91)$$

Vztah v závorce v rovnici (91) představuje levou část rovnice rovnováhy a je tedy pro nulové setrvačné síly rovna nule. Využitím symetrie tenzoru napětí může být mechanická práce vypočtena jako skalární součin skutečného napětí a infinitesimálního tenzoru deformace v okamžité konfiguraci $'C$

$$'W = \int_V {}'_t \sigma_y {}' u_{i,j} d' V = \int_V {}'_t \sigma_y {}' \mathbf{E}_y d' V. \quad (92)$$

Tenzor skutečného napětí a infinitesimálního přetvoření jsou veličiny energeticky konjugované. Podobně pro mechanický výkon platí

$${}' \dot{W} = \int_V {}'_t \sigma_y {}' \dot{u}_{i,j} d' V = \int_V {}'_t \sigma_y {}' L_y d' V = \int_V {}'_t \sigma_y \left({}' D_y + {}' W_y \right) d' V. \quad (93)$$

Skalární součin symetrického tenzoru skutečného napětí $'\sigma_y$ a antisymetrického tenzoru rychlosti rotace $'W_y$ je roven nule. Potom vztah (93) přejde do tvaru

$$'W = \int_V '|\sigma_y|'D_y d^3V. \quad (94)$$

Tenzor skutečného napětí $'\sigma_y$ je výkonově konjugován s tenzorem rychlosti deformace $'D_y$. V následujícím přehledu jsou uvedeny příklady energeticky, resp. výkonově konjugovaných dvojic měr přetvoření a napětí [16].

Míra přetvoření	Míra napětí	Skalární součin
ε_{ij} - infinitesimální tenzor	σ_{ij} - skutečné napětí	práce
D_{ij} - rychlosť deformacie	σ_{ij} - skutečné napětí	výkon
L_{ij} - gradient rychlosťi	σ_{ij} - skutečné napětí	výkon
E_{ij} - Lagrangeův tenzor	S_{ij} - druhý Piola-Kirchhoff	práce
\dot{E}_{ij} - rychlosť Lagrangeova tenzoru	S_{ij} - druhý Piola-Kirchhoff	výkon
\dot{F}_{ij} - rychlosť deformačního gradientu	τ_{ij} - první Piola-Kirchhoff	výkon
∇u_{ij} - gradient rychlosťi posuvu	τ_{ij} - první Piola-Kirchhoff	výkon
\mathcal{E}_{ij} - logaritmický tenzor	$'T = \alpha_{ijkl} R_{mk} \sigma_{mn} R_{nl}$	práce
$\dot{\mathcal{E}}_{ij}$ - rychlosť logaritmického tenzoru	$'T = \alpha_{ijkl} R_{mk} \sigma_{mn} R_{nl}$	výkon

4.2.3. Přehled základních rovnic mechaniky poddajných těles

4.2.3.1. Zákon zachování hmoty

Zákon zachování hmoty představuje rovnost hmotnosti tělesa m v referenční konfiguraci 0C a v aktuální konfiguraci $'C$

$$m = \int_{{}^0V} {}^0\rho d^3V = \int_{{}^0V} \rho d^3V, \quad (95)$$

kde ${}^0\rho$, resp. ρ je hustota v referenční, resp. v aktuální konfiguraci. Pomocí pravidla o substituci v integraci [31] platí

$$\int_V \rho(\mathbf{x}, t) d^3V = \int_{{}^0V} \rho(\mathbf{x}(X, t)) |J| d^3V, \quad (96)$$

kde J je Jacobian transformace definovaný

$$j = \det F, \quad j > 0, \quad F_j = \frac{x_i}{X_j}. \quad (97)$$

Výsledný tvar bilance hmotnosti pro Lagrangeův popis kontinua je porovnáním integrandů (95),(96)

$${}^0\rho = |j|\rho. \quad (98)$$

4.2.3.2. Zákon zachování hybnosti

Na těleso o objemu V , ohrazené povrchem S působí objemové síly popsané intenzitou objemových sil \mathbf{f} a povrchové síly \mathbf{t} vztažené na jednotku plochy. Podle druhého Newtonova zákona je časová změna hybnosti rovna výsledníci vnějších sil působících na těleso

$$\frac{D}{Dt} \int_V \rho v dV = \int_S \mathbf{t} dS + \int_V \mathbf{f} dV. \quad (99)$$

Za použití Cauchyho vztahu a Gaussovy věty pro převod integrálu se odvodí rovnice rovnováhy

$$\int_V \rho \frac{D\mathbf{v}}{Dt} dV = \int_V \frac{\partial \sigma^T}{\partial \mathbf{x}} dV + \int_V \mathbf{f} dV, \quad (100)$$

po složkách v lokálním tvaru

$$\rho \ddot{x}_i = \frac{\partial \sigma_{ji}}{\partial x_j} + f_i, \quad (101)$$

což jsou rovnice rovnováhy v aktuální konfiguraci $'C$.

Rovnice rovnováhy v referenční konfiguraci je pomocí 1. Piola-Kirchhoffova tenzoru napětí τ [16]

$${}^0\rho \ddot{x}_i = \frac{\partial \tau_{ij}}{\partial {}^0x_j} + {}^0f_i, \quad (102)$$

a rovnice rovnováhy pomocí 2. Piola-Kirchhoffova tenzoru napětí τ

$${}^0\rho \ddot{x}_i = \frac{(\partial S_{jr} F_{ir})}{\partial {}^0x_j} + {}^0f_i. \quad (103)$$

4.2.3.3. Zákon zachování momentu hybnosti

Aplikováním 2. impulzové věty pro těleso zatížené objemovými a povrchovými silami je

$$\frac{D}{Dt} \int_V (\mathbf{r} \times \rho v) dV = \int_V (\mathbf{r} \times \mathbf{t}) dV + \int_V (\mathbf{r} \times \mathbf{f}) dV, \quad (104)$$

Pro těleso z nepolárního materiálu [16] a pro statický příklad , tj. časová změna momentu hybnosti je rovna nule, plyne symetrie tenzoru skutečného napětí σ . V dynamických úlohách se musí symetrie skutečného tenzoru napětí postulovat, tzv. Boltzmannův axiom.

4.2.3.4. Zákon zachování energie

Zákon zachování energie představuje bilanci energetické soustavy. Pro mechanickou uzavřenou soustavu je zákon zachování energie vyjádřen pomocí časových derivací následovně

$$\dot{U} + \dot{K} + \dot{G} = P + \dot{Q}, \quad (105)$$

kde \dot{U} je časová změna vnitřní energie, \dot{K} je časová změna kinetické energie, \dot{G} je časová změna polohové energie, P je přivedený výkon a \dot{Q} je časová změna přivedeného tepla.

Pro mechanické uzavřené soustavy s uvažováním jen mechanických veličin je bilance energie

$$\dot{U} + \dot{K} + \dot{G} = P, \quad (106)$$

kde

$$\dot{U} = \int \sigma_y D_y dV, \quad (107)$$

$$\dot{K} = \frac{D}{Dt} \int \frac{1}{2} \rho v_i v_i dV, \quad (108)$$

$$\dot{G} = \int \rho g_i v_i dV, \quad (109)$$

$$P = \int t_i v_i dS + \int f_i v_i dV + \sum_i F_i v_i + \sum_i M_i \dot{\phi}_i, \quad (110)$$

kde F_i , resp. M_i jsou osamělé síly resp. momenty a $\dot{\phi}_i$ jsou rychlosti natočení.

4.2.3.5. Rovnice kompatibility

Lagrangeův, Almanasiho, popř. infinitesimální tenzor přetvoření má šest složek, které se určí z pole posunutí u . Pokud je pole posuvu spojité i se svými parciálními derivacemi , lze složky měr přetvoření určit jednoznačně [17].

V inverzním problému, tj. z pole měr deformací určit pole posuvů, je to složitější. Pomocí šesti rovnic definujících míru přetvoření je úlohou určit tři funkce složek posuvu. Aby řešení bylo jednoznačné je nutné, aby složky měr přetvoření splnily tzv. rovnice kompatibility deformací. Pro tenzor infinitesimálních deformací mají rovnice kompatibility tvar

$$e_{jmn} \frac{\partial}{\partial X_n} \left(\frac{\partial \varepsilon_{im}}{\partial X_i} - \frac{\partial \varepsilon_{im}}{\partial X_i} \right) = 0 , \quad (111)$$

kde e_{jmn} je Levi-Civitův tenzor deformace.

4.2.3.6. Konstitutivní vztahy

V předchozích kapitolách byly zmíněny rovnice které platí pro obecné kontinuum. Soustavu těchto rovnic doplňují konstitutivní rovnice, tedy vztahy, které zohledňují odezvu konkrétního materiálu na určitou situaci. Mezi nejznámější modely odezvy tělesa patří např. model elastického, hyperelastického, elastoplastického, viskoelastoplastického chování materiálu.

Tvářený materiál v procesech plošného tváření se považuje za elastoplastický anizotropní materiál. Pro tento výpočtový model chování materiálu se konstitutivním vztahem rozumí závislost míry napětí a míry deformace. Pokud se použije tenzor skutečného napětí σ a infinitesimální tenzor deformace ε , jako konjugované míry napětí a deformace, rozumí se konstitutivním vztahem závislost $F(\sigma_{ij}, \varepsilon_{ij}) = 0$.

4.2.3.6. Počáteční podmínky

Pro úplnost formulace úloh mechaniky poddajných těles se rovnice rovnováhy, zákon zachování energie, konstitutivní rovnice a rovnice kompatibility musí doplnit geometrickými a statickými okrajovými podmínkami. Geometrická okrajová podmínka má tvar

$$u_i = \bar{u}_i , \quad (112)$$

statická okrajová podmínka má tvar

$$\sigma_{ij} n_j = \bar{t}_i , \quad (113)$$

kde \bar{u}_i jsou předepsané posuvy na povrchu S_u a \bar{t}_i jsou předepsané povrchové sily na povrchu S_t . Pro dynamickou, nestacionární úlohu je dále nutné předepsat počáteční podmínky

$$u(t=0) = \bar{u}_0 \quad (114)$$

$$\dot{u}(t=0) = \bar{\dot{u}}_0 . \quad (115)$$

4.2.4. Základy metody konečných prvků

Problematika metody konečných prvků jako přibližné numerické metody řešení parciálních diferenciálních rovnic je značně komplikovaná [18]. Diskretizace metodou konečných prvků se provádí pokrytím oblasti jednoduchými geometrickými útvary, kterým se říká konečné prvky. Pokrytí se realizuje tak, aby nevznikly žádné umělé dutiny a prvky jsou spojovány jen několika hraničními body – uzly. Hlavní myšlenka metody konečných prvků je založena na approximaci veličiny φ pomocí funkčních hodnot veličiny v uzlech Φ . Aproximace se realizuje jako lineární kombinace tvarových funkcí

$$\varphi = \mathbf{N}\Phi. \quad (116)$$

Tato spojitá oblast s nekonečným počtem částic kontinua se nahradí diskrétním prostředím s konečným počtem stupňů volnosti, hovoříme o tzv. diskretizaci oblasti. V mechanice poddajných těles se při řešení deformační variantou metody konečných prvků approximuje pole posuvu \mathbf{u}

$$\mathbf{u} = \mathbf{Nq}, \quad (117)$$

kde \mathbf{q} jsou zobecněné posovy a \mathbf{N} je matice tvarových funkcí, která je funkcí prostorových souřadnic. Za předpokladu, že matice tvarových funkcí není funkcí času, je approximováno pole rychlostí a zrychlení

$$\dot{\mathbf{u}} = \mathbf{N}\ddot{\mathbf{q}}, \quad (118)$$

$$\ddot{\mathbf{u}} = \mathbf{N}\ddot{\mathbf{q}}, \quad (119)$$

Tenzor	infinitesimální	deformace	reprezentován	vektorem
$\underline{\varepsilon} = [\varepsilon_x, \varepsilon_y, \varepsilon_z, \gamma_{yx}, \gamma_{xz}, \gamma_{xy}]$	se určí z			
$\underline{\sigma} = \mathbf{Bq}$,				

Napjatost je charakterizována vektorem $\underline{\sigma} = [\sigma_x, \sigma_y, \sigma_z, \tau_{yx}, \tau_{xz}, \tau_{xy}]$

Odvození rovnice rovnováhy se provede za pomoci principu virtuálních prací. Předpokládáme lineární případ a malé posovy a přetvoření. Energetická bilance s uvažováním pouze mechanických veličin je podle (105)

$$\delta K + \delta U = \delta P, \quad (121)$$

po rozepsání

$$\int \delta \mathbf{u}^T \rho \ddot{\mathbf{u}} dV + \int \delta \underline{\varepsilon}^T \underline{\sigma} dV = \int \delta \mathbf{u}^T \mathbf{f} dV + \int \delta \mathbf{u}^T \mathbf{t} dS + \delta \mathbf{u}^T \underline{\mathbf{F}}, \quad (122)$$

kde $\underline{\mathbf{F}}$ je vektor singulárních zobecněných sil. Po diskretizaci a úpravě přejde (122) na

$$\delta \mathbf{q}^T \left[\int \rho \mathbf{N}^T \mathbf{N} \ddot{\mathbf{q}} dV + \int \mathbf{B}^T \underline{\sigma} dV - \int \mathbf{N}^T \mathbf{f} dV - \int \mathbf{N}^T \mathbf{t} dS - \underline{\mathbf{F}} \right] = 0, \quad (123)$$



Rovnice (123) musí platit pro libovolné $\partial\mathbf{q}$, po přeznačení a zahrnutí členu reprezentující tlumení je výsledná pohybová rovnice

$$\mathbf{M}\ddot{\mathbf{q}} + \mathbf{C}\dot{\mathbf{q}} = \mathbf{F}^{ext} - \mathbf{F}^{int}, \quad (124)$$

kde

$$\mathbf{M} \text{ je matice hmotnosti} \quad \int_V \rho \mathbf{N}^T \mathbf{N} dV$$

$$\mathbf{F}^{int} \text{ jsou vnitřní síly} \quad \int_V \mathbf{B}^T \underline{\sigma} dV$$

$$\mathbf{F}^{ext} \text{ jsou vnější síly} \quad \int_V \mathbf{N}^T \mathbf{f} dV + \int_S \mathbf{N}^T \mathbf{t} dS + \underline{\mathbf{F}}$$

4.2.5. Konstitutivní vztah elastoplastického anizotropního materiálu

4.2.5.1. Odvození obecného konstitutivního modelu elastoplastického materiálu s kombinovaným modelem zpevnění

Cílem této kapitoly je odvodit vztah mezi konjugovanými mírami napětí a mírami deformace popisující chování elastoplastického materiálu. Mírou napětí je zvolen tenzor skutečných napětí σ a mírou přetvoření je zvolen tenzor infinitesimálního přetvoření ε .

Překročí-li napětí určitou hodnotu, pak po odlehčení zůstanou v materiálu trvalé plastické deformace. Po odlehčení vymizí pouze vratné elastické deformace, které se řídí Hookovým zákonem. Dále se předpokládá explicitní nezávislost deformací na čase a rychlosti zatěžování. Z principu vzniku plastických deformací u kovových materiálů nejsou tyto deformace závislé na středním napětí σ_H

$$\sigma_H = \frac{1}{3} \sigma_u, \quad (125)$$

Rozhodující vliv na rozvoj plastické deformace má deviátor napětí s_{ij} definovaný

$$s_{ij} = \sigma_{ij} - \sigma_H \delta_{ij}, \quad (126)$$

kde δ_{ij} je Kroneckerovo delta. Pokud složky deviátoru napětí s_{ij} popř. σ_{ij} vyhovují podmínce plasticity $F(s_{ij}) = 0$, popř. $F(\sigma_{ij}) = 0$ mohou vznikat plastické deformace. Je-li $F < 0$, je materiál v elastickém stavu. Stav $F > 0$ je nepřípustný. Geometrickým obrazem podmínky plasticity $F(\sigma_{ij}) = 0$ v prostoru napětí σ_{ij} , popř. s_{ij} je plocha plasticity. Funkce F se nazývá funkce plasticity.

U reálných materiálů dochází ke zpevnění, tj. k další deformaci je zapotřebí zvýšit napětí. Pro popis deformačního zpevnění se využívají různé matematické modely

deformačního zpevnění. Základními modely jsou modely izotropního zpevnění, kinematického zpevnění a jejich vzájemná kombinace [16]. Model izotropního zpevnění je reprezentován rozpínáním plochy plasticity a mění se tedy okamžitá meze kluzu, která je charakterizována parametrem κ . Parametr κ je funkci kumulativní plastické deformace ε_p

$$\varepsilon_p(t) = \int \dot{\varepsilon}_p(\tau) d\tau = \int \sqrt{\frac{2}{3} Y_{ijkl} \dot{\varepsilon}_j^p \dot{\varepsilon}_{kl}^p} d\tau, \quad (127)$$

kde tenzor Y_{ijkl} zahrnuje anizotropní chování materiálu. Při numerickém přírůstkovém výpočtu jsou jednotlivé tenzory infinitesimálního přetvoření vztažené na jinou konfiguraci, proto se musí místo kumulativní plastické deformace ε_p zavést logaritmická kumulativní plastická deformace \mathcal{E}_p definovaná vztahem

$$\mathcal{E}_p(t) = \int \dot{\mathcal{E}}_p(\tau) d\tau = \int \sqrt{\frac{2}{3} Y_{ijkl} \dot{\mathcal{E}}_j^p \dot{\mathcal{E}}_{kl}^p} d\tau \doteq \sum_{m=0}^n \sqrt{\frac{2}{3} Y_{ijkl} (\Delta \dot{\varepsilon}_{ij}^p)_m (\Delta \dot{\varepsilon}_{kl}^p)_m} \Delta t_m. \quad (128)$$

Při experimentálním zjišťování se logaritmická kumulativní plastická deformace \mathcal{E}_p určuje pomocí intenzity logaritmických plastických deformací φ_i^p .

Kinematickému modelu odpovídá posuv plochy plasticity. Nejjednodušším modelem kinematického zpevnění je model Pragerův, kdy se mezní plocha posouvá ve směru vektoru znázorňující plastickou deformaci. Posuv plochy plasticity je možné tedy určit jako $\alpha_j = c \varepsilon_j^p$, kde c je konstanta úměrnosti.

Pro malé deformace platí tzv. aditivní zákon

$$\dot{\varepsilon}_j = \dot{\varepsilon}_j^e + \dot{\varepsilon}_j^p. \quad (129)$$

Pro elastické deformace se předpokládá platnost Hookova zákona ve tvaru

$$\dot{\sigma}_j = C_{ijkl} \dot{\varepsilon}_{kl}^e, \quad (130)$$

kde C je tenzor čtvrtého řádu a nazývá se tenzor elastických konstant. Tenzor C má pro obecný elastický materiál 21 konstant [19]. Pro plastické deformace se předpokládá zákon tečení ve tvaru

$$\dot{\varepsilon}_j^p = \lambda \frac{\partial g}{\partial \sigma_j}, \quad (131)$$

kde g je plastický potenciál a λ je plastický multiplikátor pro který platí $\lambda \geq 0$. Po vyjádření elastických deformací z (129) a dosazení do (130) se získá rovnice

$$\dot{\sigma}_j = C_{ijkl} \left(\dot{\varepsilon}_{kl} - \lambda \frac{\partial g}{\partial \sigma_{kl}} \right). \quad (132)$$

Rychlosť kumulatívneho plastického pretvorenia je vhodné vyjadriť pomocou vzťahu (131)

$$\dot{\varepsilon}_p = \lambda \sqrt{\frac{2}{3} Y_{ijkl} \frac{\partial g}{\partial \sigma_{ij}} \frac{\partial g}{\partial \sigma_{kl}}} . \quad (133)$$

Pre ďalšie úpravy je nutné vynásobiť rovnici (132) výrazom $\frac{\partial f}{\partial \sigma_{ij}}$

$$\frac{\partial f}{\partial \sigma_{ij}} \dot{\sigma}_{ij} = \frac{\partial f}{\partial \sigma_{ij}} C_{ijkl} \left(\dot{\varepsilon}_{kl} - \lambda \frac{\partial g}{\partial \sigma_{kl}} \right) . \quad (134)$$

Funkciu plasticity lze s uvažováním kombinace izotropného a kinematického modelu zpevniť prepsať na tvar

$$F(\sigma_{ij}, \dot{\sigma}_{ij}, \dot{\varepsilon}_p) = f(\sigma_{ij} - c \dot{\varepsilon}_{ij}^p) - \kappa(\dot{\varepsilon}_p) . \quad (135)$$

Vznikajúce plastické deformace je funkcia plasticity F rovna nule a také platí podmienka konzistence $\dot{F} = 0$

$$\frac{\partial f}{\partial \sigma_{ij}} \dot{\sigma}_{ij} - \frac{\partial f}{\partial \sigma_{ij}} c \dot{\varepsilon}_{ij}^p - \frac{\partial \kappa}{\partial \dot{\varepsilon}_p} \dot{\varepsilon}_p = 0 . \quad (136)$$

Dosadením z (131), (133) a porovnáním (136) s (134) se dostane rovnice

$$\frac{\partial f}{\partial \sigma_{ij}} C_{ijkl} \left(\dot{\varepsilon}_{kl} - \lambda \frac{\partial g}{\partial \sigma_{kl}} \right) = c \lambda \frac{\partial f}{\partial \sigma_{ij}} \frac{\partial g}{\partial \sigma_{ij}} + \lambda \frac{\partial \kappa}{\partial \dot{\varepsilon}_p} \sqrt{\frac{2}{3} Y_{ijkl} \frac{\partial g}{\partial \sigma_{ij}} \frac{\partial g}{\partial \sigma_{kl}}} , \quad (137)$$

z této rovnice lze vyjádriť plastický multiplikátor λ

$$\lambda = \frac{\frac{\partial f}{\partial \sigma_{ij}} C_{ijkl} \dot{\varepsilon}_{kl}}{\frac{\partial \kappa}{\partial \dot{\varepsilon}_p} \sqrt{\frac{2}{3} Y_{ijkl} \frac{\partial g}{\partial \sigma_{ij}} \frac{\partial g}{\partial \sigma_{kl}}} + c \frac{\partial f}{\partial \sigma_{ij}} \frac{\partial g}{\partial \sigma_{ij}} + \frac{\partial f}{\partial \sigma_{ij}} C_{ijkl} \frac{\partial g}{\partial \sigma_{kl}}} . \quad (138)$$

A dosadením (138) do (132) se určí konečný vzťah mezi $\dot{\sigma}$ a $\dot{\varepsilon}$

$$\dot{\sigma}_{ij} = \left(C_{ijkl} - \frac{C_{ijkl} \frac{\partial f}{\partial \sigma_{ij}} C_{ijkl} \frac{\partial g}{\partial \sigma_{kl}}}{\frac{\partial \kappa}{\partial \dot{\varepsilon}_p} \sqrt{\frac{2}{3} Y_{ijkl} \frac{\partial g}{\partial \sigma_{ij}} \frac{\partial g}{\partial \sigma_{kl}}} + c \frac{\partial f}{\partial \sigma_{ij}} \frac{\partial g}{\partial \sigma_{ij}} + \frac{\partial f}{\partial \sigma_{ij}} C_{ijkl} \frac{\partial g}{\partial \sigma_{kl}}} \right) \dot{\varepsilon}_{kl} . \quad (139)$$

Pro větší přehlednost se zavádí tenzor čtvrtého řádu s názvem tenzor elastoplastických vlastností C^{ep} , jehož složky jsou

$$C_{ijkl}^{ep} = C_{ijkl} - \frac{C_{ijkl} \frac{\partial f}{\partial \sigma_{ij}} C_{ijkl} \frac{\partial g}{\partial \sigma_{kl}}}{\frac{\partial \kappa}{\partial \dot{\varepsilon}_p} \sqrt{\frac{2}{3} Y_{ijkl} \frac{\partial g}{\partial \sigma_{ij}} \frac{\partial g}{\partial \sigma_{kl}}} + c \frac{\partial f}{\partial \sigma_{ij}} \frac{\partial g}{\partial \sigma_{ij}} + \frac{\partial f}{\partial \sigma_{ij}} C_{ijkl} \frac{\partial g}{\partial \sigma_{kl}}} , \quad (140)$$

Po zavedení C^{ep} lze závislost tenzoru rychlosti napětí $\dot{\sigma}$ a tenzoru rychlosti deformace $\dot{\varepsilon}$ přepsat do hledaného vztahu

$$\dot{\sigma} = C^{ep} \dot{\varepsilon}. \quad (141)$$

4.2.5.2. Matice elastoplastického chování C^{ep} pro potřeby numerické simulace plošného tváření

Při numerické simulaci plošného tváření je možno zavést určitá zjednodušení [15]:

1. Asociativní zákon tečení, tj. $g = f$.
2. Izotropní zpevnění, $c = 0$.
3. Hillova podmínka plasticity ve tvaru $F = f - \kappa = 0$

$$f = \frac{1}{2(F + G + H)} \left[F(\sigma_y - \sigma_z)^2 + G(\sigma_z - \sigma_x)^2 + H(\sigma_x - \sigma_y)^2 + 2L\tau_{yz}^2 + 2M\tau_{zx}^2 + 2N\tau_{xy}^2 \right]$$

$$\kappa = \frac{1}{3} \sigma_i^2 (\varphi_i^p), \text{ modul zpevnění } H_p = \frac{\partial \sigma_i}{\partial \varphi_i^p},$$

kde F, G, H, L, M, N jsou parametry Hillovy podmínky plasticity.

4. Intenzita napětí ve tvaru

$$\sigma_i^2 = \frac{3}{2} \left[\frac{F(\sigma_y - \sigma_z)^2 + G(\sigma_z - \sigma_x)^2 + H(\sigma_x - \sigma_y)^2 + 2L\tau_{yz}^2 + 2M\tau_{zx}^2 + 2N\tau_{xy}^2}{F + G + H} \right].$$

5. Matice elastických konstant pro ortogonální materiál

$$C = \begin{bmatrix} c_{11} & c_{12} & c_{13} & 0 & 0 & 0 \\ c_{12} & c_{22} & c_{23} & 0 & 0 & 0 \\ c_{13} & c_{23} & c_{33} & 0 & 0 & 0 \\ c_{12} & c_{22} & c_{23} & 0 & 0 & 0 \\ 0 & 0 & 0 & c_{44} & 0 & 0 \\ 0 & 0 & 0 & 0 & c_{55} & 0 \\ 0 & 0 & 0 & 0 & 0 & c_{66} \end{bmatrix}.$$

6. Rovinná napjatost je popsána vektorem napětí $\underline{\sigma}$ a vektorem deformace $\underline{\varepsilon}$

$$\underline{\sigma} = [\sigma_x, \sigma_y, \tau_{xy}]^T, \quad \underline{\varepsilon} = [\varepsilon_x, \varepsilon_y, \gamma_{xy}]^T.$$

Pro tyto předpoklady a označení je výsledná elastoplastická matice popisující vztah mezi $\dot{\sigma}$ a $\dot{\varepsilon}$

$$\underline{\dot{\sigma}} = \underline{C}^{ep} \underline{\dot{\varepsilon}}, \quad (142)$$

$$\underline{C}^{ep} = \begin{bmatrix} \bar{c}_{11} - \frac{\bar{s}_1^2}{\bar{s}} & & sym. \\ \bar{c}_{12} - \frac{\bar{s}_1 \bar{s}_1}{\bar{s}} & \bar{c}_{12} - \frac{\bar{s}_2 \bar{s}_2}{\bar{s}} & \\ - \frac{\bar{s}_1 \bar{s}_6}{\bar{s}} & - \frac{\bar{s}_2 \bar{s}_6}{\bar{s}} & \bar{c}_{66} - \frac{\bar{s}_6^2}{\bar{s}} \end{bmatrix}, \quad (143)$$

kde

$$\bar{c}_{11} = c_{11} - \frac{c_{13}c_{13}}{c_{33}}, \quad \bar{c}_{12} = c_{12} - \frac{c_{13}c_{23}}{c_{33}}, \quad \bar{c}_{22} = c_{22} - \frac{c_{33}c_{23}}{c_{33}}, \quad \bar{c}_{66} = c_{66}$$

$$\bar{s}_1 = \bar{c}_{11}\sigma'_x + \bar{c}_{12}\sigma'_y, \quad \bar{s}_2 = \bar{c}_{12}\sigma'_x + \bar{c}_{22}\sigma'_y, \quad \bar{s}_6 = 2\bar{c}_{66}\tau'_{xy},$$

$$\bar{s} = \frac{4}{9}\sigma_i^2 H_p + \bar{s}_1\sigma'_x + \bar{s}_2\sigma'_y + 2\bar{s}_6\tau'_{xy},$$

$$\sigma'_x = \frac{H(\sigma_x - \sigma_y) + G(\sigma_x - \sigma_z)}{F + G + H}, \quad \sigma'_y = \frac{F(\sigma_y - \sigma_z) + H(\sigma_y - \sigma_x)}{F + G + H}, \quad \tau'_{xy} = \frac{N\tau_{xy}}{F + G + H}$$

$$r_0 = \frac{H}{G}, \quad r_{90} = \frac{H}{F}, \quad r_{45} = \frac{2N - (F + G)}{2(F + G)}, \quad \frac{N}{G} = \left(\frac{1}{2} + r_{45} \right) \left(1 + \frac{r_0}{r_{90}} \right),$$

kde r_0, r_{45}, r_{90} jsou součinitele normálové anizotropie.

Rychlosť deformacie $\dot{\varepsilon}_z$ kolmé na rovinu xy je možné vypočítať podľa vzťahu

$$\dot{\varepsilon}_z = \dot{\varepsilon}_z^e + \dot{\varepsilon}_z^p, \quad (144)$$

kde

$$\dot{\varepsilon}_z^p = -(\sigma'_x + \sigma'_y) \frac{\bar{s}_1 \dot{\varepsilon}_x + \bar{s}_2 \dot{\varepsilon}_y + \bar{s}_6 \dot{\gamma}_{xy}}{\bar{s}}$$

$$\dot{\varepsilon}_z^e = d_{13} (\bar{c}_{11} \dot{\varepsilon}_x + \bar{c}_{12} \dot{\varepsilon}_y) + d_{23} (\bar{c}_{12} \dot{\varepsilon}_x + \bar{c}_{22} \dot{\varepsilon}_y),$$

kde d_{13} a d_{13} jsou složky tenzoru C^1 .

Deformaci ε_z je možné využiť k výpočtu aktuálnej tloušťky materiálu t

$$t = \int_{\frac{t_0}{2}}^{\frac{t_0}{2}} \varepsilon_z dz. \quad (145)$$

4.2.6. Numerická integrace elastoplastických konstitutivních vzťahů

Elastoplastické vzťahy jsou většinou formulovány ve tvaru

$$\dot{\sigma} = C^{ep}(\sigma)\dot{\varepsilon}, \quad (146)$$

což je soustava šesti nelineárních diferenciálních rovnic pro napětí. V mnoha algoritmech pro elastoplastickou analýzu se nejprve určí přírůstek infinitesimálního tenzoru deformace $\Delta\varepsilon$ a úkolem je nalézt ekvivalentní přírůstek napětí $\Delta\sigma$.

Pro numerickou integraci elastoplastických konstitutivních vztahů je možné použít např. metodu prediktor-korektor, sečnou metodu, zobecněné metody-zobecněnou metodu lichoběžníkovou metodu nebo zobecněnou obdélníkovou metodu [16].

4.2.7. Popis deformace skořepiny – Mindlinova hypotéza

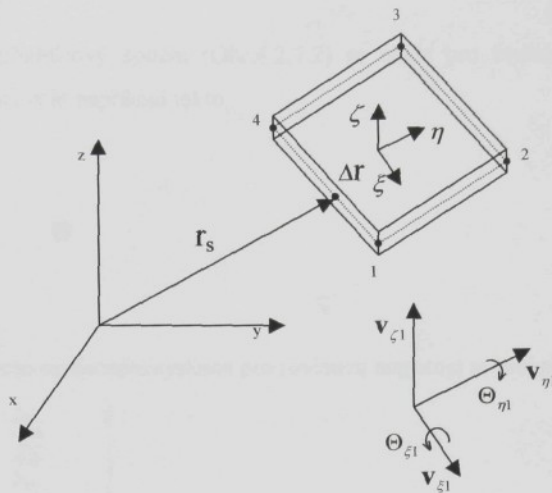
Při plošném tváření můžeme z výpočtového hlediska plech považovat za skořepinu. Skořepina je prvek plošného charakteru, jehož jeden rozměr je podstatně menší než zbývající dva. Střední plocha je geometrickým místem bodů, půlící tloušťku skořepiny. Tvarově složitě výlisky s malými poloměry zaobljení r_{min} , které jsou srovnatelné s tloušťkou h , tj. platí $h/r_{min} \geq 1$, se považují za tlustostenné skořepiny [20]. U těchto skořepin nelze zanedbat normálové napětí kolmé ke střední ploše skořepiny, ani nelze zanedbat zprohýbání normál ke střední ploše v důsledku smykových napětí, tj. neplatí Kirchhoffova hypotéza [20], což má za následek nelineární rozložení napětí po tloušťce materiálu. Důsledkem těchto skutečností jsou velmi komplikované výpočtové vztahy.

Pro možnost řešení složitých úloh tlustostenných skořepin se zavádí zjednodušení. Zavádí se předpoklad o chování normál, tzv. Mindlinova hypotéza – normály ke střednici zůstávají i po deformaci kolmé, ale nemusí být kolmé k zdeformované střednici. Z tohoto předpokladu plyne konstantní průběh zkosa po tloušťce materiálu. Dalším zjednodušením je předpoklad o napjatosti, kde se předpokládá rovinářná napjatost v rovině skořepiny.

Souřadnice libovolného bodu lze vyjádřit

$$\begin{bmatrix} x \\ y \\ z \end{bmatrix} = \sum_{i=1}^n N_i(r,s) \frac{1-t}{2} \begin{bmatrix} x_i \\ y_i \\ z_i \end{bmatrix}_d + \sum_{i=1}^n N_i(r,s) \frac{1+t}{2} \begin{bmatrix} x_i \\ y_i \\ z_i \end{bmatrix}_h , \quad (147)$$

kde $[x_i, y_i, z_i]_h^T$, resp. $[x_i, y_i, z_i]_d^T$ jsou souřadnice bodů ležící na horní resp. na dolní ploše skořepiny, N_i jsou interpolační polynomy, $r, s, t \in (-1, 1)$. Další možné vyjádření libovolného bodu je na Obr. 4.2.7.1.



Obr.4.2.7.1. Skořepinový bilineární čtyřuzlový prvek

$$\begin{bmatrix} x \\ y \\ z \end{bmatrix} = \mathbf{r}_s + \Delta \mathbf{r} = \sum_{i=1}^n N_i(r, s) \begin{bmatrix} x_i \\ y_i \\ z_i \end{bmatrix}_s + \sum_{i=1}^n N_i(r, s) \frac{h_i}{2} \mathbf{v}_{\xi i}, \quad (148)$$

kde $[x_i, y_i, z_i]_s^T$ jsou souřadnice bodů ležících na střednici, $\mathbf{v}_{\xi i}$ je vektor směřující od dolního bodu skořepiny k hornímu bodu a má jednotkovou délku.

Za předpokladu zanedbatelného zkrácení vektoru $\mathbf{v}_{\xi i} = h_i \mathbf{v}_{\xi i}$ lze approximovat posuv libovolného bodu skořepiny pomocí posuvu bodu na střednici $\mathbf{u}_{is} = [u_{is}, v_{is}, w_{is}]^T$ a pomocí natočení $\Theta_{\xi i}, \Theta_{\eta i}$ kolem lokálních os $\mathbf{v}_{\xi i}, \mathbf{v}_{\eta i}$ v lokálním souřadném systému

$$\begin{bmatrix} u \\ v \\ w \end{bmatrix} = \sum_{i=1}^n N_i(r, s) \begin{bmatrix} u_{is} \\ v_{is} \\ w_{is} \end{bmatrix}_s + \sum_{i=1}^n N_i(r, s) \frac{h_i}{2} [\mathbf{v}_{\xi i} - \mathbf{v}_{\eta i}] \begin{bmatrix} \Theta_{\xi i} \\ \Theta_{\eta i} \end{bmatrix}. \quad (149)$$

Interpolační funkce pro bilineární čtyřúhelníkový prvek jsou

$$N_1 = \frac{1}{4}(1+r)(1+s)$$

$$N_2 = \frac{1}{4}(1-r)(1+s)$$

$$N_3 = \frac{1}{4}(1-r)(1-s)$$

$$N_4 = \frac{1}{4}(1+r)(1-s). \quad (150)$$

Lokální souřadnicový systém (Obr.4.2.7.2) se může pro čtyřúhelníkový element s bilineární approximací volit například takto

$$\mathbf{v}_\xi = \frac{\mathbf{r}_{12}}{|\mathbf{r}_{12}|}, \quad (151)$$

$$\mathbf{v}_\eta = \frac{\mathbf{r}_{13} \times \mathbf{r}_{24}}{|\mathbf{r}_{13} \times \mathbf{r}_{24}|}, \quad (152)$$

$$\mathbf{v}_\eta = \mathbf{v}_\xi \times \mathbf{v}_\xi. \quad (153)$$

Deformace v lokálním souřadném systému pro rovinou napjatost se určí podle vztahu

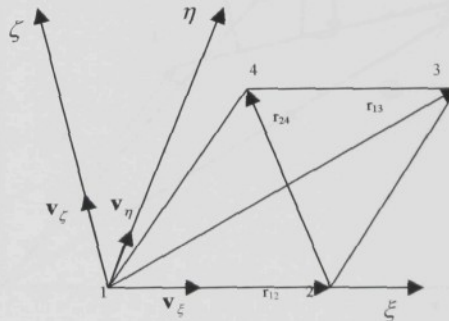
$$\underline{\varepsilon}' = \begin{bmatrix} \varepsilon_\xi \\ \varepsilon_\eta \\ \gamma_{\xi\eta} \end{bmatrix} = \begin{bmatrix} \frac{\partial u_\xi}{\partial \xi} \\ \frac{\partial u_\eta}{\partial \eta} \\ \frac{1}{2} \left(\frac{\partial u_\xi}{\partial \xi} + \frac{\partial u_\eta}{\partial \eta} \right) \end{bmatrix}. \quad (154)$$

Deformace lze vyjádřit pomocí globálních zobecněných posuvů uzlů

$$\underline{\varepsilon}' = \mathbf{B}\mathbf{q}', \quad (155)$$

kde $\mathbf{q}'^T = [\mathbf{q}_1^T, \mathbf{q}_2^T, \dots, \mathbf{q}_N^T]^T$ je vektor zobecněných posuvů, $\mathbf{q}_i^T = [u_{is}, v_{is}, w_{is}, \Theta_{\xi i}, \Theta_{\eta i}]^T$, N je počet uzlů.

Matice hmotnosti \mathbf{M} pro těleso složené ze čtyřuzlových skořepinových prvků s bilineární approximací je diagonální. Této vlastnosti matice hmotnosti \mathbf{M} se využívá při numerické simulaci řešení pohybové rovnice explicitním schématem.



Obr.4.2.7.2. Volba lokálního souřadného systému

4.2.8. Popis kontaktu s třením

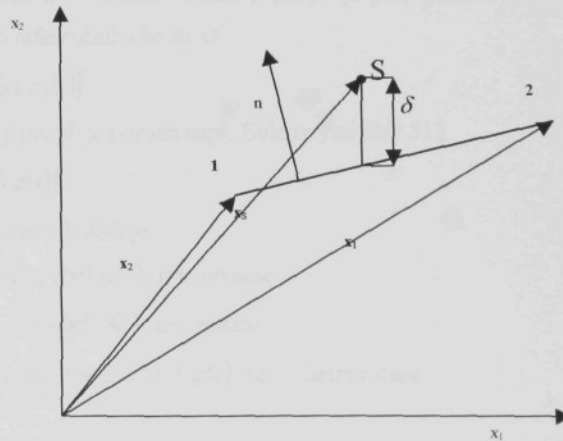
Pokud se dvě reálná tělesa stýkají, působí na sebe silami a to ve směru normály normálovou silou \mathbf{F}_n a v tečné rovině tečnou silou \mathbf{F}_t . Při uvažování pouze mechanických veličin musí pro dvě tělesa v kontaktu platit tyto podmínky:

1. Geometrické podmínky $V^1 \cap V^1 = 0$ a $S^1 \cap S^1 \neq 0$, tj. $\mathbf{x}^1 = \mathbf{x}^2$ a $\mathbf{n}^1 = -\mathbf{n}^2$.
2. Kinematické podmínky $\dot{\mathbf{u}}^1 \mathbf{n}^1 + \dot{\mathbf{u}}^2 \mathbf{n}^2 = 0$.
3. Platnost rovnice kompatibility obou těles.
4. Rovnováha jednotlivých těles.
5. Platnost principu akce a reakce, tj. $\mathbf{F}^1 = -\mathbf{F}^2$, kde $\mathbf{F} = \mathbf{F}_n + \mathbf{F}_t$.
6. Platnost konstitutivních vztahů, tj. vztah mezi \mathbf{F}_n , \mathbf{F}_t (např. Coulombův model).

Pro řešení kontaktních úloh se nejčastěji využívají metody:

1. pomocných vazebních podmínek, tzv. *gap* elementy.
2. Lagrangeových multiplikátorů λ .
3. Barierových funkcí.
4. Přídavných pružin a sestavení tangenciální matice tuhosti pro kontakt \mathbf{K}_c , která se zahrne do celkové matice tuhosti \mathbf{K} .

Pro vyhledávání prvků, které jsou v kontaktu, se často používá tzv. vyhledávací algoritmus Master-Slave. Jedno těleso se považuje za Master a jeho geometrii vstupující do algoritmu jsou stěny. Druhé těleso je označováno jako Slave a rozhodující jsou plochy uzlů, tzv. Slave uzlů S (Obr.4.2.8.1).



Obr.4.2.8.1. Vyhledávací algoritmus Master-Slave

Průmět rádiovéktoru definující polohu Slave uzlu S do normály \mathbf{n} Master prvku je např. vyjádřen podle

$$\delta = (\mathbf{x}_l - \mathbf{x}_S)^\top \mathbf{n} . \quad (156)$$

Pokud platí:

$\delta > 0$ Slave uzel není v kontaktu s Master prvkem

$\delta = 0$ Slave uzel leží na Master prvkem

$\delta < 0$ Slave uzel je v penetraci s Master prvkem, tělesa jsou v kontaktu

4.2.9. Pohybové rovnice tuhého tělesa podrobeného vazbám

V procesu plošného tváření navzájem interagují tělesa, např. přístříh a tažník, přístříh a tažnice atd.. Tyto tělesa jsou ve vzájemném kontaktu a navzájem se ovlivňují. Je nutné popsat jednoznačně polohu, orientaci jednotlivých těles a pro tato tělesa sestavit pohybové rovnice. Tělesa charakterizující části tvářecího nástroje lze ve většině případů považovat za tuhá tělesa.

4.2.9.1. Popis polohy a orientace tuhého tělesa

V kinematice se obecný prostorový pohyb tuhého tělesa rozkládá základním rozkladem na unášivý posuvný pohyb referenčního bodu Ω a na relativní sférický pohyb kolem referenčního bodu Ω . Volné těleso konající obecně prostorový pohyb má 6 stupňů volnosti, 3 posuvné a 3 sférické. Unášivý pohyb je plně popsán třemi rovnicemi popisující prostorový pohyb referenčního bodu Ω

$$\mathbf{r}_\Omega(t) = [x_\Omega(t), y_\Omega(t), z_\Omega(t)]^\top \quad (157)$$

a relativní sférický pohyb je popsán např. Eulerovými úhly 313

$$\Phi_i(t) = [\psi(t), \vartheta(t), \phi(t)]^\top , \quad (158)$$

kde význam jednotlivých úhlů je

rotace kolem osy ζ o úhel $\psi(t)$, tzv. precese

rotace kolem osy ξ o úhel $\vartheta(t)$, tzv. nutace

následná rotace kolem osy ζ o úhel $\phi(t)$, tzv. vlastní rotace

Nechť \mathbf{r}_M je polohový vektor libovolného bodu M v prostoru tělesa. Polohu bodu M tělesa v základním souřadném prostoru $O(xyz)$ lze vyjádřit vztahem

$$\mathbf{r}_M = \mathbf{r}_\Omega + \mathbf{S}\mathbf{r}_M , \quad (159)$$

kde S je transformační matice z prostoru tělesa $\Omega(\zeta\eta\xi)$ do základního souřadného prostoru 0(xyz). Pro Eulerovy úhly je transformační matice S

$$S = \begin{bmatrix} c\psi c\varphi - s\psi c\vartheta s\varphi & -c\psi s\varphi - s\psi c\vartheta s\varphi & s\psi s\vartheta \\ s\psi c\varphi + c\psi c\vartheta s\varphi & -s\psi s\varphi + c\psi c\vartheta c\varphi & -c\psi s\vartheta \\ s\vartheta s\varphi & s\vartheta c\varphi & c\vartheta \end{bmatrix}, \quad (160)$$

kde $s \equiv \sin$, $c \equiv \cos$.

Rychlosť bodu M je s využitím neměnnosti vektoru \mathbf{r}_M v prostoru tělesa dána vztahem

$$\dot{\mathbf{r}}_M = \dot{\mathbf{r}}_\Omega + \dot{\mathbf{S}}\mathbf{r}_M. \quad (161)$$

4.2.9.2. Pohybové rovnice pro tuhé těleso

Pohybové rovnice pro těleso podrobeného vazbám jsou popsány Lagrangeovými rovnicemi smíšeného typu [21]

$$\frac{d}{dt} \frac{\partial E_k}{\partial \dot{\mathbf{q}}_i} - \frac{\partial E_k}{\partial \mathbf{q}_i} = \mathbf{Q} - \frac{\partial G}{\partial \mathbf{q}_i} + \sum_{k=1}^r \lambda_k \frac{\partial f}{\partial \mathbf{q}_i}. \quad (162)$$

Pokud se zvolí $\ddot{\mathbf{q}}_i = [\ddot{\mathbf{r}}_s^T, \dot{\omega}_i]$, kde $\ddot{\mathbf{r}}_s$ je zrychlení těžiště tělesa a $\dot{\omega}_i$ je úhlové zrychlení v prostoru tělesa, jsou pohybové rovnice ve tvaru

$$\begin{bmatrix} m\mathbf{I}_3 & \mathbf{0} & \mathbf{D}_r \\ \mathbf{0} & \mathbf{J}_t & \mathbf{D}_\omega \\ \mathbf{D}_r & \mathbf{D}_\omega & \mathbf{0} \end{bmatrix} \begin{bmatrix} \ddot{\mathbf{r}}_s \\ \dot{\omega}_i \\ -\lambda \end{bmatrix} = \begin{bmatrix} \mathbf{p}_1 - mg \\ \mathbf{p}_2 - \omega_t \times \mathbf{J}_t \omega_t \\ \mathbf{p}_3 \end{bmatrix}, \quad (163)$$

kde

m je hmotnost tělesa,

\mathbf{J}_t tenzor setrváčnosti v prostoru tělesa

$\mathbf{p}_1, \mathbf{p}_2$ jsou zobecněné síly od vnějších sil \mathbf{F} a momentů \mathbf{M}

$\mathbf{D}_r, \mathbf{D}_\omega$ je Jacobiho matice vazeb,

λ Lagrangeovy multiplikátory

\mathbf{p}_3 je levá strana rovnic vazeb.

Rovnice (129) se musí doplnit rovnicemi vazeb $f = 0$ v počtu r a Eulerovými kinematickými rovnicemi. Vazbovými rovnicemi se v modelování pohybů činných částí nástroje může rozumět vynucený pohyb nebo zastavení tělesa.

4.2.10. Numerické řešení pohybových rovnic, časová diskretizace

Chování tělesa je popsáno pohybovými rovnicemi. Tyto rovnice jsou obecně pro diskretizované systémy nelineární obyčejné diferenciální rovnice 2. řádu

$$\mathbf{M}\ddot{\mathbf{q}} + \mathbf{C}\dot{\mathbf{q}} = \mathbf{F}^{ext} - \mathbf{F}^{int} = \mathbf{F}^{res}, \quad (164)$$

kde **M** je matice hmotnosti soustavy, **C** je matice tlumení soustavy, $\ddot{\mathbf{q}}$ je neznámý vektor uzlových zrychlení, $\dot{\mathbf{q}}$ je neznámý vektor uzlových rychlostí, \mathbf{F}^{ext} je vektor vnějších uzlových sil, \mathbf{F}^{int} je vektor vnitřních uzlových sil.

Cílem algoritmů pro řešení dynamických úloh je splnění pohybové rovnice, nikoliv spojité, ale diskrétně v časových intervalech. V časovém intervalu $\langle 0, t_{max} \rangle$ jsou známy hodnoty hledaných veličin v časech $0, \Delta t, 2\Delta t, 3\Delta t, \dots, t$ a hledají se hodnoty v časech $t + \Delta t, t + 2\Delta t, t + 3\Delta t, \dots, t_{max}$, kde Δt je časový krok, který se může během výpočtu měnit. Je mnoho časových schémat pro řešení rovnice (164), nejčastěji používaná schémata jsou tzv. implicitní a explicitní schéma řešení.

Implicitní schéma řešení vychází ze znalosti posuvů, rychlostí a zrychlení v čase t_n . Při výpočtu implicitním řešení je nutno invertovat matici hmotnosti a matici tuhosti, což je procedura, která je u větších úloh časově náročná. Na druhou stranu je výhodou, že časový krok při řešení je 100x až 1000x delší než u explicitního schéma řešení. Tato metoda se proto často používá pro výpočet statických a quasi-statických dějů, pro jednoduché namáhání a mírně nelineární chování. Implicitní metoda je vhodná v případě, že není požadováno přesné řešení, ale rychlost, s jakou jsou dosaženy výsledky. Rychlosť řešení implicitních řešičů je dosažena na úkor přesnosti výsledků a to buď použitím velkých prvků, které nemohou dostatečně přesně approximovat geometrii výlisku, volbou velkých časových kroků nebo použitím membránových prvků namísto skořepinových apod.

Explicitní metoda je výhodnější v případě, že časový krok řešení musí být bezpodmínečně malý, zejména z důvodu přesného popisu vysoce nelineárních dějů, jako je např. pružně-plastické chování materiálu přístřihu plechu při hlubokém tažení tvarově složitějších výlisků. Vzhledem k tomu, že v této práci je pro simulaci tažení výlisku používán software PAM-STAMP™, který pro výpočet používá explicitní schéma řešení, bude dále podrobněji popsáno explicitní schéma řešení [16].

Explicitní schéma vychází z pohybových rovnic zapsaných v čase t

$${}^t\mathbf{M}{}^t\ddot{\mathbf{q}} + {}^t\mathbf{C}{}^t\dot{\mathbf{q}} = {}^t\mathbf{F}^{ext} - {}^t\mathbf{F}^{int} = {}^t\mathbf{F}^{res}, \quad (165)$$

čili vektor uzlových zrychlení ${}^t\ddot{\mathbf{q}}$ v čase t je

$${}^t \ddot{\mathbf{q}} = {}^t \mathbf{M}^{-1} \left({}^t \mathbf{F}^{ext} - {}^t \mathbf{F}^{int} - {}^t \mathbf{C} {}^t \dot{\mathbf{q}} \right), \quad (166)$$

Klasickou ukázkou explicitní metody je metoda centrálních diferencí, která časové derivace $\ddot{\mathbf{q}}, \dot{\mathbf{q}}$ nahradí centrálními diferencemi [18]

$${}^i \ddot{\mathbf{q}} = \frac{1}{\Delta t^{(i+1)}} \left(\binom{i+1}{2} \dot{\mathbf{q}} + \binom{i-1}{2} \dot{\mathbf{q}} \right), \quad (167)$$

$${}^i \dot{\mathbf{q}} = \frac{2}{\Delta t^{(i+1)} + \Delta t^i} \left(\binom{i+1}{2} \mathbf{q} + \binom{i-1}{2} \mathbf{q} \right). \quad (168)$$

V čase $t + \frac{\Delta t}{2}$, tj. v kroku $i + \frac{1}{2}$ se počítají hodnoty rychlosti $\dot{\mathbf{q}}$ a čase $t + \Delta t$, tj. v kroku $i + 1$

probíhá výpočet napětí σ , posuvů \mathbf{q} a zrychlení $\ddot{\mathbf{q}}$. Protože při výpočtu zrychlení $\ddot{\mathbf{q}}$ dle rovnice (164) je nutné znát vektor rychlosti $\dot{\mathbf{q}}$, který ještě není znám, upraví se (164) na tvar

$${}^i \ddot{\mathbf{q}} = {}^i \mathbf{M}^{-1} \left({}^i \mathbf{F}^{ext} - {}^i \mathbf{F}^{int} - {}^i \mathbf{C} {}^{i-\frac{1}{2}} \dot{\mathbf{q}} \right), \quad (169)$$

Toto explicitní schéma není „samostartovací“, ale musí se zadat hodnoty ${}^0 \mathbf{q}, {}^0 \dot{\mathbf{q}}, {}^{-\frac{1}{2}} \dot{\mathbf{q}}$ a napětí ${}^0 \sigma$.

Výpočtové schéma pak může nabýt tvaru:

1. Výpočet napětí ${}^0 \sigma$, vnitřních ${}^0 \mathbf{F}^{int}$ a vnějších sil ${}^0 \mathbf{F}^{ext}$, matice hmotnosti ${}^0 \mathbf{M}$, matice tlumení ${}^0 \mathbf{C}$ a časových kroků $\Delta t^{(0)}, \Delta t^{(1)}$.

$$2. {}^0 \ddot{\mathbf{q}} = {}^0 \mathbf{M}^{-1} \left({}^0 \mathbf{F}^{res} - {}^0 \mathbf{C} {}^0 \dot{\mathbf{q}} \right).$$

$$3. {}^{-\frac{1}{2}} \dot{\mathbf{q}} = {}^{-\frac{1}{2}} \dot{\mathbf{q}} + \frac{\Delta t^{(1)} + \Delta t^{(0)}}{2} {}^0 \ddot{\mathbf{q}}.$$

$$4. {}^1 \mathbf{q} = {}^0 \mathbf{q} + \Delta t^{(1)} {}^{\frac{1}{2}} \dot{\mathbf{q}}.$$

5. Výpočet ${}^1 \sigma, {}^1 \mathbf{F}^{int}, {}^1 \mathbf{F}^{ext}, {}^1 \mathbf{M}, {}^1 \mathbf{C}, \Delta t^{(2)}$.

$$6. {}^1 \ddot{\mathbf{q}} = {}^1 \mathbf{M}^{-1} \left({}^1 \mathbf{F}^{res} - {}^1 \mathbf{C} {}^{\frac{1}{2}} \dot{\mathbf{q}} \right).$$

$$7. {}^{\frac{3}{2}} \dot{\mathbf{q}} = {}^{\frac{1}{2}} \dot{\mathbf{q}} + \frac{\Delta t^{(2)} + \Delta t^{(1)}}{2} {}^1 \ddot{\mathbf{q}}.$$

$$8. {}^2 \mathbf{q} = {}^1 \mathbf{q} + \Delta t^{(2)} {}^{\frac{3}{2}} \dot{\mathbf{q}}.$$

9. Výpočet ${}^2 \sigma, {}^2 \mathbf{F}^{int}, {}^2 \mathbf{F}^{ext}, {}^2 \mathbf{M}, {}^2 \mathbf{C}, \Delta t^{(3)}$.



Výpočet napětí ${}^{i+1}\sigma$ a vnitřních sil ${}^{i+1}\mathbf{F}^{\text{int}}$ se může provést podle schématu:

1. Výpočet gradientu rychlosti ${}^{i+\frac{1}{2}}\mathbf{L}$ v integračních bodech.
2. Rozklad ${}^{i+\frac{1}{2}}\mathbf{L}$ na ${}^{i+\frac{1}{2}}\mathbf{W}$ a ${}^{i+\frac{1}{2}}\mathbf{D}$.
3. Výpočet kumulativního plastického přetvoření ${}^{i+\frac{1}{2}}\varepsilon_p$.
4. Výpočet Jaumannovy rychlosti napětí ${}^{i+\frac{1}{2}}\dot{\sigma} = {}^{i+\frac{1}{2}}\mathbf{C}^{\text{ep}} {}^{i+\frac{1}{2}}\mathbf{D}$.
5. Výpočet rychlosti Cauchyho skutečného napětí ${}^{i+1}\dot{\sigma} = {}^{i+\frac{1}{2}}\dot{\sigma} + {}^{i+\frac{1}{2}}\mathbf{W}^i \sigma + {}^i\sigma {}^{i+\frac{1}{2}}\mathbf{W}$.
6. Aktualizace napětí ${}^{i+1}\sigma = {}^i\sigma + \Delta t {}^{(i+1)} {}^{i+\frac{1}{2}}\dot{\sigma}$.
7. Aktualizace geometrie.
8. Výpočet vektoru lokálních vnitřních sil ${}^{i\text{ loc}}\mathbf{F}^{\text{int}} = \int_{V_{i+1}} {}^{i+1}\mathbf{B}^i {}^{i+1}\sigma dV$.
9. Sestavení globálního vektoru vnitřních sil ${}^i\mathbf{F}^{\text{int}}$.

Při tváření se vždy řeší kontaktní úloha. Z tohoto důvodu se musí algoritmus výpočtu upravovat. Vnější síly \mathbf{F}^{ext} působící na materiál lze rozdělit na síly od vnějších sil a na síly vznikající od kontaktu těles. Protože nejsou známé kontaktní síly (normálové a třecí) a není známá ani plocha ve které se tělesa stýkají, musí výpočet probíhat iteračně mezi kroky 1 a 5 explicitního schématu. Iterační výpočet probíhá tak dlouho, až je splněna rovnováha těles, platí princip akce a reakce, platí třecí konstitutivní rovnice, jsou splněny geometrické podmínky (není průnik mezi tělesy) a jsou splněny kinematické podmínky.

Explicitní schéma je efektivní pokud matice hmotnosti \mathbf{M} je diagonální. Inverze diagonální matice je triviální záležitost. Explicitní schéma je pouze podmíněně stabilní. Mez stability je přibližně rovna času průchodu elasticke vlny nejmenším prvkem. Pro metodu centrálních differencí je časový kritický krok pro lineární netlumenou soustavu roven

$$\Delta t_{krit} = \frac{2}{\omega_{\max}}, \quad (170)$$

kde ω_{\max} je maximální vlastní frekvence. Protože výpočet vlastní frekvence je časově značně náročný a u nelineárních úloh se vlastní frekvence mění s časem, je tento přístup značně neefektivní. Bylo dokázáno [18], že maximální vlastní frekvence soustavy je omezena max. vlastní frekvencí všech sestávajících prvků $\omega_{\max}^{\text{elementy}}$

$$\Delta t = \frac{2}{\omega_{\max}^{\text{elementy}}}. \quad (171)$$

V praktické implementaci volby časového kroku je výhodnější tento výpočet časového kroku

$$\Delta t = \min\left(\frac{L_e}{c_d}\right), \quad (172)$$

kde L_e je charakteristický rozměr prvku a c_d je rychlosť šíření elastické vlny

$$c_d = \sqrt{\frac{E}{\rho}}. \quad (173)$$

Z předchozích kapitol je zřejmá výhoda použití metody konečných prvků při analýze deformace v předvýrobní fázi výlisku. Touto metodou výpočtu je možné získat představu o rozložení deformace a napětí již v počáteční etapě navrhování tvaru a rozměru výlisku. Metoda konečných prvků umožňuje teoretické řešení procesu tváření tvarově složitých a rozměrných výlisků, mezi které patří výlisky karosářského typu a zároveň umožňuje použít poměrně složité matematické vztahy pro podmínky plasticity testovaných materiálů.

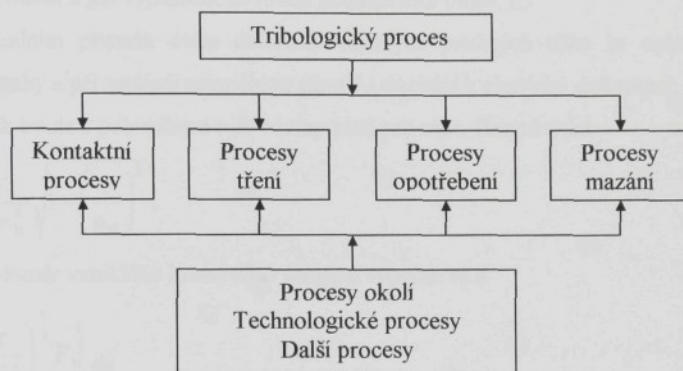
Obecně lze říct, že snahou výrobců simulačních programů je získat teoretické vztahy, které charakterizují chování materiálů při sledovaném ději. V oblasti plošného tváření proto vědecká pracoviště, výrobci a v poslední době i zpracovatelé plechu zaměřily svůj výzkum v oblasti:

- zpřesňování podmínek plasticity pro anizotropní materiály
- kinematické modely zpevnění pro anizotropní materiály (použití pro tzv. crash testy)
- výzkum tribologických dějů při tažení karosářských výlisků se zaměřením na materiály se zvláštní morfologií povrchu

5. TRIBOLOGIE [22-28]

Tribologie je vědní obor, jež se zabývá chováním dotýkajících se povrchů ve vzájemném pohybu a nebo při pokusu o vzájemný pohyb. Tento pohyb může být obecně kluzný, valivý, nárazový nebo kmitavý. Ve skutečnosti se často uplatňují dva i více druhů pohybu současně.

Tribologický proces charakterizují materiální interakce třecích těles, mezilátky a okolí, které probíhají v prostoru a čase. Obecné vazby mezi jednotlivými částmi tribologickými procesy jsou znázorněny na obr.5.1..



Obr. 5.1. Vzájemné vazby v tribologickém systému

Při tribologických procesech se řeší především otázky:

- Jaké jsou mechanizmy přeměny užitečných veličin v systéme, jaké jsou fyzikální procesy přeměny energie.
- Jaké jsou procesy vedoucí všeobecně ke ztrátám v systému.
- Jaké jsou možnosti pozitivního působení na systém s ohledem na minimalizaci ztrát.

5.1. KONTAKTNÍ PROCESY

Kontakt mezi jednotlivými členy tribologického systému je základním znakem chování tribologického systému. Při kontaktních procesech je třeba uvažovat se základními tvarově-rozměrovými a materiálovými vlastnostmi dotýkajících se částí, jejich vzájemnou vazbou a reakcemi mezi nimi. Tyto interakce mohou být materiálové, fyzikální, chemické, atd.. Vzhledem k velkému počtu kontaktních situací je třeba zvažovat řadu vlivů:

- Počet těles zúčastňujících se na kontaktním procesu.



- Makrogeometrii a mikrogeometrii kontaktních těles.
- Fyzikální, chemické a mechanické vlastnosti těles tvořících tribologický systém.
- Charakteristický druh deformace mezi jednotlivými tělesy.
- Typ a rychlosť vzájemného relativního pohybu.

Při řešení tribologických problémů v praxi má velký význam plocha styku, jež zprostředkuje přenos pohybu. Nerozhoduje však geometrická plocha, ale skutečná plocha styku, jež je menší a jen výjimečně se rovná geometrické ploše.

V ideálním případě dvou dokonale hladkých pružných těles se uplatňují klasické Hertzovy vztahy a při zatížení normálnou silou F_N dochází k elastické deformaci:

1. Pro vnik koule s poloměrem r do roviny platí pro max. Hertzův tlak

$$p_{\max.} = 1,5 \frac{F_N}{\pi a_H^2} \sqrt{1 - \left(\frac{1}{a_H} \right)^2}, \quad (174)$$

kde a_H je poloměr vzniklého kruhového vtisku a vypočte se z

$$a_H = \left(\frac{3r}{2E'} \right)^{\frac{1}{3}} F_N^{\frac{1}{3}}, \quad (175)$$

E' je tzv. redukovaný modul pružnosti

$$E' = \frac{1}{2} \left[\frac{1-v_1^2}{E_1} + \frac{1-v_2^2}{E_2} \right], \quad (176)$$

kde E_1 , E_2 resp. v_1, v_2 jsou Youngovy moduly pružnosti resp. Poissonovy konstanty jednotlivých materiálů

a pro plochu kruhového vtisku S_H platí

$$S_H = \pi a_H^2 = \pi \left(\frac{3r}{2E'} \right)^{\frac{2}{3}} F_N^{\frac{2}{3}}. \quad (177)$$

2. Pro styk dvou koulí s poloměry r_1 a r_2 platí stejně závislosti, přičemž ekvivalentní poloměr zakřivení r je dán vztahem

$$\frac{1}{r} = \frac{1}{r_1} + \frac{1}{r_2}. \quad (178)$$

3. Pro styk válce a roviny nebo válce a válce platí podobné vztahy jako v (174) až (178).

Ve všech případech Hertzových tlaků je plocha styku úměrná $\frac{2}{3} F_N^3$. Jelikož reálná tělesa jsou drsná, je jejich styk omezen pouze na výčnělky. V důsledku toho je reálná plocha styku velmi malá a místní tlaky na vrcholcích povrchových nerovností dostatečně velké, aby působily jejich elastické až plastické deformace i při malých zatížení.

Pro stanovení skutečné plochy styku je významný Archardův vztah

$$S_r = k \left[\frac{F_N}{E} \right]^c, \quad (179)$$

kde k, c jsou konstanty. $0,98 \geq c \geq 0,87$.

Při dalších zkoumáních Hertzových závislostí se došlo k poznání, že:

- Celkový počet mikrokontaktů je téměř úměrný zatížení F_N ,
- Průměrná velikost mikrokontaktů je téměř nezávislá na F_N ,
- Skutečná plocha styku je úměrná počtu mikrokontaktů.

Pro plastickou deformaci výčnělků byl odvozen vztah

$$p_m = 1,1\sigma_e, \quad (180)$$

kde p_m je střední kontaktní tlak a σ_e je mez pružnosti v měkkém třecím prvku. Aby plastická deformace nastala na celé stykové ploše, musí platit

$$p_m \geq 3\sigma_e. \quad (181)$$

Se stoupající plastickou deformací se zvětšuje plocha styku, která může dosáhnout velikosti geometrické plochy styku.

5.2. PROCESY TŘENÍ

Tření je proces, který se váže na vzájemný relativní pohyb dvou dotýkajících se prvků tribologického systému. V závislosti na hloubce zkoumání třecích procesů rozděláváme výzkum na úrovni makromodelu a mikromodelu. Při zkoumání na úrovni mikromodelu se nahlíží na tření jako na elementární proces. Při makro sledování makromodelu zohledňujeme celý funkční projev sledovaného modelu. Makroskopický přístup lze také charakterizovat tím, že získáváme údaje z vnějších měřitelných veličin tribologického systému. Mezi tyto veličiny především patří měření velikosti třecí síly při tangenciálním pohybu, třecího momentu při rotačním průběhu pohybu, popř. třecí práce.

Jedna z nejznámějších obecných definic tření říká, že: tření je odpor proti relativnímu pohybu mezi dvěma k sobě přitlačovanými tělesy v oblasti dotyku jejich povrchů

v tangenciálním směru. Tato definice platí pro vnější tření a nepostihuje celkem přesně vnitřní tření. Z tohoto důvodu se tření dá definovat jako: ztráta mechanické energie v průběhu, na začátku nebo při ukončení relativního pohybu navzájem se dotýkajících materiálových oblastí.

Pokud vycházíme ze základního tribologického systému, můžou nastat čtyři základní stavy tření:

1. Tření tuhých těles (suché tření), nastává tehdy, kdy se určující materiálová oblast nachází v tuhém stavu, tento třecí stav se dále dělí na čisté tření tuhých těles (deformační tření) a na tření v adhezních vrstvách, stav čistého tření tuhých těles nastává především ve vakuum.
2. Tření kapalinové, charakterizuje ho stav, při kterém má vrstva materiálu, v které probíhá tření, vlastnosti kapaliny.
3. Tření plynné, je obdobou kapalinového tření s tím rozdílem, že charakteristická vrstva má vlastnosti plynu.
4. Tření plazmatické, je stav, kdy charakteristická vrstva, ve které probíhá třecí proces, má vlastnosti plazmy.

Jednotlivé třecí stavy se v praxi vyskytují samostatně ve velmi omezené míře. Ve skutečnosti nastává často kombinace jednotlivých druhů tření.

5.2.1. Suché tření

Podle dnešních představ má suché tření dva aspekty: deformační a adhezní. V prvním se více uplatňuje mechanika, v druhém chemie. Na obojí mají vliv vlastnosti povrchů: jejich velikost, tepelné vlastnosti, mechanické vlastnosti, chemické složení včetně přítomných nečistot, adsorbovaných, reakčních a nanesených tuhých vrstev a chemická reaktivita. Při zhodnocování výlisků nepravidelných tvarů je přítomnost suchého tření nežádoucí a proto mu zde nebude věnována větší pozornost.

5.2.2. Mezné tření

Jestliže mezi třecími povrhy již existuje tenká vrstvička adsorbovaných molekul plynu nebo kapaliny nebo látky vytvořené chemickou reakcí povrchů, mluvíme o mezném tření nebo o mezném mazání. K meznému tření může dojít i u záměrně mazaných povrchů, není-li přívod maziva dostatečný nebo vrstva maziva není dostatečně únosná. Za těchto podmínek se třecí plochy přiblíží natolik k sobě, že jejich bezprostřednímu styku brání již jen

mezná vrstva maziva, tj. film polárních molekul maziva s velkou přilnavostí k povrchu. V technické praxi vzniká mezné tření v případech, kdy při malých stykových plochách jsou třecí povrchy zatěžovány velkými tlaky, při malých smykových rychlostech a mezi drsnými povrchy.

Součinitel tření lze odvodit ze schématu na obr. 5.2.1.1. a z rovnice (182). Je-li koeficient α dán jako

$$\alpha = \frac{S_k}{S_r},$$

kde S_k je plocha bezprostředního styku povrchu s povrchem, S_r je oblast reálného styku povrchů, S_0 je plocha mezného filmu, τ_m je smykové napětí mezného filmu a τ_s je smykové napětí styku povrchu s povrchem, platí pro třecí sílu F_t vztah

$$F_t = \alpha S_r \tau_s + (1 - \alpha) S_r \tau_m = S_r [\alpha \tau_s + (1 - \alpha) \tau_m]. \quad (182)$$

Jelikož

$$F_N = S_r p_m \doteq 3 S_r \sigma_e, \quad (183)$$

kde p_m je tlak na skutečnou třecí plochu, platí pro smykový součinitel tření

$$\mu_{sm} = \frac{F_t}{F_N} = \frac{\alpha \tau_s + (1 - \alpha) \tau_m}{p_m} = \frac{\alpha \tau_s + (1 - \alpha) \tau_m}{3 \sigma_e}. \quad (184)$$

Mezné tření je spojeno jednak s fyzikální nebo chemickou adsorpší plynů a kapalin na povrchu třecích dvojic, jednak s chemickými přeměnami třecích povrchů. Pro únosnost mazacího filmu vytvořeného adsorpší je rozhodující rychlosť a pevnost adsorpce molekul na povrchu, jejich koncentrace, orientace vzhledem k povrchu a vliv teploty a tlaku.

Fyzikální adsorpce probíhá prakticky na celém povrchu třecího materiálu. Rovnováha se ustaluje rychle a vratně. Adsorpční teplo a aktivační energie jsou malé. Adsorpce s tlakem roste a se vzrůstající teplotou klesá. Vliv složení materiálu je poměrně malý. Značný význam má však kvalita povrchu.

Chemická adsorpce probíhá na aktivních centrech (hlavně nerovnostech) povrchu. Rovnováha se ustaluje pomalu. Adsorpční teplo se blíží reakčnímu teplu chemických reakcí. Aktivační energie je značná. Adsorpce s tlakem roste až do obsazení aktivních center, potom se ustaluje. S teplotou roste do maxima, pak klesá. Úplná desorpce probíhá obtížně. Vliv složení povrchu je velký, podobně i kvalita povrchu. Chemické adsorpce předchází fyzikální adsorpce.

Tvorba mazacího filmu adsorpce závisí nejen na povaze adsorbované látky, ale i na povrchu třecích materiálů.

5.2.3. Kapalinové tření

Mezné filmy zmenšují sice podstatně třecí sílu při relativním pohybu dvou těles a zabraňují tvorbě studených svarů, avšak nedokáží zcela oddělit třecí povrchy od sebe a eliminovat tak vliv drsnosti povrchů.

Dokonalého oddělení třecích povrchů se dociluje až při kapalinovém tření, kdy se vytváří mezi třecími povrhy souvislá vrstva maziva, která zcela vyrovnává drsnost povrchů a svým vlastním tlakem ruší účinek kolmého zatížení na povrhy těles. Třecí síla je tedy v podmírkách kapalinového tření závislá pouze na velikosti vnitřního tření v mazací vrstvě a lze ji vyjádřit vztahem

$$F_t = \eta \frac{Sv}{h}, \quad (185)$$

kde η je dynamická viskozita,

S je styčná plocha třecích povrchů,

v je lineární rychlosť pohybu třecích povrchů,

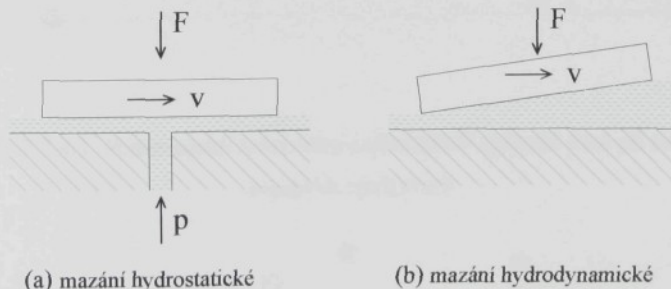
h je tloušťka vrstvy maziva.

Pro součinitel kapalinového tření tedy platí vztah

$$\mu = \frac{\eta v}{hp}, \quad (186)$$

kde p je střední měrný tlak F_N/S_N , S_N je průměr kluzných ploch.

Má-li být mazací vrstva schopna přenášet zatížení, kterým jsou k sobě tělesa přitlačována, musí v ní být vytvořen odpovídající protitlak. Tohoto protitlaku se může dosáhnout dvěma způsoby-hydrostaticky a hydrodynamicky. Schematické znázornění vytvoření hydrostatického tlaku v kapalně resp. hydrodynamického tlaku je vidět na obr. 5.2.3.1(a) resp. obr. 5.2.3.1(b).



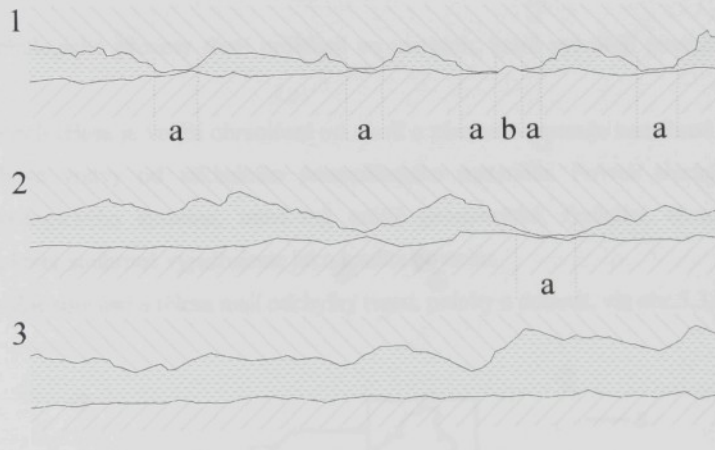
Obr. 5.2.1. Schematické znázornění vytvoření tlaku v kapalně

5.2.4. Smíšené tření

Nejsou-li třecí plochy dokonale odděleny vrstvou maziva a dochází i k bezprostřednímu styku jejich nerovností, existuje mezi nimi tření smíšené, tj. jak tření kapalinové, tak i mezné. K tomuto druhu tření dochází, jestliže tloušťka maziva mezi povrchy je menší než tloušťka potřebná pro zajištění kapalinového tření, ale je větší než tloušťka tenkého filmu, který zajišťuje mazání mezné.

K přechodu mazání kapalinového na mazání smíšené může dojít při určité kombinaci parametrů (především velké zatížení a malá snykové rychlosť třecích ploch), přičemž významnou roli hraje mikrogeometrie funkčních ploch, zejména tehdy, je-li mazivem kapalina s malou viskozitou. Teplota maziva ovlivňuje proces porušení mazacího filmu hlavně při větších zatíženích a rychlostech třecích ploch.

Smíšené tření představuje nejrozšířenější formu tření při výrobě výlisků karosářského typu a podíl jednotlivých složek (mezné tření a kapalinové tření) do značné míry ovlivňuje konečnou kvalitu zhotoveného výrobku. Na obr. 5.2.4.1. jsou schematicky znázorněny nejčastější způsoby tření při tváření výlisků nepravidelných tvarů.



Obr. 5.2.4.1. Schematické znázornění nejčastějších způsobů tření při tváření výlisků nepravidelných tvarů

Na obr. 5.2.4.1 jsou zobrazeny stavy tření mezného (1), smíšeného (2) a kapalinného (3). Tyto schematické modely tření jsou zakresleny pro dva materiály s odlišnou drsností i tvrdostí povrchu. Spodní materiál (nástroj) má leštěný povrch a podléhá pouze elastické deformaci. Druhý člen soustavy má menší pevnost, větší drsnost povrchu a plasticky se deforma.

Při mezném tření dochází k deformaci vrcholků nerovností (a), kovovému styku brání pouze mezní vrstva maziva. Přesto jsou ale místa, kde dochází k narušení mezní vrstvy (b), tvrdší materiál zde vniká do druhého a způsobuje porušení vrstvy materiálu. V oblasti smíšeného tření je značná část zatížení přenášena vrstvou mazadla a k meznému tření dochází pouze místy. Možnost kovových kontaktů tak klesá na minimum. Při kapalinném tření je mazací film natolik únosný, že ke kontaktu materiálů již nedochází ani v místech nejvyšších nerovností.

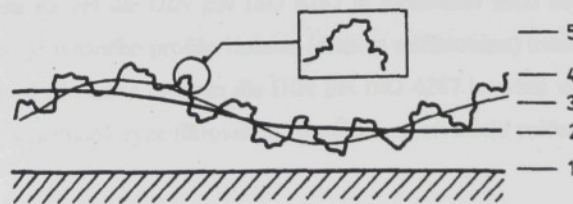
Kromě uvedených způsobů tření existují ještě další způsoby tření (jako je např. elastohydrodynamické tření, valivé tření atd.), ale vzhledem k tomu, že pro tváření nemají tyto duhy tření zásadnější význam, nebyly zde uváděny.

5.3. HODNOCENÍ GEOMETRIE POVRCHU

Tribologické procesy tření probíhají ve vrstvách, které vytvářejí povrch dotýkajících se těles.

Povrch tělesa je vnější ohraničení od okolí a zároveň vymezuje namáhané povrchové a podpovrchové vrstvy od základního nenamáhaného materiálu. Povrch třecích těles, jako prvků tribologického systému, musí mít určité geometrické, fyzikální, chemické a další vlastnosti, které souhrnně vyjadřujeme jako kvalita povrchu.

Reálné součásti a tělesa mají odchylinky tvaru, polohy a drsnost, viz obr.5.3.1.



Obr.5.3.1. Schématické znázornění geometrie povrchu

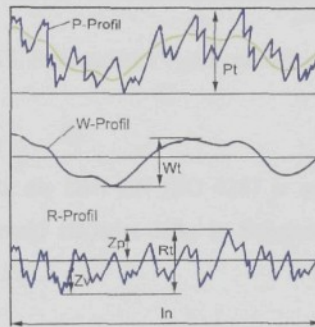
1-ideálně rovný povrch, 2-odchylinky tvaru a polohy, 3-vlnitost povrcu,

4-mikroskopické drsnosti, 5-submikroskopické nerovnosti

Jedním ze základních způsobů hodnocení kvality povrchu je měření drsnosti povrchu. Drsnost sledované plochy je pak většinou charakterizována pomocí normou daných veličin. Základní parametry drsnosti sloužící pro hodnocení povrchu jsou:

1. Profil povrchu.

Pohybem snímače drsnoměru se získá dvoudimenzionální profil jako obraz zkoumaného povrchu. Filtrací podle DIN EN ISO 11562 se z nefiltrovaného primárního profilu (P-profil) získá profil drsnosti (R-profil) a profil vlnitosti (W-profil). Na těchto třech profilech jsou pak všechny veličiny definovány a podle profilu analogicky označeny P, R nebo W. Vztažnou čárou pro definici parametrů je uvnitř základní délky l_p , l_r , l_w střední čára. Pokud není stanoveno jinak je dovoleno měření pro zjištění parametrů drsnosti a vlnitosti přes $l_n = 5 l_r$ resp. $l_n = 5 l_w$ (l_p). Dvoudimenzionální profil povrchu získaný drsnoměrem je vidět na obr. 5.3.2.



Obr.5.3.2. Profil povrchu

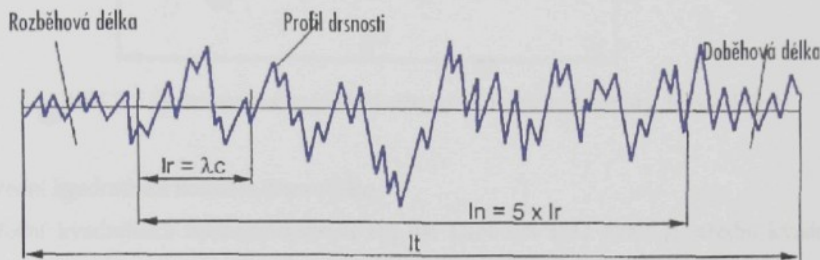
Na takto nasnímaném povrchu se vyhodnocují veličiny:

- Pt-hloubka profilu dle DIN EN ISO 4287 je nejmenší vzdálenost mezi dvěma rovnoběžnými mezními přímkami z nefiltrovaného profilu povrchu uvnitř měřené délky l_n ,
- Wt-hloubka vln dle DIN EN ISO 4287 je vzdálenost mezi nejvyšším a nejhlubším bodem vyrovnaného profilu vlnitosti (drsnost odfiltrována) uvnitř měřené délky l_n ,
- Rt-nejvyšší hloubka drsnosti dle DIN EN ISO 4287 je svislá vzdálenost od nejvyšší špičky k nejhlubší rýze filtrovaného profilu drsnosti uvnitř měřené délky l_n .

2. Měřené délky - mezní vlnové délky.

Profil drsnosti se skládá z elementů oddělených podle vlnové délky profilovým filtrem l_c (cut-off). Mezní vlnová délka charakterizuje způsob filtrace k oddělení vlnitosti a drsnosti. Celková délka l_t je délka pohybu snímače během kterého se snímají úchytky tvaru

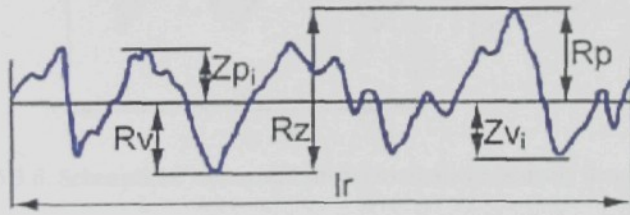
povrchu. Ta je delší než měřená délka l_n (vyhodnocovaná délka), ze které se pomocí filtru získá profil drsnosti. Až na určité výjimky jsou všechny parametry drsnosti definovány na základní délce l_r . Zjišťovány jsou však pravidelně jako střední hodnota 5 základních délek l_r . Základní délka l_r odpovídá mezní vlnové délce l_c . Schematické vyjádření měřených délek je na obr. 5.3.3.



Obr. 5.3.3. Schematické vyjádření měřených délek.

3. Maximální výška profilu R_z

Maximální výška profilu R_z dle DIN EN ISO 4287 je součet nejvyššího výstupku R_p a hloubky nejnižší rýhy R_v uvnitř základní délky l_r . Schematické vyjádření maximální výšky profilu R_z je vidět na obr. 5.3.4..



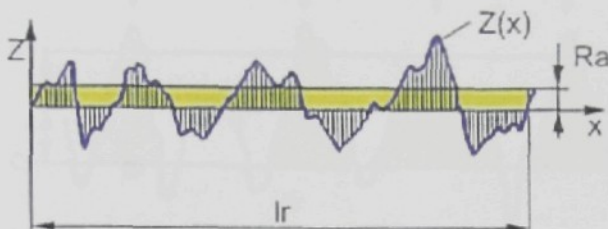
Obr. 5.3.4. Schematické vyjádření maximální výšky profilu R_z .

4. Střední aritmetická hodnota drsnosti R_a

Střední aritmetická hodnota drsnosti R_a dle DIN EN ISO 4287 je aritmetický střed absolutních odchylek filtrovaného profilu drsnosti od střední čáry uvnitř základní délky l_r a je definována vztahem

$$Ra = \frac{1}{l_r} \int_{l_r} |Z(x)| dx . \quad (187)$$

Schematické vyjádření střední aritmetické hodnoty drsnosti je vidět na obr. 5.3.5..



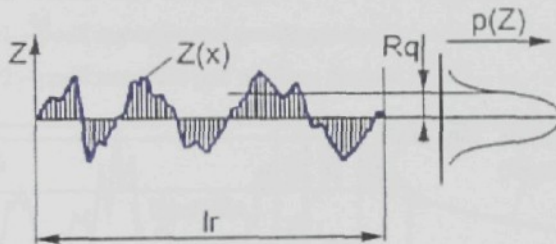
Obr. 5.3.5. Schematické vyjádření střední aritmetické hodnoty drsnosti R_a .

5. Střední kvadratická hodnota drsnosti R_q

Střední kvadratická hodnota drsnosti R_q dle DIN EN ISO 4287 je střední kvadratická hodnota odchylek filtrovaného profilu drsnosti uvnitř základní délky l_r a je dána vztahem

$$R_q = \sqrt{\frac{1}{l_r} \int_0^{l_r} Z^2(x) dx}. \quad (188)$$

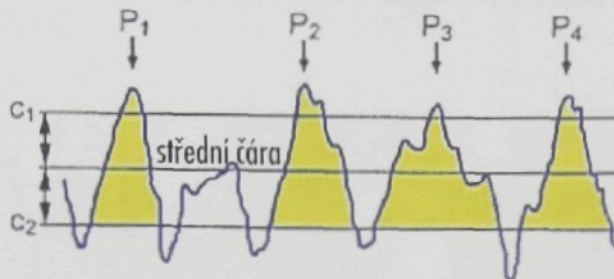
Schematické znázornění střední kvadratické hodnoty drsnosti R_q je vidět na obr. 5.3.6..



Obr. 5.3.6. Schematické znázornění střední kvadratické hodnoty drsnosti R_q .

6. Počet výstupků R_{Pc}

Počet výstupků R_{Pc} dle zkušebního listu STAHL-EISEN SEP 1940 je počet výstupků P na 10 mm vztavené délky. Pro vyhodnocení je třeba zadat hladiny řezu C_1 , C_2 . Schematické znázornění počtu výstupků R_{Pc} je vidět na obr. 5.3.7..

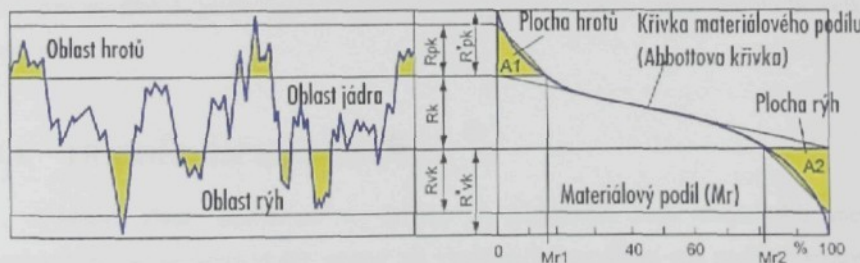


Obr. 5.3.7. Schematické znázornění počtu výstupků RPc.

7. Veličiny nosného podílu

Veličiny nosného podílu se určují dle DIN EN ISO 13565 a význam jednotlivých určovaných veličin je zřejmý z obr. 5.3.8., kde

- Rk - základní hloubka, hloubka profilu jádra drsnosti (záona s největším nárustem podílu materiálu nad určitou hodnotou),
- Rpk – redukovaná výška špiček,
- Rvk – redukovaná hloubka rýh
- Mr1 – podíl materiálu nad profilem jádra
- Mr2 – podíl materiálu pod profilem drsnosti



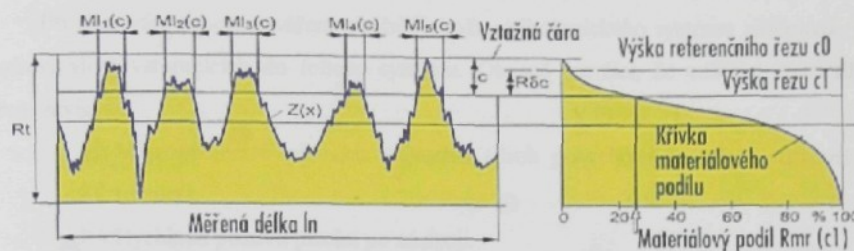
Obr. 5.3.8. Veličiny nosného podílu

8. Materiálový podíl drsnosti profilu Rmr(c)

Materiálový podíl drsnosti profilu Rmr(c) se určuje dle DIN EN ISO 4287 a vyjadřuje percentuální podíl součtu délek materiálových přímek Ml(c) v dané výšce profilu k měřené délce ln a je dán vztahem

$$Rmr(c) = \frac{100}{ln} \sum_{i=1}^n Ml_i(c) = \frac{Ml(c)}{ln}. \quad (189)$$

Křivka podílu materiálu udává pak podíl materiálu jako funkci hladiny (výšky) řezu a je vidět na obr.5.3.9..



Obr.5.3.9. Křivka materiálového podílu drsnosti povrchu

Problém hodnocení povrchů je velmi rozsáhlý a v současnosti se ukazuje, že momentálně používané kriteria hodnocení kvality povrchu podle příslušných norem na komplexní hodnocení povrchu z tribologického hlediska nestačí. Podle těchto norem nelze hodnotit velikost styčné plochy, její změnu při zatížení, vliv technologických parametrů atd..

Nejdokonalejší představu o reálném povrchu s jeho plošným tvarem a výškovou nerovnoměrností je možné získat pomocí vrstevnicových map a případným axonometrickým zobrazením naměřených hodnot. Vytvoření trojrozměrného modelu je však časově náročné a vyžaduje velmi drahé speciální měřící zařízení. Pro sestrojení Abbottovy křivky je pak možné použít percentuálního podílu součtu materiálových ploch v dané výšce profilu k celkové měřené ploše.

5.4. TRIBOLOGICKÉ ZKOUŠKY

V oblasti tření, opotřebení a mazání je k dispozici řada zkušebních metod. Je pochopitelné, že se nejvhodnější postup při výzkumu tribosoučástí volí podle důležitosti a složitosti daných reálných tribosystémů. Čím přesněji známe spektrum zatížení, tribostrukturu a velikost ztrát, tím cílevědoměji lze zvolit zkušební metodu.

Získat dokonalé informace o reálném tribosystému je vždy velmi obtížné. Na druhé straně existují problémy i s přenosem výsledků zkoušek, které byly získány na jednoduchých zkušebních vzorcích, na výrobek. Proto je mnohdy nutné dělat nejen zkoušky v laboratoři, ale i zkoušky na modelovém zkušebním zařízení a v závažných případech i přímo v provozu.

Obecně lze konstatovat, že čím je tribologický systém složitější, tím nákladnější je jeho zkoušení. Vysokou korelací výsledků laboratorních měření a reálného tribosystémem lze očekávat v tom případě, jestliže simulační zkoušky odpovídají provozním poměrům.

Při sledování procesu tváření plechů, jakožto tribologického systému zjišťujeme velké množství vlivů vstupujících do tohoto systému. Obecně lze říci, že velikost třecí síly při tváření závisí na:

- Mikrogeometrii povrchu substrátu (druh povrchové textury a drsnost této textury).
- Rychlosti posuvu plechu po nástroji.
- Deformaci materiálu (mechanické vlastnosti materiálu, vypínání plechu a posuvy plechu).
- Druhu použitého substrátu (nepokovený, typ pokovení, chemickém složení povrchu použitého substrátu).
- Druhu materiálu nástroje a stav jeho povrchu.
- Použitém mazivu při tažení.
- Velikostí kontaktního tlaku mezi materiélem a nástrojem.
- atd..

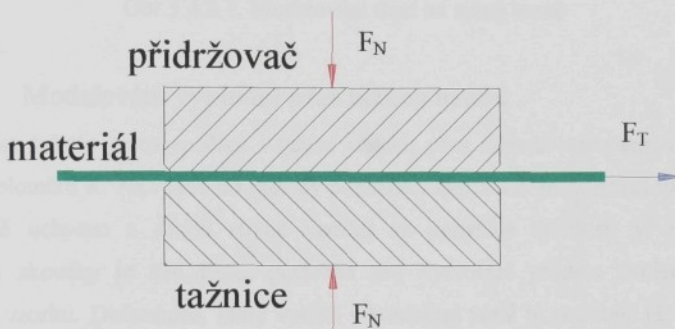
Je třeba si uvědomit, že každá z uvedených veličin se podílí na tribologických dějích ve sledované soustavě. Bohužel se však neuplatňují samostatně, ale vzájemně se ovlivňují. Je proto velmi obtížné výše uvedené vlivy hodnotit odděleně, a proto se často při vyhodnocování tribologických podmínek posuzují komplexně výsledky zkoušek pro soustavu nástroj-mazadlo-materiál-technologické podmínky. Tribologický výzkum v oblasti tváření plechů tak především probíhá na úrovni zkoumání makromodelu, kdy se zohledňuje celý funkční projev sledovaného modelu a tento výzkum lze charakterizovat tím, že získáváme údaje z vnějších měřitelných veličin tribologického systému. Mezi tyto veličiny především patří měření velikosti třecí síly při pohybu testovaného vzorku. Přehled v současnosti používaných testů při hodnocení tribologických vlastností materiálů a mazadel používaných v automobilovém průmyslu je uveden v dalších kapitolách.

5.4.1. Modelování tření mezi přidržovačem a tažnicí

Modelování procesu tření při posuvu tvářeného materiálu mezi přidržovačem a tažnicí je jeden z nejrozšířenějších testů. Tento test vyvinul Wojtowicz a jeho princip spočívá v protahování pásku testovaného materiálu mezi zkušebními čelistmi. Princip tohoto testu je

znázorněn na obr. 5.4.1.1.. Zřejmou výhodou tohoto testu je snadné nastavení podmínek testu (rychlosti protahování pásku a velikosti normálního zatížení čelisti F_N) a snadné měření sledované veličiny F_T (třecí síly). Výpočet koeficientu tření je snadný a vypočte se z hodnot F_N a F_T .

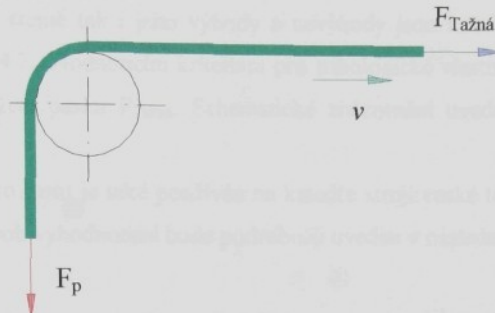
Nevýhodou tohoto testu je, že napjatost testovaného materiálu při zkoušce neodpovídá skutečné napjatosti materiálu pod přidržovačem a v průběhu zkoušky také nedochází k výrazné plastické deformaci testovaného materiálu, tak jako v případě reálného zhotovování výrobku tažením. Na velikost tažné síly má také vliv geometrie čelistí v místech, kde mezi ně materiál vstupuje.



Obr. 5.4.1.1. Modelování tření mezi přidržovačem a tažnicí

5.4.2. Modelování tření na tažné hraně

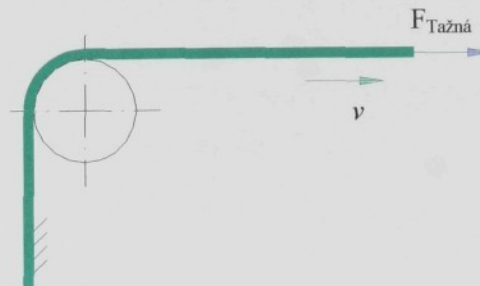
Princip tohoto testu spočívá v tažení zkušebního vzorku přes tažnou hranu tažnice, která je zde reprezentována válečkem o zvoleném poloměru R . Vzorek je tažen konstantní rychlosť v . Měřítkem pro posouzení tribologických poměrů vznikajících na tažné hraně je zde velikost tažné síly $F_{Tažná}$. Velikost tažné síly závisí na velikosti protitahu brzdící síly F_P , délce styku testovaného materiálu s tažnou hranou (tzv. úhlu opásání), koeficientem tření na tažné hraně a mechanickými vlastnostmi protahovaného vzorku. Schematické znázornění uspořádání tohoto testu je na obr. 5.4.2.1. Výhodou tohoto testu je snadné nastavení rychlosti protahování vzorku. Nevýhodou je špatná kontrola kontaktního tlaku mezi tažnou hranou a vzorkem. Pro určení koeficientu tření na tažné hraně je třeba zjistit velikost síly potřebné pro ohýb a narovnání pásku na tažné hraně.



Obr. 5.4.2.1. Modelování tření na tažné hraně

5.4.3. Modelování vypínání přes tažnou hranu

Princip tohoto testu spočívá v tažení vzorku přes tažnou reprezentované válcovou plochou o poloměru R . Na rozdíl od metody popsанé v kap. 5.4.2. je zkušební vzorek na jedné straně pevně uchycen a druhá strana vzorku se pohybuje rychlostí v . Kriteriem pro vyhodnocení zkoušky je síla $F_{\text{Tažná}}$ potřebná pro vytvoření předem zvolené deformace testovaného vzorku. Deformace, která vzniká v kontaktní zóně je podobná té, která nastává při hlubokém tažení na čele tažníku. Nevýhodou tohoto testu je obtížná nastavitelnost kontaktního tlaku a kluzné rychlosti na tažné hraně. Schematické znázornění uvedeného testu je vidět na obr. 5.4.3.1.

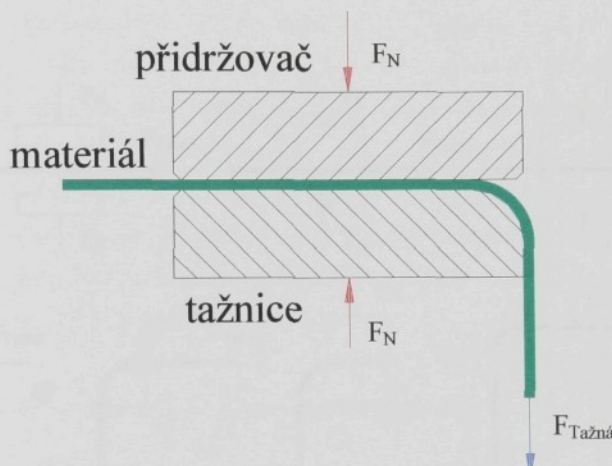


Obr. 5.4.3.1. Modelování vypínání přes tažnou hranu

5.4.4. Modelování tření mezi přidržovačem, tažnicí a tažnou hanou

Tento test a stejně tak i jeho výhody a nevýhody jsou kombinací metod popsaných v kap.5.4.1 a kap.5.4.2.. Hodnotícím kriteriem pro tribologické vlastnosti je opět velikost síly potřebné pro protážení pásku $F_{Tažná}$. Schematické znázornění uvedeného testu je vidět na obr.5.4.4.1..

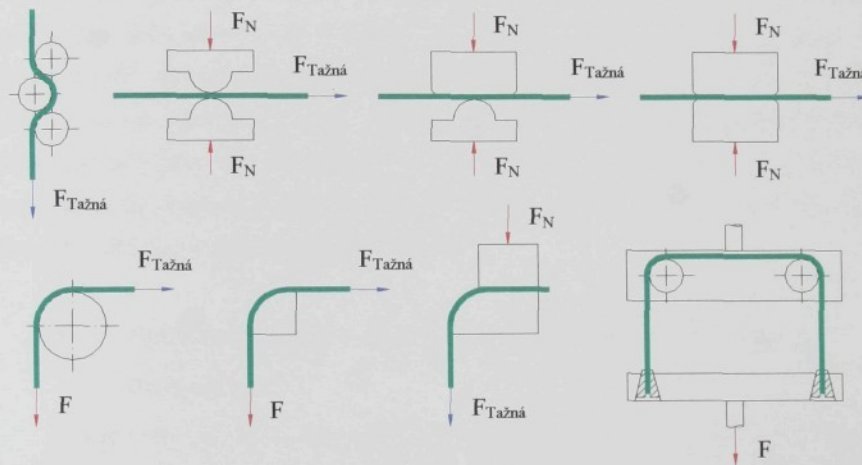
Princip tohoto testu je také používán na katedře strojírenské technologie TU v Liberci a jeho průběh a způsob vyhodnocení bude podrobněji uveden v následujících kapitolách.



Obr.5.4.4.1. Modelování tření mezi přidržovačem, tažnicí a tažnou hranou

5.4.5. Další způsoby tribologických zkoušek

Laboratorních zkoušek pro hodnocení tribologických vlastností testovaných mazadel a substrátů byla vyvinuta celá řada. Ve většině případů se však jedná o zkoušky technologické a výsledky z jednotlivých pracovišť nejsou porovnatelné. Každá ze zkoušek na základě určitých hodnotících kriterií porovnává mezi sebou výsledky jednotlivých zkoušek pro určitou kombinaci testovaný substrát-testované mazivo-technologické podmínky. Příklady některých dalších používaných zkoušek pro hodnocení tribologických vlastností jsou uvedeny, bez dalšího komentáře, na obr.5.4.5.1.



Obr.5.4.5.1. příklady tribologických zkoušek

5.5. MORFOLOGIE POVRCHU PLECHŮ POUŽÍVANÝCH V AUTOMOBILOVÉM PRŮMYSLU

V posledních letech značně vzrostly požadavky spotřebitelů na jakost protikorozní ochrany automobilových karoserií, neboť je známo, že životnost moderního automobilu je do značné míry ovlivněna životností ocelové karoserie. Z tohoto důvodu nacházejí stále větší uplatnění plechy s ochrannými povlaky na bázi zinku. Standardní nízkouhlíkové ocelové plechy se na stavbu karoserie dnes používají jen v malé míře.

Pomíne-li to, že materiál musí splňovat kriteria související s bezporuchovým lisováním (vznik trhlin a tvarových nepřesností), není korozní odolnost materiálů používaných v automobilovém průmyslu jediným omezujeícím faktorem. Ukazuje se, že

v podmírkách moderního automobilového průmyslu vytváří vzhled a kvalita laku první a hlavní dojem, kterým automobil působí na zákazníka. Praktické zkušenosti dokázaly, že výsledný efekt lakování do značné míry ovlivňuje morfologie povrchu použitého plechu. Vzhledem k tomu, že morfologie povrchu výrazně ovlivňuje i tribologické podmínky, které mají vliv na rozvoj deformace, je třeba tento vliv dále zkoumat.

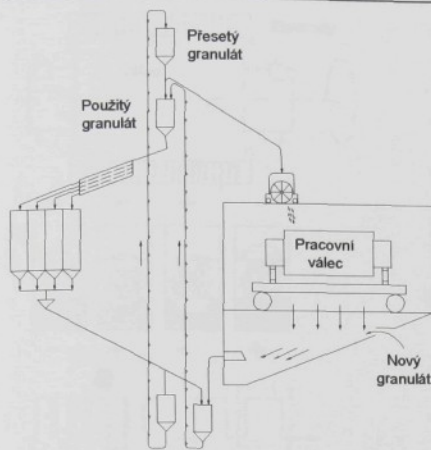
Problematikou vytváření morfologie povrchu plechu určeného na pohledové části karoserie automobilu se zabývají všichni přední světoví výrobci plechů. Vedle dnes již klasického opracování povrchu pracovních válců metodou mechanického otryskávání jemnozrnným granulátem (metoda označovaná jako SBT-Shot Blast Texturing) a opracování pomocí elektrojiskrového výboje (metoda označovaná jako EDT-Electric Discharge Texturing) se dnes používají nové moderní způsoby texturování povrchu pracovních válců. K těmto novým metodám patří opracování povrchu pracovního válce pomocí laserového paprsku (metoda označovaná jako LT-Laser Texturing), elektronového paprsku (metoda označovaná jako EBT-Electron Beam Texturing) a opracování prostřednictvím chromování pracovního válce (metoda označovaná jako PRETEX proces). Princip texturování povrchu pracovního válce pro výrobu plechů je uveden dále.

5.5.1. Texturování pracovního válce metodou SBT (Shot Blast Texturing)

Texturování pracovního válce metodou SBT je založeno na otryskávání pracovního válce jemným granulátem. Jemnozrný granulát je na rotující povrch pracovního válce vrhán lopatkovým kolem. Povrch pracovního válce je přetvářen částečnou plastickou deformací za současného deformačního zpevnění. Výsledkem je charakteristická textura, vyznačující se náhodným rozdělením kráterů.

Drsnost válce může být regulována prostřednictvím obvodové rychlosti tryskacího kola, druhem a velikostí tryskacího granulátu nebo tvrdostí pracovního válce. Povrchy získané touto technologií matování pracovního válce jsou stochastické. Princip výroby válce je vidět na obr.5.5.1.1.

Střední aritmetická drsnost povrchu plechu, který je vyroben válcem s texturou SBT, se pohybuje v rozmezí $R_a = 1,0 \div 6,0 \mu\text{m}$. Charakteristický povrch žárově pozinkovaného plechu získaného touto metodou je vidět na obr.5.5.1.2



Obr.5.5.1.1. Princip texturování pracovního „SBT“ válce metodou SBT

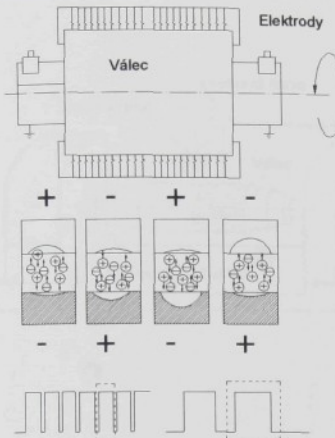


Obr.5.5.1.2 Charakteristický povrch plechu, zvětšeno 250x

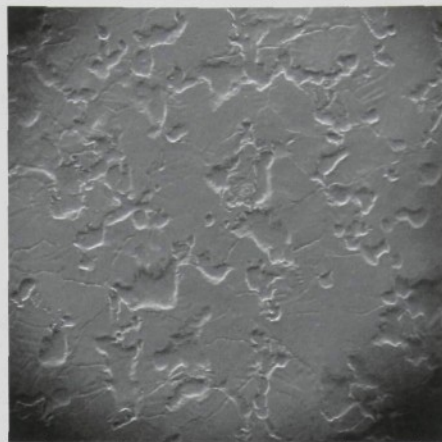
5.5.2. Texturování pracovního válce metodou EDT (Electric Discharge Texturing)

Texturování pracovního válce metodou EDT se uskutečňuje lokáním natavením povrchu válce v dielektrickém prostředí elektrickým výbojem mezi povrchem válce a elektrodou. Při vyjiskřovacím procesu je potřebné nastavit všechny parametry tak, aby byla dosažena maximální efektivita procesu. Drsnost válce lze měnit, bez ohledu na jeho tvrdost, jen velikostí napětí a vzdálenosti elektrod. Oproti metodě SBT metoda EDT umožňuje dosáhnout větší počet vrcholků PC a nižší drsnost. Požadované parametry jsou snadněji reprodukovatelné. Povrchy získané touto technologií matování pracovního válce jsou stochastické. Princip výroby válce je vidět na obr.5.5.2.1.

Střední aritmetická drsnost povrchu plechu, který je vyroben válcem s texturou EDT, se pohybuje v rozmezí $R_a = 0,8 \div 10 \mu\text{m}$. Charakteristický povrch žárově pozinkovaného plechu získaného touto metodou je vidět na obr.5.5.2.2..



Obr.5.5.2.1. Princip texturování pracovního válce metodou EDT



Obr.5.5.2.2 Charakteristický „EDT“ povrch plechu, zvětšeno 250x

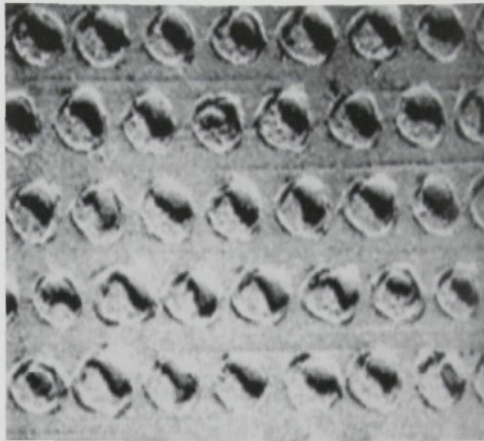
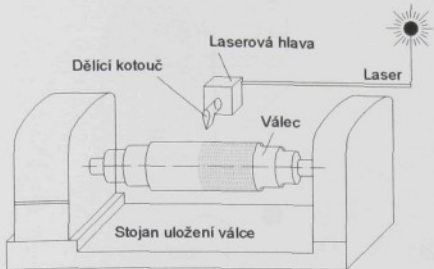
5.5.3. Texturování pracovního válce metodou LT (Laser Texturing)

Texturování povrchu pracovního válce metodou LT se provádí pomocí laserového paprsku. Laserový paprsek natavuje povrch pracovního válce a roztavený kov z kráteru se zachycuje jako obruba okolo kráteru. Pracovní válec rotuje a je pomalu posunován v axiálním směru. Drsnost je regulovaná prostřednictvím energie laserového paprsku, axiálním pohybem a otáčkami dělícího kotouče.

I když povrchy vytvářené touto metodou mají dobré vlastnosti, zkušenosti s touto metodou poukázaly na řadu nedostatků, jako je např. dlouhý čas matování, vysoké náklady, nízká účinnost laserového paprsku, snížená přilnavost obruby kráteru atd.. Z těchto důvodů tato metoda nenašla v praxi širší uplatnění.

Tato technologie umožnuje výrobu (semi)deterministických povrchů. Princip výroby válce je vidět na obr.5.5.3.1.

Střední aritmetická drsnost povrchu plechu, který je vyroben válcem s texturou LT, se pohybuje v rozmezí $R_a = 0,8 \div 10 \mu\text{m}$. Charakteristický povrch pracovního válce texturovaného metodou LT je vidět na obr.5.5.3.2..



Obr.5.5.3.1. Princip texturování pracovního válce metodou LT

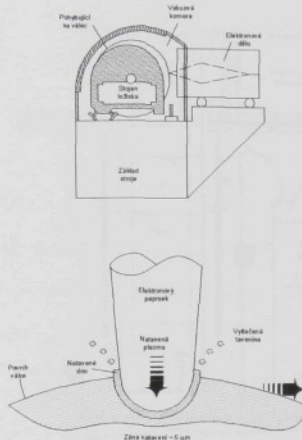
Obr.5.5.3.2 Charakteristický „LT“ povrch pracovního válce,zvětšeno 500x

5.5.4. Texturování pracovního válce metodou EBT (Electron Beam Texturing)

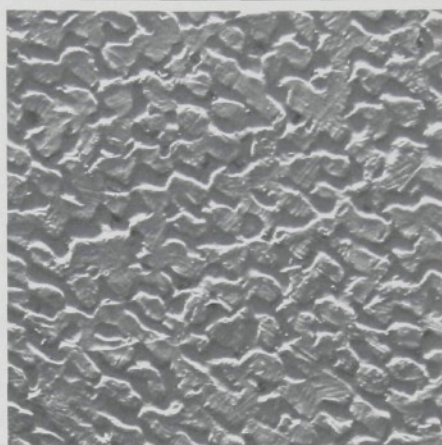
Princip texturování pracovního válce metodou EBT spočívá v natavování povrchu pracovního válce elektronovým paprskem. Proces je realizovaný ve vakuu, díky kterému má okraj kráteru čistý kovový charakter bez přítomnosti oxidů. Je možné regulovat a synchronizovat otáčení válce a frekvenci vystřelujícího elektronového paprsku tak, aby krátery měly rovnoramenné prostorové uspořádání ve všech směrech. U této metody, na rozdíl od jiných (např. LT), je možné zabezpečit pravidelnou geometrii uspořádání kráterů na povrchu válce i na velké vzdálenosti. Takovýto deterministický profil je odolný i vůči velkým smykovým silám při válcování na tandemové trati.

Tato technologie umožnuje výrobu deterministických povrchů. Princip výroby válce je vidět na obr.5.5.4.1.

Střední aritmetická drsnost povrchu plechu, který je vyroben válcem s texturou EBT, se pohybuje v rozmezí $R_a = 0,4 \div 5 \mu\text{m}$. Charakteristický povrch žárově pozinkovaného plechu získaného touto metodou je vidět na obr.5.5.4.2..



Obr.5.5.4.1. Princip texturování pracovního válce metodou EBT



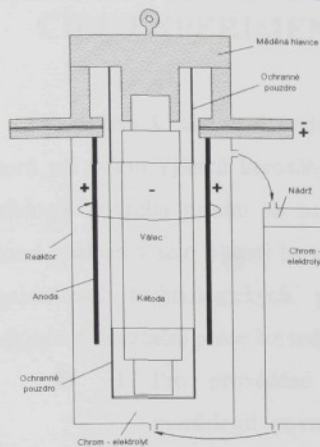
Obr.5.5.4.2 Charakteristický „EBT“ povrch plechu, zvětšeno 250x

5.5.5. Texturování pracovního válce metodou PRETEX (Preussag Texturing)

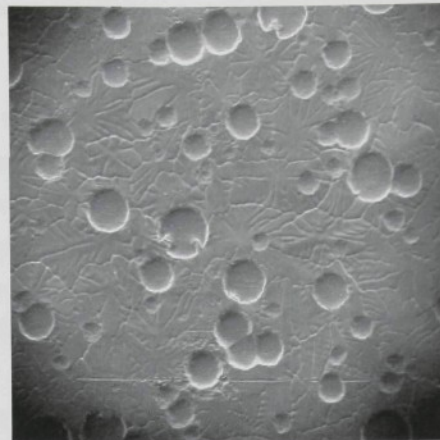
PRETEX proces texturování pracovního válce je založen na elektrolytickém vyloučení chromu na povrchu pracovního válce. Reaktor s náplní chromového elektrolytu tvoří anodovou klec a ionty chromu se vylučují na povrchu pracovního válce v kovové formě.

Tato technologie umožňuje výrobu stochastických povrchů. Princip výroby válce je vidět na obr.5.5.5.1.

Střední aritmetická drsnost povrchu plechu, který je vyroben válcem s texturou PRETEX, se pohybuje v rozmezí $R_a = 0,2 \div 20 \mu\text{m}$. Charakteristický povrch žárově pozinkovaného plechu získaného touto metodou je vidět na obr.5.5.5.2..



Obr.5.5.4.1. Princip výroby pracovního válce metodou PRETEX



Obr.5.5.4.2 Povrch plechu „PRETEX“, zvětšeno 250x

6. CÍLE EXPERIMENTÁLNÍ ČÁSTI DISERTAČNÍ PRÁCE

Vzhledem k složitosti podmínek tažení a k ne zcela objasněnému působení mnoha faktorů při tažení výlisků karosářského typu, bude pozornost této práce zaměřena na vliv morfologie povrchu plechu na rozvoj deformace při tažení výlisků nepravidelných tvarů. Získané znalosti v této oblasti by měly vést k optimalizaci volby zpracovávaného materiálu a k optimalizaci technologických podmínek procesu tažení. Cíle experimentální části předkládané disertační práce lze tedy shrnout do následujících bodů:

1. Pro prováděné experimenty vybrat z dostupných materiálů s různou morfologií povrchu plechu ty materiály, které budou mít co nejmenší odlišnosti mechanických vlastností.
2. Pro vybrané testované materiály zjistit vliv morfologie povrchu plechu na koeficient tření při použití jednoduché laboratorní zkoušky.
3. U testovaných materiálů zjistit vliv morfologie povrchu plechu na rozvoj deformace při tažení výlisku jednoduchého tvaru.
4. Výsledky experimentu ověřit při lisování reálného výlisku karosářského typu (páté dveře Škoda Fabia Combi).
5. Ověření možnosti použití experimentálně zjištěných dat pro simulaci procesu tažení.

Řešení a diskuse jednotlivých bodů disertační práce jsou uvedeny v následujících kapitolách.

7. VOLBA MATERIÁLŮ PRO PROVÁDĚNÉ EXPERIMENTY

Jak již bylo uvedeno v kapitole 5.5. existují různé způsoby texturování povrchu pracovního válce a s tím související různé textury povrchu vyrobeného plechu. S ohledem na požadavky automobilového průmyslu se dnes v tomto odvětví převážně používají pro výrobu karoserie pozinkované materiály s morfologií povrchu EDT, EBT a PRETEX (viz. kap. 5.5.). Materiály s morfologií povrchu plechu označované jako SBT se vzhledem k horší kvalitě laku používají pro pohledové části karoserie v omezené míře. Metoda texturování pracovního válce pomocí laseru (Laser Texturing) nenašla pro svojí náročnost širšího uplatnění a plechy vyrobené těmito válcí se prakticky nepoužívají.

Pro plánované experimenty a praktické ověření výsledků experimentu v praxi byl zvolen žárově pozinkovaný plech St 06 Z 100 MBO o jmenovité tloušťce 0,8 mm. Tento materiál se v současné době používá pro výrobu páteří dveří Škoda Fabia Combi.

Vzhledem k tomu, že jednotlivé typy materiálů s různou morfologií povrchu plechu nevrábí jeden výrobce, ukázal se výběr vhodného materiálu pro experiment jako velmi problematický a trvalo několik týdnů, než byly nalezeny vhodné materiály. Pro experimentální část předkládané disertační práce byly vybrány tyto materiály:

1. St 06 Z 100 MBO (označení dle VW 501 11)
DX 54 D+Z100 MBO (označení dle EN 10 142)
výrobce Salzgitter AG (Salzgitter Stahl GmbH)
morfologie povrchu PRETEX
jmenovitá tloušťka 0,8 mm (tolerance rozměrů dle EN 10 143)
skutečná tloušťka 0,77 mm
v textu dále označován jako Salzgitter PRETEX
2. St 06 Z 100 MBO (označení dle VW 501 11)
DX 54 D+Z100 MBO (označení dle EN 10 142)
výrobce ARCELOR S.A. Group (Sollac Steel)
morfologie povrchu EDT
jmenovitá tloušťka 0,8 mm (tolerance rozměrů dle EN 10 143)
skutečná tloušťka 0,8 mm
v textu dále označován jako Sollac EDT

3. St 06 Z 100 MBO (označení dle VW 501 11)

DX 54 D+Z100 MBO (označení dle EN 10 142)

výrobce Voest Alpine Eurostahl GmbH

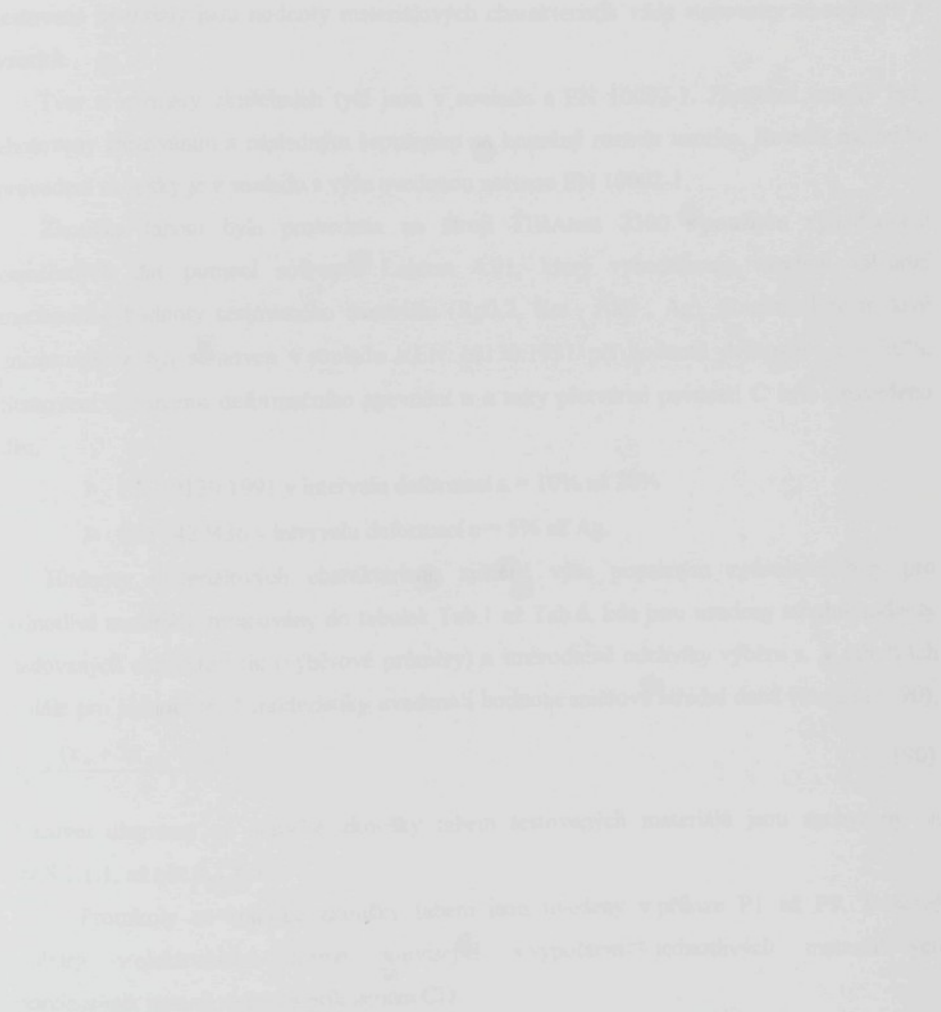
morfologie povrchu EBT

jmenovitá tloušťka 0,8 mm (tolerance rozměrů dle EN 10 143)

skutečná tloušťka 0,78 mm

v textu dále označován jako Voest EBT

Hodnocení mechanických vlastností a kvality povrchu testovaných plechů je uvedeno v následujících kapitolách.



8. CHARAKTERISTIKA MATERIÁLŮ POUŽITÝCH PRO EXPERIMENTY

8.1. ZJIŠTĚNÍ MECHANICKÝCH HODNOT TESTOVANÝCH MATERIÁLŮ

8.1.1. Statická zkouška tahem

Základní materiálové charakteristiky testovaných materiálů byly stanoveny zkouškou tahem. Zkušební tyče byly odebrány ve směrech 0°, 45°, 90° vůči směru válcování. Pro testované materiály jsou hodnoty materiálových charakteristik vždy stanoveny ze souboru 8 vzorků.

Tvar a rozměry zkušebních tyčí jsou v souladu s EN 10002-1. Zkušební vzorky byly zhotoveny frézováním a následným broušením na konečný rozměr vzorku. Rovněž metodika provedení zkoušky je v souladu s výše uvedenou normou EN 10002-1.

Zkouška tahem byla provedena na stroji TIRATest 2300 s použitím vyhodnocení naměřených dat pomocí software Labtest 4.01, který vyhodnocuje všechny základní mechanické hodnoty testovaného materiálu (Rp0,2, Rm, A80, Ag). Součinitel normálové anizotropie r byl stanoven v souladu s EN 10130:1991 při hodnotě deformace $\varepsilon = 20\%$. Stanovení exponentu deformačního zpevnění n a míry přetvárné pevnosti C bylo provedeno dle:

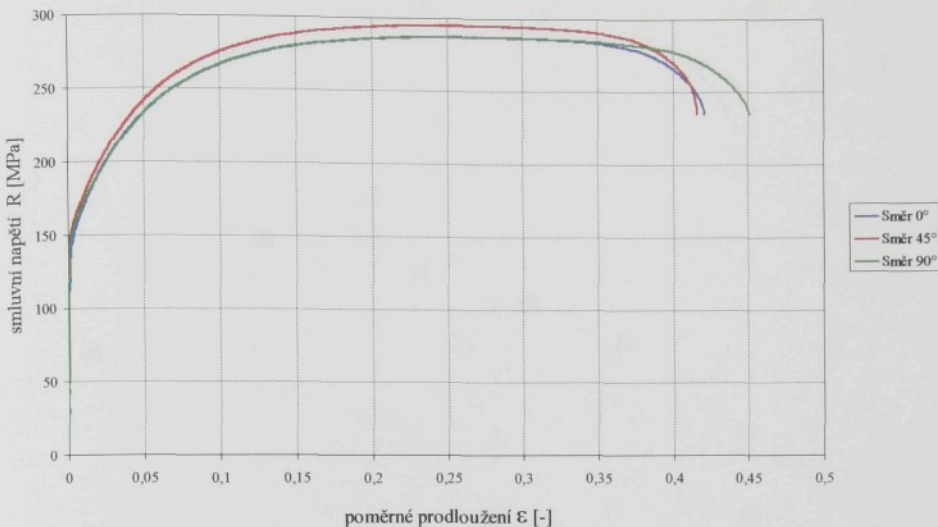
- EN 10130:1991 v intervalu deformací $\varepsilon = 10\%$ až 20%
- ČSN 420436 v intervalu deformací $\varepsilon = 5\%$ až Ag.

Hodnoty materiálových charakteristik zjištěné výše popsaným způsobem byly pro jednotlivé materiály zpracovány do tabulek Tab.1 až Tab.6, kde jsou uvedeny střední hodnoty sledovaných charakteristik (výběrové průměry) a směrodatné odchylinky výběru s . V tabulkách je dále pro jednotlivé charakteristiky uvedena i hodnota směrově střední daná vztahem (190),

$$x_s = \frac{(x_0 + 2x_{45} + x_{90})}{4} \quad (190)$$

Pracovní diagramy ze statické zkoušky tahem testovaných materiálů jsou zachyceny na obr.8.1.1.1. až obr.8.1.1.3..

Protokoly ze statické zkoušky tahem jsou uvedeny v příloze P1 až P9. Veškeré soubory v elektronické formě související s výpočtem jednotlivých materiálových charakteristik jsou uloženy na přiloženém CD.



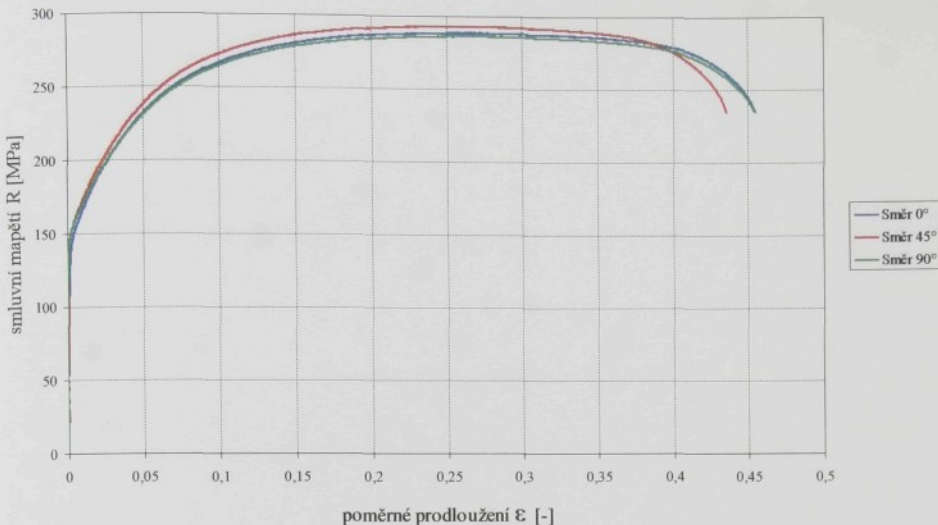
Obr. 8.1.1.1. Diagram statické zkoušky tahem pro materiál Salzgitter PRETEX.

Tabulka 1. Tabulka mechanických hodnot materiálu Salzgitter PRETEX tl. 0,77 mm

směr	R _{p0,2} [MPa] s	R _m [MPa] s	A ₈₀ [%] s	A _g [%] s	r [-] s
0°	150,19 1,01	287,94 1,10	42,11 1,21	25,48 0,78	1,9440 0,01173
45°	157,12 0,72	295,45 0,39	41,61 0,66	24,70 0,55	1,7301 0,01015
90°	153,98 0,81	287,29 0,27	45,11 0,54	25,41 0,63	2,4099 0,02625
x _s	154,6	291,53	42,61	25,07	1,9535

Tabulka 2. Exponenty deformačního zpevnění n a míry přetvárné pevnosti C
mat. Salzgitter PRETEX tl. 0,77 mm

směr	dle EN 10130:1991			dle ČSN 420436		
	n [-] s	C [MPa] s	ϕ_0 [-] s	n [-] s	C [MPa] s	ϕ_0 [-] s
0°	0,2373 0,00567	514,79 3,463	0,003615 0,000422	0,2464 0,00474	523,03 2,647	0,004374 0,000376
45°	0,2308 0,00069	523,38 0,665	0,003492 0,000092	0,2414 0,00104	533,33 0,689	0,004384 0,000091
90°	0,2348 0,00173	511,99 1,756	0,004043 0,000086	0,2450 0,00229	521,2 2,29	0,004959 0,000115
x _s	0,2334	518,39	0,003661	0,2436	527,72	0,004525



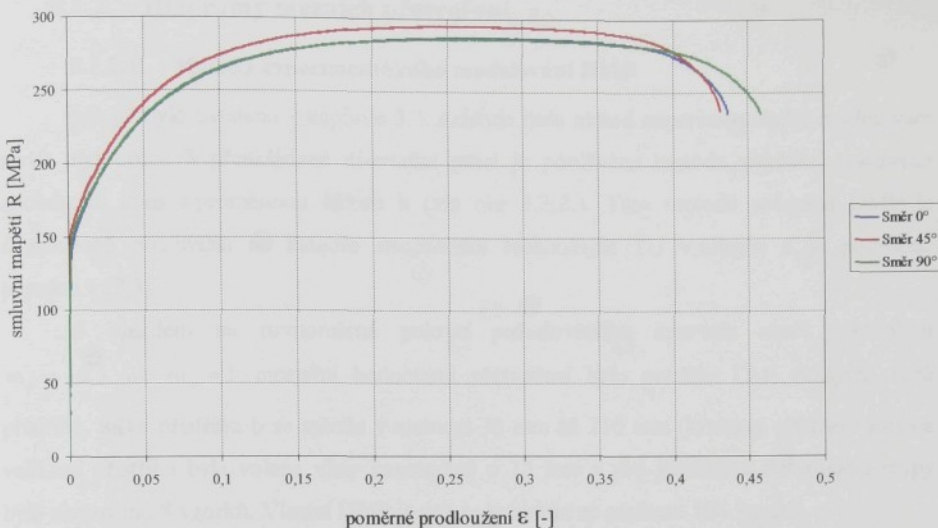
Obr. 8.1.1.2 Diagram statické zkoušky tahem pro materiál Sollac EDT.

Tabulka 3. Tabulka mechanických hodnot materiálu Sollac EDT tl. 0,8 mm

směr	R _{p0,2} [MPa]	R _m [MPa]	A ₈₀ [%]	A _g [%]	r [-]
	s	s	s	s	s
0°	147,19 0,37	288,90 0,46	45,59 0,65	25,93 0,45	1,8744 0,01852
45°	155,17 2,1	295,56 2,15	43,61 0,53	25,34 0,49	1,6771 0,02232
90°	151,80 1,28	285,80 0,61	45,38 0,54	26,21 0,70	2,3132 0,02572
x _s	152,33	291,46	44,55	25,71	1,8855

Tabulka 4. Exponenty deformačního zpevnění n a míry přetvárné pevnosti C mat. Sollac EDT tl. 0,8 mm

směr	dle EN 10130:1991			dle ČSN 420436		
	n [-] s	C [MPa] s	ϕ_0 [-] s	n [-] s	C [MPa] s	ϕ_0 [-] s
0°	0,2448 0,00160	522,26 0,960	0,00371 0,000128	0,2541 0,00217	530,7 1,461	0,00448 0,000182
45°	0,2349 0,00233	526,62 2,336	0,003548 0,000109	0,2449 0,00259	536,0 2,202	0,004391 0,000118
90°	0,2417 0,00198	514,25 0,496	0,004477 0,000057	0,2508 0,00182	522,30 0,355	0,005301 0,000062
x _s	0,2391	522,44	0,003821	0,2487	531,25	0,004641



Obr. 8.1.1.3. Diagram statické zkoušky tahem pro materiál Voest EBT.

Tabulka 5. Tabulka mechanických hodnot materiálu Voest EBT tl. 0,78 mm

směr	R _{p0,2} [MPa] s	R _m [MPa] s	A ₈₀ [%] s	A _g [%] s	r [-] s
0°	149,43 0,98	287,07 1,13	43,83 1,27	26,52 0,82	1,9761 0,0283
45°	156,23 0,67	294,57 0,41	43,31 0,69	25,71 0,59	1,7886 0,02167
90°	153,46 0,80	286,43 0,29	45,83 0,58	25,82 0,56	2,3586 0,01097
x _s	153,84	290,66	44,07	25,94	1,9780

Tabulka 6. Exponenty deformačního zpevnění n a míry přetvárné pevnosti C
mat. Voest EBT tl. 0,78 mm

směr	dle EN 10130:1991			dle ČSN 420436		
	n [-] s	C [MPa] s	ϕ_0 [-] s	n [-] s	C [MPa] s	ϕ_0 [-] s
0°	0,2439 0,00572	518,11 3,418	0,004167 0,000445	0,2518 0,00477	525,04 2,567	0,004861 0,00039
45°	0,2376 0,00079	526,98 0,929	0,004044 0,00011	0,2469 0,00103	535,47 0,774	0,004862 0,000106
90°	0,2375 0,00191	512,47 1,849	0,004291 0,000089	0,2472 0,00247	521,09 2,426	0,005178 0,000125
x _s	0,2392	521,14	0,004137	0,2482	529,27	0,004941

8.1.2. Diagramy mezních přetvoření

8.1.2.1. Metoda experimentálního modelování DMP

Jak již bylo uvedeno v kapitole 3.3. existuje řada metod experimentálního modelování stavů přetvoření. V předkládané disertační práci je používána metoda vypínání tvarových zkušebních těles s proměnnou šírkou b (viz obr. 3.3.2.). Tato metoda určování DMP je dlouhodobě používána na katedře strojírenské technologie TU v Liberci a je podrobně popsána v [2,3].

S ohledem na rovnoměrné pokrytí požadovaného intervalu stavů přetvoření $m_{\varphi} = -0,5$ až $m_{\varphi} = 1$ mezními hodnotami přetvoření bylo použito 13-ti různých tvarů přístříhů. Šířka přístřihu b se měnila v rozmezí 30 mm až 210 mm (kruhový přístříh). Změna velikosti přístřihu byla volena vždy konstantně o 15 mm a pro jednotlivé deformační stopy bylo zhotoven 8 vzorků. Vlastní DMP je pak tedy získán ze souboru 104 vzorků.

Zkušební zařízení pro vypínání tvarových zkušebních těles se skládá ze speciálního nástroje umístěného na hydraulickém dvojčinném lisu CBA 300, kde nástříhy pevně sevřené v oblasti přírub jsou vypínány polokulovým tažníkem o průměru 100 mm. Ke sledování procesu plastického přetvoření slouží uzavřený televizní okruh. Kriteriem pro ukončení zkoušky je vznik trhliny na testovaném vzorku.

Výběr elementů deformační sítě, které byly použity pro zhotovení DMP a odpovídají přijaté definici mezního stavu, je popsán v kapitole 3.3..

Orientace použitých vzorků pro zhotovení DMP byla volena tak, aby směr hlavní normálné deformace φ_{1k} byl vždy kolmo vůči směru válcování.

8.1.2.2. Vytváření deformační sítě a stanovení hodnot hlavních normálních přetvoření

Základním předpokladem pro získání diagramu mezních přetvoření je optimální zvládnutí metod vytváření a vyhodnocování povrchových deformačních sítí. V současné době existuje řada způsobů vytváření povrchových deformačních sítí, z nichž nejznámější jsou metody: sitotisk, ofsetový tisk, gumostereotypie, rytí, fotografická metoda (pozitivní a negativní), chemické leptání, vyjiskrování, síť vytvořená laserem, elektrochemické (elektrolytické) leptání, apod.. Při výběru metody vytváření deformačních sítí je nutné brát na zřetel určité omezující faktory, jako jsou přesnost sítě, složitost vytváření, dostupnost potřebného zařízení, spolehlivost získaných údajů o velikosti zkoumaného přetvoření.

Využitelnost diagramů mezních přetvoření ve vztahu k analýze přetvoření reálného výlisku předpokládá použití sítě se stejným elementem jak pro výlisek, tak pro zkušební laboratorní tělesa. Tento fakt je důležitý z důvodu existence gradientu přetvoření a výskytu lokálního ztenčení. Čím menší bude parametr sítě, tím větší bude percentuální zastoupení lokálního ztenčení, tím větší bude změřené mezní přetvoření a naopak. Tento fakt je dán tím, že pomocí deformační sítě s elementem určité velikosti nelze změřit přetvoření v bodě, ale lze zjistit pouze „průměrné“ přetvoření v ploše zkoumaného elementu. Tato skutečnost ovlivňuje hlavně velikost většího mezního přetvoření φ_1 . Poměrná chyba měření se zmenšuje naopak s rostoucí velikostí elementu. Pro splnění podmínky rovnoměrnosti přetvoření v jím ohrazené oblasti je zase nezbytné použít elementu co nejmenšího. Parametr sítě je tak dán kompromisem mezi těmito protichůdnými požadavky.

Prakticky nejmenší používaný rozměr elementu deformační sítě v podmírkách lisovny je udáván [2] 2,5 mm. Dále pro snížení vlivu gradientu přetvoření, který u polokulových tvarů je vždy, je doporučován poměr průměru tažníku d k parametru sítě L_0 větší než 40, $d/L_0 \geq 40$ [3]. V případě použití tažníku o průměru 100 mm je pro parametr sítě $L_0=2,5$ mm tato podmínka splněna. Z těchto důvodů byla pro analýzu deformace zvolena deformační síť z překryvajících se kruhových elementů o průměru 2,5 mm.

Nejvyšší přesnosti deformační sítě se dosáhne kombinací negativní fotografické metody s elektrolytickým leptáním. Tento postup je však značně náročný na vybavení, je velmi pracný a lze ho aplikovat jak pro malé, tak i pro velké (s určitými obtížemi) nástříhy. Obojí ovšem v laboratorních podmírkách. Pokud není vyžadována velmi vysoká přesnost deformační sítě, je jednodušší a produktivnější použít pro výrobu deformačních sítí metodu elektrolytického leptání pomocí speciálních textilních sítí s vytvořeným požadovaným obrazem sítě, tzv. šablon. Tento postup je využitelný nejen v laboratoři, ale i v podmírkách lisovny a odpadá tak často složitá manipulace s rozmněrnými přístříhy. Zaleptaná síť se nesetře tak snadno jako síť vytvořená barvou (např. sítotisk, gumostereotypie). S ohledem na charakter řešené problematiky byla volena pro výrobu deformačních sítí právě metoda elektrochemického leptání pomocí textilních šablon. Detailní pohled na použitou deformační síť je vidět na obr. 8.1.2.2.1.

Po realizaci plastického přetvoření nástřihu ve zkušebním nástroji jsou kruhové elementy přetvořeny na „elipsy“ s hlavními osami o délkách L_2 (menší rozměr) a L_1 (větší rozměr). Pomocí hodnot L_1 a L_2 vybraného elementu deformační sítě, který vyhovuje zvolené

definici mezního stavu (kapitola 3.3.), jsou spočtena s použitím vztahu (191) hlavní normálná (mezní) přetvoření φ_{1k} a φ_{2k} .

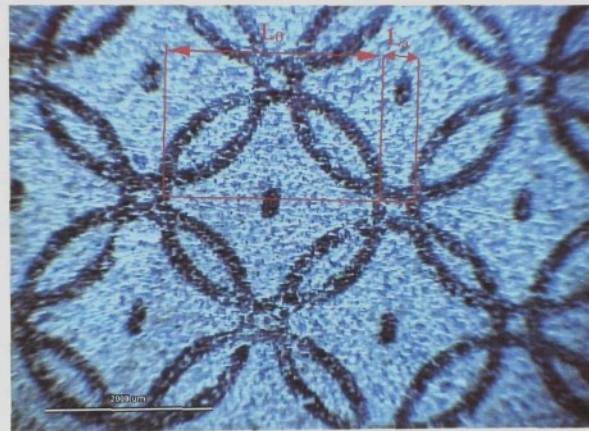
$$\varphi_{2k,lk} = \ln \frac{L_{2,l}}{L_0}, \quad (191)$$

kde L_0 je průměr výchozího elementu

$L_{2,l}$ jsou rozměry hlavních os sledovaného elementu po přetvoření

Vlastní měření rozměrů $L_{2,l}$ se provádělo na upraveném dilenském mikroskopu připojeného k PC. Měřící pracoviště pro zjištění deformace je vidět v příloze P31.

Velikost vyleptaného elementu deformační sítě o výchozím rozměru L_0 byla určena jako výběrový průměr z 40 náhodně vybraných nedeformovaných elementů sítě. Tímto měřením byla zjištěna počáteční hodnota $L_0 = 2,646$ mm s výběrovou směrodatnou odchylkou $s = 0,0081$ mm.



Obr. 8.1.2.2.1. Detailní pohled na použitou deformační síť

8.1.2.3. Diagramy mezních přetvoření testovaných materiálů

Základní formou diagramů mezních přetvoření (DMP) je pásmo bodů o souřadnicích $[\varphi_{2kj}, \varphi_{1kj}]$ představujících mezní přetvoření, kde φ_{2k} , resp. φ_{1k} jsou definována dle (191) jako logaritmická přetvoření, $j = 1 \dots N$ je počet bodů v pásmu. Toto experimentálně zjištěné pásmo mezních přetvoření (PMP) je pomocí regresní analýzy proloženo křivkou mezních přetvoření. Pro regresi pravé i levé větve DMP byla volena polynomická křivka druhého řádu (192)

$$\varphi_{1kj} = a + b \varphi_{2kj} + c \varphi_{2kj}^2. \quad (192)$$

K posouzení rozptylu hodnot φ_{ik} kolem regresní křivky lze využít reziduální směrodatné odchylyky s_R . Při určování křivky mezních přetvoření jako střední hodnoty souboru náhodného výběru (jako dvourozměrný odhad parametru základního souboru) je tato výběrová charakteristika náhodnou veličinou a její odhad (resp. odhad vektoru regresních koeficientů a , b , c) je zatížen příslušnou chybou. Přesnost, s jakou tento odhad odhaduje parametr základního souboru, popisuje konfidenční interval. V případě křivky mezních přetvoření ve tvaru polynomu druhého řádu dle (192), lze střední hodnotu mezní deformace φ_{ikj} očekávat (na hladině významnosti α) v rozmezí

$$\varphi_{ikj} \pm t_\alpha (n-p) s_R \sqrt{S}, \quad \text{kde } S = f_j (X^T X)^{-1} f_j^T, \quad (193)$$

kde $t_\alpha(n-p)$ je kritická hodnota Studentova rozdělení s $(n-p)$ stupni volnosti,

s_R je reziduální směrodatná odchylka,

f_j je vektor rovný j -tému řádu matice X , která obsahuje funkce nezávisle proměnné φ_{2k} .

Pro praktické účely často postačuje tzv. zjednodušený konfidenční interval ve tvaru

$$\varphi_{ikj} \pm t_\alpha (n-p) s_R \sqrt{\frac{1}{N}}, \quad (194)$$

kde N je počet měření. Šířka tohoto intervalu je podél regresní křivky konstantní a odpovídá šířce konfidenčního intervalu stanoveného pro střed (těžiště) příslušné větve regresní křivky. Tento zjednodušený typ konfidenčního intervalu je použit při vyhodnocení DMP zkoumaných materiálů.

Vedle konfidenčního intervalu lze stanovit i oboustranné toleranční meze (toleranční pásmo) dle vztahu

$$\varphi_{ikj} \pm k_1 s_R, \quad (195)$$

kde k_1 je tabelováno v [32] v závislosti na N , P , γ , kde N je počet měření, P je podíl bodů základního souboru zahrnutého do tolerančních mezí s pravděpodobností γ .

Regresní koeficienty a , b , c pro testované materiály (pro levou a pravou větev DMP) jsou uvedeny v tabulce 7.

Diagramy mezních přetvoření představované pásmem experimentálně zjištěných hodnot $[\varphi_{2kj}, \varphi_{ikj}]$ doplněných regresními křivkami mezních přetvoření jsou pro testované materiály uvedeny na obr. 8.1.2.3.1, obr.8.1.2.3.3. a obr.8.1.2.3.5..

DMP představované konfidenčním a tolerančním intervalom jsou pro testované materiály uvedeny na obr. 8.1.2.3.2, obr.6.3.2.3.4. a obr.8.1.2.3.6.. Hladina významnosti pro

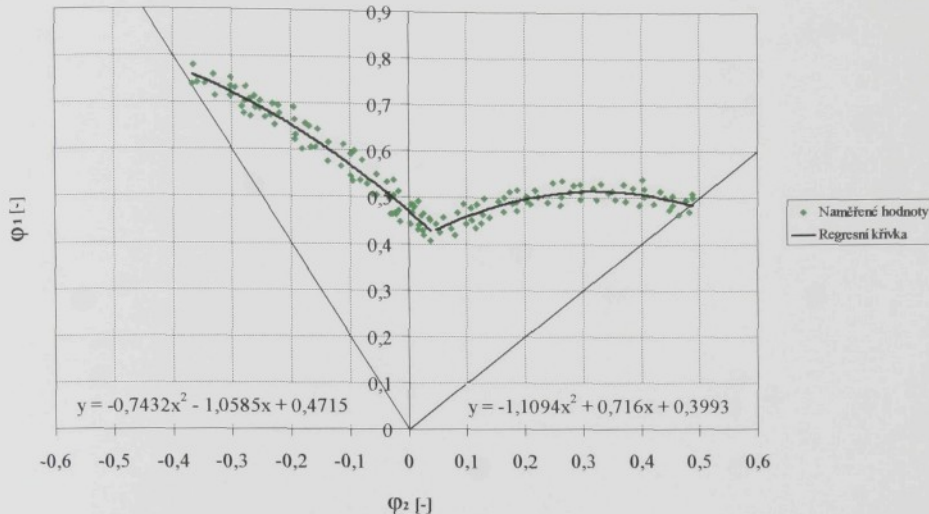
zhotovení konfidenčního intervalu byla volena $\alpha = 5\%$. Pro zhotovení tolerančního intervalu byly voleny parametry $P = 95\%$, $\gamma = 95\%$.

Porovnání diagramů mezních přetvoření testovaných materiálů, které je provedeno pomocí konfidenčních a tolerančních intervalů, je vidět na obrázku

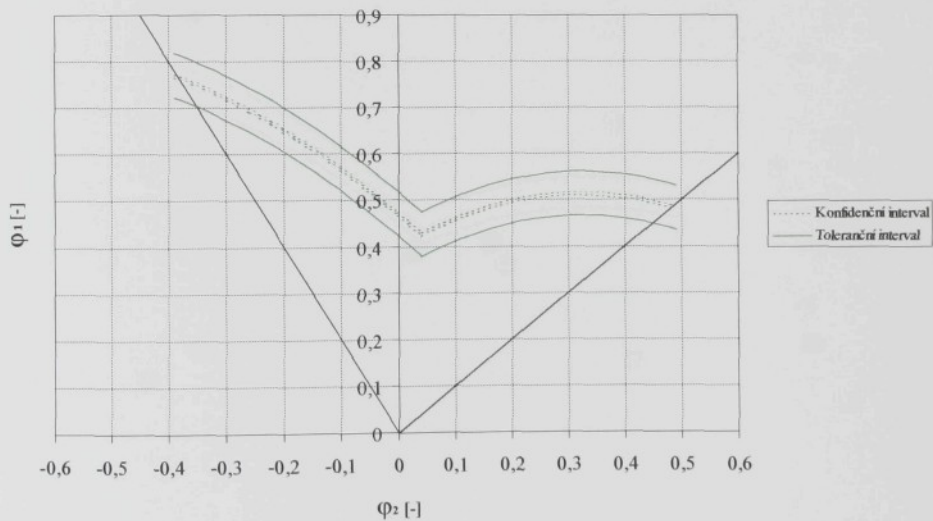
Tabulka 7. Tabulka regresních koeficientů KMP pro testované materiály

Materiál	Levá větev DMP			Pravá větev DMP		
	a	b	c	a	b	c
Salzgitter PRETX	0,4715	-1,0585	-0,7432	0,3993	0,716	-1,1094
Sollac EDT	0,4828	-1,0219	-0,8061	0,4173	0,5963	-0,8995
Voest EBT	0,4746	-1,0891	-0,7656	0,3839	0,844	-1,2855

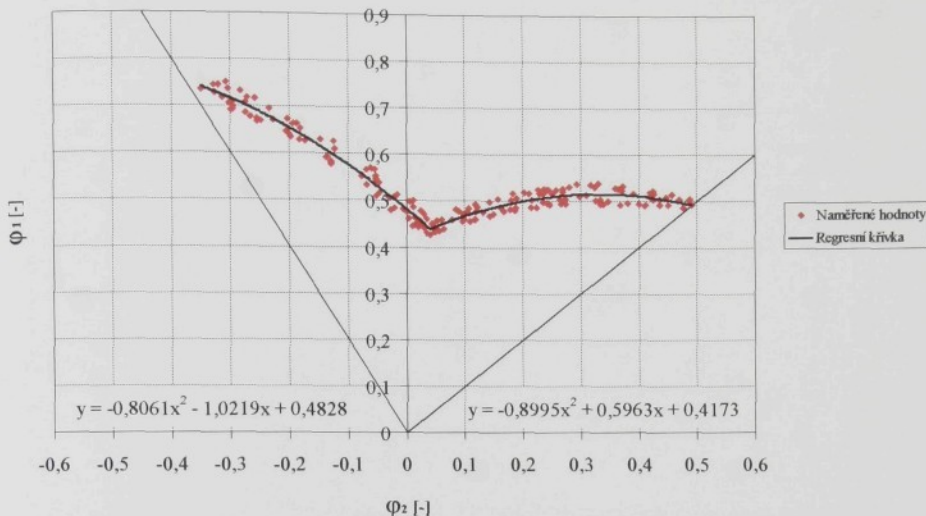
Veškeré soubory v elektronické formě související s výpočtem a konstrukcí diagramů mezních přetvoření pro testované materiály jsou uloženy na přiloženém CD.



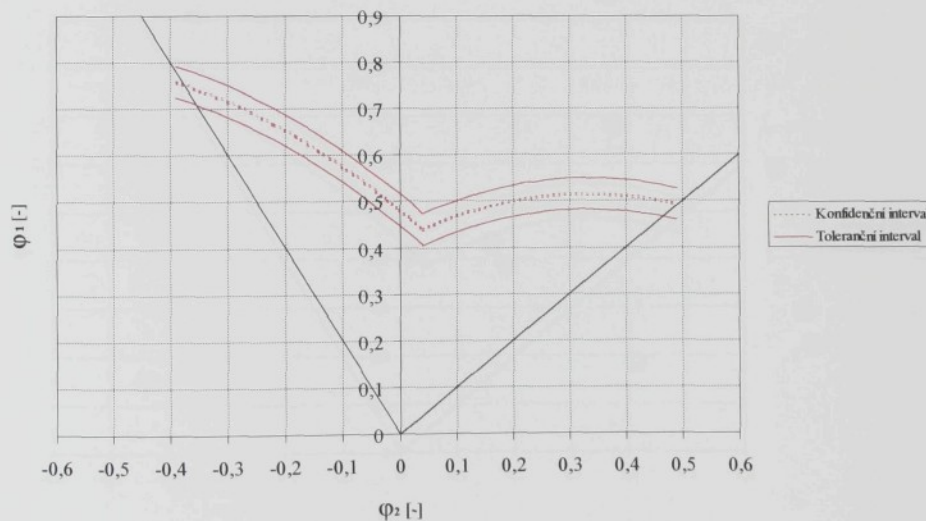
Obr. 8.1.2.3.1. Hodnoty mezních přetvoření s odpovídající KMP, materiál Salzgitter PRETEX



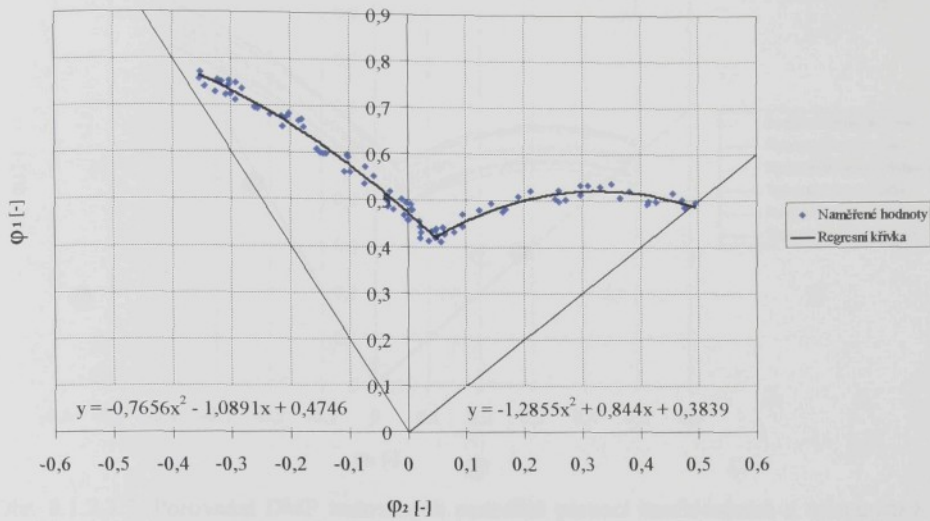
Obr. 8.1.2.3.2. Oboustranné konfidenční a toleranční intervaly pro DMP Salzgitter PRETEX



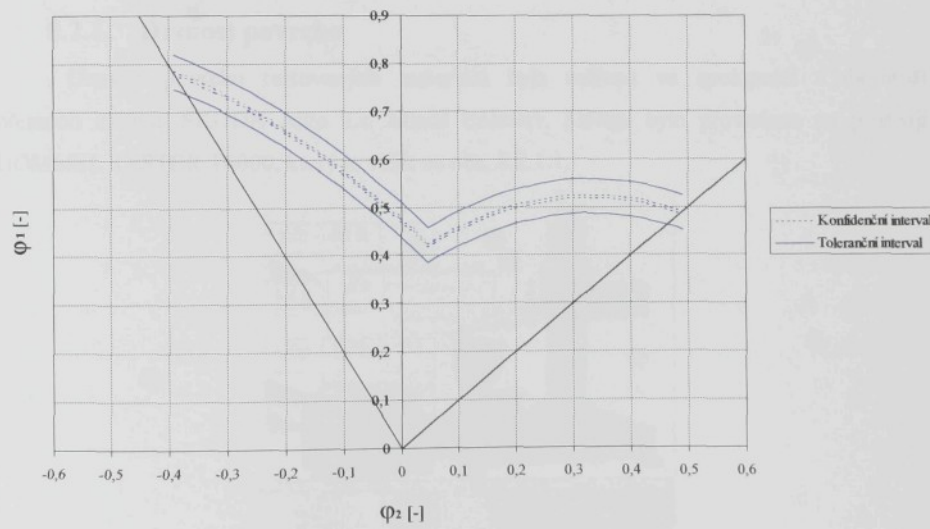
Obr. 8.1.2.3.3. Hodnoty mezních přetvoření s odpovídající KMP, materiál Sollac EDT



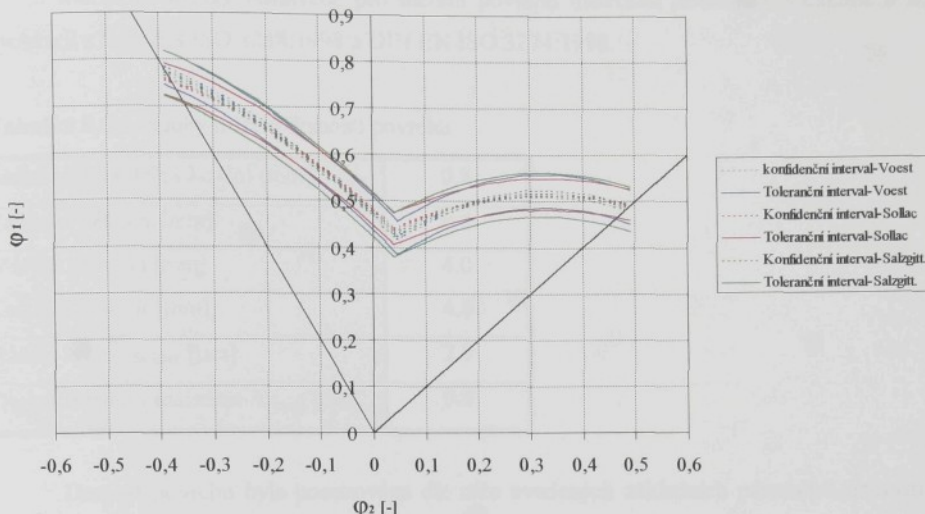
Obr. 8.1.2.3.4. Oboustranné konfidenční a toleranční intervaly pro DMP Sollac EDT



Obr. 8.1.2.3.5. Hodnoty mezních přetvoření s odpovídající KMP, materiál Voest EBT



Obr. 8.1.2.3.6. Oboustranné konfidenční a toleranční intervaly pro DMP Voest EBT



Obr. 8.1.2.3.7. Porovnání DMP testovaných materiálů pomocí konfidenčních a tolerančních intervalů

8.2. MORFOLOGIE POVRCHU PLECHU

8.2.1. Drsnost povrchu

Drsnost povrchu testovaných materiálů byla měřena ve spolupráci s laboratoří přesného měření ŠKODA Auto a.s. Mladá Boleslav. Měření bylo provedeno na přístroji HOMMEL TESTER T6000, který je vidět na obr. 8.2.1.1.



Obr. 8.2.1.1. Drsnoměr HOMMEL TESTER T6000

Měřící podmínky nastavené pro měření povrchu materiálů jsou vidět v tabulce 8 a vycházejí z DIN EN ISO 4288:1998 a DIN EN ISO 3274:1998.

Tabulka 8. Podmínky měření drsnosti povrchu

Mezní vlnová délka λ_c [lc] [mm]	0.8
Základní délka l_r [mm]	0.8
Měřená délka l_n [mm]	4.0
Celková délka l_t [mm]	4.8
Rádius hrotu $r_{Sp\max}$ [μm]	2.0
Digitalizovaná vzdálenost Δx_{\max} [μm]	0.5

Drsnost povrchu byla posuzována dle níže uvedených základních parametrů drsnosti (viz. kapitola 5.3.):

- Pt-hloubka profilu,
- Wt-hloubka vln,
- Rt-nejvyšší hloubka drsnosti,
- Rz-maximální výška profilu,
- Ra-střední aritmetická hodnota drsnosti,
- RPc-Počet výstupků.

Pro podrobnější hodnocení morfologie povrchu testovaných materiálů byly pro jednotlivé materiály zjištovány pomocí tzv. Abbottovy křivky i veličiny materiálového nosného podílu (viz. kapitola 5.3.).

Drsnost byla zjištována pro obě strany plechu kolmo na směr válcování a měření bylo provedeno pokaždé v deseti náhodně vybraných místech. Parametry drsnosti pro jednotlivé materiály jsou uvedeny v tabulce 9 až 11, kde jsou uvedeny střední hodnoty sledovaných charakteristik (výběrové průměry) a výběrové směrodatné odchylinky s.

Tabulka 9. Naměřené hodnoty drsnosti pro materiál Salzgitter PRETEX tl. 0,77 mm.

Měřené veličiny	Strana A s	Strana B s
hloubka profilu	7,28	7,31
Pt [μm]	0,027	0,031
hloubka vln	0,89	0,90
Wt [μm]	0,0022	0,0041
nejvyšší hloubka drsnosti	7,10	7,13
Rt [μm]	0,016	0,023
maximální výška profilu	6,46	6,48
Rz [μm]	0,028	0,013
střední aritmetická hodnota drsnosti Ra [μm]	1,13 0,013	1,15 0,009
počet výstupků	76	79
RPc [cm^{-1}]	1,64	1,79
základní hloubka	2,03	2,06
Rk [μm]	0,012	0,017
redukovaná výška špiček	0,45	0,46
Rpk [μm]	0,0032	0,0041
R [*] pk [μm]	0,74 0,0064	0,72 0,0051
redukovaná hloubka rýh	2,82	2,80
Rvk [μm]	0,028	0,036
R [*] vk [μm]	4,39 0,041	4,36 0,034
Podíl materiálu nad profilem jádra Mr1 [%]	6,7 0,25	6,5 0,16
Podíl materiálu pod profilem drsnosti Mr2 [%]	71,5 1,24	71,8 0,89

Tabulka 10. Naměřené hodnoty drsnosti pro materiál Sollac EDT tl. 0,8 mm.

Měřené veličiny	Strana A	Strana B
	s	s
hloubka profilu	7,56	7,48
Pt [μm]	0,033	0,026
hloubka vln	1,06	1,11
Wt [μm]	0,0037	0,0031
nejvyšší hloubka drsnosti	7,33	7,28
Rt [μm]	0,013	0,025
maximální výška profilu	6,56	6,51
Rz [μm]	0,026	0,019
střední aritmetická hodnota drsnosti Ra [μm]	1,11 0,017	1,14 0,012
počet výstupků	80	82
RPc [cm^{-1}]	1,03	0,96
základní hloubka	2,04	2,07
Rk [μm]	0,009	0,011
redukovaná výška špiček	0,42	0,46
Rpk [μm]	0,0036	0,0034
R*pk [μm]	0,68 0,0055	0,71 0,0063
redukovaná hloubka rýh	2,88	2,90
Rvk [μm]	0,031	0,038
R*vk [μm]	4,49 0,041	4,42 0,037
Podíl materiálu nad profilem jádra Mr1 [%]	4,3 0,34	4,1 0,21
Podíl materiálu pod profilem drsnosti Mr2 [%]	72,1 0,96	72,4 1,02

Tabulka 11. Naměřené hodnoty drsnosti pro materiál Voest EBT tl. 0,78 mm.

Měřené veličiny	Strana A s	Strana B s
hloubka profilu	7,39	7,41
Pt [μm]	0,023	0,032
hloubka vln	0,97	1,05
Wt [μm]	0,0013	0,0021
nejvyšší hloubka drsnosti	7,16	7,21
Rt [μm]	0,017	0,019
maximální výška profilu	6,52	6,54
Rz [μm]	0,026	0,019
střední aritmetická hodnota drsnosti Ra [μm]	1,12 0,007	1,16 0,008
počet výstupků	75	73
RPC [cm^{-1}]	0,54	0,75
základní hloubka	2,02	2,05
Rk [μm]	0,011	0,009
redukovaná výška špiček	0,44	0,45
Rpk [μm]	0,0029	0,0035
R*pk [μm]	0,72 0,0038	0,74 0,0046
redukovaná hloubka rýh	2,79	2,81
Rvk [μm]	0,022	0,027
R*vk [μm]	4,42 0,035	4,46 0,032
Podíl materiálu nad profilem jádra Mr1 [%]	4,1 0,23	3,9 0,25
Podíl materiálu pod profilem drsnosti Mr2 [%]	72,9 0,83	72,4 0,91

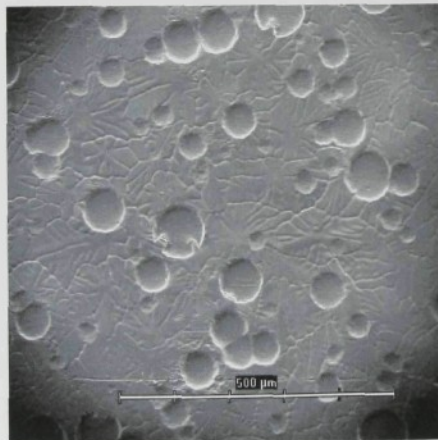
8.2.2. Snímky povrchu materiálu

Pro hodnocení povrchu plechů z hlediska jejich tribologických vlastností je důležité znát charakter a typ povrchové textury zkoumaných materiálů. Vedle 2D hodnocení pomocí mikrogeometrie povrchu (drsnost povrchu), které je z obecného hlediska snadno měřitelné, je třeba si uvědomit, že tento 2D popis povrchu plechu má ke skutečným makrogeometrickým poměrům při lisování poměrně daleko. Z tohoto důvodu byly pořízeny fotografie povrchu zkoumaných plechů pomocí rastrovacího elektronového mikroskopu VEGA TS 5130, který je vidět na obr. 8.2.2.1..

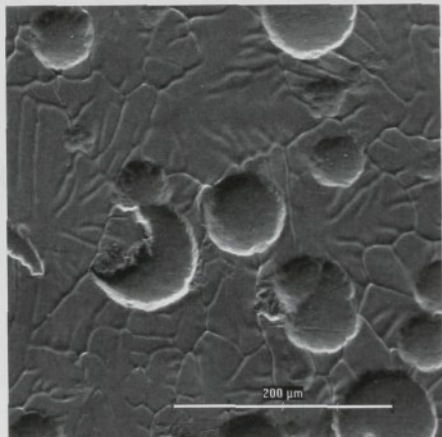


Obr. 8.2.2.1. Rastrovací elektronový mikroskop VEGA TS 5130

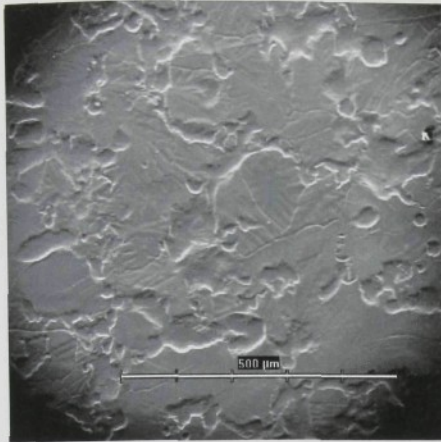
Fotografie povrchů pro jednotlivé materiály jsou vidět na obr. 8.2.2.2. až 8.2.2.7..



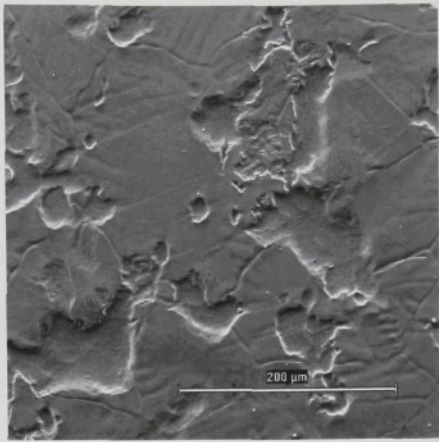
Obr.8.2.2.2. Fotografie povrchu materiálu Salzgitter PRETEX, zvětšeno 250x



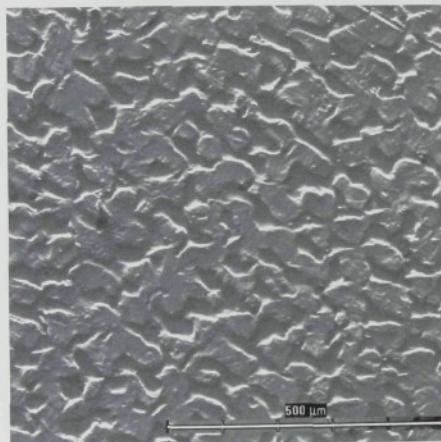
Obr.8.2.2.3. Fotografie povrchu materiálu Salzgitter PRETEX, zvětšeno 500x



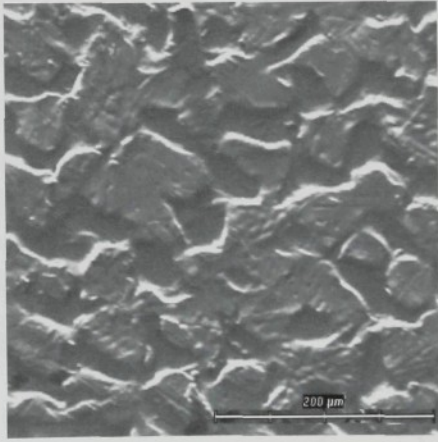
Obr.8.2.2.4. Fotografie povrchu materiálu
Sollac EDT, zvětšeno 250x



Obr.8.2.2.5. Fotografie povrchu materiálu
Sollac EDT, zvětšeno 500x



Obr.8.2.2.6. Fotografie povrchu materiálu
Voest EBT, zvětšeno 250x



Obr.8.2.2.7. Fotografie povrchu materiálu
Voest EBT, zvětšeno 500x

8.3. DÍLČÍ ZÁVĚRY

Pro objektivní posouzení vlivu morfologie povrchu plechu na rozvoj deformace při tažení výlisků je nutné, aby posuzované materiály měly v co největší míře shodné mechanické vlastnosti. Z hlediska posouzení vlivu různého texturování pracovního válce je dále nutné, aby materiály měly pokud možno stejnou drsnost povrchu. Vzhledem k tomu, že výrobci plechů pro automobilový průmysl nepoužívají všechny známé způsoby texturování pracovního válce, ale ve většině případů pouze jednoho z nich, je velmi problematické nalézt materiály, které splňují všechny výše popsané parametry. Výběr materiálu pro plánované experimenty se tak ukázal velmi komplikovaný a před vlastním měřením bylo nutno udělat značné množství časově náročných „předtestů“ pro nalezení vhodných materiálů pro vlastní experimenty.

Pomocí statistické analýzy vektoru středních hodnot a analýzy rozptylu jednotlivých sledovaných charakteristik mechanických vlastností bylo na hladině významnosti 5% zjištěno, že materiály vybrané pro experiment se navzájem statisticky liší. Vzhledem k tomu, že výsledky zkoumaných charakteristik (mechanických vlastností) se uvnitř jednotlivých úrovní liší jen minimálně, byl tento fakt očekáván. Z hlediska technické praxe je však absolutní rozdíl sledovaných charakteristik (kromě tažnosti materiálu A80, Ag) testovaných materiálů minimální. Při percentuálním porovnání mechanických hodnot jednotlivých materiálů je brána za základ vždy nejvyšší průměrná hodnota sledované charakteristiky a k této hodnotě jsou vztaženy ostatní materiály. Z tohoto porovnání ($Rp0,2$, Rm , C , n , r) je patrný minimální rozdíl mezi jednotlivými materiály, který nepřesahuje 2%. Materiál Salzgitter PRETEX vykazuje nižší tažnost A80 a Ag než oba zbývající materiály. Předpokládaná deformace u plánovaných experimentů by však neměla přesáhnout 25% a proto by neměla tato skutečnost významně ovlivnit výsledky dálé prováděných experimentů.

Pomocí statistické analýzy vektoru středních hodnot a analýzy rozptylu při posuzování shodnosti morfologie povrchu zkoumaných materiálů bylo na hladině významnosti 5% zjištěno, že lze příjmou hypotézu o rovnosti vektoru středních hodnot jednotlivých parametrů drsnosti. Z hlediska drsnosti lze tedy materiály považovat za shodné.

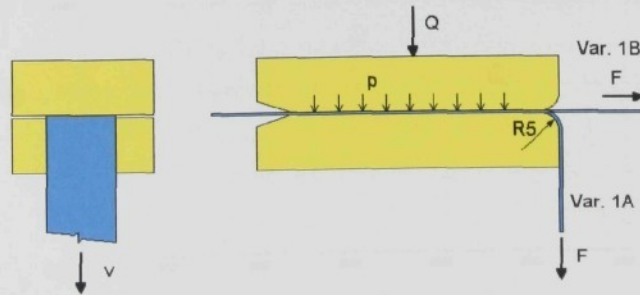
Na první pohled celza zřejmě odlišnosti ve způsobu texturování povrchu plechu jsou vidět na fotografiích znázorněných v kap.8.2.2.. Ve všech případech jde o typickou morfologii povrchu plechu odpovídající různému způsobu texturování pracovního válce (viz. kapitola 5.5.).

9. EXPERIMENTÁLNÍ ZJIŠTĚNÍ KOEFICIENTU TŘENÍ

Cílem této části disertační práce bylo stanovit pro testované materiály závislost koeficientu tření μ na velikosti kontaktního tlaku p při dané rychlosti posuvu v zkoumaného materiálu.

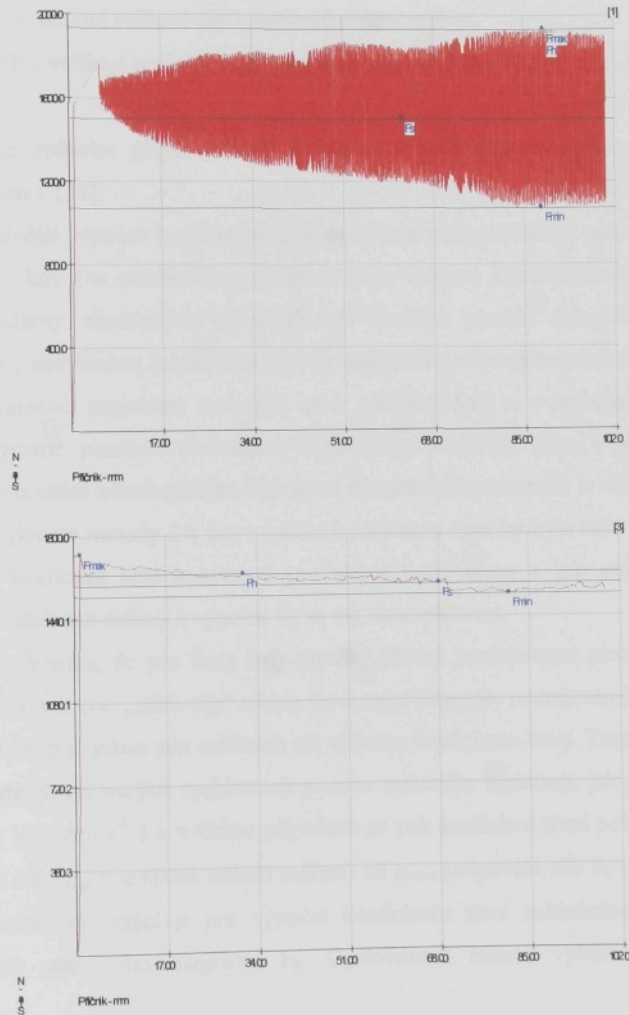
9.1. METODIKA MĚŘENÍ

Pro hodnocení morfologie povrchu plechu, konzervačních a technologických mazadel bylo na katedře strojírenské technologie Technické univerzity v Liberci ve spolupráci s ŠKODA AUTO a.s. Mladá Boleslav vyvinuto zkušební zařízení, které je konstruováno jako přídavné zařízení na trhací zařízení TIRATEST 2300. Konstrukce zkušebního přípravku vychází z metod měření popsaných v kapitole 5.4.1. a 5.4.2.. Funkčními částmi zařízení jsou dvě výmenné čelisti z materiálu GGG70L (případně ČSN 19312) používaného na výrobu nástrojů pro tažení výlisků karosářského typu. Jedna čelist je pevná a druhou lze ovládat pomocí hydraulického systému, který umožňuje vyvození požadovaného kontaktního tlaku při vlastním tribologickém testu. Zkoumaný materiál (pásek plechu) o šířce 20 mm je protahován konstantní rychlostí mezi čelistmi zkušebního přípravku. Velikost kontaktní plochy je dána šírkou pásku (20 mm) a délkom funkční části čelistí (76 mm). Rychlosť posuvu v lze měnit s ohledem na trhací stroj Tiratest 2300/1 v rozsahu $v = 0$ až 10 mm s^{-1} . Protahovaná délka pásku je 100 mm a tato měřená vzdálenost odpovídá kritériím Škoda Auto a.s. ze dne 30.10. 2000. Konstrukce přípravku umožňuje modelovat podmínky v oblasti tažné hrany tažnice (varianta 1A) a v oblasti přidržovače (varianta 1B). Funkční část zkušebního přípravku a princip zkoušky je patrný z obr. 9.1.1.. Uspořádání pracoviště je vidět v příloze P31.2.



Obr. 9.1.1. Funkční část zkušebního přípravku a princip zkoušky pro zjištění koeficientu tření

Výsledkem měření je diagram závislosti síla – posuv, který slouží jako podklad pro vyhodnocení tribologických vlastností soustavy testované mazivo-testovaný substrát-nástroj, případně pro zjištění koeficientu tření. Na obr. 9.1.2. je vidět typický pracovní diagram zkoušky protahování pásku při rychlosti 1 mm s^{-1} (znázorněno nahoře) a při rychlosti 10 mm s^{-1} (znázorněno dole).



Obr. 9.1.2. Typické průběhy pracovních diagramů zkoušky protahováním pásku při rychlosti posuvu $v=1 \text{ mm s}^{-1}$ (nahoře) a při $v=10 \text{ mm s}^{-1}$ (dole)

Při hodnocení vlastností mazadel a testovaných materiálů jsou zohledňovány následující charakteristiky (viz obr. 9.1.2.):

- F_{\max} – maximální velikost síly, které bylo dosaženo při zkoušce,
- F_h – maximální velikost síly, které bylo dosaženo po protažení 30 mm pásku (ustálená část diagramu),
- F_{\min} – minimální velikost síly, které bylo dosaženo po protažení 30 mm pásku (ustálená část diagramu),
- F_s – střední velikost síly v ustálené oblasti měření,
- ΔF – velikost rozkmitu síly v ustálené oblasti měření $\Delta F = F_{\max} - F_{\min}$.

Metodika způsobu přípravy vzorků, vlastního měření a vyhodnocení zkoušky je podrobně popsána v [34].

Pro snadnější výpočet koeficientu tření bylo testování prováděno pouze metodou 1B (viz obr.9.1.1.), kdy (na rozdíl od varianty 1A) na velikost koeficientu tření nemají vliv mechanické hodnoty zkoušených materiálů ani tloušťka plechu. Jak již bylo uvedeno v kapitole 5.4.1., nevýhodou tohoto testu je, že napjatost testovaného materiálu při zkoušce neodpovídá skutečné napjatosti materiálu pod přidržovačem a v průběhu zkoušky také nedochází k výrazné plastické deformaci testovaného materiálu jako v případě reálného lisování. Pro porovnání tribologických vlastností zkoumaných materiálů je však tato zkouška dostačující. Při použití metody 1A pro výpočet koeficientu tření by bylo také nutno zohlednit fakt, že tento koeficient není konstantní pro oblast tažné hrany a pro oblast přidržovače (rovinná část zkušebních čelistí) a výpočet by se tak zkomplikoval.

Vhledem k tomu, že pro testy byly použity žárově pozinkované plechy, pro které je charakteristické vznik tzv. „stick-slip“ efektu (v domácí literatuře označován jako zadírání), je třeba si položit otázku, jakou sílu zohlednit při výpočtu koeficientu tření. Tento nepříznivý jev se zvláště uplatňuje při malých rychlostech posuvu materiálu v nástroji, jak je také patrné z obr.9.1.2. (pro $v=1 \text{ mm s}^{-1}$) a v těchto případech se pak koeficient tření pohybuje v rozmezí μ_{\min} (odpovídá síle F_{\min} v ustálené oblasti měření) až μ_{\max} (odpovídá síle F_h v ustálené oblasti měření). V předkládané práci je pro výpočet koeficientu tření zohledněna maximální síla v ustálené části pracovního diagramu F_h . Oprávněnost tohoto výběru je diskutována v kapitole 9.5..

Výpočet koeficientu tření při použití zkoušky protahování pásku metodou 1B je pak pro jednotlivé podmínky testu dán ~~vztahem~~ jednoduchým vztahem (196)

$$\mu = \frac{F_h}{2Q}, \quad (196)$$

kde F_h je největší síla, které bylo dosaženo v ustálené části pracovního diagramu (viz obr. 9.1.2.),
 Q je normálová přítlačná síla.

9.2. PODMÍNKY ZKOUŠKY

9.2.1. Rychlosť posuvu

Vzhledem k tomu, že zkušební přípravek je konstruován jako přídavné zařízení na trhací zařízení TIRA Test 2300/1, je rozsah rychlostí použitelných pro zkoušku protahováním pásku velmi omezen. Pro test byla volena rychlosť posuvu testovaného materiálu $v = 1 \text{ mm s}^{-1}$ a $v = 10 \text{ mm s}^{-1}$ (maximální rychlosť trhacího zařízení). Tyto rychlosti neodpovídají reálným rychlostem posuvu materiálu v nástroji při tažení výlisků karosářského typu (při použití moderních lisů dosahuje tato rychlosť hodnoty $v = 500 \text{ mm s}^{-1}$), ale dlouholeté praktické zkušenosti ukázaly, že výsledky měření získané při malých rychlostech posuvu mají poměrně vysokou výpovídací hodnotu a pro posouzení kvality mazadla a použitého materiálu je tato zkouška dostačující.

V současné době probíhá na katedře strojírenské technologie TU v Liberci stavba nového zařízení pro tribologické zkoušky, kde je plánován použitelný rozsah rychlostí pro tuto zkoušku v rozmezí $v = 1$ až 500 mm s^{-1} .

9.2.2. Kontaktní tlak

Kontaktní tlak pro zkoušku protahování pásku byl volen v rozsahu $p=0,5$ až 8 MPa , což je rozsah přidržovacích tlaků, který se běžně používá v praxi. Kontaktní tlak se zvyšoval vždy o hodnotu $0,5 \text{ MPa}$. Maximální kontaktní tlak $p=8 \text{ MPa}$ byl volen s ohledem na maximální přidržovací tlaky používané v automobilovém průmyslu, viz. [35]. Tento kontaktní tlak je také, s ohledem na použité testované materiály, mezním přidržovacím tlakem, kdy nedochází ještě k přetržení zkoumaného vzorku. Pro rychlosť posuvu $v=1 \text{ mm s}^{-1}$ je hodnota tohoto mezního tlaku zhruba 1 MPa nižší.

9.2.3. Použité mazadlo

Při zkoumání tribologických vlastností jednotlivých materiálů s různou morfologií povrchu byly použity tyto dva rozdílné typy mazadel používané v ŠKODA Auto a.s. Mladá Boleslav:

1. Prací olej Anticorit AC PL 3802-39LV, výrobce Fuchs-Europe Schmierstoffe GmbH Co. KG.
2. Tažný olej AP 167/22, výrobce Pfänder GmbH & Co.

Stručná charakteristika použitých mazadel je uvedena v tabulce 12. Materiálové listy těchto mazadel jsou uloženy v elektronické formě na přiloženém CD.

Tabulka 12. Stručná charakteristika použitých mazadel

Název oleje	Kinematická viskozita při 40°C [mm ² s ⁻¹]	Měrná hmotnost při 15°C [kg m ⁻³]	Bod vzplanutí [°C]
AC PL 3802-39LV	17	890	150
AP 167/22	160	910	>200

Jedním z rozhodujících vlivů pro výrobu kvalitního výlisku je volba použitého maziva a množství maziva naneseného na povrch taženého materiálu. Z hlediska kvality povrchu je při lisování pohledových částí karoserií nezbytně nutné zbavit povrch plechu nečistot a z tohoto důvodu se materiál před vlastním lisováním zbavuje pomocí pracího oleje nečistot. Kvalita pracích olejů je v současné době zpravidla tak vysoká, že prací olej současně slouží jako technologické mazadlo pro vlastní výrobu výlisku. Pro extrémně náročné výlisky, kde prací olej svými mazacími vlastnostmi nevyhovuje, se používá přimazávání tzv. tažným olejem. Výše uvedená, a při testech používaná, maziva jsou typickými představiteli pracích a tažných olejů.

Jak již bylo uvedeno, nezbytnou podmínkou pro výrobu výlisku karosářského typu je přítomnost maziva. Přítomnost maziva na povrchu výlisku však komplikuje následné operace jako jsou svařování, lepení, lakování atd.. Z tohoto důvodu (pomineme-li spotřebu mazadla) je snahou výrobce používat mazadla v co nejmenším množství. Snaha minimalizovat množství mazadla na výlisku tak vede k tomu, že množství nanášeného maziva se pohybuje u pracích olejů v rozmezí 1 až 1,5 g m⁻² a u tažných olejů 2 až 2,5 g m⁻².

S ohledem na praktické podmínky lisování bylo voleno množství pracího oleje při zkoušce protahováním pásku $1,2 \pm 0,2 \text{ g m}^{-2}$. Prací olej byl nanášen pomocí bavlněné tkaniny a množství oleje bylo kontrolováno na analytických laboratorních vahách.

Vzhledem k tomu že tažné oleje se nanášejí v praxi zcela odlišným způsobem než prací oleje, bylo nutné vyřešit způsob nanášení tažného oleje v laboratorních podmínkách. Tažné oleje se nenanášejí na povrch materiálu samostatně, ale vždy v kombinaci základní prací olej +tažný olej, který je na povrch plechu nanesen nástřikem. Nanesení tažného oleje v laboratorních podmínkách pomocí bavlněné tkaniny se ukázalo jako velmi problematické a z důvodu stírání základní vrstvy pracího oleje bylo od tohoto způsobu nanášení upuštěno.

V rámci řešení předkládané disertační práce proto bylo sestrojeno mazací zařízení pro nanášení technologických maziv na povrch vzorků. Zařízení se skládá z lineárního pneumatického pohonu, nízkotlaké rozprašovací trysky, trysek pro tzv. unášecí vzduch a pneumatického řídícího obvodu. Schéma použitého pneumatického obvodu je znázorněno v příloze P10. Tryska pro rozprašování tažného maziva je shodná s tryskami používanými v ŠKODA Auto a.s.. Výrobce rozprašovací trysky je firma Amtec Kistler GmbH. Dodavatelem ostatních pneumatických zařízení je firma FESTO spol. s r.o..

Lineární pohon zajišťuje pohyb stolu s upnutým vzorkem plechu. Vzorek projíždí olejovou clonou, která vzniká rozprašováním oleje pomocí nízkotlaké stacionární trysky. Množství oleje je regulováno pomocí tlaku oleje, tlaku rozprašovacího (unášecího) vzduchu, velikosti otevření trysky a pomocí rychlosti posuvu vzorku. Pomocí tohoto zařízení lze velmi přesně regulovat množství nanášeného maziva a způsob nanášení odpovídá reálně používanému způsobu nanášení maziva, kdy nedochází k vytvoření souvislé vrstvy tažného oleje, ale olej je rozptýlen na povrchu ve formě malých kapiček. Velikost těchto kapiček je dána nastavením mazacího zařízení. Mazací zařízení je vidět v příloze P11.

S ohledem na praktické podmínky lisování bylo voleno množství tažného oleje nanášeného na základní prací olej $2 \pm 0,2 \text{ g m}^{-2}$. Množství základního pracího oleje bylo shodné, jako při testování samotného pracího oleje tj. $1,2 \pm 0,2 \text{ g m}^{-2}$. V tomto případě tedy byly testovány tribologické vlastnosti kombinace prací olej+tažný olej spolu s materiály s různou morfologií povrchu.

9.3. TRIBOLOGICKÁ ZKOUŠKA PROTAHOVÁNÍM PÁSKU

Zkouška probíhala dle metodiky popsané v kapitole 9.1.a podrobně uvedené v [34]. Použité podmínky zkoušky jsou uvedeny v kapitole 9.2.. Koeficient tření μI pro jednotlivé kombinace je vypočítán dle vztahu (196). Naměřené hodnoty a výsledky měření jsou prezentovány ve formě přehledných tabulek (tabulka 13 až tabulka 18), kde jsou uvedeny střední hodnoty sledovaných charakteristik (výběrové průměry) a směrodatné odchylky výběru s. Vzhledem k tomu, že koeficient tření μI je vypočítán z maximální velikosti síly dosažené v ustáleném stavu F_h , jsou v tabulkách v následujícím textu prezentovány pouze hodnoty této síly. Střední hodnoty (výběrové průměry) dalších měřených veličin F_{max} , F_{min} , F_s a ΔF jsou pro jednotlivé podmínky testu uvedeny v příloze P12 až P29.

Průměrná hodnota sledované charakteristiky pro každou jednotlivou kombinaci nastavení vstupních parametrů testu byla stanovena vždy ze souboru 8 měřených vzorků. Při změně nastavení vstupních parametrů se tak jedná o 1488 zkoušek (3 testované materiály s různou morfologií, 16 různých kontaktních tlaků, 2 rychlosti posuvu materiálu, 2 maziva). Z tohoto důvodu jsou výsledky jednotlivých zkoušek prezentovány pouze formou uložených souborů Microsoft Excel na přiloženém CD.

Z naměřených a vypočítaných hodnot byly pro jednotlivé materiály sestrojeny závislosti koeficientu tření μI na velikosti kontaktního tlaku pro danou rychlosť posuvu sledovaného vzorku. Hledaná závislost koeficientu tření byla zjištěna pomocí regresní křivky naměřenými body. Grafické znázornění výsledků měření pro jednotlivé materiály spolu s regresní křivkou a rovnici regresní křivky je vidět na obr.9.3.1., obr. 9.3.3., obr. 9.3.5., obr.9.3.7., obr. 9.3.9. a obr. 9.3.11..

Statistické vyhodnocení výsledků měření koeficientu tření je provedeno formou zhotovení konfidenčních a tolerančních intervalů vypočítaných dle vztahů (194) a (195). Tyto intervaly jsou pro testované materiály vidět na obr.9.3.2., obr. 9.3.4., obr. 9.3.6., obr.9.3.8., obr. 9.3.10. a obr. 9.3.12.. Hladina významnosti pro zhotovení konfidenčního intervalu byla volena $\alpha = 5\%$. Pro zhotovení tolerančního intervalu byly voleny parametry $P = 95 \%$, $\gamma = 95 \%$.

Vzájemné porovnání závislostí koeficientu tření μI na velikosti kontaktního tlaku je pro testované materiály vidět na obr.9.3.13. až 9.3.14..

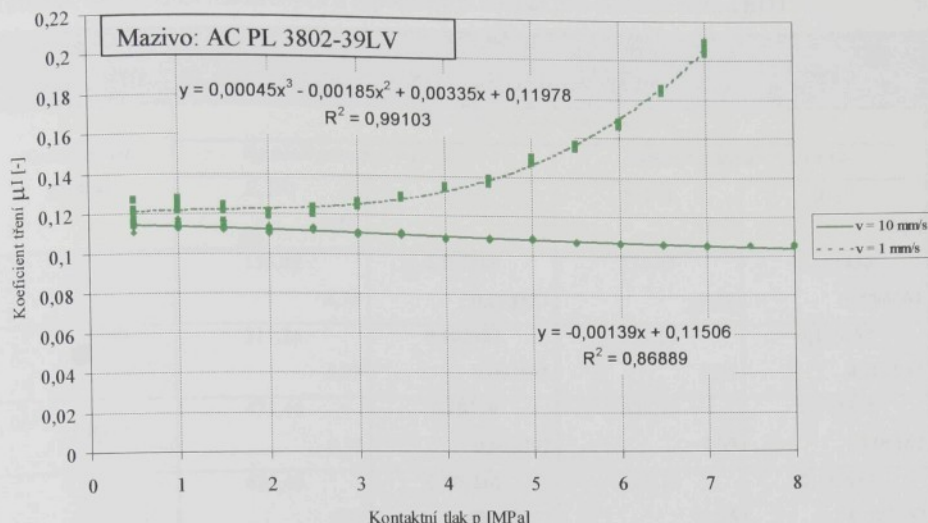
Diskuse k naměřeným výsledkům je uvedena v kapitole 9.5..

Tabulka 13. Tabulka naměřených a vypočtených hodnot pro materiál Salzgitter PRETEX.

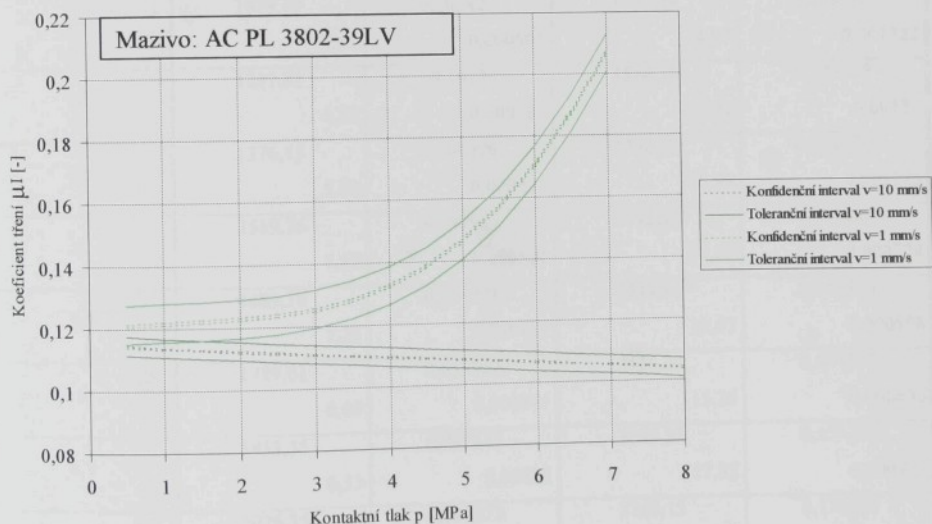
Mazivo Anticorit AC PL 3802-39LV (množství maziva $1,2 \pm 0,2 \text{ g m}^{-2}$). Materiál čelistí ČSN 19 312

(kaleno na $60 \pm 2 \text{ HRC}$). Drsnost čelistí $\text{Ra} = 0,22 \mu\text{m}$, $\text{Rz} = 1,87 \mu\text{m}$. Teplota: $22 \pm 2^\circ\text{C}$

Kontaktní tlak p [MPa]	Naměřené a vypočítané hodnoty				
	Rychlosť posuvu $v = 10 \text{ mm s}^{-1}$		Rychlosť posuvu $v = 1 \text{ mm s}^{-1}$		
	$F_h [\text{N}]$	$\mu I [-]$	$F_h [\text{N}]$	$\mu I [-]$	$s [-]$
0,5	173,90	0,114405	183,00	0,120392	
	4,23	0,002785	7,62	0,005011	
1	347,84	0,11442	376,55	0,123865	
	5,23	0,001721	8,65	0,002846	
1,5	518,58	0,113724	558,24	0,12242	
	7,16	0,001571	11,92	0,002614	
2	681,47	0,112083	732,38	0,120457	
	7,82	0,001286	6,23	0,001024	
2,5	852,86	0,112219	924,64	0,121663	
	5,02	0,00066	11,97	0,001575	
3	1006,91	0,110407	1143,01	0,12533	
	6,82	0,000748	10,23	0,001121	
3,5	1174,18	0,110356	1373,84	0,129121	
	7,30	0,000686	9,98	0,000938	
4	1314,81	0,108126	1633,27	0,134315	
	7,67	0,000631	12,63	0,001039	
4,5	1481,97	0,108331	1875,62	0,137106	
	7,61	0,000556	20,30	0,001484	
5	1647,63	0,108397	2248,66	0,147938	
	7,52	0,000495	18,87	0,001242	
5,5	1780,85	0,10651	2601,09	0,155567	
	4,47	0,000268	17,58	0,001052	
6	1935,33	0,106104	3052,06	0,167328	
	6,82	0,000374	23,46	0,001286	
6,5	2081,85	0,105357	3646,75	0,184552	
	6,38	0,000323	21,28	0,001077	
7	2238,49	0,105192	4406,73	0,207083	
	5,88	0,000276	44,30	0,002082	
7,5	2404,51	0,105461			
	6,51	0,000285			
8	2567,47	0,10557			
	8,96	0,000368			



Obr. 9.3.1. Průběh závislosti $\mu I = f(p)$ při rychlosti posuvu $v = 1$ a 10 mm s^{-1}
materiál Salzgitter PRETEX



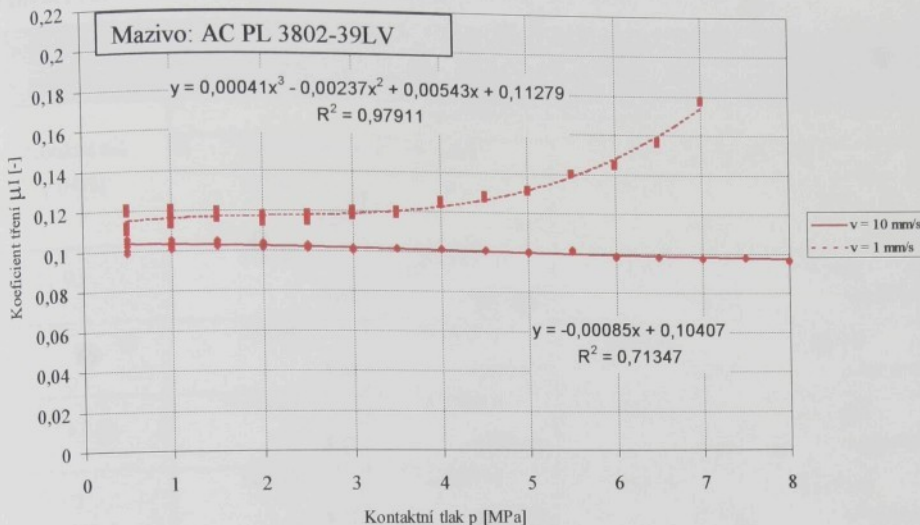
Obr. 9.3.2. Oboustranné konfidenční a toleranční intervaly pro $\mu I = f(p)$,
rychlosti posuvu $v = 1$ a 10 mm s^{-1} , materiál Salzgitter PRETEX

Tabulka 14. Tabulka naměřených a vypočtených hodnot pro materiál Sollac EDT.

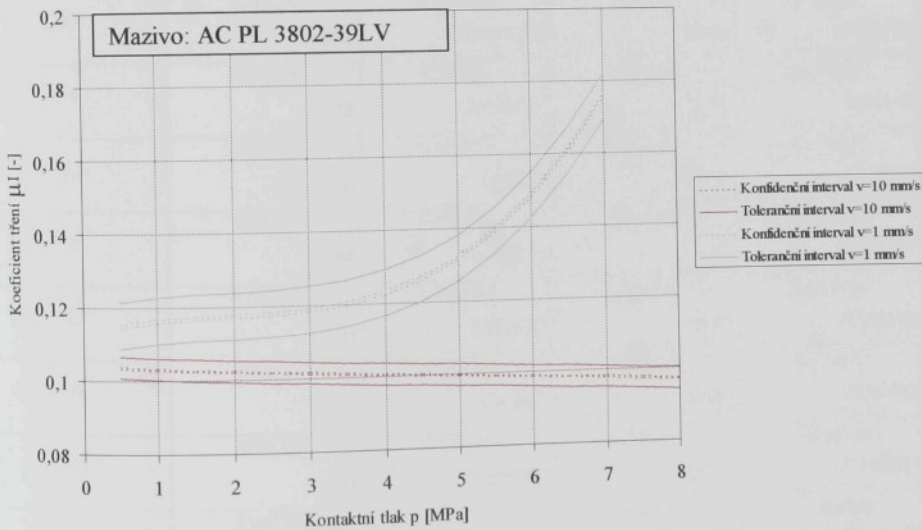
Mazivo Anticorit AC PL 3802-39LV (množství maziva $1,2 \pm 0,2 \text{ g m}^{-2}$). Materiál čelistí ČSN 19 312

(kaleno na $60 \pm 2 \text{ HRC}$). Drsnost čelistí $\text{Ra} = 0,22 \mu\text{m}$, $\text{Rz} = 1,87 \mu\text{m}$. Teplota: $22 \pm 2^\circ\text{C}$

Kontaktní tlak p [MPa]	Naměřené a vypočítané hodnoty				
	Rychlosť posuvu $v = 10 \text{ mm s}^{-1}$		Rychlosť posuvu $v = 1 \text{ mm s}^{-1}$		
	$F_h [\text{N}]$	$\mu\text{l} [-]$	$F_h [\text{N}]$	$\mu\text{l} [-]$	$s [-]$
0,5	156,09	0,102688	175,47	0,115438	
	4,75	0,003127	7,09	0,004664	
1	311,26	0,102387	353,21	0,116188	
	5,77	0,001898	8,96	0,002947	
1,5	471,46	0,10339	536,79	0,117718	
	6,37	0,001397	7,39	0,00162	
2	625,40	0,102862	705,19	0,115985	
	5,54	0,000912	13,15	0,002162	
2,5	776,79	0,102209	885,45	0,116506	
	6,34	0,000834	15,35	0,00202	
3	922,29	0,101128	1082,50	0,118695	
	6,98	0,000766	13,30	0,001458	
3,5	1079,19	0,101427	1272,29	0,119576	
	6,43	0,000605	14,07	0,001322	
4	1231,81	0,1013	1520,36	0,125029	
	4,72	0,000388	15,94	0,00131	
4,5	1376,15	0,100596	1750,20	0,127939	
	5,62	0,000411	15,39	0,001125	
5	1519,76	0,099984	1992,52	0,131087	
	7,62	0,000501	11,83	0,000778	
5,5	1689,18	0,101028	2344,91	0,140246	
	7,21	0,000431	11,67	0,000698	
6	1789,01	0,098082	2636,54	0,144547	
	8,60	0,000471	15,25	0,000836	
6,5	1933,35	0,097841	3085,37	0,156142	
	6,33	0,00032	17,92	0,000907	
7	2076,35	0,097573	3766,15	0,176981	
	7,50	0,000352	14,52	0,000683	
7,5	2237,09	0,098118			
	6,66	0,000292			
8	2351,57	0,096693			
	8,64	0,000355			



Obr. 9.3.3. Průběh závislosti $\mu I = f(p)$ při rychlosti posuvu $v = 1$ a 10 mm s^{-1}
materiál Sollac EDT



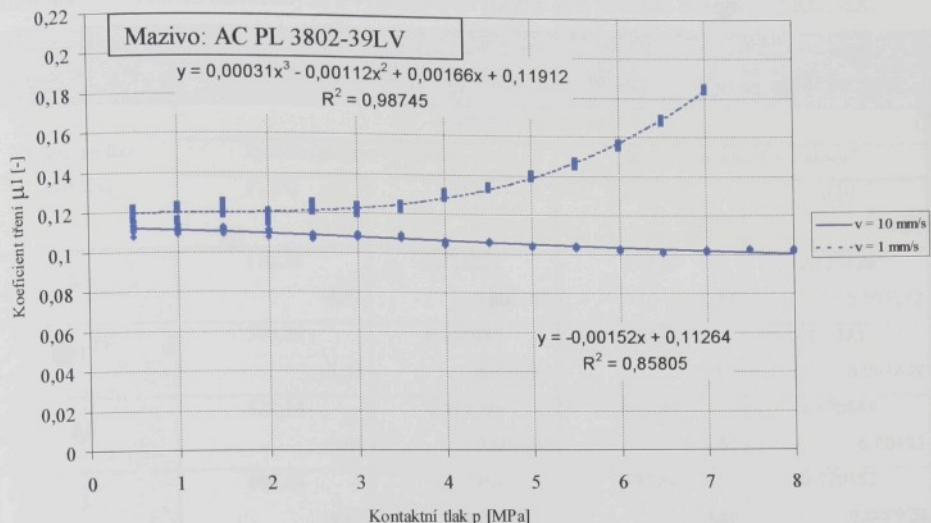
Obr. 9.3.4. Oboustranné konfidenční a toleranční intervaly pro $\mu I = f(p)$,
rychlosti posuvu $v = 1$ a 10 mm s^{-1} , materiál Sollac EDT.

Tabulka 15. Tabulka naměřených a vypočtených hodnot pro materiál Voest EBT.

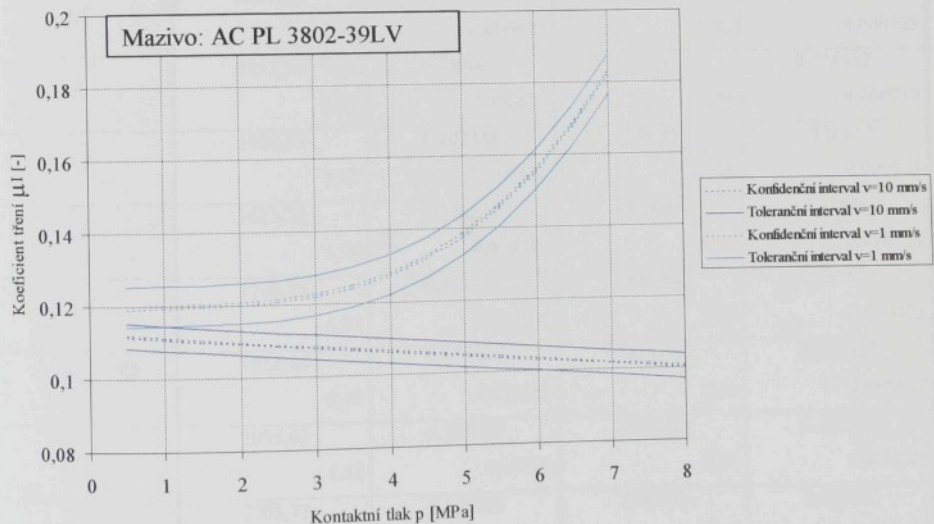
Mazivo Anticorit AC PL 3802-39LV (množství maziva $1,2 \pm 0,2 \text{ g m}^{-2}$). Materiál čelistí ČSN 19 312 (kaleno na $60 \pm 2 \text{ HRC}$). Drsnost čelistí $\text{Ra} = 0,22 \mu\text{m}$, $\text{Rz} = 1,87 \mu\text{m}$. Teplota: $22 \pm 2^\circ\text{C}$

Kontaktní tlak p [MPa]	Naměřené a vypočítané hodnoty				
	Rychlosť posuvu $v = 10 \text{ mm s}^{-1}$		Rychlosť posuvu $v = 1 \text{ mm s}^{-1}$		
	$F_b [\text{N}]$	$\mu_l [-]$	$F_b [\text{N}]$	$\mu_l [-]$	$s [\text{N}]$
0,5	170,42	0,112115	181,79	0,1196	
	4,01	0,002638	3,93	0,002588	
1	339,61	0,111712	364,76	0,119986	
	5,63	0,001853	11,04	0,003631	
1,5	508,07	0,111419	556,34	0,122004	
	5,31	0,001165	13,53	0,002968	
2	666,19	0,109571	714,70	0,117549	
	8,37	0,001376	12,33	0,002028	
2,5	820,07	0,107904	932,06	0,12264	
	7,92	0,001042	14,35	0,001888	
3	988,46	0,108384	1107,60	0,121448	
	9,11	0,000999	18,76	0,002057	
3,5	1149,34	0,108021	1314,36	0,12353	
	7,68	0,000722	16,56	0,001556	
4	1285,19	0,10569	1579,53	0,129895	
	9,38	0,000772	17,15	0,00141	
4,5	1451,11	0,106075	1825,01	0,133407	
	7,79	0,00057	14,31	0,001046	
5	1579,21	0,103895	2116,39	0,139236	
	6,88	0,000453	17,08	0,001124	
5,5	1729,15	0,103418	2436,58	0,145729	
	10,09	0,000604	18,50	0,001106	
6	1866,34	0,102321	2838,26	0,155607	
	11,85	0,00065	18,61	0,00102	
6,5	2004,69	0,101452	3326,12	0,168326	
	9,94	0,000503	23,75	0,001202	
7	2165,74	0,101774	3924,44	0,184419	
	13,42	0,000631	23,82	0,001119	
7,5	2346,14	0,102901			
	10,59	0,000464			
8	2489,00	0,102344			
	17,69	0,000727			

Experimentální část



Obr.9.3.5. Průběh závislosti $\mu I = f(p)$ při rychlosti posuvu $v = 1$ a 10 mm s^{-1}
materiál Voest EBT



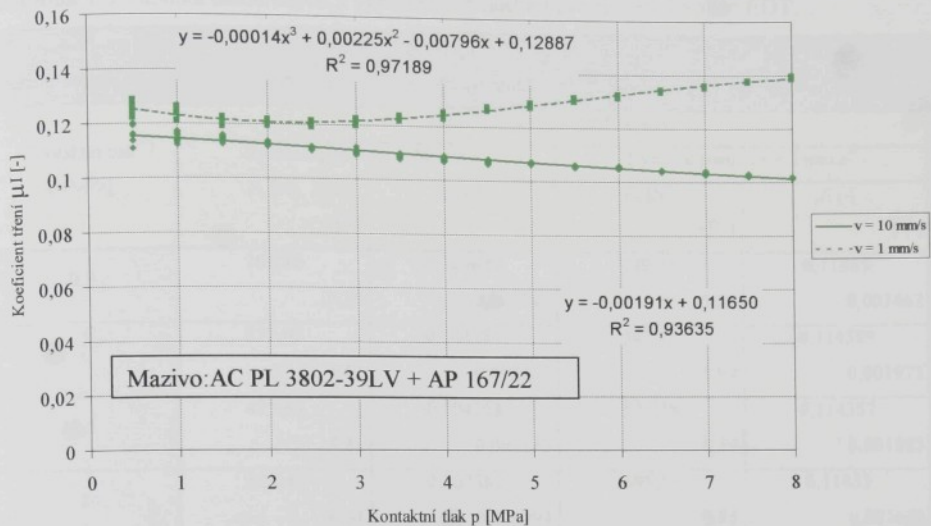
Obr. 9.3.6. Oboustranné konfidenční a toleranční intervaly pro $\mu I = f(p)$,
rychlosti posuvu $v = 1$ a 10 mm s^{-1} , materiál Voest EBT.

Tabulka 16. Tabulka naměřených a vypočtených hodnot pro materiál Salzgitter PRETEX.

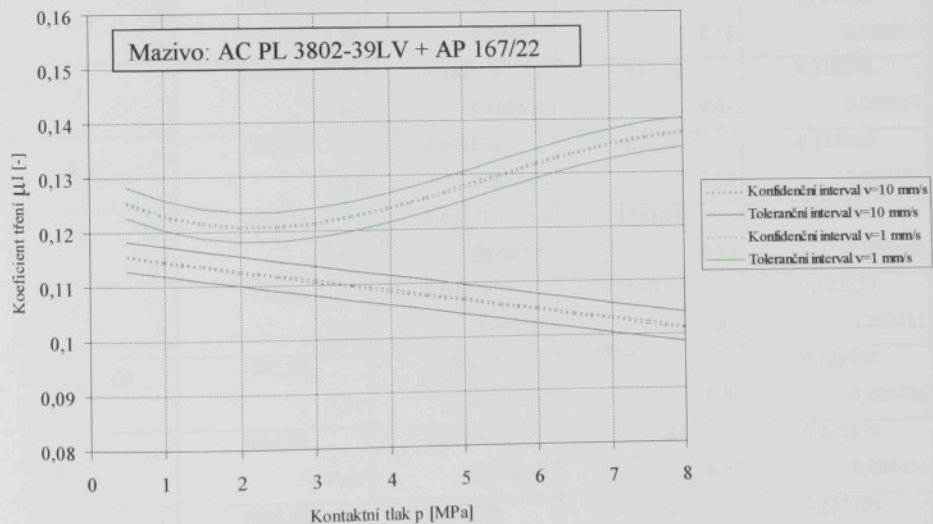
Mazivo Anticorit AC PL 3802-39LV (množství maziva $1,2 \pm 0,2 \text{ g m}^{-2}$) + AP167/22 (množství maziva $2 \pm 0,2 \text{ g m}^{-2}$)
Materiál čelisti ČSN 19 312 (kaleno na $60 \pm 2 \text{ HRC}$). Drsnost čelisti $\text{Ra} = 0,22 \mu\text{m}$, $\text{Rz} = 1,87 \mu\text{m}$. Teplota: $22 \pm 2^\circ\text{C}$

Kontaktní tlak $p [\text{MPa}]$	Naměřené a vypočítané hodnoty				
	Rychlosť posuvu $v = 10 \text{ mm s}^{-1}$		Rychlosť posuvu $v = 1 \text{ mm s}^{-1}$		
	$F_h [\text{N}]$	$\mu_l [-]$	$F_h [\text{N}]$	$\mu_l [-]$	$s [-]$
0,5	176,75	0,116285	190,20	0,125128	
	4,82	0,003168	3,51	0,002312	
1	349,86	0,115085	377,87	0,1243	
	5,33	0,001754	5,01	0,001649	
1,5	522,14	0,114504	551,07	0,120849	
	5,04	0,001105	5,61	0,00123	
2	685,63	0,112769	732,96	0,120552	
	4,61	0,000759	5,65	0,000929	
2,5	845,11	0,111199	914,71	0,120356	
	4,38	0,000576	7,27	0,000956	
3	1006,48	0,110359	1106,52	0,121329	
	8,25	0,000905	9,25	0,001014	
3,5	1157,03	0,108743	1307,11	0,122848	
	7,16	0,000673	7,82	0,000735	
4	1313,30	0,108001	1511,87	0,124332	
	8,41	0,000692	8,74	0,000719	
4,5	1468,63	0,107356	1734,85	0,126817	
	8,65	0,000632	7,18	0,000525	
5	1623,70	0,106823	1953,05	0,12849	
	5,76	0,000379	8,00	0,000527	
5,5	1768,29	0,105759	2180,90	0,130436	
	4,87	0,000291	7,24	0,000433	
6	1924,40	0,105504	2411,55	0,132212	
	6,48	0,000355	9,44	0,000517	
6,5	2055,67	0,104032	2644,82	0,133847	
	4,54	0,00023	6,90	0,000349	
7	2203,77	0,103561	2885,63	0,135603	
	10,23	0,000481	8,83	0,000415	
7,5	2339,84	0,102625	3136,09	0,137548	
	6,27	0,000275	7,65	0,000335	
8	2474,09	0,10173	3385,03	0,139187	
	6,34	0,000261	7,60	0,000313	

Experimentální část



Obr. 9.3.7. Průběh závislosti $\mu I = f(p)$ při rychlosti posuvu $v = 1$ a 10 mm s^{-1}
materiál Salzgitter PRETEX

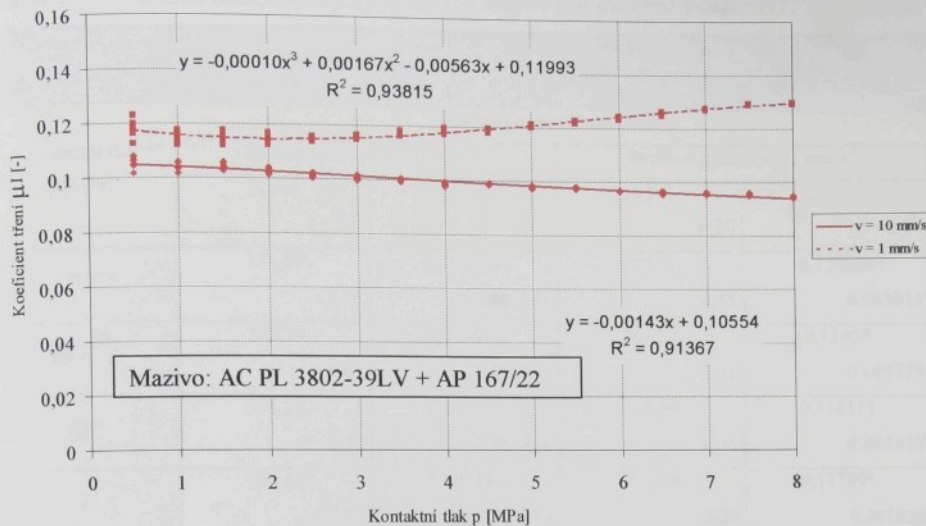


Obr. 9.3.8. Oboustranné konfidenční a toleranční intervaly pro $\mu I = f(p)$,
rychlosti posuvu $v = 1$ a 10 mm s^{-1} , materiál Salzgitter PRETEX

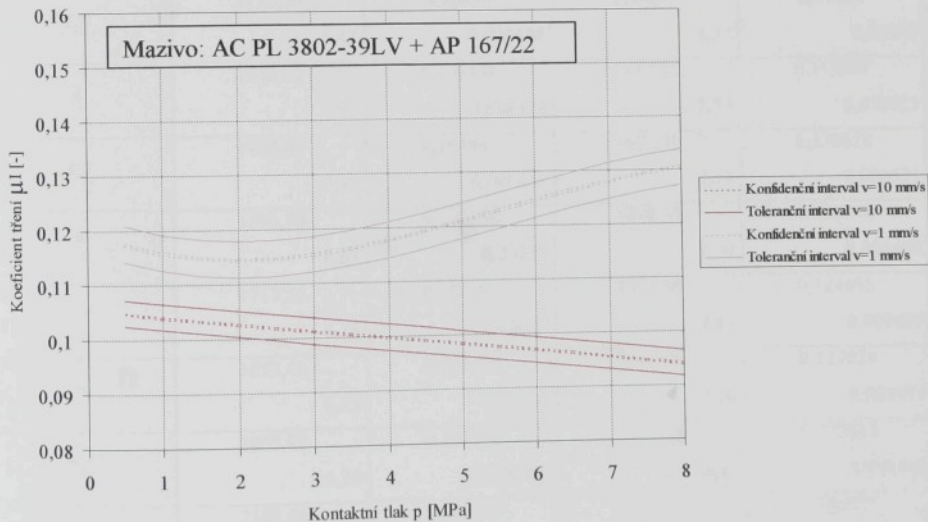
Tabulka 17. Tabulka naměřených a vypočtených hodnot pro materiál Sollac EDT.

Mazivo Anticorit AC PL 3802-39LV (množství maziva $1,2 \pm 0,2 \text{ g m}^{-2}$) + AP167/22 (množství maziva $2 \pm 0,2 \text{ g m}^{-2}$)
 Materiál čelistí ČSN 19 312 (kaleno na $60 \pm 2 \text{ HRC}$). Drsnost čelistí $\text{Ra} = 0,22 \mu\text{m}$, $\text{Rz} = 1,87 \mu\text{m}$. Teplota: $22 \pm 2^\circ\text{C}$

Kontaktní tlak p [MPa]	Naměřené a vypočítané hodnoty				
	Rychlosť posuvu $v = 10 \text{ mm s}^{-1}$		Rychlosť posuvu $v = 1 \text{ mm s}^{-1}$		
	$F_h [\text{N}]$	$\mu_l [-]$	$F_h [\text{N}]$	$\mu_l [-]$	$s [-]$
0,5	161,16	0,106029	180,65	0,11885	
	3,34	0,002197	5,26	0,003462	
1	317,02	0,104282	347,74	0,114389	
	4,42	0,001453	5,99	0,001971	
1,5	475,64	0,104308	521,38	0,114337	
	5,21	0,001143	8,59	0,001883	
2	622,49	0,102383	695,13	0,11433	
	6,04	0,000994	9,95	0,001636	
2,5	771,00	0,101448	873,44	0,114926	
	5,33	0,000702	5,33	0,000702	
3	918,34	0,100695	1053,80	0,115548	
	7,57	0,00083	6,45	0,000707	
3,5	1063,18	0,099923	1246,01	0,117106	
	4,84	0,000455	8,35	0,000785	
4	1204,03	0,099016	1437,75	0,118236	
	7,67	0,000631	9,41	0,000774	
4,5	1352,32	0,098854	1627,41	0,118963	
	4,64	0,000339	7,63	0,000558	
5	1486,12	0,097771	1835,04	0,120726	
	6,07	0,000399	6,16	0,000405	
5,5	1634,66	0,097767	2043,64	0,122227	
	5,80	0,000347	6,87	0,000411	
6	1762,25	0,096615	2261,65	0,123994	
	3,31	0,000181	8,80	0,000483	
6,5	1904,02	0,096357	2481,44	0,125579	
	9,41	0,000476	9,01	0,000456	
7	2043,85	0,096046	2712,21	0,127454	
	6,01	0,000282	5,65	0,000265	
7,5	2182,60	0,095728	2941,81	0,129027	
	8,81	0,000386	4,78	0,00021	
8	2296,90	0,094445	3150,88	0,129559	
	9,83	0,000404	6,42	0,000264	



Obr. 9.3.9. Průběh závislosti $\mu I = f(p)$ při rychlosti posuvu $v = 1$ a 10 mm s^{-1}
materiál Sollac EDT

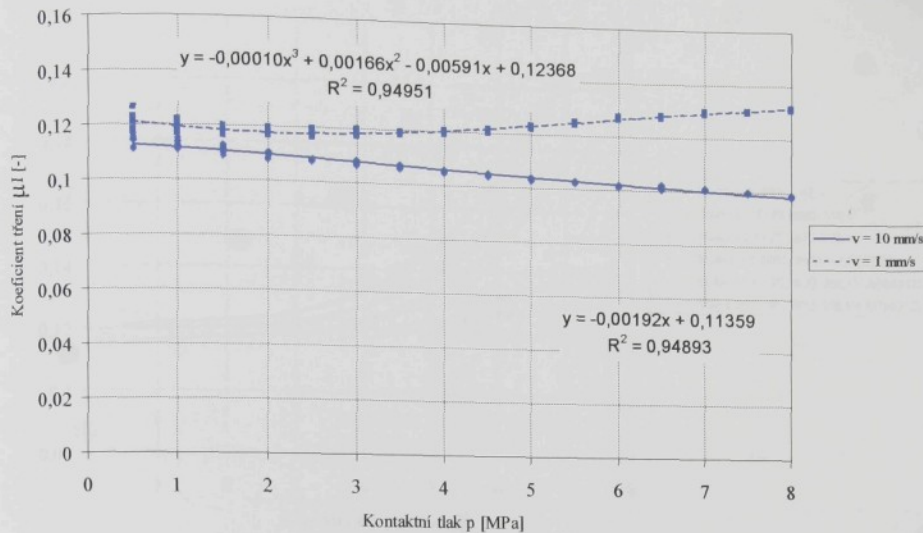


Obr. 9.3.10. Oboustranné konfidenční a toleranční intervaly pro $\mu I = f(p)$,
rychlosti posuvu $v = 1$ a 10 mm s^{-1} , materiál Sollac EDT

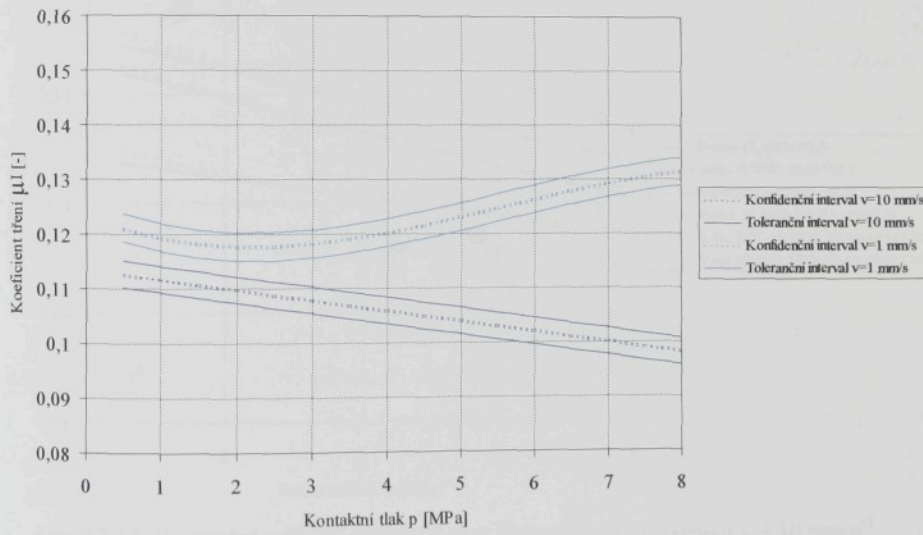
Tabulka 18. Tabulka naměřených a vypočtených hodnot pro materiál Voest EBT.

Mazivo Anticorit AC PL 3802-39LV (množství maziva $1,2 \pm 0,2 \text{ g m}^{-2}$) + AP167/22 (množství maziva $2 \pm 0,2 \text{ g m}^{-2}$)
Materiál čelisti ČSN 19 312 (kaleno na $60 \pm 2 \text{ HRC}$). Drsnost čelistí Ra = $0,22 \mu\text{m}$, Rz = $1,87 \mu\text{m}$. Teplota: $22 \pm 2^\circ\text{C}$

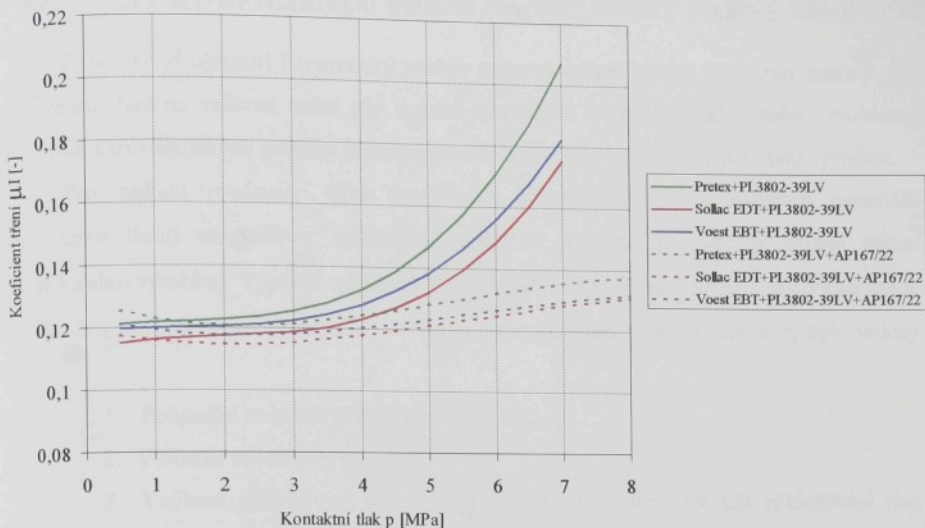
Kontaktní tlak p [MPa]	Naměřené a vypočítané hodnoty				
	Rychlosť posuvu v = 10 mm s ⁻¹		Rychlosť posuvu v = 1 mm s ⁻¹		
	F _h [N] s [N]	μI [-] s [-]	F _h [N] s [N]	μI [-] s [-]	
0,5	173,27	0,113993	183,71	0,120864	
	2,80	0,001844	4,58	0,003011	
1	342,35	0,112613	363,52	0,11958	
	4,61	0,001515	5,41	0,001779	
1,5	506,25	0,111019	538,59	0,118111	
	6,55	0,001436	6,46	0,001417	
2	663,62	0,109149	716,78	0,117891	
	5,19	0,000853	6,20	0,001019	
2,5	821,17	0,108049	895,36	0,117811	
	2,53	0,000333	7,35	0,000967	
3	977,10	0,107138	1081,97	0,118637	
	7,35	0,000806	8,45	0,000927	
3,5	1131,99	0,10639	1264,45	0,11884	
	6,47	0,000608	4,57	0,00043	
4	1280,91	0,105338	1457,33	0,119847	
	5,33	0,000439	7,57	0,000623	
4,5	1429,03	0,104461	1652,93	0,120828	
	6,18	0,000452	7,13	0,000521	
5	1570,70	0,103336	1870,33	0,123048	
	8,67	0,00057	7,59	0,000499	
5,5	1717,26	0,102707	2084,90	0,124695	
	6,18	0,00037	7,67	0,000459	
6	1853,46	0,101615	2316,92	0,127024	
	6,93	0,00038	7,50	0,000411	
6,5	2005,88	0,101512	2527,58	0,127914	
	14,19	0,000718	8,87	0,000449	
7	2143,08	0,100709	2753,12	0,129376	
	6,61	0,000311	8,65	0,000406	
7,5	2275,01	0,099781	2966,92	0,130128	
	5,99	0,000263	6,47	0,000284	
8	2402,20	0,098775	3193,19	0,131299	
	10,99	0,000452	7,55	0,000311	



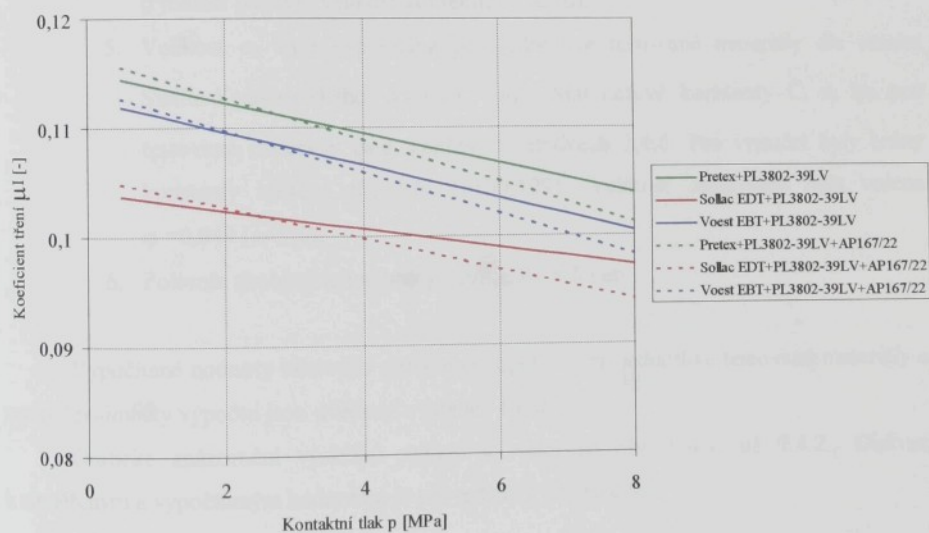
Obr. 9.3.11. Průběh závislosti $\mu I = f(p)$ při rychlosti posuvu $v = 1$ a 10 mm s^{-1}
materiál Voest EBT



Obr. 9.3.12. Oboustranné konfidenční a toleranční intervaly pro $\mu I = f(p)$,
rychlosti posuvu $v = 1$ a 10 mm s^{-1} , materiál Voest EBT.



Obr. 9.3.13. Porovnání průběhů závislostí $\mu I = f(p)$ při rychlosti posuvu $v = 1 \text{ mm s}^{-1}$.



Obr. 9.3.14. Porovnání průběhů závislostí $\mu I = f(p)$ při rychlosti posuvu $v = 10 \text{ mm s}^{-1}$.

9.4. VLIV KOEFICIENTU TŘENÍ NA VELIKOST TAŽNÉ SÍLY

Praktické zkušenosti i teoretický rozbor procesu tažení plechu prokázaly značný vliv koeficientu tření na velikost tažné síly a s tím související stupeň tažení. Vyřešení problémů spojených s tribologickými procesy je jednou ze základních podmínek lisovatelnosti výrobku.

Pro získání představy o vlivu morfologie povrchu plechu testovaných materiálů (koeficientu tření) na velikost radiálního napětí σ_r poslouží jednoduchý případ tažení cylindrického výrobku. Výpočet celkového tahového napětí σ_r na okraji cylindrické stěny výtažku byl proveden dle vztahu (34). Vstupní podmínky pro výpočet napětí σ_r byly voleny takto:

1. Počáteční poloměr přistřihu $b = 100$ mm.
2. Poloměr výtažku $a = 50$ mm.
3. Velikost přidržovací síly F_p byla volena tak, aby vyvolala přidržovací tlak $p=0,5 \div 8$ MPa.
4. Koeficient tření byl dosazován dle naměřených hodnot ze zkoušky protahováním pásku pro jednotlivé testované materiály a počáteční podmínky (rychlosť posuvu, velikost kontaktního tlaku).
5. Velikost σ_k byla vypočítána pro jednotlivé testované materiály dle vztahu Swifta-Krupkowského $\sigma = C(\varphi_0 + \varphi)^n$. Materiálové konstanty C , n , φ_0 pro testované materiály jsou uvedeny v tabulkách 2,4,6. Pro výpočet byly brány konstanty zjištěné dle EN 10130:1991. Velikost deformace byla volena $\varphi = 0,049$ ($\varepsilon = 5\%$).
6. Poloměr zaoblení tažné hrany tažnice $R_T = 5$ mm.

Vypočítané hodnoty tahového radiálního napětí σ_r pro jednotlivé testované materiály a vstupní podmínky výpočtu jsou uvedeny v tabulce 19 až 21.

Grafické znázornění výsledků měření je vidět na obr. 9.4.1. až 9.4.2.. Diskuse k naměřeným a vypočítaným hodnotám je provedena v kapitole 9.5.

Tabulka 19. Tabulka vypočtených hodnot radiálního tahového napětí σ_r pro materiál Salzgitter PRETEX.

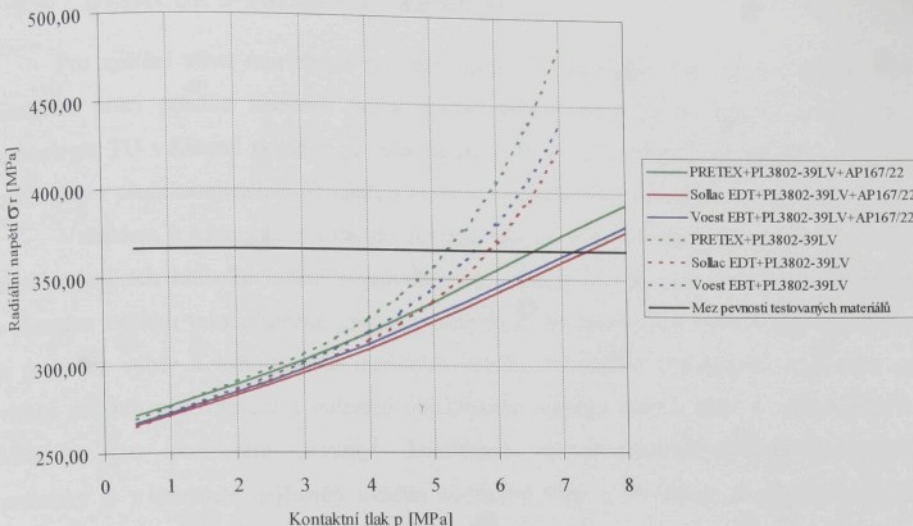
Kontaktní tlak p [MPa]	Vypočítané hodnoty radiálního tahového napětí σ_r			
	Mazivo AC PL3802-39LV		Mazivo AC PL3802-39LV AP 167/22	
	Rychlosť posuvu $v=1 \text{ mm s}^{-1}$	Rychlosť posuvu $v=10 \text{ mm s}^{-1}$	Rychlosť posuvu $v=1 \text{ mm s}^{-1}$	Rychlosť posuvu $v=10 \text{ mm s}^{-1}$
0,5	269,39	266,22	271,50	266,78
1	276,39	272,04	277,10	272,54
1,5	283,33	277,78	282,94	278,18
2	290,39	283,43	289,14	283,70
2,5	297,82	289,00	295,77	289,10
3	306,00	294,47	302,88	294,38
3,5	315,39	299,86	310,50	299,54
4	326,53	305,16	318,64	304,59
4,5	340,14	310,38	327,27	309,51
5	357,04	315,50	336,34	314,32
5,5	378,26	320,55	345,76	319,01
6	405,09	325,50	355,43	323,58
6,5	439,10	330,37	365,21	328,04
7	482,32	335,16	374,93	332,38
7,5		339,86	384,38	336,61
8		344,48	393,32	340,72

Tabulka 20. Tabulka vypočtených hodnot radiálního tahového napětí σ_r pro materiál Sollac EDT.

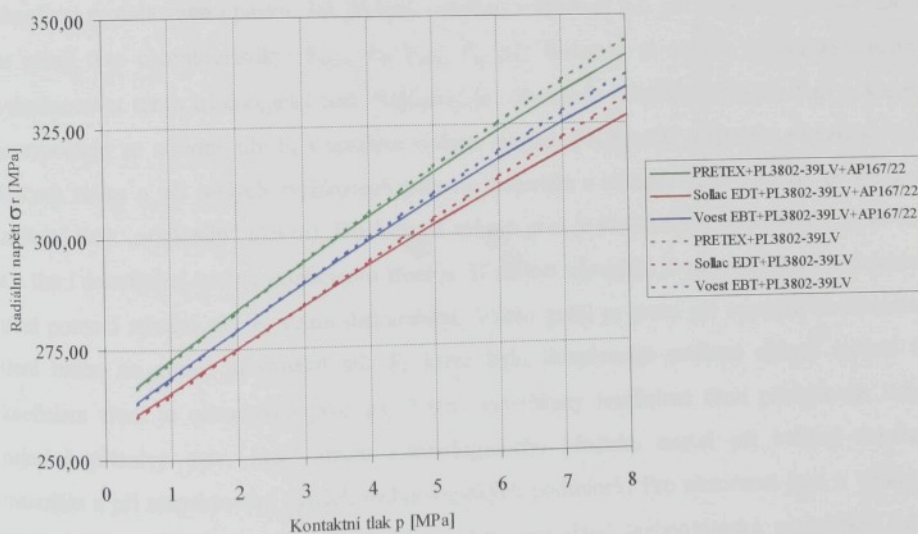
Kontaktní tlak p [MPa]	Vypočítané hodnoty radiálního tahového napětí σ_r			
	Mazivo AC PL3802-39LV		Mazivo AC PL3802-39LV AP 167/22	
	Rychlosť posuvu $v=1 \text{ mm s}^{-1}$	Rychlosť posuvu $v=10 \text{ mm s}^{-1}$	Rychlosť posuvu $v=1 \text{ mm s}^{-1}$	Rychlosť posuvu $v=10 \text{ mm s}^{-1}$
0,5	264,92	259,67	266,12	260,21
1	271,61	264,76	271,40	265,23
1,5	278,12	269,81	276,89	270,16
2	284,56	274,81	282,66	275,00
2,5	291,08	279,75	288,76	279,77
3	297,94	284,65	295,25	284,44
3,5	305,47	289,49	302,14	289,04
4	314,09	294,29	309,44	293,55
4,5	324,28	299,03	317,14	297,98
5	336,67	303,73	325,20	302,32
5,5	352,00	308,37	333,58	306,58
6	371,15	312,97	342,22	310,76
6,5	395,22	317,52	351,01	314,86
7	425,56	322,02	359,85	318,87
7,5		326,46	368,61	322,80
8		330,86	377,14	326,66

Tabulka 21. Tabulka vypočtených hodnot radiálního tahového napětí σ_r pro materiál Voest EBT.

Kontaktní tlak p [MPa]	Vypočítané hodnoty radiálního tahového napětí σ_r			
	Mazivo AC PL3802-39LV		Mazivo AC PL3802-39LV AP 167/22	
	Rychlosť posuvu $v=1 \text{ mm s}^{-1}$	Rychlosť posuvu $v=10 \text{ mm s}^{-1}$	Rychlosť posuvu $v=1 \text{ mm s}^{-1}$	Rychlosť posuvu $v=10 \text{ mm s}^{-1}$
0,5	266,42	262,75	267,09	263,10
1	273,02	268,31	272,68	268,60
1,5	279,60	273,78	278,44	273,98
2	286,29	279,15	284,47	279,25
2,5	293,29	284,43	290,81	284,39
3	300,85	289,62	297,52	289,42
3,5	309,31	294,71	304,61	294,33
4	319,05	299,71	312,09	299,13
4,5	330,55	304,62	319,95	303,81
5	344,36	309,43	328,16	308,37
5,5	361,17	314,15	336,67	312,81
6	381,79	318,78	345,40	317,15
6,5	407,20	323,32	354,26	321,36
7	438,60	327,77	363,14	325,47
7,5		332,13	371,90	329,46
8		336,40	380,39	333,33



Obr. 9.4.1. Grafické znázornění závislosti radiálního tahového napětí σ_r na velikosti přidržovacího tlaku p , rychlosť posuvu $v = 1 \text{ mm s}^{-1}$.



Obr. 9.4.2. Grafické znázornění závislosti radiálního tahového napětí σ_r na velikosti přidržovacího tlaku p , rychlosť posuvu $v = 10 \text{ mm s}^{-1}$.

9.5. DISKUSE VÝSLEDKŮ MĚŘENÍ

Pro zjištění vlivu morfologie povrchu plechu na koeficient tření byla v předkládané disertační práci použita zkouška protahováním pásku, která se na katedře strojírenské technologie TU v Liberci používá již několik let. Výhody a nevýhody této zkoušky byly již zmiňovány v předcházejících kapitolách, a proto jim nebude věnována další pozornost.

Vzhledem k tomu, že neexistuje závazná norma pro provádění tribologických testů charakterizujících hluboké tažení nepravidelných výlisků, je pro tyto tribologické zkoušky v obecném měřítku velmi důležité, jakým způsobem je proveden vlastní test a jakým způsobem je proveden výběr a vyhodnocení měřených veličin. Prováděné tribologické testy jsou ve většině případů porovnávací a nalezení objektivního měřítka tohoto testu je velmi obtížné. Měřítkem pro posouzení „kvality“ kombinace mazadlo-materiál-nástroj-technologické podmínky je v literatuře nejčastěji uváděn koeficient tření μ . Praktické zkušenosti v oboru tváření však ukázaly, že tento koeficient je ovlivňován velkým množstvím faktorů a posuzovat z tribologického hlediska danou soustavu pomocí koeficientu tření je často velmi zavádějící.

Na obr. 9.1.2. jsou vidět dva typické průběhy síly v závislosti na dráze získané zkouškou protahováním pásku. Jak již bylo uvedeno v kapitole 9.1. při provádění tohoto testu se určují tyto charakteristiky: F_{\max} , F_h , F_{\min} , F_s , ΔF . Položme si otázku, jakým způsobem vyhodnocovat tento tribologický test. Nejčastěji je v literatuře uváděn koeficient tření μ , který je vypočítán ze střední síly F_s v ustálené oblasti měření. Při použití materiálu s povrchovou vrstvou zinku a při malých rychlostech posuvu materiálu v nástroji však dochází ke vzniku zadírání (tzv. „stick-slip“ efektu). Důsledkem tohoto jevu je kolísání síly v rozmezí F_{\min} až F_h a s tím i související změna koeficientu tření μ . U těchto materiálů je pak výpočet koeficientu tření pomocí střední síly F_s velmi diskutabilní. V této práci je proto při výpočtu koeficientu tření brána na zřetel maximální síla F_h které bylo dosaženo v ustálené oblasti měření a koeficient tření je označován jako μI . Tako vypočítaný koeficient tření představuje tedy nejméně příznivý stav, který může z tribologického hlediska nastat při tváření daného materiálu a při respektování daných technologických podmínek. Pro názornost jsou v příloze P14 až P29 sestrojeny grafy závislostí $\mu = f(p)$ pro dané technologické podmínky, kdy koeficient tření je vypočítán ze střední síly v ustálené oblasti měření F_s a tento koeficient tření je pak označován jako μII .

Při porovnání tribologických vlastností různých kombinací mazadel, testovaných materiálů a technologických podmínek je také velmi důležité zohlednit velikost síly, které je

třeba pro uvedení materiálu do pohybu (přechod mezi třením za klidu a za pohybem). Tato charakteristika je zvláště důležitá při použití vyšších rychlostí posuvu materiálu, kdy tato síla je maximální silou, které bylo při zkoušce dosaženo. Tato síla může způsobit tzv. „namožení“ výlisku, které se neprojeví ihned, ale v průběhu dalšího tváření často inicializuje vznik trhliny na výlisku. Z tohoto důvodu je „namožení“ výlisku velmi nebezpečné a ve většině případů se jeho vznik i velmi obtížně určuje.

K dalším problémům, který je v odborné veřejnosti v souvislosti s tímto použitým testem protahováním pásku často diskutován, je velikost měřené délky (doba testu) a počet opakování měření. V zahraničí (např. na univerzitě Mannheim) je používána měřená délka protahování $500 \div 1000$ mm a počet opakování je zpravidla velmi malý. Mnohdy se protahuje pouze jeden vzorek s následným čištěním zkušebních čelistí na jejichž povrchu dochází k ulpívání zinku spolu se znečistěným mazadlem. Podmínky testu jsou v tomto případě přesně definovány, ale neodpovídají reálnému stavu při lisování, kdy zadírání zinkové vrstvy má zásadní vliv na další průběh lisování a na kvalitu zhotoveného dílu. Vzhledem k tomu, že posuv materiálu (okraje přírub) při tvářecích operacích je ve většině případů menší než 100 mm, je vhodnější tribologickou zkoušku protahováním pásku provádět na větším počtu bezprostředně po sobě následujících vzorků a na dráze, která nepřesahuje 200 mm. S ohledem na tyto skutečnosti byla také volena metodika a vyhodnocení zkoušky protahováním pásku popsaná v [34] a používaná na katedře strojírenské technologie TU v Liberci.

Z naměřených výsledků zkoušky protahováním pásku a sestrojených grafů pro jednotlivé testované materiály vyplývají tyto závěry:

- Pro všechny testované kombinace technologických podmínek (tlak, rychlosť posuvu, použité mazadlo) byl naměřen nejvyšší koeficient tření u materiálu DX 54 D+Z100 MBO výrobce Salzgitter AG (Salzgitter Stahl GmbH) s morfologií povrchu plechu PRETEX, nejnižší hodnoty koeficientu tření byly ve všech případech naměřeny u materiálu DX 54 D+Z100 MBO výrobce ARCELOR S.A. Group (Sollac Steel) s morfologií povrchu plechu EDT.
- Při použití rychlosti posuvu pásku $v=10 \text{ mm s}^{-1}$ lze závislost $\mu=f(p)$ v oblasti použitých přidržovacích tlaků approximovat přímkou, směrnice přímky má pro všechny testované materiály zápornou hodnotu, tzn. při použití vyšších kontaktních tlaků při této rychlosti dochází k poklesu koeficientu tření. Tento fakt je v souladu s tzv. Hertzovou teorií, kdy celkový počet mikrokontaktů je téměř úměrný zatížení F_N a skutečná plocha styku je úměrná počtu

mikrokontaktů (viz. kapitola 5.1.). Koeficient tření má tak při určitém tlaku minimum.

- Při použití rychlosti posuvu pásku $v=1 \text{ mm s}^{-1}$ lze závislost $\mu=f(p)$ approximovat polynomickou funkcí třetího stupně (s ohledem na rozsah použitých tlaků).
- V oblasti nízkých přidržovacích tlaků (viz. obr. 9.3.13. a obr. 9.3.14.) je zjištěný koeficient tření menší při použití pracího oleje Anticorit AC PL 3802-39LV, než při použití kombinace pracího oleje Anticorit AC PL 3802-39LV+ tažného oleje AP 167/22. Tento jev je způsoben vysokou kinematickou viskozitou tažného oleje AP 67/22 ($160 \text{ mm}^2 \text{ s}^{-1}$ u maziva AP 167/22 oproti $17 \text{ mm}^2 \text{ s}^{-1}$ u maziva Anticorit AC PL 3802-39LV). V oblasti nízkých přidržovacích tlaků vyšší viskozita způsobuje nárůst koeficientu tření. Vzhledem k tomu, že ve většině případů se při tažení výlisků nepravidelného tvaru používají přidržovací tlaky vyšší než 3 MPa je možno tuto oblast nízkých tlaků považovat za nevýznamnou a v oblasti reálně používaných přidržovacích tlaků je tak u všech testovaných materiálů s různou morfologií povrchu naměřen nižší koeficient tření při použití kombinace pracího oleje Anticorit AC PL 3802-39LV+ tažného oleje AP 167/22. Tento fakt je v souladu s prakticky ověřenými poznatkami, kdy se lepších tribologických výsledků dosahuje s mazivy o vyšší viskozitě.

Zkouška protahováním pásku prokázala zřejmý vliv morfologie povrchu testovaných plechů na koeficient tření a z hlediska tribologie se tedy proto pro hluboké tažení jako nevhodnější jeví materiál s morfologií povrchu označovanou jako EDT. Z tohoto pohledu nejméně vhodný je pak testovaný materiál s morfologií povrchu PRETEX. Materiál s morfologií povrchu EBT představuje pro všechny testované kombinace „mezistupeň“ mezi morfologií PRETEX a EDT, který se však svými vlastnostmi a chováním přibližuje spíš morfologii EDT.

Zásadní vliv koeficientu tření na lisovatelnost výrobku je patrný z kapitoly 9.4., kde bylo na modelovém příkladu tažení cylindrického výtažku vypočítáno radiální tahové napětí σ_r na okraji cylindrické stěny výtažku. Výpočet byl proveden s použitím vztahu (34) ze kterého je také parný značný vliv koeficientu tření na velikost radiálního tahového napětí σ_r . Pro výpočet velikosti radiálního napětí byl použit koeficient tření získaný ze zkoušky protahováním pásku, čímž se dopouštíme určitého zkreslení výsledku, neboť podmínky

zkoušky neodpovídají skutečným podmínkám tažení cylindrického výtažku. Tento jednoduchý příklad však poměrně dobře dokumentuje vliv morfologie povrchu tvářeného materiálu na velikost radiálního napětí σ_r a tím i na velikost deformace stěny výtažku. Velké rozdíly mezi jednotlivými materiály jsou patrné zvláště při použití pracího oleje Anticorit AC PL 3802-39LV a při rychlosti posuvu materiálu $v=1 \text{ mm s}^{-1}$, kdy vypočítané radiální napětí σ_r je od určité hranice přidržovacího tlaku vyšší než napětí na mezi pevnosti testovaných materiálů a došlo by tak ke vzniku trhliny tvářeného výrobku. Hranice mezního přidržovacího tlaku se mění s morfologií testovaných materiálů a nejvyšší přidržovací tlak lze použít pro materiál Sollac s morfologií EDT. Nejmenší přidržovací tlak pak pro materiál Salzgitter s morfologií povrchu PRETEX. Hranice použitelnosti přidržovacího tlaku při rychlosti $v=1 \text{ mm s}^{-1}$ pro jednotlivé testované materiály je vidět na obr. 9.4.1. a obr. 9.4.2.. Vzhledem k tomu, že velikost přidržovacího tlaku má zásadní vliv na kvalitu zhotoveného výrobku (zvláště při výrobě výlisků karosářského typu) je mezní hodnota přidržovacího tlaku pro jednotlivé materiály velmi důležitá.

10. EXPERIMENTÁLNÍ ZJIŠTĚNÍ VLIVU MORFOLOGIE POVRCHU PLECHU NA ROZVOJ DEFORMACE PŘI TAŽENÍ VÝLISKU

Jak již bylo řečeno v kapitole 2, při zhotovování výlisků nepravidelných tvarů se při deformaci materiálu uplatňují jak posuvy tak i vypínání. Tyto dva způsoby jsou krajní polohy přetvoření plechu, ke kterým dochází při výrobě výlisku. Nutno podotknout, že při praktickém lisování se oba tyto mezní případy objevují současně se vzájemným proměnným podílem, v závislosti na tvaru výlisku a technologických podmínkách tažení. Z tohoto důvodu bylo provedeno experimentální zjištění vlivu morfologie povrchu plechu na rozvoj deformace jak při tažení výlisku, kdy dochází převážně k posuvům materiálu, tak i pro případ, kdy dochází převážně k deformaci materiálu vypínáním.

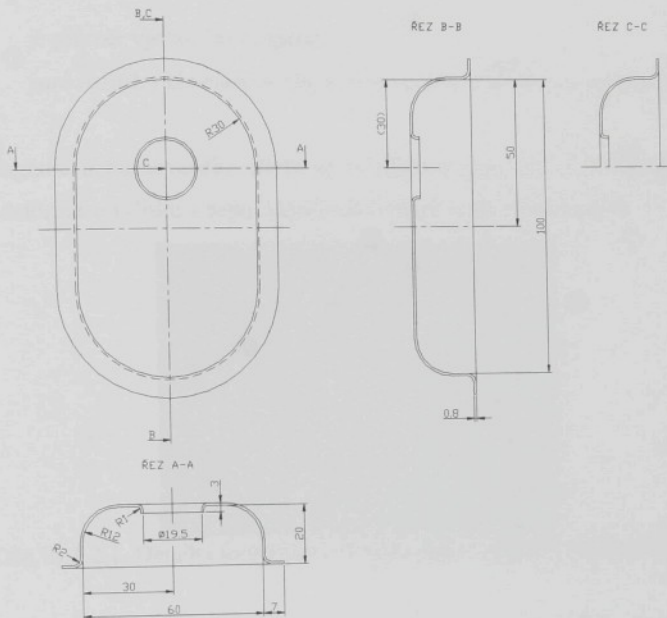
Pro experiment byly použity, tak jako v předchozích případech, materiály Salzgitter s morfologií povrchu PRETEX, materiál Sollac s morfologií EDT a materiál Voest s morfologií EBT (označení a charakteristika jednotlivých materiálů je uvedena v kapitole 7 a 8).

10.1. EXPERIMENTÁLNÍ ZJIŠTĚNÍ DEFORMACE MATERIÁLU PŘI PŘEVLÁDAJÍCÍCH POSUVECH MATERIÁLU

10.1.1. Tvar výrobku a stručná charakteristika nástroje pro experiment

Experimentální zjištění vlivu morfologie povrchu plechu na rozvoj deformace při tažení bylo provedeno na výlisku jednoduchého tvaru. Tímto výliskem byl plášt' sacího koše mazacího systému motorů starých typů automobilů Škoda. Nástroj pro výrobu tohoto dílu byl zapůjčen pro potřeby experimentu firmou Wagon Automotive s.r.o. a experiment tak mohl být realizován na katedře strojírenské technologie TU v Liberci. Tvar a rozměry výlisku použitého pro experiment jsou vidět na obr. 10.1.1.1.. Vlastní tvářecí operace byla realizována v dílnách katedry strojírenské technologie na hydraulickém lisu CUP 25 se spodním hydraulickým přidržovačem. Konstrukce nástroje je řešena tak, že výtažek se zhotovuje v tzv. obrácené poloze, kdy tažník je pevně uchycen na stůl stroje a tažnice je připevněna na upínací plochu beranu stroje. Přidržovač nástroje je ovládán pomocí hydraulického přidržovače, který

je umístěn v propadu stolu lisu a není tak součástí vlastního tvářecího nástroje. Funkční části nástroje tj. tažník, tažnice a přidržovač jsou zhotoveny z nástrojové oceli ČSN 19 312 kalené na 60 ± 2 HRC, střední aritmetická drsnost činných ploch nástroje je $Ra=0,26 \mu\text{m}$, maximální výška profilu $Rz=2,17 \mu\text{m}$. Fotografie tažného nástroje upnutého na stůl hydraulického lisu CUP 25 je vidět v příloze P30.



Obr. 10.1.1.1. Tvar a rozměry výlisku použitého pro experiment

10.1.2. Experimentální zjištění deformace výtažku

Deformace výtažku byla zjišťována pomocí deformační sítě vytvořené elektrochemickým leptáním na povrchu zkoumaných materiálů s různou morfologií povrchu plechu. Parametry použité deformační sítě jsou shodné s parametry deformační sítě použité při zhotovení diagramů mezních přetvoření a tyto parametry jsou uvedeny v kapitole 8.1.2.2..

Velikost deformace byla zjišťována u všech testovaných vzorků v místě řezu označeném na obr. 10.1.1.1. jako řez C-C. Orientace a poloha nanesené deformační sítě byla volena u všech testovaných vzorků tak, aby se okraj prvního elementu deformační sítě dotýkal okraje přistřihu a středy elementů deformační sítě ležely v ose řezu C-C budoucího výlisku.

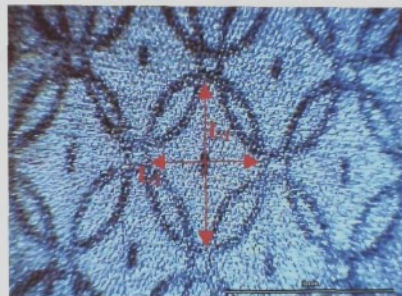
Při splnění této podmínky leží hlavní osy přetvořených elementů (elips) deformační sítě v ose řezu C-C. Pro takto jednoduchý výlisek a volený řez je tato podmínka poměrně dobře splnitelná (při praktické analýze výlisku nepravidelného tvaru je však tato podmínka vzhledem ke složitosti tvaru a značné složitému toku materiálu v nástroji prakticky nesplnitelná). Výpočet hlavních logaritmických deformací $\varphi_1 \varphi_2$ je proveden dle vztahu (197)

$$\varphi_{2,1} = \ln \frac{L_{2,1}}{L_0}, \quad (197)$$

kde L_0 je průměr výchozího elementu

$L_{2,1}$ jsou rozměry hlavních os elipsy sledovaného elementu po přetvoření.

Detailní fotografie deformovaného elementu je vidět na obr. 10.1.2.1.. Dílenský mikroskop pro zjištění deformace výlisku a uspořádání pracoviště je vidět v příloze P31.



Obr.10.1.2.1. Detailní fotografie deformovaného elementu deformační sítě

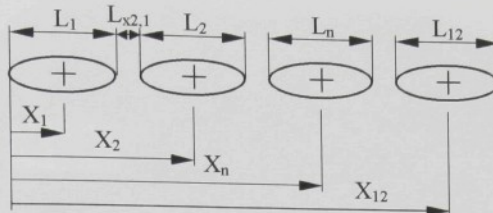
V místě řezu C-C bylo měřeno vždy dvanáct elementů deformační sítě a prvním měřeným element byl element dotýkající se okraje výlisku. Deformace výlisku $\varphi_1 \varphi_2$ byla měřena v závislosti na vzdálenosti od okraje zhotoveného výlisku, přičemž tato vzdálenost je měřena podél površky sledovaného řezu a je označena jako x . Vzhledem k tomu, že bylo měřeno vždy dvanáct elementů bezprostředně následujících za sebou, byla vzdálenost středu elementu od okraje výlisku vypočítána dle vztahu (198) (viz obr. 10.1.2.3.)

$$x_1 = \frac{1}{2} L_0 e^{\varphi_1}$$

$$x_n = x_{n-1} + \frac{1}{2} L_0 \left(e^{\varphi_{n-1}} + e^{\varphi_n} \right) + L_a e^{\frac{\varphi_{n-1} + \varphi_n}{2}}, \quad (198)$$

kde L_0 je počáteční rozměr elementu deformační sítě

L_a je počáteční vzdálenost okrajů elementů deformační sítě (viz. obr.8.1.2.2.1.).

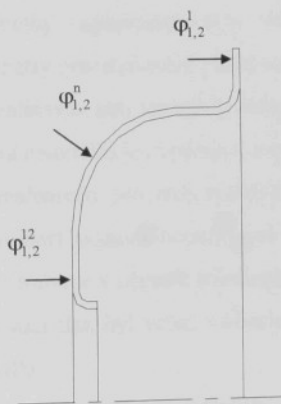


Obr. 10.1.2.3.. Princip výpočtu odlehlosti středu měřeného elementu od okraje výlisku

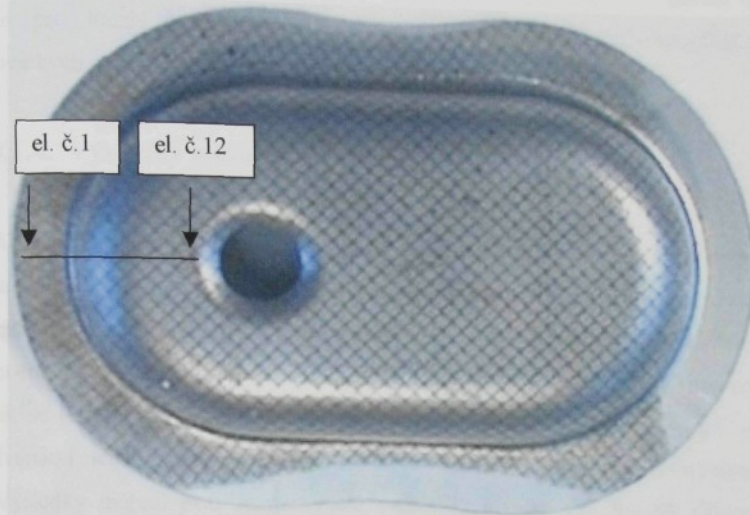
Poloha počátečního $\varphi_{1,2}^1$ a konečného $\varphi_{1,2}^{12}$ měřeného elementu deformační sítě je patrná z obr. 10.1.2.4. a obr. 10.1.2.5..

Logaritmické deformace φ_1 a φ_2 a vzdálenosti od okraje výlisku jsou přiřazeny vždy středům jednotlivých měřených elementů deformační sítě, čímž se dopouštíme určitého zkreslení, jelikož hodnoty φ_1 a φ_2 jsou integrálními hodnotami a tato hodnota by se měla přiřadit celému elementu (elipse).

REZ C-C



Obr. 10.1.2.4.. Schématické znázornění měřených míst na výlisku



Obr.10.1.2.5.. Znázornění měřených míst na výlisku

10.1.3. Podmínky experimentu

Technologické podmínky experimentu byly voleny v návaznosti na již provedené tribologické zkoušky a parametry pro zhotovení pláště sacího koše byly voleny tedy takto:

1. Experiment byl realizován pro materiály Salzgitter PRETEX, Sollac EDT a Voest EBT, celé označení materiálů je uvedeno v kapitole 7..
2. Experiment byl realizován pro dvě rychlosti posuvu beranu $v_n=1$ a 10 mm s^{-1} s vědomím, že rychlosť posuvu beranu není totožná s rychlosťí posuvu materiálu v nástroji, tak jako tomu je v případě tribologické zkoušky protahováním pásku.
3. Kontaktní přidržovací tlak byl volen s ohledem na skutečně používané přidržovací tlaky $p=2, 4$ a 6 MPa .
4. Použité mazivo
 - a) prací olej Anticorit AC PL 3802-39LV, množství maziva $1,2 \pm 0,2 \text{ g m}^{-2}$
 - b) prací olej Anticorit AC PL 3802-39LV ($1,2 \pm 0,2 \text{ g m}^{-2}$) v kombinaci s tažným olejem AP 167/22 ($2 \pm 0,2 \text{ g m}^{-2}$).

Nanášení maziva na vzorky bylo totožné jako v případě tribologických testů a je popsáno v kapitole 9.2.3..

Z výše uvedených skutečností vyplývá, že rozvoj deformace při tažení výlisku byl zjišťován pro každý testovaný materiál při dvanácti různých nastaveních vstupních technologických podmínek.

10.1.4. Výsledky měření

Vzhledem k charakteru zhotoveného výlisku a předpokládaným malým deformacím zkoumané oblasti byl počet zhotovených vzorků pro každou kombinaci technologických podmínek volen $n = 30$ vzorků. Tento počet by měl být dostačující i pro objektivní statistické vyhodnocení výsledků. Při uvažování všech testovaných materiálů a technologických podmínek se tedy jedná o 1080 vzorků. Vzhledem k tomu, že zkoumaný řez C – C je dále tvořen dvanácti elementy deformační sítě, bylo nutno provést značné množství měření.

Výsledky měření jsou zaznamenány ve formě přehledných tabulek (Tabulka 22 až Tabulka 33), kde jsou uvedeny střední hodnoty naměřených deformací spolu s odpovídajícími výběrovými směrodatnými odchylkami. Z naměřených a vypočítaných hodnot jsou sestrojeny grafy průběhu deformace pro jednotlivé testované materiály ve volém řezu C-C (viz obr. 10.1.1.1.). Vzhledem k značnému množství dat jsou všechna měření deformace výlisku uložena v elektronické formě na přiloženém CD a jednotlivá měření nejsou prezentována v disertační práci. V předkládané práci jsou na obr. 10.1.4.1. až 10.1.4.12. v grafické formě znázorněny průběhy deformací φ_1 , φ_2 a φ_3 v závislosti na odlehlosti od okraje výlisku při respektování jednotlivých kombinací vstupních technologických podmínek. Deformace φ_3 nebyla měřena, ale byla spočítána pomocí deformace φ_1 a φ_2 . Pro názornost jsou v každém grafu porovnány všechny testované materiály s různou morfologií povrchu. Vzhledem k omezenému rozsahu práce je podrobné srovnání naměřených křivek průběhu deformace (pro různé kombinace vstupních podmínek) k nahlédnutí v elektronických souborech uložených na přiloženém CD, kde je prezentováno dalších 36 grafů.

V sestrojených grafech je vzhledem k dlouhému názvu jednotlivých použitých mazadel použita zkrácená forma označení mazadla a to:

- Zkratka PL – prací olej Anticorit AC PL 3802-39LV.
- Zkratka AP – kombinace pracího oleje Anticorit AC PL 3802-39LV + tažný olej AP 167/22.

Statistické vyhodnocení experimentu a rozbor výsledků měření je proveden v kapitole 10.3..

Tabulka 22. Tabulka naměřených a vypočítaných hodnot deformace

Mazivo: Anticorit AC PL 3802-39LV (množství maziva $1,2 \pm 0,2 \text{ g m}^{-2}$). Teplota: $20 \pm 2^\circ\text{C}$

Rychlosť posuvu beranu stroje $v_n = 1 \text{ mm s}^{-1}$. Kontaktní přidržovací tlak $p = 2 \text{ MPa}$.

Materiál čelistí ČSN 19 312 (60 ± 2 HRC). Drsnost nástroje $\text{Ra} = 0,26 \mu\text{m}$, $\text{Rz} = 2,17 \mu\text{m}$.

č el.	Materiál								
	Salzgitter PRETEX			Sollac EDT			Voest EBT		
	x [mm]	$\varphi_1 [-]$	$\varphi_2 [-]$	x [mm]	$\varphi_1 [-]$	$\varphi_2 [-]$	x [mm]	$\varphi_1 [-]$	$\varphi_2 [-]$
1	0	0,1946	-0,2268	0	0,1863	-0,2371	0	0,1898	-0,2332
	0,025	0,0078			0,008	0,008		0,0085	0,0117
2	3,7869	0,1761	-0,2242	3,7491	0,1644	-0,233	3,7622	0,1678	-0,2291
	0,015	0,0095			0,0052	0,0084		0,0056	0,0118
3	7,4754	0,1418	-0,2122	7,3969	0,1313	-0,218	7,4231	0,1351	-0,2139
	0,0121	0,0102			0,0065	0,007		0,0075	0,0081
4	11,3795	0,2856	-0,1744	11,2494	0,2698	-0,1694	11,2871	0,2721	-0,17
	0,013	0,0169			0,0094	0,0088		0,0069	0,008
5	15,2835	0,2268	-0,1127	15,1019	0,217	-0,1071	15,1511	0,2203	-0,1091
	0,0082	0,0074			0,0061	0,0088		0,005	0,0082
6	19,1414	0,1807	-0,0604	18,9325	0,1764	-0,0548	18,9929	0,179	-0,0572
	0,0126	0,0087			0,0045	0,0065		0,0078	0,0071
7	22,8046	0,1229	-0,0182	22,5718	0,1141	-0,015	22,6455	0,1189	-0,0156
	0,0087	0,0094			0,0062	0,0074		0,0053	0,009
8	26,211	0,0345	0,0074	25,9738	0,0413	0,0119	26,0502	0,0377	0,0111
	0,0141	0,0099			0,0074	0,0076		0,0061	0,0077
9	29,4471	0,0219	0,0193	29,2312	0,0282	0,0244	29,2964	0,0249	0,0213
	0,0083	0,0083			0,0078	0,0089		0,007	0,0066
10	32,6625	0,0217	0,0205	32,4656	0,0272	0,0263	32,5193	0,0234	0,0229
	0,0058	0,0083			0,0071	0,0075		0,0097	0,0093
11	35,8753	0,0204	0,0211	35,6975	0,0266	0,0264	35,7384	0,0225	0,0226
	0,0062	0,0066			0,0074	0,0069		0,0064	0,009
12	39,0858	0,0203	0,0202	38,9277	0,0263	0,0266	38,956	0,0225	0,0228
	0,0069	0,0072			0,0078	0,0082		0,0052	0,007

Tabulka 23. Tabulka naměřených a vypočítaných hodnot deformace

Mazivo: Anticorit AC PL 3802-39LV (množství maziva $1,2 \pm 0,2 \text{ g m}^{-2}$). Teplota: $20 \pm 2^\circ\text{C}$

Rychlosť posuvu beranu stroje $v_n = 1 \text{ mm s}^{-1}$. Kontaktní přidržovací tlak $p = 4 \text{ MPa}$.

Materiál čelistí ČSN 19 312 (60 ± 2 HRC). Drsnost nástroje $\text{Ra} = 0,26 \mu\text{m}$, $\text{Rz} = 2,17 \mu\text{m}$.

č el.	Materiál								
	Salzgitter PRETEX			Sollac EDT			Voest EBT		
	x [mm]	$\varphi_1 [-]$	$\varphi_2 [-]$	x [mm]	$\varphi_1 [-]$	$\varphi_2 [-]$	x [mm]	$\varphi_1 [-]$	$\varphi_2 [-]$
1	0	0,1964	-0,2264	0	0,1883	-0,2293	0	0,1928	-0,2318
		0,0083	0,0105		0,0077	0,0098		0,0077	0,0113
2	3,7958	0,179	-0,2215	3,753	0,1644	-0,2261	3,7737	0,1709	-0,2263
		0,006	0,0107		0,0065	0,0097		0,0055	0,0103
3	7,5166	0,1565	-0,2098	7,4292	0,147	-0,2174	7,47	0,1514	-0,215
		0,0064	0,0158		0,0058	0,0107		0,008	0,0087
4	11,5168	0,3184	-0,1725	11,3847	0,3056	-0,1682	11,441	0,3092	-0,1703
		0,0095	0,0124		0,005	0,0067		0,0089	0,0114
5	15,5171	0,2591	-0,1122	15,3401	0,2483	-0,1084	15,412	0,2516	-0,1077
		0,0074	0,0102		0,0075	0,0076		0,0087	0,011
6	19,4761	0,1999	-0,0646	19,2568	0,1892	-0,0554	19,3432	0,1933	-0,0574
		0,0072	0,0067		0,0054	0,0071		0,0071	0,0094
7	23,2135	0,144	-0,0145	22,9504	0,131	-0,0157	23,0557	0,1372	-0,0138
		0,0101	0,006		0,0094	0,0085		0,0073	0,0077
8	26,6859	0,0517	0,0093	26,4054	0,0552	0,0114	26,5142	0,0506	0,0138
		0,0079	0,0103		0,0059	0,0094		0,0107	0,0077
9	29,961	0,0286	0,0205	29,6915	0,0318	0,025	29,7838	0,0263	0,0227
		0,0075	0,0105		0,0073	0,0069		0,007	0,008
10	33,1896	0,0232	0,0236	32,9363	0,03	0,0296	33,0126	0,0257	0,0255
		0,0077	0,0067		0,0044	0,0074		0,0076	0,008
11	36,4092	0,023	0,0228	36,178	0,03	0,0304	36,24	0,0254	0,0267
		0,0085	0,0086		0,0078	0,0069		0,0059	0,0068
12	39,6276	0,0224	0,0223	39,4219	0,0313	0,0321	39,4669	0,0254	0,0257
		0,0095	0,0122		0,0093	0,0096		0,0071	0,0076

Tabulka 24. Tabulka naměřených a vypočítaných hodnot deformace

Mazivo: Anticorit AC PL 3802-39LV (množství maziva $1,2 \pm 0,2 \text{ g m}^{-2}$). Teplota: $20 \pm 2^\circ\text{C}$

Rychlosť posuvu beranu stroje $v_n = 1 \text{ mm s}^{-1}$. Kontaktní přidržovací tlak $p = 6 \text{ MPa}$.

Materiál čelistí ČSN 19 312 (60 ± 2 HRC). Drsnost nástroje $R_a = 0,26 \mu\text{m}$, $R_z = 2,17 \mu\text{m}$.

č el.	Materiál								
	Salzgitter PRETEX			Sollac EDT			Voest EBT		
	x [mm]	$\varphi_1 [-]$	$\varphi_2 [-]$	x [mm]	$\varphi_1 [-]$	$\varphi_2 [-]$	x [mm]	$\varphi_1 [-]$	$\varphi_2 [-]$
1	0	0,2034	-0,2175	0	0,1907	-0,2339	0	0,1958	-0,2256
		0,0064	0,0121		0,0067	0,0101		0,0085	0,0106
2	3,818	0,1837	-0,2151	3,7666	0,1693	-0,2297	3,7831	0,1729	-0,2226
		0,0077	0,0099		0,0065	0,0112		0,005	0,0115
3	7,5733	0,1704	-0,2092	7,481	0,1628	-0,217	7,4996	0,1604	-0,2149
		0,008	0,0128		0,0047	0,0092		0,0065	0,0094
4	11,7824	0,4007	-0,1688	11,611	0,3722	-0,1638	11,651	0,3837	-0,1652
		0,0073	0,0108		0,0049	0,0101		0,0058	0,0091
5	15,9914	0,3078	-0,1121	15,741	0,3043	-0,1071	15,8024	0,3047	-0,1096
		0,0076	0,0132		0,0054	0,0079		0,0052	0,0111
6	20,147	0,2481	-0,0605	19,8758	0,2415	-0,0537	19,94	0,2425	-0,058
		0,0081	0,0092		0,0053	0,0098		0,0059	0,0094
7	24,0259	0,1694	-0,015	23,7441	0,1708	-0,0118	23,8089	0,17	-0,0167
		0,0082	0,0083		0,0055	0,0059		0,0072	0,0104
8	27,5826	0,0741	0,0094	27,3088	0,0772	0,012	27,3648	0,073	0,0101
		0,0062	0,0109		0,0055	0,0074		0,0075	0,0072
9	30,9083	0,0367	0,0203	30,6442	0,0394	0,0258	30,6865	0,0354	0,022
		0,0077	0,0129		0,0062	0,0076		0,0069	0,0067
10	34,1554	0,0265	0,025	33,9049	0,0323	0,0293	33,937	0,03	0,0278
		0,0103	0,0106		0,0059	0,0065		0,0079	0,0062
11	37,383	0,0247	0,0253	37,1555	0,0332	0,0336	37,1776	0,0293	0,0298
		0,006	0,0069		0,0051	0,0073		0,0073	0,0088
12	40,609	0,0255	0,0242	40,4084	0,0336	0,0332	40,4187	0,0303	0,0297
		0,007	0,0087		0,0056	0,0063		0,0067	0,0068

Tabulka 25. Tabulka naměřených a vypočítaných hodnot deformace

Mazivo: Anticorit AC PL 3802-39LV (množství maziva $1,2 \pm 0,2 \text{ g m}^{-2}$). Teplota: $20 \pm 2^\circ\text{C}$

Rychlosť posuvu beranu stroje $v_n = 10 \text{ mm s}^{-1}$. Kontaktní přidržovací tlak $p = 2 \text{ MPa}$.

Materiál čelistí ČSN 19 312 (60 ± 2 HRC). Drsnost nástroje $\text{Ra} = 0,26 \mu\text{m}$, $\text{Rz} = 2,17 \mu\text{m}$.

č el.	Materiál								
	Salzgitter PRETEX			Sollac EDT			Voest EBT		
	x [mm]	$\varphi_1 [-]$	$\varphi_2 [-]$	x [mm]	$\varphi_1 [-]$	$\varphi_2 [-]$	x [mm]	$\varphi_1 [-]$	$\varphi_2 [-]$
1	0	0,1944	-0,2268	0	0,1856	-0,2345	0	0,1899	-0,2332
		0,0143	0,0091		0,007	0,0059		0,0106	0,0123
2	3,7823	0,1739	-0,2273	3,7464	0,1636	-0,2316	3,7604	0,1668	-0,2285
		0,0124	0,0104		0,006	0,0082		0,0061	0,0122
3	7,4673	0,1422	-0,2144	7,3939	0,132	-0,2177	7,42	0,1355	-0,2143
		0,0107	0,0104		0,0069	0,0096		0,0071	0,0086
4	11,3719	0,2855	-0,1726	11,2501	0,271	-0,1699	11,2845	0,272	-0,17
		0,0085	0,0144		0,0064	0,0096		0,0063	0,008
5	15,2765	0,2261	-0,1096	15,1063	0,217	-0,1068	15,1491	0,2202	-0,1088
		0,0081	0,0105		0,0051	0,0081		0,006	0,0071
6	19,1366	0,1827	-0,0608	18,9359	0,176	-0,0534	18,9912	0,1792	-0,0569
		0,0101	0,0095		0,0062	0,0082		0,0061	0,0095
7	22,8031	0,1228	-0,0193	22,5742	0,114	-0,0164	22,6461	0,1199	-0,0168
		0,0113	0,0097		0,0084	0,0082		0,0082	0,0107
8	26,2149	0,0379	0,0082	25,9777	0,0423	0,0119	26,0584	0,0412	0,0114
		0,0128	0,0107		0,0055	0,0058		0,0074	0,0082
9	29,4588	0,0234	0,0192	29,2358	0,0276	0,0229	29,3101	0,0248	0,0201
		0,0113	0,0107		0,0089	0,0058		0,0059	0,0088
10	32,6721	0,019	0,02	32,4681	0,0265	0,0262	32,5312	0,0224	0,0232
		0,0072	0,0089		0,0079	0,0075		0,0084	0,0084
11	35,8804	0,0202	0,0201	35,6993	0,0269	0,0274	35,7485	0,0225	0,0206
		0,0068	0,0062		0,0071	0,0059		0,0062	0,0085
12	39,0903	0,0201	0,02	38,9314	0,0271	0,0274	38,9664	0,0227	0,0235
		0,0085	0,0083		0,0086	0,0057		0,0053	0,0049

Tabulka 26. Tabulka naměřených a vypočítaných hodnot deformace

Mazivo: Anticorit AC PL 3802-39LV (množství maziva $1,2 \pm 0,2 \text{ g m}^{-2}$). Teplota: $20 \pm 2^\circ\text{C}$

Rychlosť posuvu beranu stroje $v_n = 10 \text{ mm s}^{-1}$. Kontaktní přidržovací tlak $p = 4 \text{ MPa}$.

Materiál čelistí ČSN 19 312 (60 ± 2 HRC). Drsnost nástroje $\text{Ra} = 0,26 \mu\text{m}$, $\text{Rz} = 2,17 \mu\text{m}$.

č el.	Materiál								
	Salzgitter PRETEX			Sollac EDT			Voest EBT		
	x [mm]	$\varphi_1 [-]$	$\varphi_2 [-]$	x [mm]	$\varphi_1 [-]$	$\varphi_2 [-]$	x [mm]	$\varphi_1 [-]$	$\varphi_2 [-]$
1	0	0,2002	-0,2238	0	0,1895	-0,2293	0	0,1904	-0,2308
	0,0099	0,0104	0	0,008	0,0116	0	0,0067	0,0111	
2	3,8054	0,1803	-0,2218	3,7544	0,1639	-0,2227	3,7643	0,1683	-0,2273
	0,0073	0,009	0	0,0073	0,0076	0	0,005	0,0119	
3	7,5298	0,1572	-0,2133	7,4294	0,1469	-0,2166	7,4567	0,1519	-0,2148
	0,0065	0,0109	0	0,0075	0,008	0	0,0075	0,01	
4	11,5371	0,3212	-0,1729	11,3863	0,3064	-0,1682	11,4275	0,3087	-0,1671
	0,0092	0,0136	0	0,0047	0,0066	0	0,0065	0,0123	
5	15,5445	0,2597	-0,1111	15,3432	0,2472	-0,1078	15,3984	0,2527	-0,1082
	0,0065	0,0085	0	0,0068	0,0077	0	0,0073	0,0087	
6	19,5068	0,201	-0,0635	19,2589	0,1899	-0,0557	19,3341	0,1945	-0,0579
	0,0079	0,0076	0	0,0041	0,007	0	0,0093	0,0072	
7	23,244	0,1427	-0,0178	22,9527	0,1304	-0,0152	23,0526	0,1392	-0,013
	0,0088	0,0104	0	0,0065	0,0079	0	0,0075	0,0085	
8	26,7109	0,0498	0,01	26,4055	0,0545	0,0128	26,5137	0,05	0,0142
	0,0087	0,013	0	0,0056	0,0074	0	0,0096	0,0084	
9	29,9791	0,0263	0,0236	29,6923	0,0329	0,0242	29,781	0,0256	0,0222
	0,0119	0,0113	0	0,0073	0,0069	0	0,0072	0,0095	
10	33,2032	0,0228	0,0224	32,9376	0,0293	0,0299	33,0081	0,0253	0,0234
	0,0058	0,0062	0	0,0048	0,0061	0	0,0069	0,0056	
11	36,4184	0,0208	0,0228	36,1776	0,0296	0,0301	36,2322	0,0237	0,0256
	0,0079	0,0098	0	0,0066	0,0094	0	0,0071	0,0102	
12	39,6328	0,0222	0,0255	39,4118	0,0296	0,0308	39,451	0,0221	0,0245
	0,0057	0,0078	0	0,0078	0,0069	0	0,0098	0,0092	

Tabulka 27. Tabulka naměřených a vypočítaných hodnot deformace

Mazivo: Anticorit AC PL 3802-39LV (množství maziva $1,2 \pm 0,2 \text{ g m}^{-2}$). Teplota: $20 \pm 2^\circ\text{C}$

Rychlosť posuvu beranu stroje $v_n = 10 \text{ mm s}^{-1}$. Kontaktní přidržovací tlak $p = 6 \text{ MPa}$.

Materiál čelistí ČSN 19 312 (60 ± 2 HRC). Drsnost nástroje $\text{Ra} = 0,26 \mu\text{m}$, $\text{Rz} = 2,17 \mu\text{m}$.

č el.	Materiál								
	Salzgitter PRETEX			Sollac EDT			Voest EBT		
	x [mm]	$\varphi_1 [-]$	$\varphi_2 [-]$	x [mm]	$\varphi_1 [-]$	$\varphi_2 [-]$	x [mm]	$\varphi_1 [-]$	$\varphi_2 [-]$
1	0	0,2036	-0,216	0	0,1907	-0,2264	0	0,1959	-0,2262
	0,0075	0,0105			0,0065	0,0092		0,0105	0,0104
2	3,8175	0,1833	-0,2143	3,7668	0,1694	-0,2234	3,7873	0,1751	-0,2232
	0,0066	0,008			0,0055	0,0086		0,0076	0,0096
3	7,5721	0,1704	-0,2101	7,481	0,1627	-0,2152	7,5066	0,1596	-0,2158
	0,0092	0,0144			0,0059	0,0093		0,009	0,0077
4	11,7779	0,3992	-0,1674	11,6087	0,3714	-0,164	11,6586	0,3847	-0,1651
	0,007	0,0132			0,0064	0,0079		0,0036	0,0079
5	15,9836	0,3106	-0,1109	15,7365	0,3046	-0,1079	15,8107	0,3048	-0,1105
	0,0073	0,0128			0,0058	0,0083		0,0045	0,0095
6	20,148	0,2495	-0,0597	19,8713	0,2411	-0,0542	19,95	0,2432	-0,0603
	0,0098	0,0092			0,0063	0,0078		0,0065	0,0105
7	24,0255	0,1671	-0,0152	23,7385	0,1706	-0,0125	23,8179	0,1688	-0,0176
	0,0071	0,0085			0,0055	0,0071		0,0054	0,0113
8	27,5768	0,0734	0,0066	27,3021	0,0768	0,0102	27,3714	0,0728	0,0103
	0,0069	0,014			0,0068	0,0118		0,0099	0,0101
9	30,9027	0,0376	0,0197	30,6376	0,0399	0,0261	30,6969	0,0379	0,022
	0,009	0,0126			0,0081	0,0076		0,0059	0,0067
10	34,1504	0,026	0,0248	33,9	0,0328	0,0309	33,9529	0,0308	0,0276
	0,0134	0,0089			0,0073	0,0062		0,0067	0,0081
11	37,3763	0,0241	0,0256	37,1521	0,0335	0,0329	37,1962	0,0301	0,0281
	0,0054	0,0077			0,0068	0,0071		0,0055	0,0075
12	40,603	0,0266	0,0242	40,4046	0,0331	0,0336	40,438	0,0299	0,0292
	0,0082	0,0079			0,0058	0,0055		0,0082	0,0059

Tabulka 28. Tabulka naměřených a vypočítaných hodnot deformace

Mazivo: AC PL 3802-39LV ($1,2 \pm 0,2 \text{ g m}^{-2}$) + AP 167/22 ($2 \pm 0,2 \text{ g m}^{-2}$). Teplota: $20 \pm 2^\circ\text{C}$

Rychlosť posuvu beranu stroje $v_n = 1 \text{ mm s}^{-1}$. Kontaktní přidržovací tlak $p = 2 \text{ MPa}$.

Materiál čelistí ČSN 19 312 ($60 \pm 2 \text{ HRC}$). Drsnost nástroje $\text{Ra} = 0,26 \mu\text{m}$, $\text{Rz} = 2,17 \mu\text{m}$.

č el.	Materiál								
	Salzgitter PRETEX			Sollac EDT			Voest EBT		
	x [mm]	$\varphi_1 [-]$	$\varphi_2 [-]$	x [mm]	$\varphi_1 [-]$	$\varphi_2 [-]$	x [mm]	$\varphi_1 [-]$	$\varphi_2 [-]$
1	0	0,1913	-0,2377	0	0,1822	-0,2452	0	0,1849	-0,2404
		0,0066	0,0085		0,007	0,0076		0,006	0,0087
2	3,7653	0,168	-0,2379	3,7306	0,1585	-0,2415	3,7429	0,1624	-0,2377
		0,0078	0,0074		0,0055	0,0095		0,0068	0,0105
3	7,4386	0,1418	-0,2203	7,3655	0,1302	-0,2211	7,3838	0,1296	-0,2208
		0,0079	0,0106		0,0069	0,0094		0,0067	0,0058
4	11,328	0,2786	-0,1724	11,2088	0,2663	-0,1674	11,2249	0,2658	-0,1687
		0,0089	0,0134		0,0054	0,011		0,0063	0,0104
5	15,2174	0,2169	-0,1049	15,052	0,2099	-0,1058	15,066	0,2151	-0,1046
		0,0068	0,0087		0,0079	0,0082		0,0055	0,0064
6	19,0379	0,1711	-0,053	18,8478	0,1652	-0,0529	18,878	0,1685	-0,0521
		0,006	0,0089		0,0046	0,0061		0,0065	0,0055
7	22,6597	0,1098	-0,0174	22,4574	0,1091	-0,0116	22,4972	0,1111	-0,0147
		0,0071	0,0078		0,0068	0,0067		0,0076	0,0063
8	26,0463	0,0364	0,0103	25,8576	0,0455	0,0084	25,9	0,045	0,008
		0,0103	0,0096		0,0083	0,0068		0,0079	0,0111
9	29,2918	0,0258	0,0211	29,1287	0,0325	0,0258	29,1632	0,0281	0,0251
		0,0046	0,0103		0,0066	0,0063		0,0061	0,0066
10	32,5165	0,0236	0,0238	32,3747	0,0301	0,0308	32,3988	0,028	0,0277
		0,0077	0,0118		0,008	0,0068		0,0066	0,0079
11	35,7369	0,0232	0,0239	35,6168	0,03	0,031	35,6335	0,0275	0,0278
		0,0077	0,0075		0,0067	0,0097		0,0086	0,0087
12	38,9571	0,0234	0,0217	38,8588	0,0301	0,0302	38,8682	0,0281	0,0277
		0,0071	0,009		0,008	0,0055		0,0088	0,0089

Tabulka 29. Tabulka naměřených a vypočítaných hodnot deformace

Mazivo: AC PL 3802-39LV ($1,2 \pm 0,2 \text{ g m}^{-2}$) + AP 167/22 ($2 \pm 0,2 \text{ g m}^{-2}$). Teplota: $20 \pm 2^\circ\text{C}$

Rychlosť posuvu beranu stroje $v_n = 1 \text{ mm s}^{-1}$. Kontaktní přidržovací tlak $p = 4 \text{ MPa}$.

Materiál čelistí ČSN 19 312 (60 ± 2 HRC). Drsnost nástroje $R_a = 0,26 \mu\text{m}$, $R_z = 2,17 \mu\text{m}$.

č el.	Materiál								
	Salzgitter PRETEX			Sollac EDT			Voest EBT		
	x [mm]	φ_1 [-] s	φ_2 [-] s	x [mm]	φ_1 [-] s	φ_2 [-] s	x [mm]	φ_1 [-] s	φ_2 [-] s
1	0 0,0063	0,193 0,012	-0,2326	0 0,0051	0,1834 0,0096	-0,2421	0 0,0049	0,1864 0,0101	-0,2387
2	3,7744 0,0066	0,1711 0,0096	-0,2323	3,7396 0,0058	0,1622 0,012	-0,2391	3,7529 0,0061	0,1663 0,0104	-0,236
3	7,4689 0,0076	0,1502 0,0092	-0,218	7,3935 0,0063	0,137 0,0094	-0,2228	7,4241 0,0055	0,1424 0,0084	-0,2213
4	11,4133 0,0075	0,2975 0,0119	-0,1776	11,2755 0,0068	0,2792 0,008	-0,1721	11,3322 0,0058	0,2871 0,0077	-0,173
5	15,3577 0,0066	0,246 0,0095	-0,1068	15,1575 0,0064	0,2409 0,0079	-0,1068	15,2404 0,0048	0,2431 0,007	-0,1076
6	19,2765 0,0066	0,1927 0,0118	-0,0524	19,0536 0,0051	0,1862 0,0064	-0,0544	19,142 0,0053	0,1868 0,0075	-0,0553
7	22,9761 0,0045	0,1307 0,0084	-0,0178	22,736 0,0052	0,128 0,0087	-0,0172	22,828 0,0101	0,1293 0,0086	-0,0168
8	26,4155 0,0074	0,0461 0,0093	0,0119	26,1836 0,0056	0,054 0,0066	0,0136	26,2729 0,0071	0,0509 0,0074	0,0133
9	29,683 0,0087	0,0296 0,0079	0,0247	29,4714 0,0079	0,0341 0,0065	0,0276	29,5526 0,0102	0,0322 0,0081	0,0271
10	32,9188 0,0092	0,0267 0,0061	0,0271	32,723 0,0088	0,0319 0,0084	0,0328	32,7983 0,0065	0,0302 0,0088	0,0301
11	36,1512 0,0069	0,0275 0,0114	0,0276	35,9726 0,0098	0,0329 0,0056	0,0316	36,0393 0,0085	0,0293 0,0071	0,0296
12	39,3843 0,0097	0,0272 0,0067	0,0277	39,2226 0,0068	0,0322 0,0084	0,031	39,2798 0,0076	0,0298 0,0069	0,0295

Tabulka 30. Tabulka naměřených a vypočítaných hodnot deformace

Mazivo: AC PL 3802-39LV ($1,2 \pm 0,2 \text{ g m}^{-2}$) + AP 167/22 ($2 \pm 0,2 \text{ g m}^{-2}$). Teplota: $20 \pm 2^\circ\text{C}$

Rychlosť posuvu beranu stroje $v_n = 1 \text{ mm s}^{-1}$. Kontaktní přidržovací tlak $p = 6 \text{ MPa}$.

Materiál čelisti ČSN 19 312 (60 ± 2 HRC). Drsnost nástroje $R_a = 0,26 \mu\text{m}$, $R_z = 2,17 \mu\text{m}$.

č el.	Materiál								
	Salzgitter PRETEX			Sollac EDT			Voest EBT		
	x [mm]	$\varphi_1 [-]$	$\varphi_2 [-]$	x [mm]	$\varphi_1 [-]$	$\varphi_2 [-]$	x [mm]	$\varphi_1 [-]$	$\varphi_2 [-]$
s	s	s	s	s	s	s	s	s	s
1	0 0,0067	0,1971 0,0098	-0,2273	0 0,0047	0,1854 0,0096	-0,2359	0 0,0057	0,1876 0,0104	-0,2328
2	3,7893 0,0073	0,1749 0,0103	-0,2267	3,7447 0,005	0,1629 0,0102	-0,2349	3,7584 0,0054	0,168 0,0081	-0,2315
3	7,5125 0,0077	0,1619 0,0105	-0,2169	7,4117 0,0083	0,1464 0,0095	-0,2267	7,4514 0,0053	0,1525 0,009	-0,2234
4	11,6144 0,0084	0,3605 0,0107	-0,1743	11,4506 0,0047	0,3425 0,0074	-0,1685	11,526 0,0051	0,356 0,0067	-0,1717
5	15,7163 0,0075	0,2819 0,0109	-0,1082	15,4841 0,0068	0,2764 0,0078	-0,1032	15,6005 0,006	0,2794 0,0092	-0,1041
6	19,7795 0,0067	0,2292 0,0081	-0,0545	19,5281 0,007	0,2253 0,008	-0,0537	19,6563 0,0064	0,2281 0,0078	-0,0543
7	23,5864 0,0067	0,1509 0,0086	-0,0132	23,3272 0,0075	0,1508 0,0073	-0,0143	23,4611 0,006	0,1509 0,0088	-0,0129
8	27,0934 0,0073	0,0648 0,0071	0,0135	26,8495 0,0072	0,0739 0,0076	0,0119	26,9787 0,0067	0,071 0,0074	0,0126
9	30,3949 0,0061	0,0315 0,0067	0,0235	30,1814 0,0062	0,0406 0,0077	0,0285	30,3014 0,0076	0,0381 0,009	0,0257
10	33,6351 0,0095	0,0275 0,0065	0,0276	33,4501 0,0072	0,0359 0,006	0,0362	33,5617 0,0076	0,0333 0,007	0,0323
11	36,8704 0,0068	0,0285 0,0083	0,028	36,7115 0,0092	0,0361 0,0081	0,0357	36,812 0,0085	0,032 0,0067	0,032
12	40,1072 0,0078	0,0284 0,0056	0,0281	39,9734 0,0072	0,0362 0,0091	0,0361	40,0611 0,0055	0,0325 0,0075	0,0324

Tabulka 31. Tabulka naměřených a vypočítaných hodnot deformace

Mazivo: AC PL 3802-39LV ($1,2 \pm 0,2 \text{ g m}^{-2}$) + AP 167/22 ($2 \pm 0,2 \text{ g m}^{-2}$). Teplota: $20 \pm 2^\circ\text{C}$

Rychlosť posuvu beranu stroje $v_n = 10 \text{ mm s}^{-1}$. Kontaktní přídřžovací tlak $p = 2 \text{ MPa}$.

Materiál čelistí ČSN 19 312 (60 ± 2 HRC). Drsnost nástroje $\text{Ra} = 0,26 \mu\text{m}$, $\text{Rz} = 2,17 \mu\text{m}$.

č el.	Materiál								
	Salzgitter PRETEX			Sollac EDT			Voest EBT		
	x [mm]	$\varphi_1 [-]$	$\varphi_2 [-]$	x [mm]	$\varphi_1 [-]$	$\varphi_2 [-]$	x [mm]	$\varphi_1 [-]$	$\varphi_2 [-]$
1	0	0,193	-0,2381	0	0,1817	-0,2458	0	0,1845	-0,2401
		0,0064	0,0088		0,0063	0,0111		0,0062	0,0095
2	3,7658	0,1665	-0,2372	3,7339	0,1608	-0,2409	3,742	0,1624	-0,2386
		0,0074	0,008		0,0078	0,0083		0,0055	0,0109
3	7,4342	0,1406	-0,2198	7,3724	0,1299	-0,2205	7,3809	0,1285	-0,2218
		0,0068	0,0105		0,0074	0,0083		0,0066	0,0092
4	11,3228	0,2792	-0,1684	11,2149	0,2662	-0,1677	11,2202	0,2658	-0,1684
		0,0087	0,0111		0,0062	0,0096		0,0068	0,0096
5	15,2114	0,2165	-0,1041	15,0573	0,2091	-0,1056	15,0594	0,2157	-0,1035
		0,0077	0,0091		0,0051	0,0082		0,0056	0,0064
6	19,0258	0,1683	-0,0531	18,8509	0,1649	-0,0527	18,8719	0,1681	-0,052
		0,0059	0,007		0,0066	0,0077		0,006	0,0073
7	22,6444	0,111	-0,0178	22,4583	0,1082	-0,0128	22,49	0,1109	-0,0143
		0,0072	0,0081		0,0077	0,0064		0,0056	0,0074
8	26,0315	0,0355	0,0099	25,8564	0,0452	0,0077	25,8917	0,0445	0,0071
		0,0096	0,0095		0,0072	0,0054		0,0095	0,0087
9	29,2748	0,0254	0,0217	29,1265	0,0322	0,0256	29,1545	0,0284	0,0232
		0,0072	0,0097		0,0084	0,007		0,0063	0,0079
10	32,4987	0,0235	0,0239	32,3725	0,0304	0,0304	32,3865	0,0255	0,024
		0,0078	0,0089		0,0068	0,0067		0,0085	0,0109
11	35,7193	0,0234	0,0232	35,6174	0,0315	0,0318	35,6149	0,0262	0,0265
		0,0085	0,011		0,0076	0,008		0,0106	0,0095
12	38,9395	0,0233	0,0241	38,8638	0,0313	0,0306	38,8447	0,0264	0,0271
		0,0097	0,0064		0,0068	0,0071		0,0053	0,0081

Tabulka 32. Tabulka naměřených a vypočítaných hodnot deformace

Mazivo: AC PL 3802-39LV ($1,2 \pm 0,2 \text{ g m}^{-2}$) + AP 167/22 ($2 \pm 0,2 \text{ g m}^{-2}$). Teplota: $20 \pm 2^\circ\text{C}$

Rychlosť posuvu beranu stroje $v_n = 10 \text{ mm s}^{-1}$. Kontaktní přidržovací tlak $p = 4 \text{ MPa}$.

Materiál čelistí ČSN 19 312 (60 ± 2 HRC). Drsnost nástroje $R_a = 0,26 \mu\text{m}$, $R_z = 2,17 \mu\text{m}$.

č el.	Materiál								
	Salzgitter PRETEX			Sollac EDT			Voest EBT		
	x [mm]	$\varphi_1 [-]$	$\varphi_2 [-]$	x [mm]	$\varphi_1 [-]$	$\varphi_2 [-]$	x [mm]	$\varphi_1 [-]$	$\varphi_2 [-]$
1	0	0,1928	-0,2322	0	0,1831	-0,2418	0	0,1852	-0,2369
		0,0073	0,0088		0,0071	0,0102		0,0077	0,0088
2	3,7747	0,1715	-0,2329	3,7405	0,163	-0,2394	3,7504	0,1662	-0,2359
		0,0075	0,0117		0,0072	0,011		0,0062	0,0105
3	7,4693	0,1499	-0,2178	7,3985	0,1384	-0,2243	7,4242	0,1439	-0,2204
		0,0082	0,0094		0,0048	0,0108		0,0085	0,0121
4	11,4141	0,2981	-0,175	11,283	0,2792	-0,1722	11,334	0,2865	-0,1726
		0,006	0,0106		0,006	0,01		0,0059	0,009
5	15,359	0,2462	-0,1075	15,1675	0,2407	-0,1061	15,2438	0,2434	-0,1072
		0,0078	0,0076		0,0057	0,0074		0,005	0,0085
6	19,2811	0,1942	-0,0509	19,0629	0,186	-0,0536	19,147	0,1873	-0,0544
		0,0068	0,0088		0,0064	0,0063		0,0071	0,0075
7	22,9866	0,1324	-0,0176	22,7455	0,1282	-0,0175	22,8347	0,1297	-0,0193
		0,0037	0,0101		0,0064	0,0091		0,0065	0,01
8	26,4301	0,0468	0,0134	26,1936	0,054	0,0131	26,2802	0,0508	0,0155
		0,0073	0,0069		0,0073	0,0097		0,0079	0,0097
9	29,7013	0,0312	0,0236	29,4799	0,0331	0,0307	29,5593	0,032	0,0303
		0,0063	0,007		0,007	0,0089		0,0093	0,0068
10	32,9388	0,0261	0,0278	32,7313	0,0328	0,033	32,8047	0,0302	0,0305
		0,0098	0,0065		0,0079	0,0083		0,0091	0,0077
11	36,1708	0,0279	0,0291	35,9821	0,0327	0,0339	36,0461	0,0296	0,0295
		0,0072	0,0096		0,009	0,0047		0,0094	0,007
12	39,4027	0,026	0,0269	39,2308	0,0315	0,0319	39,2881	0,0306	0,0292
		0,0075	0,0078		0,0062	0,0088		0,0071	0,0086

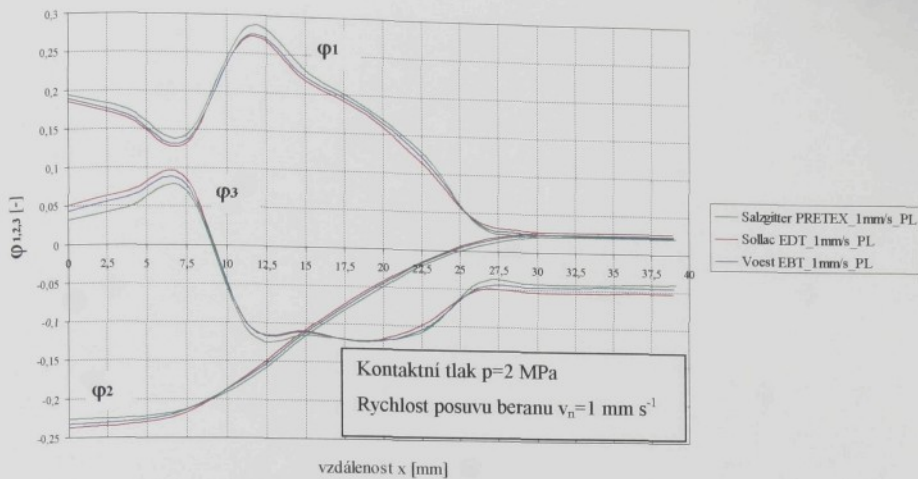
Tabuľka 33. Tabuľka namiešrených a vypočítaných hodnot deformace

Mazivo: AC PL 3802-39LV ($1,2 \pm 0,2 \text{ g m}^{-2}$) + AP 167/22 ($2 \pm 0,2 \text{ g m}^{-2}$). Teplota: $20 \pm 2^\circ\text{C}$

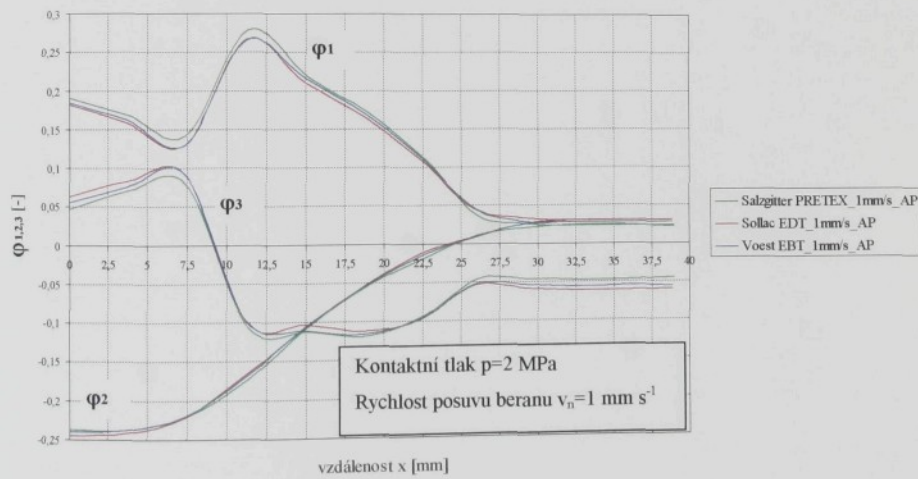
Rychlosť posuvu beranu stroje $v_n = 10 \text{ mm s}^{-1}$. Kontaktní přidržovací tlak $p = 6 \text{ MPa}$.

Materiál čelistí ČSN 19 312 (60 ± 2 HRC). Drsnosť nástroja $R_a = 0,26 \mu\text{m}$, $R_z = 2,17 \mu\text{m}$.

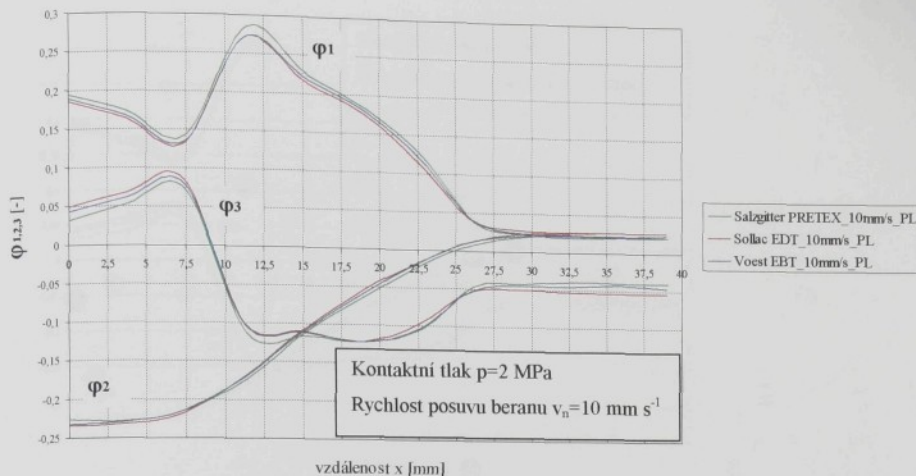
č el.	Materiál								
	Salzgitter PRETEX			Sollac EDT			Voest EBT		
	x [mm]	$\varphi_1 [-]$	$\varphi_2 [-]$	x [mm]	$\varphi_1 [-]$	$\varphi_2 [-]$	x [mm]	$\varphi_1 [-]$	$\varphi_2 [-]$
1	0	0,1981	-0,2275	0	0,185	-0,2354	0	0,1883	-0,2323
	0,0064	0,0103		0,0071	0,0092		0,0055	0,0099	
2	3,7923	0,1755	-0,2269	3,7483	0,1652	-0,2333	3,76	0,1682	-0,234
	0,0068	0,009		0,0052	0,0078		0,0061	0,0076	
3	7,5171	0,1622	-0,2186	7,4242	0,1461	-0,2271	7,4546	0,1532	-0,2225
	0,0072	0,0087		0,0089	0,0078		0,0062	0,0104	
4	11,6209	0,3611	-0,172	11,4587	0,3432	-0,1685	11,5299	0,3558	-0,172
	0,0068	0,0095		0,0063	0,0109		0,0067	0,0072	
5	15,7248	0,2813	-0,1069	15,4931	0,2749	-0,1023	15,6052	0,2776	-0,1042
	0,0082	0,0098		0,0061	0,0079		0,0057	0,0089	
6	19,7738	0,2227	-0,0535	19,5319	0,2242	-0,0526	19,6559	0,2274	-0,0546
	0,0096	0,0078		0,0068	0,0084		0,007	0,0091	
7	23,5627	0,148	-0,0125	23,3291	0,1509	-0,0146	23,4606	0,1516	-0,0125
	0,0078	0,0081		0,006	0,0057		0,0054	0,0081	
8	27,0633	0,0641	0,0138	26,852	0,0741	0,0119	26,977	0,0696	0,0132
	0,0074	0,0086		0,0057	0,0087		0,0079	0,0054	
9	30,3654	0,0326	0,0226	30,1834	0,0401	0,0288	30,2986	0,0388	0,0264
	0,0044	0,0059		0,0072	0,0072		0,0087	0,0072	
10	33,6064	0,0269	0,0283	33,4523	0,0365	0,0367	33,5571	0,0315	0,0312
	0,0101	0,0069		0,006	0,0059		0,0071	0,0071	
11	36,8413	0,0289	0,028	36,7157	0,0367	0,0367	36,806	0,0329	0,0327
	0,0076	0,0058		0,0074	0,0074		0,0084	0,0071	
12	40,077	0,0274	0,0281	39,9797	0,0369	0,0357	40,0556	0,0319	0,0324
	0,006	0,0066		0,0094	0,0086		0,0064	0,0076	

Rozvoj deformace zjištěný experimentálním způsobem

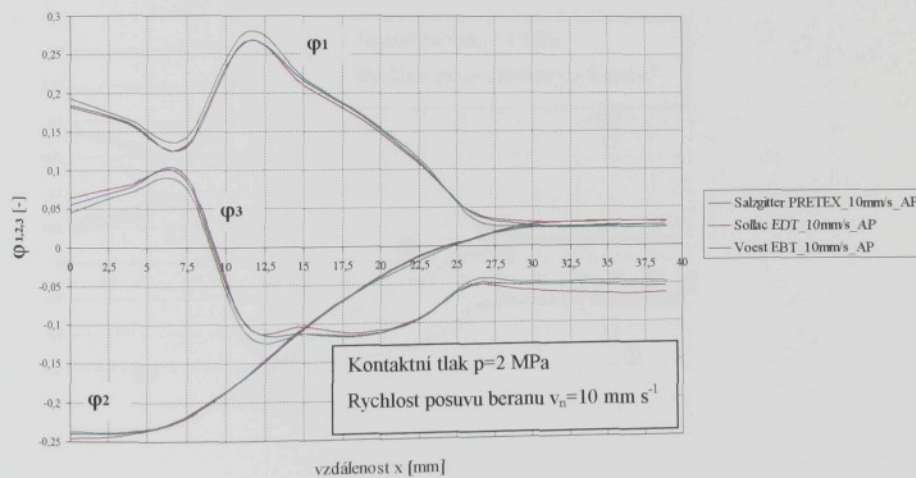
Obr.10.1.4.1.. Průběh deformace u testovaných materiálů zjištěný na výlisku sacího koše

Rozvoj deformace zjištěný experimentálním způsobem

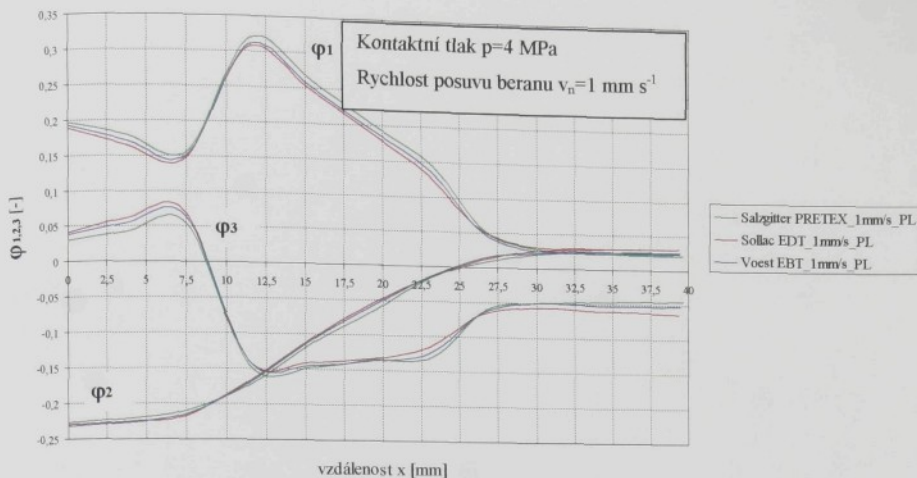
Obr.10.1.4.2.. Průběh deformace u testovaných materiálů zjištěný na výlisku sacího koše

Rozvoj deformace zjištěný experimentálním způsobem

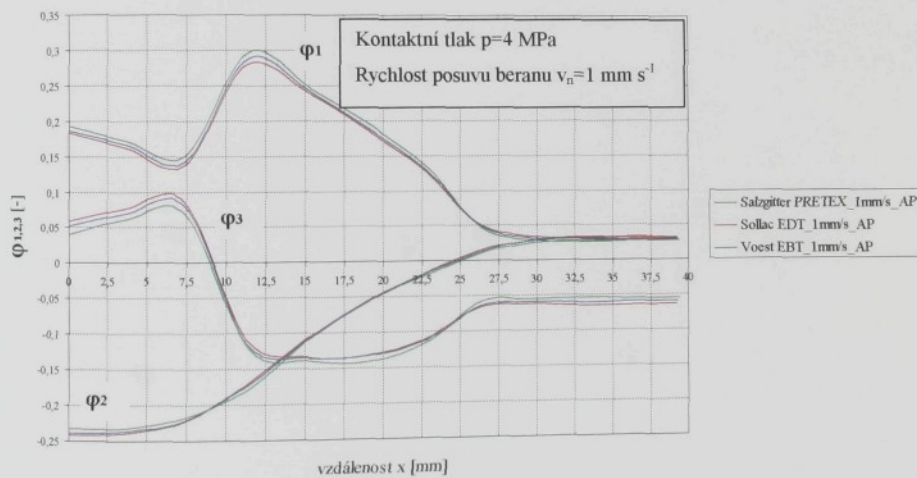
Obr.10.1.4.3.. Průběh deformace u testovaných materiálů zjištěný na výlisku sacího koše

Rozvoj deformace zjištěný experimentálním způsobem

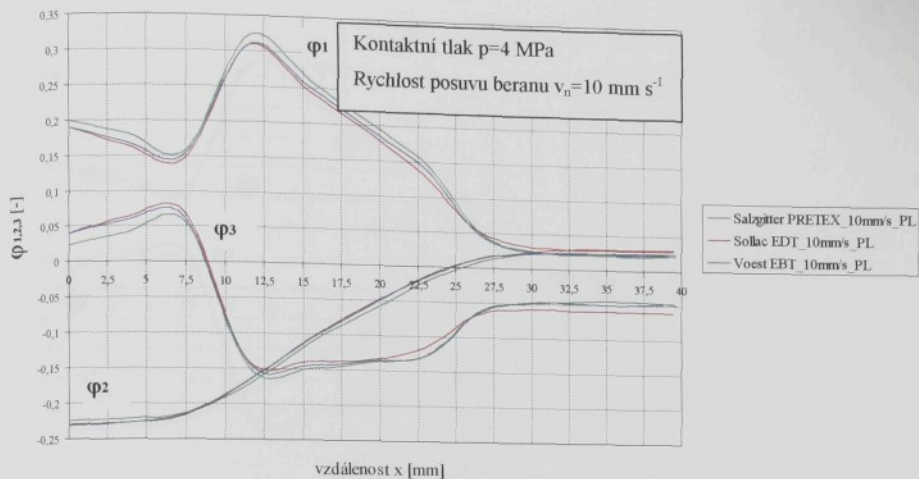
Obr.10.1.4.4.. Průběh deformace u testovaných materiálů zjištěný na výlisku sacího koše

Rozvoj deformace zjištěný experimentálním způsobem

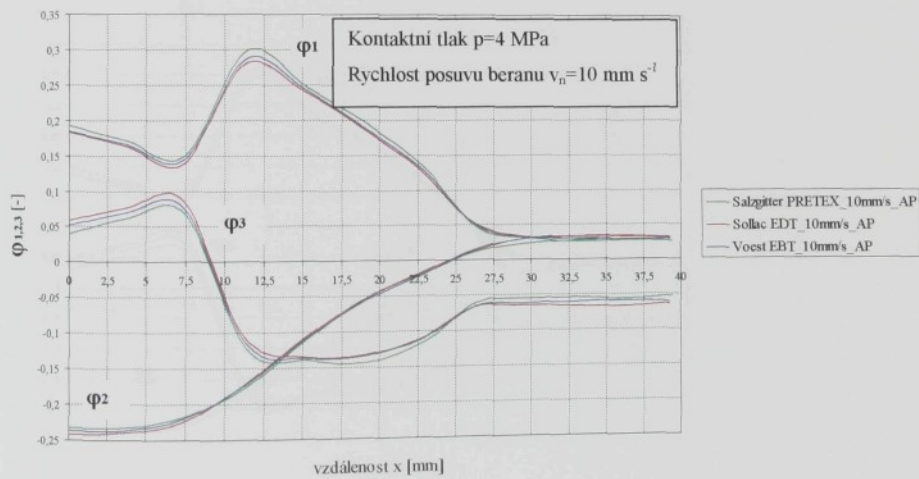
Obr.10.1.4.5.. Průběh deformace u testovaných materiálů zjištěný na výlisku sacího koše

Rozvoj deformace zjištěný experimentálním způsobem

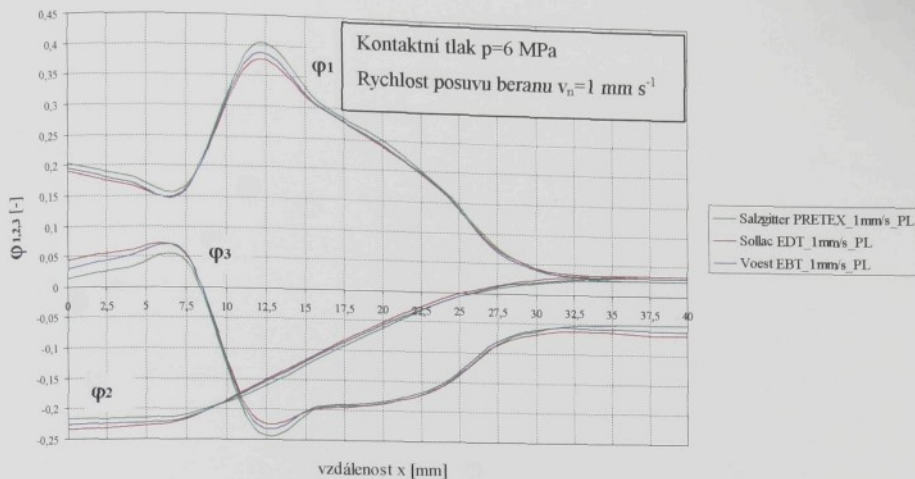
Obr.10.1.4.6.. Průběh deformace u testovaných materiálů zjištěný na výlisku sacího koše

Rozvoj deformace zjištěný experimentálním způsobem

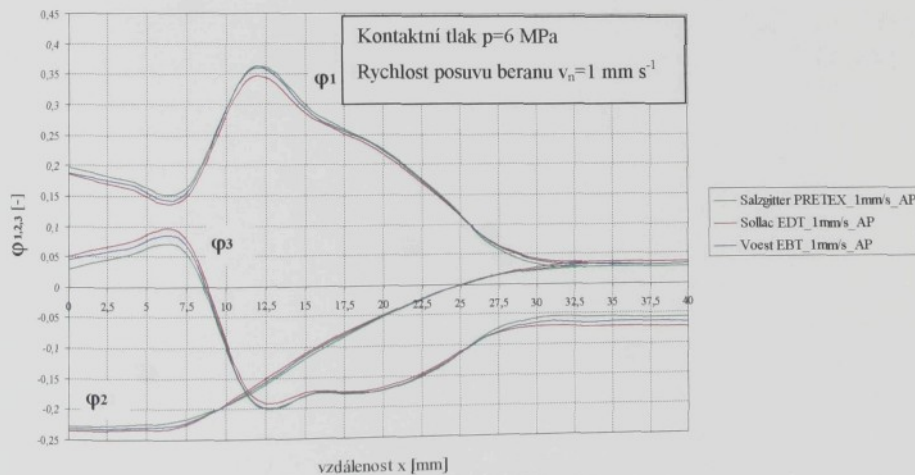
Obr.10.1.4.7.. Průběh deformace u testovaných materiálů zjištěný na výlisku sacího koše

Rozvoj deformace zjištěný experimentálním způsobem

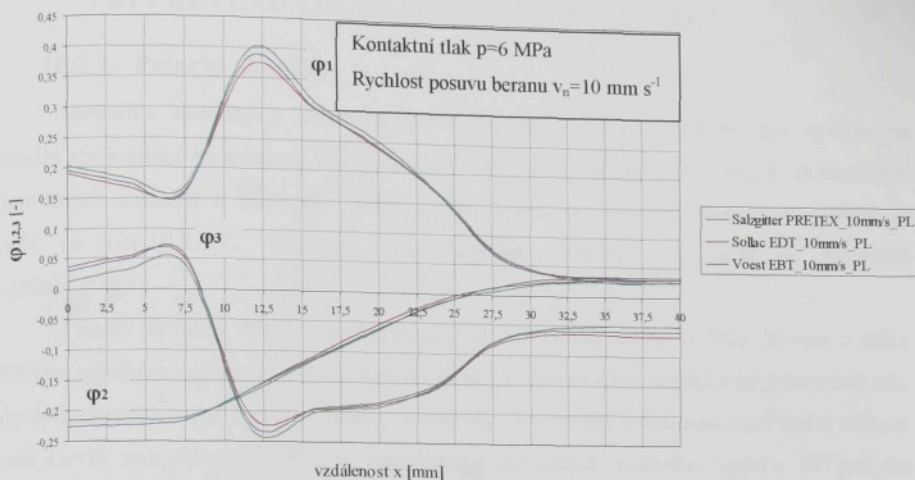
Obr.10.1.4.8.. Průběh deformace u testovaných materiálů zjištěný na výlisku sacího koše

Rozvoj deformace zjištěný experimentálním způsobem

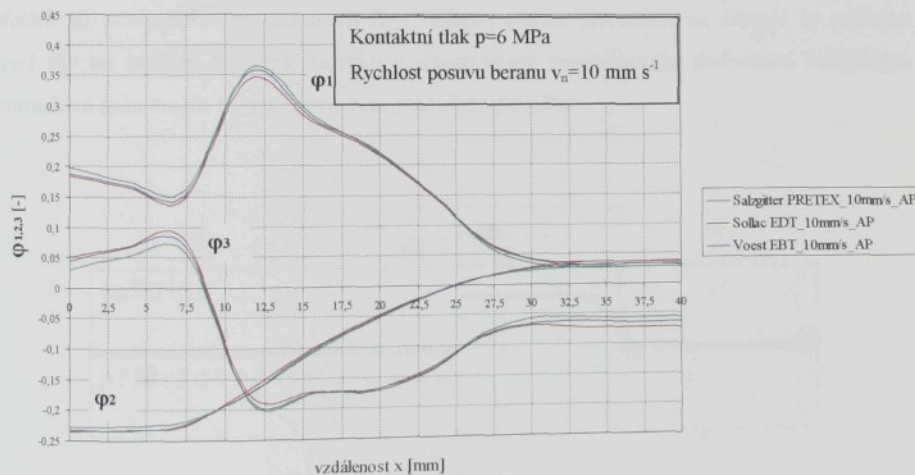
Obr.10.1.4.9.. Průběh deformace u testovaných materiálů zjištěný na výlisku sacího koše

Rozvoj deformace zjištěný experimentálním způsobem

Obr.10.1.4.10.. Průběh deformace u testovaných materiálů zjištěný na výlisku sacího koše

Rozvoj deformace zjištěný experimentálním způsobem

Obr.10.1.4.11. Průběh deformace u testovaných materiálů zjištěný na výlisku sacího koše

Rozvoj deformace zjištěný experimentálním způsobem

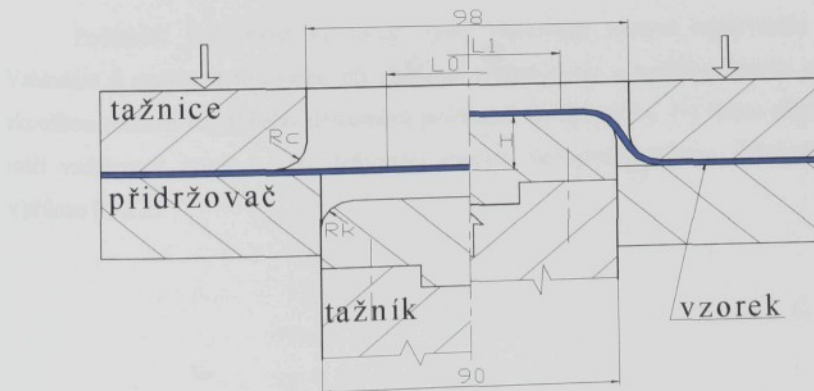
Obr.10.1.4.12.. Průběh deformace u testovaných materiálů zjištěný na výlisku sacího koše

10.2. EXPERIMENTÁLNÍ ZJIŠTĚNÍ DEFORMACE MATERIÁLU PŘI PŘEVLÁDAJÍCÍM VYPÍNÁNÍ MATERIÁLU

10.2.1. Princip zkoušky

Metodika zkoušky a zkušební přípravek pro zkoušku vypínáním byl vyvinut na katedře strojírenské technologie TU v Liberci a slouží pro hodnocení tribologických vlastností testovaných mazadel a materiálů. Schéma zkušebního zařízení pro zkoušku vypínáním je vidět na obr.10.2.1.1.. Přípravek pro zkoušku vypínáním je vidět na fotografii v příloze P32.1..

Princip zkoušky spočívá ve vypínání pásku (vzorku) plechu o šířce 30 mm a délce 200 mm tažníkem s plochým čelem. Vzorek je pevně sevřen mezi tažnicí a přidržovačem tak, aby nedocházelo v této oblasti k posuvu materiálu. Na vzorku je vyznačen počáteční měřený úsek $L_0=50$ mm, který slouží pro vyhodnocení deformace měřeného vzorku. Při pohybu tažníku dochází k vypínání plechu mimo oblast sevření při současných posuvech na čele tažníku a jeho tažných hranách o poloměru R_K . Hloubka tažení H je volena jako konstantní pro daný soubor porovnávacích zkoušek tak, aby nedošlo k lomu v okrajových oblastech mezi tažnými rádiusy R_C a R_K . Hlavním faktorem ovlivňujícím míru vypínání plechu je velikost třecích sil vznikajících na rádiusech R_K . Velikost stupně přetvoření se zvyšuje se snížením třecí sily na rádiusu R_K , čele tažníku a s rostoucími materiálovými hodnotami koeficientu normálové anizotropie a exponentu deformačního zpevnění.



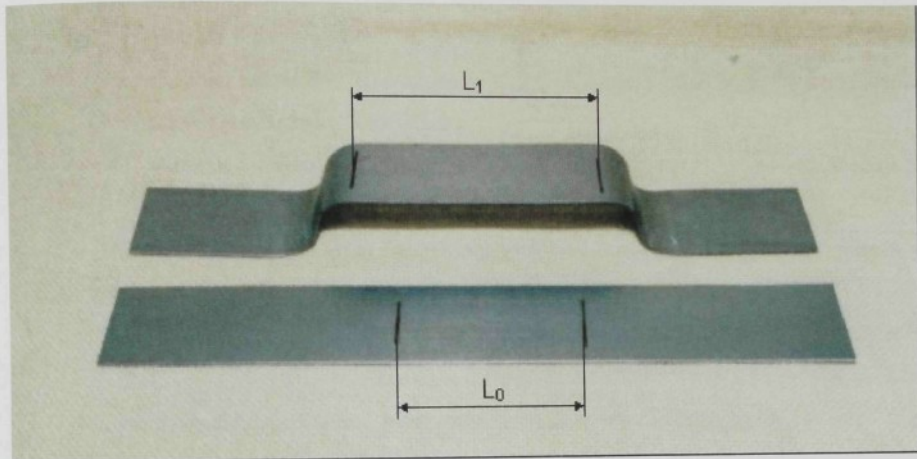
Obr.10.2.1.1.. Schéma zkušebního zařízení pro zkoušku vypínáním.

Kriteriem pro vyhodnocení zkoušky je stupeň přetvoření φ_1 v měřeném úseku na vzorku (viz. obr. 10.2.1.2.) spočítaný dle vztahu (199)

$$\varphi_1 = \ln \frac{L_1}{L_0}, \quad (199)$$

kde L_0 je měřený úsek před deformací

L_1 je měřený úsek po deformaci.



Obr. 10.2.1.2.. Vzorek před a po deformaci při zkoušce vypínáním

Počáteční vzdálenost L_0 určují rysky zhotovené pomocí orýsovacího přípravku. Vzhledem k malým deformacím při zkoušce vypínáním je u každého vzorku před vlastní zkouškou měřena na Abbeho délkoměru počáteční vzdálenost L_0 . Na tomto přístroji se také měří vzdálenost rysek L_1 po deformaci vzorku. Fotografie Abbeho délkoměru je vidět v příloze P32.2..

10.2.2. Podmínky zkoušky

Technologické podmínky experimentu byly voleny v návaznosti na již provedené zkoušky a parametry pro zkoušku vypínáním byly voleny takto:

1. Experiment byl realizován pro materiály Salzgitter PRETEX, Sollac EDT a Voest EBT, celé označení materiálů je uvedeno v kapitole 7..
2. Experiment byl realizován na starším hydraulickém lisu CBA 300, kde není možnost nastavení rychlosti posuvu beranu stroje a proto rychlosť posuvu nástroje při vypínání byla cca $v_n = 15 \text{ mm s}^{-1}$.
3. Hloubka tažení $H = 20 \text{ mm}$, poloměr tažné hrany tažnice $R_C = 10 \text{ mm}$, poloměr tažné hrany tažníku $R_K = 10 \text{ mm}$.
4. Materiál činných ploch nástroje ČSN 42 2306, drsnost činných ploch nástroje $R_a = 0,24 \mu\text{m}$, $R_z = 1,96 \mu\text{m}$.
5. Použité mazivo
 - a) prací olej Anticorit AC PL 3802-39LV, množství maziva $1,2 \pm 0,2 \text{ g m}^{-2}$
 - b) prací olej Anticorit AC PL 3802-39LV ($1,2 \pm 0,2 \text{ g m}^{-2}$) v kombinaci s tažným olejem AP 167/22 ($2 \pm 0,2 \text{ g m}^{-2}$).

Nanášení maziva na vzorky bylo totožné jako v případě tribologických testů a je popsáno v kapitole 9.2.3..

10.2.3. Výsledky měření

Vzhledem k předpokládaným malým deformacím vzorku ve zkoumané oblasti byl počet zhotovených vzorků pro každou kombinaci technologických podmínek volen na $n = 40$ vzorků. Tento počet by měl být dostačující i pro objektivní statistické vyhodnocení výsledků.

Vypočítané hodnoty deformace pro jednotlivé testované kombinace jsou zaznamenány v tabulce 34, kde jsou uvedeny střední hodnoty naměřených deformací spolu s odpovídajícími výběrovými směrodatnými odchylkami. Z naměřených a vypočítaných hodnot je sestrojen sloupový graf deformace pro jednotlivé testované materiály. Tento graf je vidět na obr. 10.2.3.1.. Jednotlivá měření deformace pro testované materiály a mazadla jsou uložena v elektronické formě na přiloženém CD.

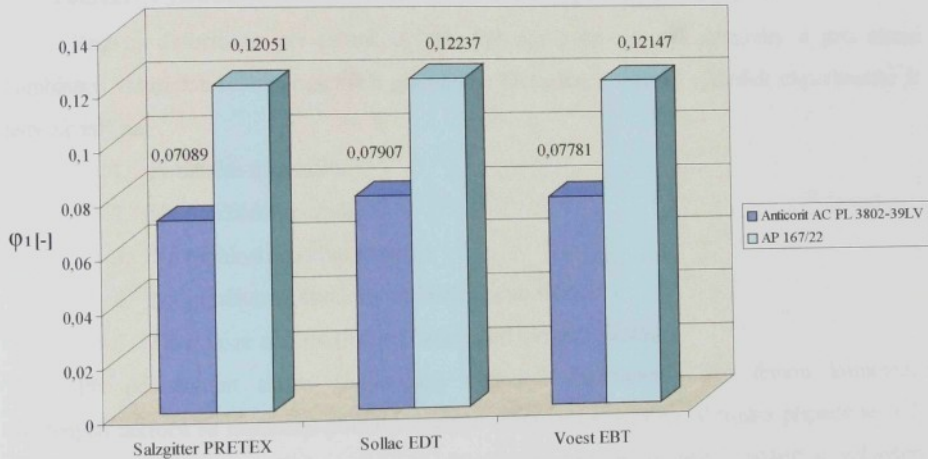
Statistické vyhodnocení experimentu a rozbor výsledků měření je proveden v kapitole 10.3..

Tabulka 34. Výsledky měření deformace pomocí zkoušky vypínáním pásku

Rychlosť posuvu beranu stroje $v_n=15 \text{ mm s}^{-1}$. Teplota: $20\pm2^\circ\text{C}$ Materiál čelistí ČSN 42 2306. Drsnost nástroje $\text{Ra}=0,24 \mu\text{m}$, $\text{Rz}=1,96 \mu\text{m}$.

Mazivo	Deformace $\varphi_1 [-]$		
	Salzgitter PRETEX	Sollac EDT	Voest EBT
AC PL 3802-39LV	0,070887 0,00289	0,079067 0,002257	0,077811 0,00241
AP 167/22	0,120506 0,003	0,122368 0,002049	0,121465 0,00229

Deformace zjištěná vypínáním vzorku



Obr.10.2.3.1.. Sloupcový graf velikosti deformace při zkoušce vypínáním

10.3. STATISTICKÉ ZPRACOVÁNÍ A ROZBOR VÝSLEDKŮ MĚŘENÍ

Cílem experimentální části disertační práce bylo zjistit vliv morfologie povrchu plechu na rozvoj deformace při tažení výlisku jednoduchého tvaru a při zkoušce vypínáním. Statistické vyhodnocení naměřených dat bylo realizováno s pomocí software Microsoft Excel, kde najdeme základní statistické testy o přijetí či zamítnutí testovaných hypotéz.

Charakter prováděného experimentu a značné množství naměřených dat by však vyžadovalo použití specializovaného programu pro vyhodnocení experimentu jako je např. program Statistica. Tento zajisté užitečný prostředek pro vyhodnocení experimentu však není na katedře strojírenské technologie k dispozici a vzhledem k finančním možnostem školy asi ani nebude.

10.3.1. Vyhodnocení výsledků deformace zjištěných tažením

Rozvoj deformace při tažení výlisku byl zjišťován pro tři materiály a pro různé kombinace vstupních technologických podmínek. Deformace a tím i výsledek experimentu je tedy závislý na:

1. Použitém materiálu.
2. Na použitém mazadlu.
3. Na rychlosti posuvu nástroje.
4. Na použitém kontaktním přidržovacím tlaku.
5. Na poloze měření (na vzdálenosti od okraje výlisku).

Při posuzování shody (odlišnosti) výsledků experimentu pro danou kombinaci uvedených faktorů se nejčastěji používá analýza rozptylu (ANOVA). V tomto případě se tedy jedná o pětifaktorovou analýzu rozptylu. Toto vyhodnocení je velmi složité a vzhledem k omezeným výpočetním možnostem nebylo realizováno.

Pokud označíme testované materiály jako faktor A a odlehlosť x jako faktor B, může být použita pro vyhodnocení experimentu dvoufaktorová analýza rozptylu. Faktor A má pak několik úrovní v závislosti na měněných technologických podmínkách. Faktor B má vždy dvanáct úrovní (dvanáct měřených elementů). Kombinace úrovní faktorů tvoří typickou mřížkovou strukturu, jejímž elementem je tzv. celá. Platí, že (i, j)-tá celá odpovídá kombinaci A_i faktoru A a B_j faktoru B a v každé cele je obecně n_{ij} pozorování. V našem případě počet měření v každé cele je konstantní a je roven $n=30$. Vzhledem k tomu, že nás zajímají pouze

rozdíly mezi danými úrovněmi a počet vzorků byl pro každou kombinaci faktoru A a B stejný ($n=30$), jedná se o dvoufaktorovou analýzu rozptylu s vyváženým modelem a pevnými efekty.

Pro posouzení shody (odlišností) výsledků naměřených dat se nejčastěji používá Fischerovo kriterium, které vychází ze součtu čtverců odchylek. V případě, že je výsledná hodnota Fischerova kriteria pro daný faktor vyšší než kritická hodnota Fischerova rozdělení (na zvolené hladině významnosti a pro dané stupně volnosti), pak uvedený faktor můžeme brát jako statisticky významný. Podrobné matematické vyjádření této analýzy je uvedeno v [32].

Při statistickém vyhodnocení jsou, tak jako v předcházejících kapitolách, použity při označování materiálů a mazadel zkrácené názvy (viz kapitola 10.1.4.)

Veškeré statistické testy jsou provedeny pro hladinu významnosti $\alpha = 5\%$.

10.3.1.1. Vliv přidržovacího tlaku na rozvoj deformace

Pomocí dvoufaktorové analýzy rozptylu (ANOVA) byl testován vliv přidržovacího tlaku na rozvoj deformace. Statistická významnost jednotlivých faktorů na rozvoj deformace je hodnocena vždy pro φ_1 a φ_2 odděleně. Materiálový faktor A má v tomto případě tři úrovně, kdy byly pro daný materiál posuzovány rozdíly deformace φ_1 a φ_2 při kontaktním tlaku $p=2, 4, 6 \text{ MPa}$. Výsledky statistického testu jsou uvedeny v tabulce 35, kde jsou uvedeny hodnoty Fischerova kriteria F. V tabulce je také uvedena kritická hodnota tohoto rozdělení pro dané stupně volnosti. V případě, že je výsledná hodnota Fischerova kriteria pro daný faktor vyšší než kritická hodnota Fischerova rozdělení (na zvolené hladině významnosti a pro dané stupně volnosti), pak uvedený faktor můžeme brát jako statisticky významný. Statisticky významné hodnoty Fischerova kriteria jsou zvýrazněny červeně, statisticky nevýznamné hodnoty Fischerova kriteria jsou zvýrazněny modře

Tabulka 35. Hodnoty Fischerova testovacího kriteria při analýze rozptylu

$F_{kri}=3,004345, \alpha=5\%$						
	Salzgitter PRETEX		Sollac EDT		Voest EBT	
	$\varphi_1 [-]$	$\varphi_2 [-]$	$\varphi_1 [-]$	$\varphi_2 [-]$	$\varphi_1 [-]$	$\varphi_2 [-]$
PL_1mm/s	1239,4	13,16	2599,12	12,77	2152,97	9,14
PL_10mm/s	1402,01	14,90	2509,46	20,3	2095,71	6,32
AP_1mm/s	1223,66	13,03	1429,69	11,02	1540,75	7,88
AP_10mm/s	1155,61	12,32	1395,05	12,79	1427,17	10,06

Z výsledků dvoufaktorové analýzy rozptýlu vyplývá zřejmý vliv přidržovacího tlaku p na rozvoj deformace φ_1 a φ_2 pro všechny kombinace testovaných materiálů, mazadel a rychlosti posuvu. Z tabulky 35 je patrné, že ve všech případech je Fischerovo testovací kriterium větší než kritická hodnota Fischerova rozdělení a z tohoto důvodu lze považovat přidržovací tlak jako významný faktor při rozvoji deformace φ_1 a φ_2 . Z výsledku je dále zřejmé, že přidržovací tlak má rozhodující vliv na velikost deformace φ_1 , kdy testovací hodnota Fischerova kriteria F ve všech případech řádově převyšuje kritickou hodnotu F_{krit} . Podstatně menší vliv má přidržovací tlak na velikost deformace φ_2 , kdy testovací kriterium převyšuje kritickou hodnotu „pouze“ několikanásobně.

Fakt, že rozvoj deformace bude silně závislý na velikosti přidržovacího tlaku se dal očekávat a v tomto případě nejde o překvapivý výsledek. Je známo, že velikost přidržovacího tlaku má rozhodující vliv na výsledek tažení. Z tohoto důvodu bude vliv ostatních faktorů (vliv morfologie povrchu plechu, vliv mazadla a vliv rychlosti posuvu plechu) na rozvoj deformace při tažení plechu posuzován vždy při konstantním přidržovacím tlaku.

10.3.1.2. Vliv morfologie povrchu plechu na rozvoj deformace

V této části disertační práce bude pro každou kombinaci rychlosti posuvu materiálu a použitého maziva analyzován pomocí dvoufaktorové ANOVA vliv morfologie povrchu plechu na rozvoj deformace. Při potvrzení statistické hypotézy, že testované materiály mají při daných technologických podmínkách vliv na rozvoj deformace, jsou dále testovány interakce mezi jednotlivými materiály a tímto způsobem se určí vliv jednotlivých typů morfologie povrchu plechu na rozvoj deformace.

Výsledky statistických testů jsou uvedeny v tabulce 36 až tabulce 38, kde jsou uvedeny hodnoty Fischerova kriteria F. Vyhodnocení statistického testu probíhá obdobně jako v předcházející kapitole. Význam jednotlivých zkrátek použitých v tabulkách je následující:

- materiál Salzgitter PRETEX - označen jako MP
- materiál Sollac EDT – označen jako MS
- materiál Voest EBT – označen jako MV
- interakce mezi Salzgitter PRETEX a Sollac EDT a Voest EBT – označena jako I P-S-V (základní testovací kriterium)
- interakce mezi Salzgitter PRETEX a Sollac EDT – označena jako I P-S
- interakce mezi Sollac EDT a Voest EBT – označena jako I S-V
- interakce mezi Voest EBT a Salzgitter PRETEX – označena jako I V-P

Tabulka 36. Hodnoty Fischerova testovacího kriteria při analýze rozptylu

 $F_{krit}=3,004345$ (pro základní test I P-S-V), $\alpha=5\%$ $F_{krit}=3,854851$ (pro interakce mezi materiály), $\alpha=5\%$

Technologické podmínky	Základní test I P-S-V					
	$\varphi_1 [-]$			$\varphi_2 [-]$		
PL_1mm/s p=2 MPa	12,936			3,837		
	I P-S	I S-V	I V-P	I P-S	I S-V	I V-P
	18,033	0,673	13,689	7,587	1,316	2,511
PL_10mm/s p=2 MPa	14,879			6,467		
	I P-S	I S-V	I V-P	I P-S	I S-V	I V-P
	23,287	1,400	15,033	13,159	4,171	2,486
AP_1mm/s p=2 MPa	5,553			5,443		
	I P-S	I S-V	I V-P	I P-S	I S-V	I V-P
	9,885	0,509	5,919	8,911	0,202	6,390
AP_10mm/s p=2 MPa	4,747			2,215		
	I P-S	I S-V	I V-P	I P-S	I S-V	I V-P
	4,954	0,499	8,346	-	-	-

Z naměřených výsledků (při použití kontaktního tlaku p=2 MPa) vyplývá, že morfologie povrchu plechu má ve všech případech (až na jednu výjimku u deformace φ_2 při AP_10mm/s, p=2MPa) vliv na rozvoj deformace při tažení výlisku. Při podrobnějším sledování a provedení interakcí mezi jednotlivými materiály dospejeme k závěru, že na výsledek ANOVA má značný vliv materiál Salzgitter PRETEX. Interakce mezi materiálem Sollac EDT a materiálem Voest EBT vycházejí samostatně jako nevýznamné (opět až na jednu výjimku, kdy je výsledek na hranici významnosti) a tyto materiály tedy ze statistického hlediska mají stejný vliv na rozvoj deformace při tažení výlisku.

Tabulka 37. Hodnoty Fischerova testovacího kriteria při analýze rozptylu

 $F_{krit}=3,004345$ (pro základní test I P-S-V), $\alpha=5\%$ $F_{krit}=3,854851$ (pro interakce mezi materiály), $\alpha=5\%$

Technologické podmínky	Základní test I P-S-V					
	$\varphi_1 [-]$			$\varphi_2 [-]$		
PL_1mm/s p=4 MPa	31,847			6,910		
	I P-S	I S-V	I V-P	I P-S	I S-V	I V-P
	55,063	1,334	36,157	13,488	4,087	3,023
PL_10mm/s p=4 MPa	41,464			5,895		
	I P-S	I S-V	I V-P	I P-S	I S-V	I V-P
	66,268	0,139	53,095	12,021	1,512	4,862
AP_1mm/s p=4 MPa	17,136			0,0127		
	I P-S	I S-V	I V-P	I P-S	I S-V	I V-P
	32,909	3,719	14,258	-	-	-
AP_10mm/s p=4 MPa	20,123			2,215		
	I P-S	I S-V	I V-P	I P-S	I S-V	I V-P
	40,617	3,788	17,17	-	-	-

Z naměřených výsledků (při použití kontaktního tlaku p=4 MPa) vyplývá, že morfologie povrchu plechu má ve všech případech vliv na velikost deformace φ_1 při tažení výlisku. Při sledování deformace φ_2 je vliv morfologie povrchu plechu patrný pouze při použití pracího oleje Anticorit AC PL 3802-39 LV. Při použití tažného oleje AP 167/22 se vliv morfologie povrchu plechu na rozvoj deformace φ_2 ztrácí. Interakce mezi materiály Sollac EDT a Voest EBT vycházejí samostatně opět jako nevýznamné a rozvoj deformace těchto materiálů je tedy ze statistického hlediska shodný.

Tabulka 38. Hodnoty Fischerova testovacího kriteria při analýze rozptyluF_{krit}=3,004345 (pro základní test I P-S-V), $\alpha=5\%$ F_{krit}=3,854851 (pro interakce mezi materiály), $\alpha=5\%$

Technologické podmínky	Základní test I P-S-V						
	$\varphi_1 [-]$			$\varphi_2 [-]$			
PL_1mm/s p=6 MPa	34,616			1,024			
	I P-S	I S-V	I V-P	I P-S	I S-V	I V-P	
	53,058	0,011	44,535	-	-	-	
PL_10mm/s p=6 MPa	26,605			7,471			
	I P-S	I S-V	I V-P	I P-S	I S-V	I V-P	
	45,197	1,330	29,138	6,994	0,945	16,943	
AP_1mm/s p=6 MPa	8,252			1,179			
	I P-S	I S-V	I V-P	I P-S	I S-V	I V-P	
	14,696	8,095	1,515	-	-	-	
AP_10mm/s p=6 MPa	3,156			2,000			
	I P-S	I S-V	I V-P	I P-S	I S-V	I V-P	
	5,132	4,313	0,082	-	-	-	

Z naměřených výsledků (při použití kontaktního tlaku p=6 MPa) vyplývá, že morfologie povrchu plechu má ve všech případech vliv na velikost deformace φ_1 při tažení výlisku. Při sledování deformace φ_2 je vliv morfologie povrchu plechu na rozvoj deformace patrný pouze při nastavení technologických podmínek p=6 MPa, rychlosť posuvu beranu stroje $v=10 \text{ mm s}^{-1}$ a použití pracího oleje Anticorit AC PL 3802-39 LV. Je ovšem otázkou zda se v tomto případě nejednalo o chybu měření (špatně nastavené technologické podmínky?). Při použití tažného oleje AP 167/22 se vliv morfologie povrchu plechu na rozvoj deformace φ_2 ztrácí. Interakce mezi materiály Sollac EDT a Voest EBT vycházejí při použití pracího oleje samostatně opět jako nevýznamné a rozvoj deformace těchto materiálů je tedy ze statistického hlediska shodný. Posun nastává v okamžiku použití tažného oleje. Z interakcí vyplývá, že ze statistického hlediska jsou tyto interakce nevýznamné v případě materiálů Voest EBT a Salzgitter PRETEX. Naměřený průběh deformace φ_1 pro materiál Voest EBT se tedy „posunuje“ ke křivce Salzgitter PRETEX.

10.3.1.3. Vliv mazadla na rozvoj deformace při tažení výlisku

Pomocí dvoufaktorové ANOVA byl hodnocen vliv použitého maziva na rozvoj deformace při dodržení stejných technologických podmínek (rychlosť posuvu nástroje, kontaktní tlak). V tomto případě se tedy jedná o dvoufaktorovou analýzu rozptylu, kde faktor A má pouze dvě úrovně (deformace při použití maziva PL a deformace při použití maziva AP). Odpadají tak interakce mezi jednotlivými úrovněmi. Výsledky statistických testů jsou uvedeny v tabulce 39, kde jsou uvedeny hodnoty Fischerova kriteria F.

Tabulka 39. Hodnoty Fischerova testovacího kriteria při analýze rozptylu

F _{krit} =3,854851, α=5%						
	Salzgitter PRETEX		Sollac EDT		Voest EBT	
	φ ₁ [-]	φ ₂ [-]	φ ₁ [-]	φ ₂ [-]	φ ₁ [-]	φ ₂ [-]
p=2 MPa v=1mm s ⁻¹	16,645	0,082	9,630	0,004	10,344	0,402
p=2 MPa v=10mm s ⁻¹	25,92	0,794	8,391	0,588	22,748	0,20
p=4 MPa v=1mm s ⁻¹	84,842	0,258	66,416	11,975	47,785	2,101
p=4 MPa v=10mm s ⁻¹	77,897	0,655	62,411	7,337	29,47	0,091
p=6 MPa v=1mm s ⁻¹	396,43	0,524	416,409	0,59	279,159	0,105
p=6 MPa v=10mm s ⁻¹	404,342	0,248	352,896	3,788	287,06	0,462

Z naměřených hodnot a výsledků analýzy rozptylu můžeme konstatovat, že použité mazivo má podstatný vliv na velikost deformace φ₁. S rostoucím přidržovacím tlakem tento vliv roste. Použité mazivo nemá rozhodující vliv na velikost deformace φ₂ měřenou v rámci experimentu. Tento fakt platí pouze pro prováděný experiment v rámci disertační práce a výsledek deformace φ₂ je ovlivněn tvarem použitého výlisku a výběrem polohy měření rozvoje deformace na výlisku. Při deformaci reálného výlisku bude použité mazadlo výrazně

ovlivňovat jak deformaci φ_1 , tak i deformaci φ_2 . Výrazný vliv použitého maziva na rozvoj deformace je dán podstatou a technologickým určením použitých maziv.

10.3.1.4. Vliv rychlosti posuvu materiálu na rozvoj deformace

Pomocí dvoufaktorové ANOVA byl hodnocen vliv rychlosti posuvu materiálu na rozvoj deformace při tažení výlisku. V tomto případě se tedy jedná o dvoufaktorovou analýzu rozptylu, kde faktor A má pouze dvě úrovně (deformace materiálu při rychlosti posuvu $v=1$ a 10 mm s^{-1}) Vliv rychlosti posuvu byl testován vždy pro stejné technologické podmínky. Odpadají tak interakce mezi jednotlivými úrovněmi. Výsledky statistických testů jsou uvedeny v tabulce 40, kde jsou uvedeny hodnoty Fischerova kriteria F.

Tabulka 40. Hodnoty Fischerova testovacího kriteria při analýze rozptylu

F _{krit} =3,854851, $\alpha=5\%$						
	Salzgitter PRETEX		Sollac EDT		Voest EBT	
	φ_1 [-]	φ_2 [-]	φ_1 [-]	φ_2 [-]	φ_1 [-]	φ_2 [-]
Mazivo PL $p=2 \text{ MPa}$	0,0046	0,101	0,0096	0,4303	0,232	0,076
Mazivo AP $p=2 \text{ MPa}$	0,304	0,765	0,072	0,0023	1,315	1,137
Mazivo PL $p=4 \text{ MPa}$	0,052	0,103	0,116	0,0008	1,133	0,03
Mazivo AP $p=4 \text{ MPa}$	0,492	0,403	0,025	0,492	0,057	0,903
Mazivo PL $p=6 \text{ MPa}$	0,0033	0,0195	0,0202	3,191	0,826	1,03
Mazivo AP $p=6 \text{ MPa}$	1,592	0,198	0,056	0,444	0,198	0,0044

Z výsledků ANOVA je patrné, že při experimentu použitá rychlosť ($v_n=1$ a 10 mm s^{-1}) posuvu beranu stroje a tomu odpovídající rychlosť posuvu materiálu v nástroji nemá pro žádnou kombinaci technologických podmínek vliv na rozvoj deformace při tažení výlisku. Tento zjištěný fakt je v konfrontaci s prováděnými tribologickými testy poměrně zajímavý,

neboť při provádění tribologického testu zkouškou protahováním pásku má rychlosť posuvu materiálu rozhodující vliv na velikosť koeficientu tření. Dalo by se očekávat, že při malých rychlostech posuvu materiálu v nástroji bude docházet k „zadírání“ materiálu, nárůstu koeficientu tření a lokalizaci deformace na výlisku. Z tohoto pohledu je význam dnes prováděných tribologických testů poněkud diskutabilní a výsledky těchto testů nemusí úplně přesně charakterizovat skutečné procesy vznikající v průběhu reálného tažení výlisku.

10.3.2. Vyhodnocení výsledků deformace zjištěných vypínáním

Vzhledem k tomu, že deformace vzorku byla měřena pouze jako diskrétní hodnota pro každý vzorek a není tedy závislá na poloze měření, je statistické vyhodnocení výsledků měření provedeno pomocí jednofaktorové analýzy rozptylu. Jsou tak vždy pro danou kombinaci technologických podmínek (v tomto případě se jednalo pouze o změnu mazadla) porovnávány statisticky významné, či nevýznamné, odchylinky deformace mezi jednotlivými materiály s různou morfologií povrchu.

Výsledky statistických testů jsou uvedeny v tabulce 41, kde jsou uvedeny hodnoty Fischerova testovacího kriteria F.

Tabulka 40. Hodnoty Fischerova testovacího kriteria při analýze rozptylu

Základní test I P-S-V			
Technologické podmínky	$\phi_1 [-]$		
Mazivo PL	120,927		
	I P-S	I S-V	I V-P
	199,046	5,791	135,388
Mazivo AP	5,656		
	I P-S	I S-V	I V-P
	10,542	3,456	2,591

Z naměřených výsledků je patrné, že morfologie povrchu má vliv na rozvoj deformace materiálu při zkoušce vypínáním. Statisticky významné odlišnosti deformace mezi materiály byly naměřené jak při použití pracího oleje Anticorit AC PL 3802-39LV, tak i při použití

tažného oleje AP 167/22. Z tabulky výsledků Fischerova testovacího kriteria F je však patrné, že při použití pracího oleje je vliv morfologie povrchu plechu na rozvoj deformace daleko výraznější než při použití tažného oleje. Při sledování vzájemných interakcí jednotlivých materiálů vidíme, že při použití pracího oleje jsou i interakce mezi jednotlivými materiály statisticky významné. Při použití tažného oleje je statisticky významná interakce pouze mezi materiélem Salzgitter PRETEX a Sollac EDT. Zbylé dvě interakce jsou statisticky nevýznamné. Výsledek testu (interakce P-S-V) tedy ovlivňuje deformace zjištěná u materiálu Salzgitter PRETEX.

Z naměřených výsledků deformace při zkoušce vypínáním je na první pohled zřejmý vliv použitého mazadla na velikost deformace a tento vliv tedy není statisticky testován.

11. NUMERICKÁ SIMULACE TAŽENÍ VÝLISKU

Výhodou numerické simulace procesu tažení plechu je možnost analýzy deformace již ve fázi konstrukce výlisku či nástroje. Pro tyto účely bylo vyvinuto již značné množství rozmanitých matematických modelů zpracovaných do podoby více či méně univerzálních software řešicích problematiku lisovatelnosti plechových výrobků. Nejsložitější modely pracují na bázi metody konečných prvků používajících ke své činnosti pracovních stanic. Všechny tyto nástroje slouží k řešení problematiky lisování na různých úrovních.

Numerické simulace tažení výlisku se uplatňují zejména v automobilovém průmyslu, kde se setkáváme se stále složitějšími tvary s vysokými požadavky na kvalitu a rychlosť inovací. Dosavadní metody práce v předvýrobních etapách jsou však v podstatě stále založeny z větší části na zkušenostech a znalostech získaných řešením předchozích úkolů. Tvarová složitost výrobků, zavádění nových materiálů do výroby, snaha o minimální zmetkovitost, ekologie výroby atd., to všechno jsou problémy při jejich řešení se v současné době stále více uplatňují numerické simulace procesu tažení. Simulace poskytuje již v předvýrobní etapě cenné informace o plastickém toku materiálu, nebezpečí vzniku trhlin, zvlnění, velikosti odpružení, atd.. Tyto informace umožňují realizovat vhodné zásahy a změny v technologii výroby již ve fázi její přípravy a včas umožňují optimalizovat tvar výlisku, tvar nástřihu a jeho orientaci, technologické podmínky tažení, technologické zásahy do konstrukce nástroje apod.. Takový postup vede k významnému poklesu nákladů při náběhu lisování, zlepšení možnosti řízení a kvality procesu lisování, časovým úsporám při inovacích a ve svých důsledcích vede k významnému zvyšování konkurenčních schopností finálního produktu.

V současné době existuje celá řada programů na bázi metody konečných prvků, které se využívají k řešení nelineárních úloh, jaké představuje i tažení plechu. Tato technologie v podstatě zahrnuje kombinaci tří typů nelineárního chování:

- geometrické (velké tvarové změny),
- materiálové (nelineární zpevňování plechu při plastickém přetvoření),
- okrajových podmínek (proměnný kontakt plechu s nástrojem).

V těchto úlohách není napětí přímo úměrné ani deformaci, ani zatěžování. Závislost síly na dráze nástroje je také nelineární. Rovněž zde nelze uplatnit princip superpozice. Řešení těchto úloh je tak nesrovnatelně složitější než běžných lineárních úloh. Dále je nutno vzít

v úvahu, že numerická simulace je ve své podstatě jen metodou přibližné analýzy a poskytuje jen tak přesné výsledky, jak kvalitní se podaří určit základní prvky řešení, jako je:

- model úlohy (vhodná diskretizace pro daný problém)
- model chování materiálu (včetně přijatých předpokladů)
- popis zatěžování a specifikace okrajových podmínek
- algoritmus vlastního řešení

Skutečností je, že současné obecné programy na bázi metody konečných prvků nejsou schopny uspokojivě řešit úlohy tažení plechových výlisků. S ohledem na výše stanovená kriteria je zřejmé, že úspěšná simulace je zajištěna pouze použitím vysoko specializovaných programů, mezi které patří především PAM-STAMP, AUTOFORM, OPTRIS, DYNA-3D atd.. V předkládané práci je pro simulace procesu tažení výlisku využíváno jednoho z nejrozšířenějších programů v automobilovém průmyslu, PAM-STAMPTM.

11.1. STRUČNÁ CHARAKTERISTIKA PROGRAMU PAM-STAMPTM

Programový soubor PAM-STAMPTM je specializovaný CAE software pro simulaci plošného tváření technologiemi hlubokého tažení, ohýbání, lisování do prýže a hydroformingu, speciální materiálový model umožňuje provést i simulaci thermoformingu plastů a kompozitních materiálů. Program umožňuje volit libovolnou kinematiku pohybu tvářecích nástrojů (lisování jednočinné, dvojčinné, trojčinné, ale i ohýbání trubek, apod.).

Předpoklady a matematické algoritmy použité při řešení tvářecích operací pomocí programu PAM-STAMPTM jsou následující:

- Lagrangeova formulace 3D geometrie
- diskretizace metodou konečných prvků, deformační metoda konečných prvků
- dynamická relaxace
- explicitní časové schéma (metoda centrálních diferencí) pro řešení pohybové rovnice, řízená velikost časového kroku
- Newtonova-Raphsonova metoda pro odpružení
- plech diskretizován trojúhelníkovými nebo čtyřúhelníkovými skořepinovými prvky
- Mindlinova teorie skořepin, zobecněné posuvy deformace střednice a natočení normál
- podintegrované skořepinové prvky s bilineární approximací
- rovinná napjatost v rovině plechu

- činné plochy nástroje nedeformovatelné, diskretizace trojúhelníkovými nebo čtyřúhelníkovými prvky
- velké deformace, velké rotace
- model elastoplastického materiálu založeného na Hillově podmínce plasticity, asociativním zákonu tečení a anizotropním modelu zpevnění
- možnost zahrnout zpevnění materiálu vlivem rychlosti deformace
- Coulombův model tření s konstantním součinitelem tření
- kontaktní vyhledávací algoritmus Master-Slave, plech Slave, nedeformovatelné části nástroje v kontaktech Master, zahrnutí okamžité tloušťky skořepiny v kontaktních podmírkách
- adaptivní přesíťování

Pro práci s programem PAM-STAMPTM slouží tři základní moduly. Pro definici procesu tažení slouží PAM-GenerisTM, jehož výstupem je „*.ps“ soubor obsahující informace nutné pro vlastní výpočet úlohy. Dále je to vlastní „řešič“ PAM-SolverTM a modul pro zpracování výsledků simulace PAM-ViewTM.

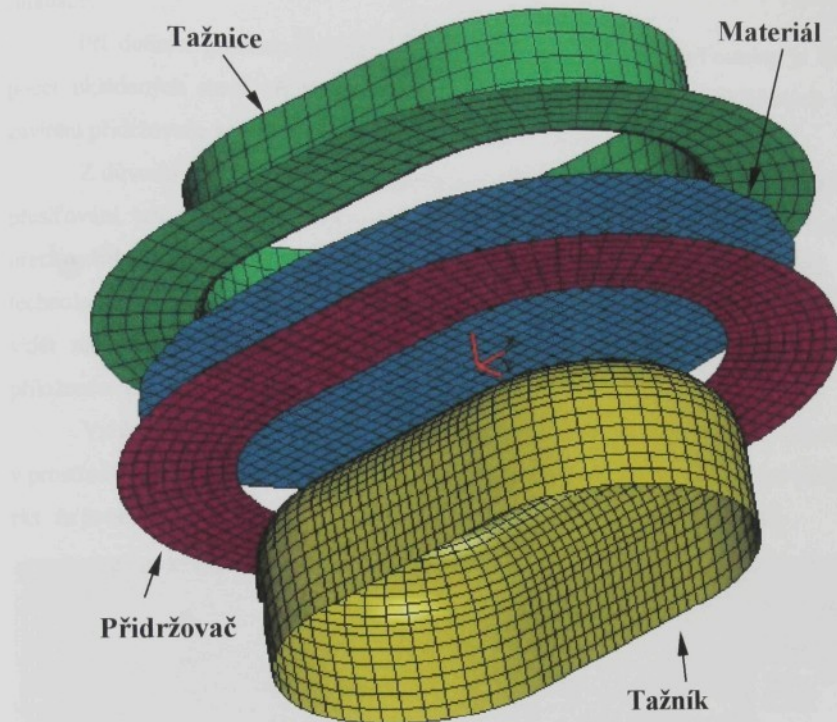
11.2. SIMULACE TAŽENÍ PLÁŠTĚ SACÍHO KOŠE

Simulace tažení pláště sacího koše byla provedena pro testované materiály Salzgitter PRETEX, Sollac EDT a Voest EBT. Definice technologických podmínek tažení při simulaci vycházela z podmínek při reálném experimentu.

11.2.1 Definice procesu tažení pomocí PAM-GenerisTM

Jak již bylo řečeno, kompletní definice procesu tažení probíhala v PAM-GenerisTM. Prvním krokem bylo vytvoření síťového modelu geometrie činných ploch nástroje pomocí SW Mentat. Tvar přistřihu byl nakreslen v prostředí SW Catia a „*.iges“ soubor byl převeden na výpočtovou síť pomocí SW Deltamesh. Velikost elementu deformační sítě přistřihu byla volena 3 mm a tato velikost by měla zajistit dostatečnou přesnost výpočtu.

Po načtení geometrie činných ploch nástroje a tvaru přistřihu bylo nutno zkontrolovat kvalitu sítě. Kontrola byla provedena jak pro vlastní elementy sítě, tak i pro jednotlivé uzly a hrany elementů procedurou, která je vestavěna do modulu PAM-GenerisTM. Po odstranění vad sítě byly jednotlivé části nástroje a tvářeného materiálu nastaveny do výchozí polohy před lisováním. Zobrazení výpočtových sítí nástroje a tvářeného materiálu je vidět na obr.11.2.1.1.. Pro lepší orientaci je nástroj spolu s tvářeným materiálem zobrazen v „rozevřené“ pozici.



Obr.11.2.1.1.. Zobrazení výpočtových sítí nástroje a tvářeného materiálu

Dalším krokem při definici procesu tažení bylo zadání materiálových dat tvářeného materiálu. Při definici materiálu je třeba vyplnit jeho „materiálovou kartu“, která se může uložit do databáze materiálů a při opětovném použití daného materiálu odpadá zdlouhavé vyplňování materiálových charakteristik. Požadované materiálové charakteristiky jsou patrné z obr. 11.2.1.2. a pro jednotlivé testované materiály jsou tyto charakteristiky uvedeny v tabulkách v kapitole 8. Při zadávání křivky zpevnění byl použit model zpevnění dle Swifta-Krupkowského.

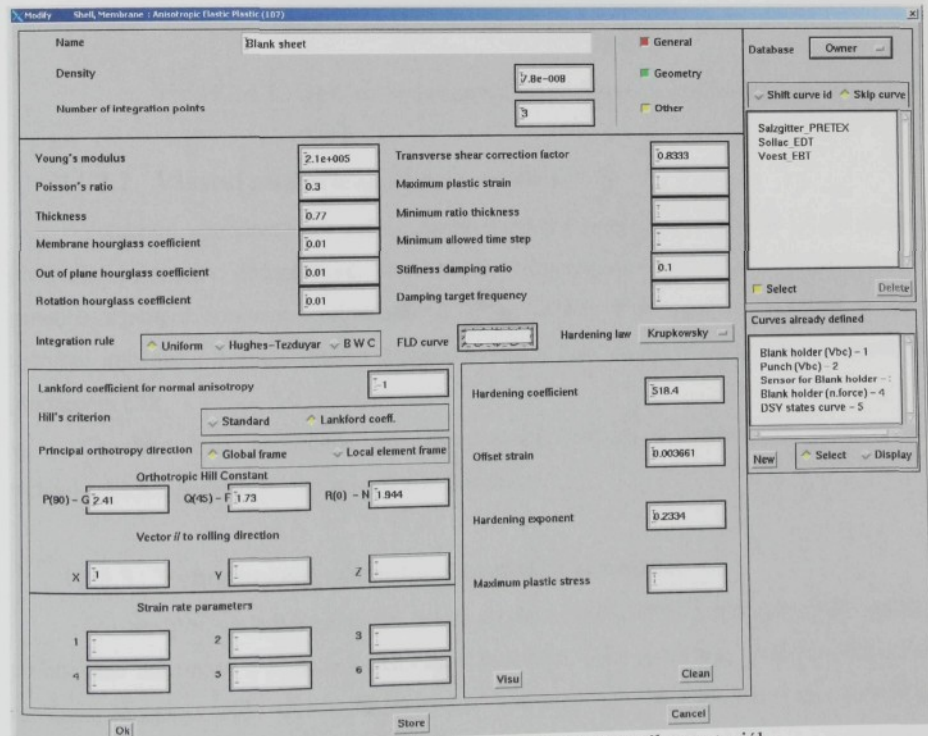
Posledním krokem před vlastní simulací bylo zadání kinematiky pohybu nástroje a definice technologických podmínek. Definice těchto podmínek se provádí v přehledném „okně Auto-Stamp: Holding/Forming“. Technologické podmínky tváření (rychlosť posuvu, kontaktní tlak) byly nastaveny shodně jako při reálném způsobu tváření. Koeficient tření byl dosazován konstantní pro všechny druhy kontaktu nástroj-tvářený materiál a jeho velikost je

pro dané technologické podmínky uvedena v kapitole 9. Jednotlivé technologické podmínky při kterých probíhala simulace budou uvedeny pro přehlednost také v tabulkách výsledků simulace.

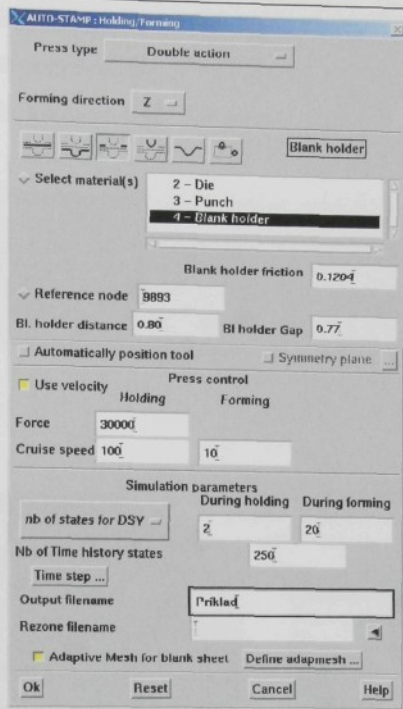
Při definici procesu simulace v „okně Auto-Stamp: Holding/Forming“ je třeba zadat počet ukládaných stavů při simulaci. V předkládané práci byl počet ukládaných stavů pro zavírání přidržovače volen na dva a pro vlastní tváření na 20.

Z důvodu získání co nejpřesnějších výsledků byla volena jedna hladina adaptivního přesíťování, tzn. v průběhu výpočtu může být daný prvek rozdělen na 4 menší. Vyšší hladina přesíťování vzhledem k počáteční velikosti elementu 3 mm nemá smysl. Definice technologických podmínek a parametrů simulace v „okně Auto-Stamp: Holding/Forming“ je vidět na obr. 11.2.1.3.. Veškeré „*.ps“ soubory jsou uloženy v elektronické formě na přiloženém CD.

Vzhledem k omezenému rozsahu práce zde byla definice celého procesu tažení v prostředí PAM-GenerisTM pouze nastíněna. Ve skutečnosti je tato procedura složitější a lze říct, že je nejdůležitější etapou numerické simulace. Podrobně je popsána v [36].



Obr. 11.2.1.2.. Příklad definice vlastností tvářeného materiálu



Obr.11.2.1.3.. Definice technologických podmínek a parametrů simulace.

11.2.2. Vlastní numerická simulace tažení

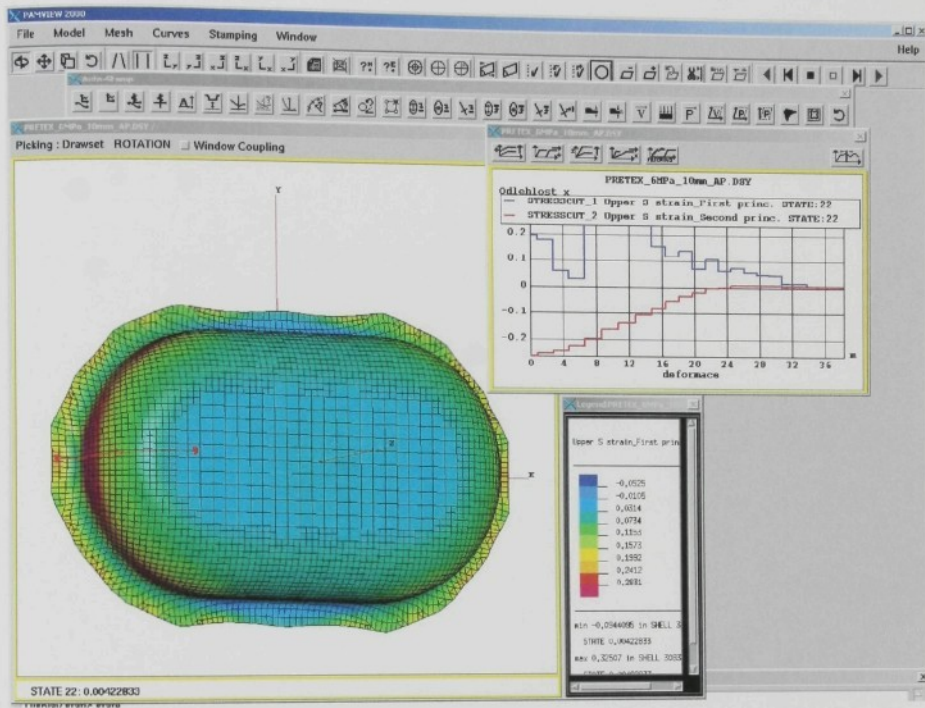
Vstupním souborem pro řešení úlohy metodou konečných prvků je „*.ps“ soubor obsahující informace geometrické, materiálové, technologické atd.. Řešič PAM-SolverTM generuje výstupní soubory s příponou *.THP a *.DSY. Tyto soubory obsahují veškeré výstupní informace o simulovaném procesu tažení a jsou uloženy v elektronické formě na přiloženém CD.

Simulace byla provedena pro stejný počet kombinací testovaných materiálů a technologických podmínek jako při reálném lisování.

11.2.3. Vyhodnocení výsledků numerické simulace

Pro analýzu výsledků simulace slouží produkt PAM-ViewTM, kde lze zjistit veškeré požadované informace o rozložení deformace materiálu, toku materiálu, rychlosti přetvoření, namáhání nástroje atd.. Při vyhodnocování simulace byl kladen důraz na porovnání experimentálně zjištěné deformace výlisku v místě řezu C-C (viz obr. 10.1.1.1.) s deformací

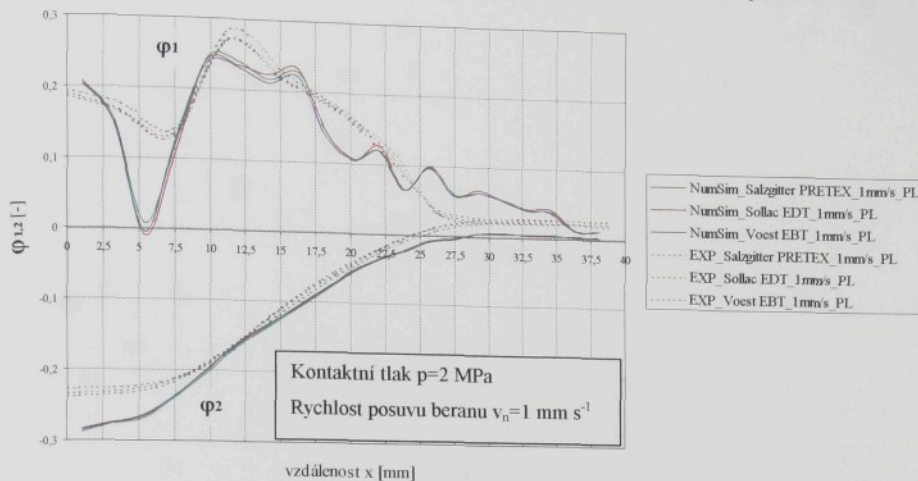
zjištěnou pomocí numerické simulace ve shodném řezu. Příklad výsledku simulace je vidět na obr. 11.2.3.1., kde je vidět rozložení hlavní logaritmické deformace φ_1 na výlisku a průběhy deformace φ_1 a φ_2 ve vyznačeném řezu. Poloha a směr řezu jsou vyznačeny na výlisku červenou šipkou.



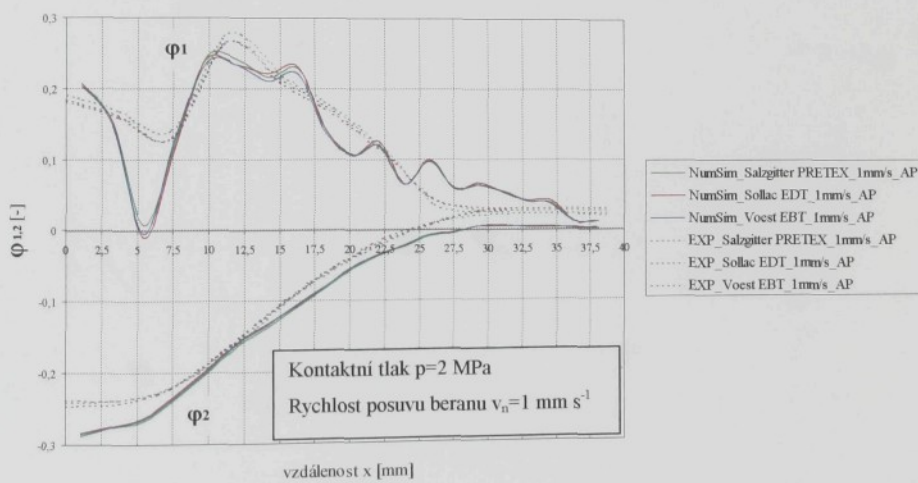
Obr. 11.2.3.1. Rozložení hlavní logaritmické deformace φ_1 na výlisku a průběhy deformace φ_1 a φ_2 ve vyznačeném řezu.

Vzhledem k malým rozdílům deformační mezi jednotlivými materiály nejsou výsledky simulace pro jednotlivé kombinace nastavení technologických podmínek prezentovány ve formě obrázků. Jednalo by se o značné množství obrázků, jejichž vypovídací hodnota by byla nízká. Soubory s výsledky numerické simulace jsou uloženy v elektronické formě na přiloženém CD. V předkládané disertační práci jsou výsledky numerické simulace prezentovány ve formě tabulek deformačních hodnot φ_1 a φ_2 , které byly zjištěny přímým odečtením v PAM-ViewTM na sledovaných elementech deformační sítě a tyto hodnoty jsou zaznamenány v tabulkách v příloze P33 až P44. Zjištěné hodnoty byly zpracovány v Microsoft Excel a jsou také uloženy v elektronické formě na přiloženém CD. Grafické znázornění výsledků

deformace materiálu zjištěné numerickou simulací pro jednotlivé technologické podmínky je vidět na obr.11.2.3.2 až obr. 11.2.3.13., kde jsou pro jednotlivé kombinace vstupních technologických podmínek znázorněny průběhy deformace φ_1 a φ_2 . Pro jednotlivé nastavení vstupních technologických podmínek je pro srovnání v každém grafu uveden rozvoj deformace zjištěný numerickou simulací a experimentálním způsobem.

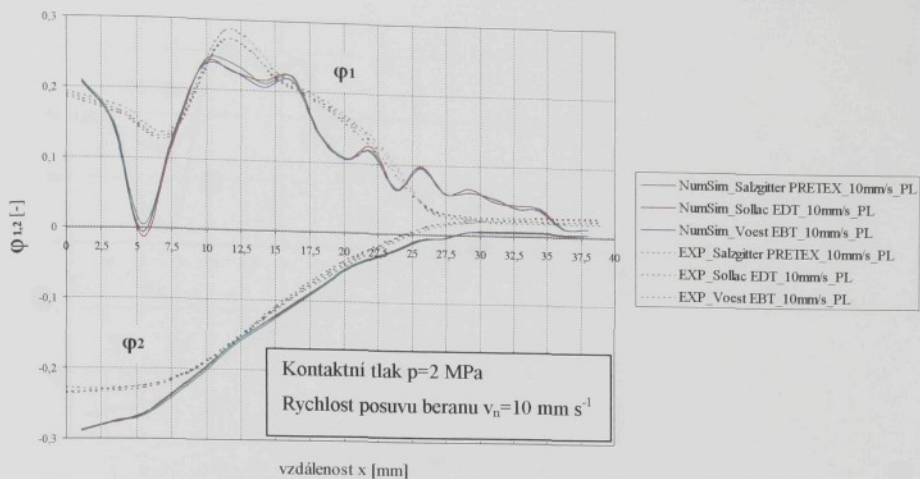
Porovnání deformace zjištěné pomocí numerické simulace a experimentálním způsobem

Obr. 11.2.3.2.. Průběh deformace u testovaných materiálů zjištěný na výlisku sacího koše

Porovnání deformace zjištěné pomocí numerické simulace a experimentálním způsobem

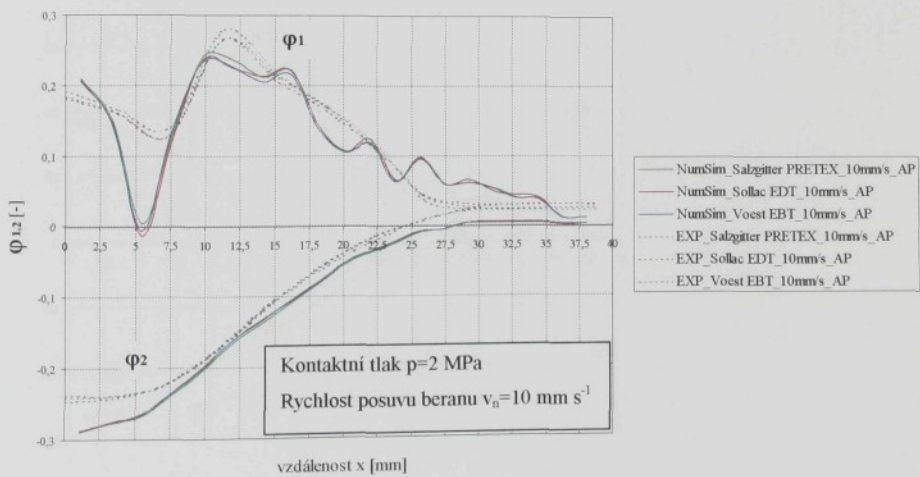
Obr. 11.2.3.3.. Průběh deformace u testovaných materiálů zjištěný na výlisku sacího koše

Porovnání deformace zjištěné pomocí numerické simulace a experimentálním způsobem

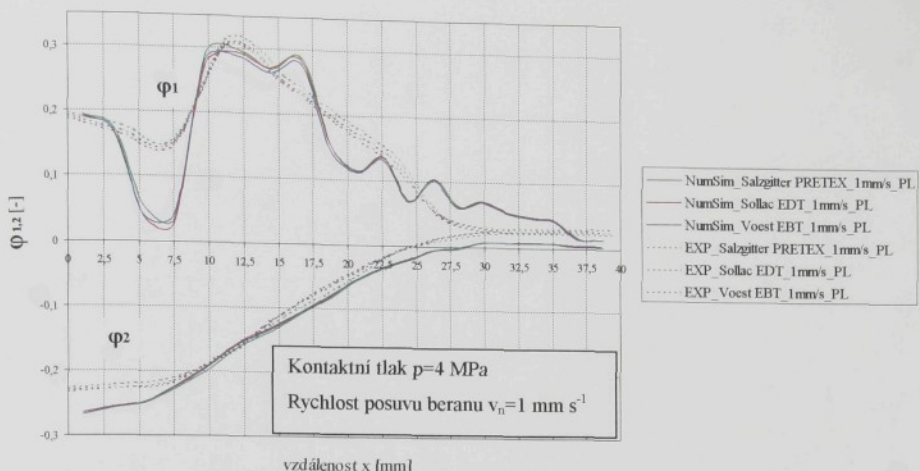


Obr. 11.2.3.4.. Průběh deformace u testovaných materiálů zjištěný na výlisku sacího koše

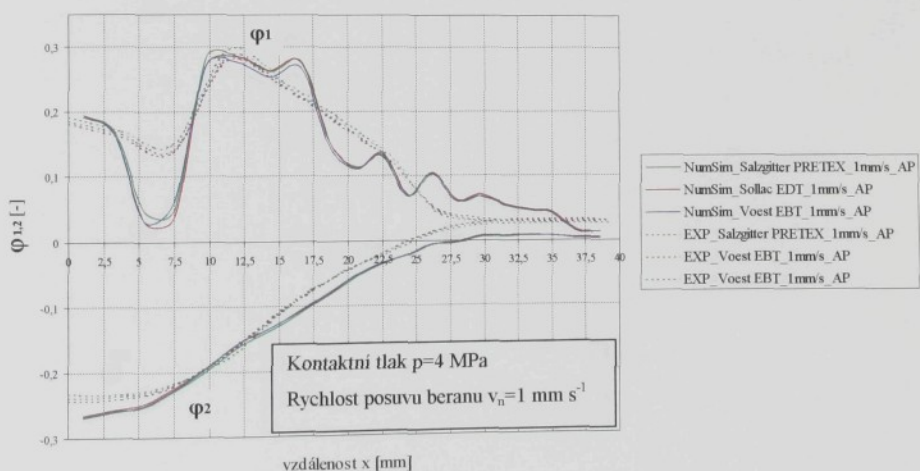
Porovnání deformace zjištěné pomocí numerické simulace a experimentálním způsobem



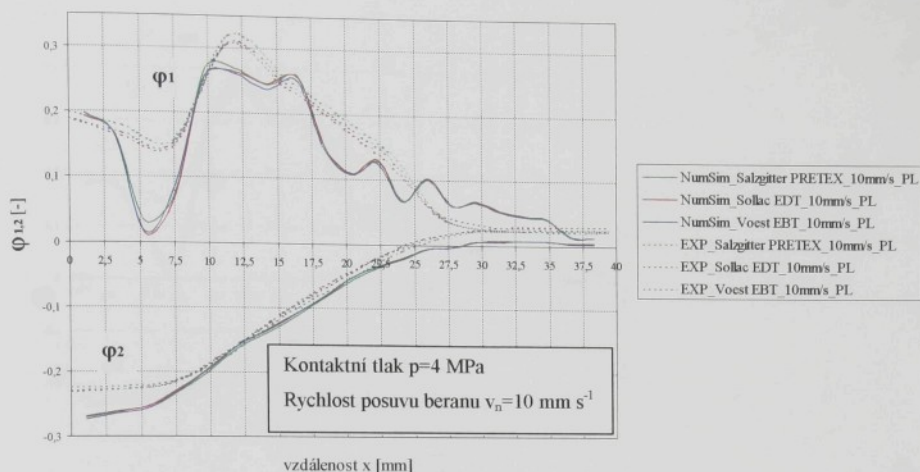
Obr. 11.2.3.5.. Průběh deformace u testovaných materiálů zjištěný na výlisku sacího koše

Porovnání deformace zjištěné pomocí numerické simulace a experimentálním způsobem


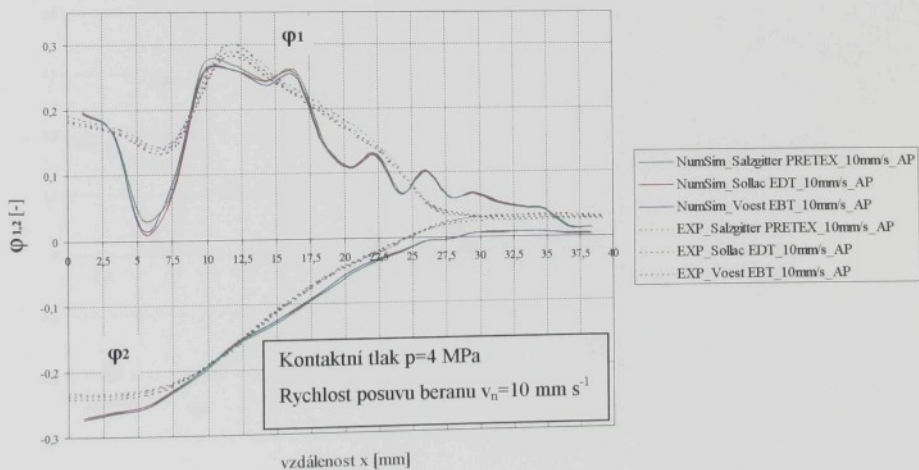
Obr. 11.2.3.6.. Průběh deformace u testovaných materiálů zjištěný na výlisku sacího koše

Porovnání deformace zjištěné pomocí numerické simulace a experimentálním způsobem


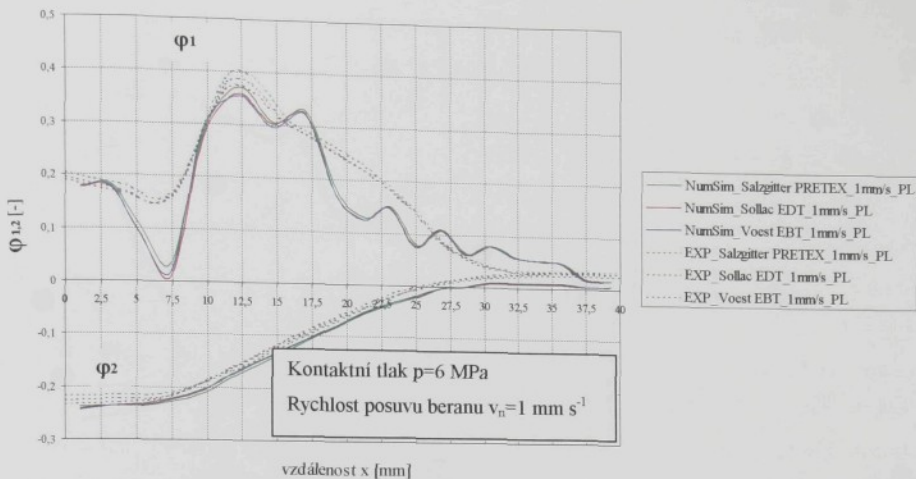
Obr. 11.2.3.7.. Průběh deformace u testovaných materiálů zjištěný na výlisku sacího koše

Porovnání deformace zjištěné pomocí numerické simulace a experimentálním způsobem

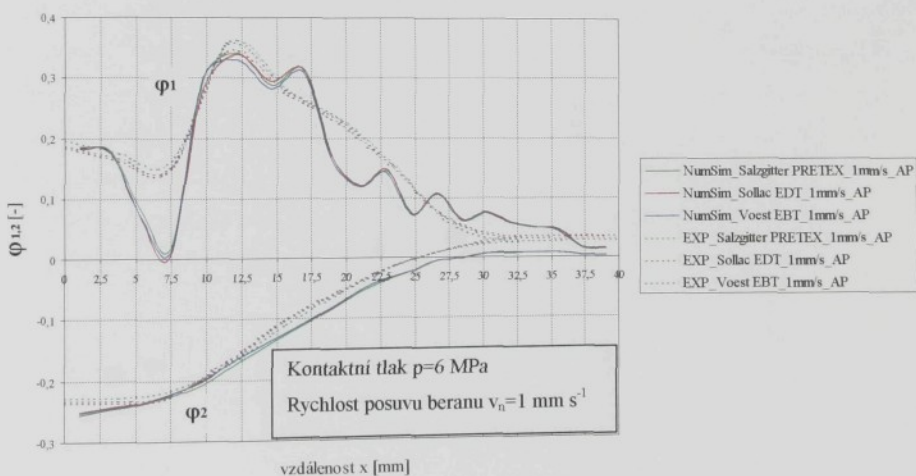
Obr. 11.2.3.8.. Průběh deformace u testovaných materiálů zjištěný na výlisku sacího koše

Porovnání deformace zjištěné pomocí numerické simulace a experimentálním způsobem

Obr. 11.2.3.9.. Průběh deformace u testovaných materiálů zjištěný na výlisku sacího koše

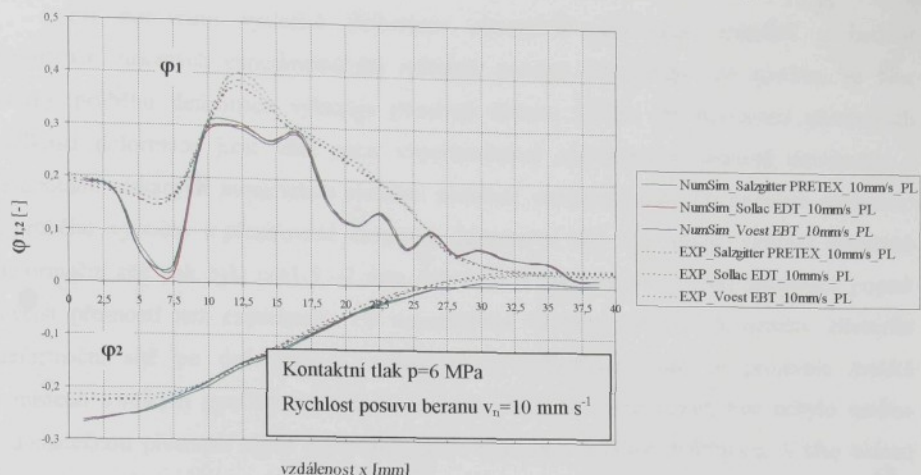
Porovnání deformace zjištěné pomocí numerické simulace a experimentálním způsobem


Obr. 11.2.3.10.. Průběh deformace u testovaných materiálů zjištěný na výlisku sacího koše

Porovnání deformace zjištěné pomocí numerické simulace a experimentálním způsobem


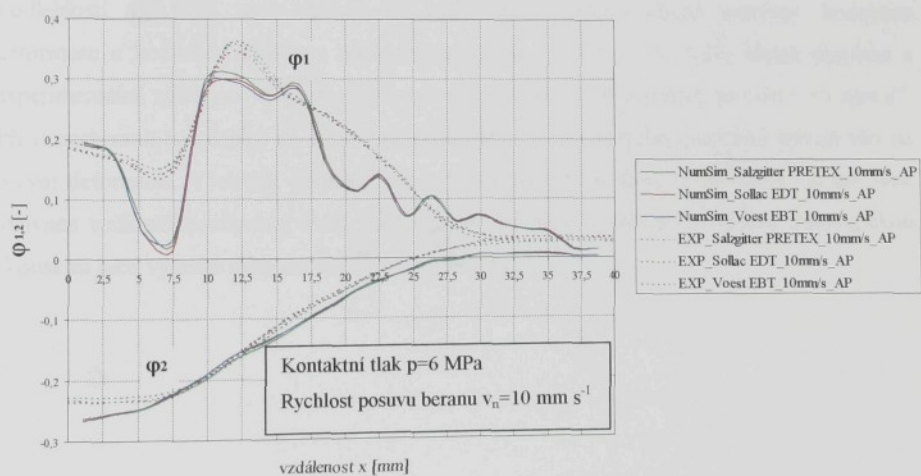
Obr. 11.2.3.11.. Průběh deformace u testovaných materiálů zjištěný na výlisku sacího koše

Porovnání deformace zjištěné pomocí numerické simulace a experimentálním způsobem



Obr. 11.2.3.12.. Průběh deformace u testovaných materiálů zjištěný na výlisku sacího koše

Porovnání deformace zjištěné pomocí numerické simulace a experimentálním způsobem



Obr. 11.2.3.13.. Průběh deformace u testovaných materiálů zjištěný na výlisku sacího koše

11.3. VYHODNOCENÍ VÝSLEDKŮ SIMULACE

Při porovnání výsledků deformace získaných numerickou simulací a hodnot deformace získaných experimentálním měřením pomocí deformační sítě zjistíme, že tvar křivky průběhu deformace vykazuje poměrně dobrou shodu. Při porovnání absolutních velikostí deformace jsou však mezi experimentálně zjištěnými hodnotami deformace a hodnotami získaných numerickou simulací poměrně značné rozdíly. Při simulaci docházelo v průběhu výpočtu k přesíťování elementů deformační sítě a konečná velikost elementů deformační sítě pak byla cca $1,5 - 2$ mm. Simulace je tak schopna průběh deformace popsat s větší přesností než experiment. Při experimentu dochází vzhledem k rozměru elementu deformační sítě po deformaci k „průměrování“ deformace. Toto se projevuje zvláště v místech s velkým gradientem deformace např. v oblasti tažné hrany, kde nebylo možno s dostatečnou přesností zjistit experimentálním způsobem velikost deformace. V této oblasti je rozdíl mezi experimentem a numerickou simulací proto největší (velikost odlehlosti $x=5-7,5$ mm). Otázkou je ovšem absolutní velikost deformace zjištěná simulací a pomocí deformační sítě. Numerická simulace se jeví ve všech případech jako tužší a pokud porovnáváme deformace v oblasti stěny výtažku (oblast s rozvinutou plastickou deformací s odlehlostí $x=7,5-15$ mm) vidíme, že rozdíl mezi experimentálně zjištěnou hodnotou deformace a hodnotou zjištěnou numerickou simulací je cca 15%. Větší shoda simulace a experimentálně zjištěnou velikostí deformace byla dosažena při rychlosti posuvu $v=1 \text{ mm s}^{-1}$. Při experimentu se zjistilo, že nastavené rychlosti posuvu materiálu (nástroje) nemají vliv na rozvoj deformace. Výsledek simulace pro rychlosť pohybu nástroje $v=10 \text{ mm s}^{-1}$ je tak silně ovlivněn velikostí koeficientu tření, který byl pro rychlosť $v=10 \text{ mm s}^{-1}$ zjištěn tribologickou zkouškou jako výrazně nižší než při rychlosťi $v=1 \text{ mm s}^{-1}$.

12. DEFORMACE ZJIŠTĚNÁ NA VÝLISKU NEPRAVIDELNÉHO TVARU

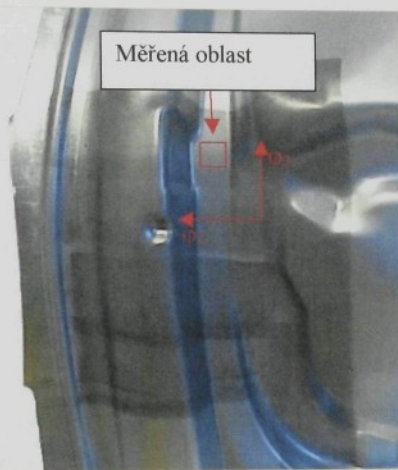
Pro ověření výsledků zkoušek prováděných převážně v laboratorních podmínkách, bylo provedeno zjištění velikosti deformace na reálném výlisku nepravidelného tvaru. Zvolený výlisek na kterém byly provedeny zkoušky byl výlisek pátých dveří Škoda Fabia combi. Tento výlisek je typickým představitelem karosářského výlisku a vhodně dokumentuje tento typ výroby. Výlisek je vidět na obr. 12.1..



Obr.12.1. Výlisek pátých dveří Škoda Fabia combi.

Experiment byl realizován ve spolupráci s Škoda Auto a.s. Mladá Boleslav, kde je výlisek zhotovován. Z časových důvodů a s ohledem na požadavky Škoda Auto a.s. byl experiment proveden pouze pro materiály Salzgitter PRETEX a Sollac EDT. Velikost deformace byla zjišťována pomocí deformační sítě jejíž parametry a způsob nanášení na povrch testovaných materiálů jsou shodné jako v případě analýzy deformace výlisku pláště sacího koše a v případě zjišťování diagramů mezních přetvoření (viz. kapitola 8.). Deformace výlisku byla zjišťována v oblasti rohu dveří a toto místo je označeno na obr. 12.1.. Pro každý testovaný materiál bylo zhotoveno 8 výlisků.

U složitého výlisku, jakým jsou i páté dveře Škoda Fabia combi, je velmi obtížné (ne-li nemožné) nanést deformační síť do takové polohy, aby po deformaci měly odpovídající elementy na různých výliscích stejnou polohu. Z tohoto důvodu nebyla zjišťována deformace na výlisku jako průběh deformace podél zvoleného řezu, ale deformace se zjišťovala v určité oblasti. V této oblasti pak bylo na každém výlisku měřeno devět elementů deformační sítě uspořádaných do čtverce. Poloha měření a orientace elementů deformační sítě je zřejmá z obr. 12.2..



Obr. 12.2. Poloha měření elementů deformační sítě

Výsledky měření deformace φ_1 φ_2 jsou zaznamenány v tabulce 41, kde jsou uvedeny střední hodnoty (výběrové průměry) deformace spolu se směrodatnou odchylkou výběru pro jednotlivé testované materiály. Jednotlivé naměřené hodnoty jsou uloženy v elektronické formě na přiloženém CD.

Tabulka 41. Tabulka naměřených hodnot deformace

	Sollac EDT		Salzgitter Pretex	
	φ_1 [-]	φ_2 [-]	φ_1 [-]	φ_2 [-]
průměr. hodnota	0,165982	-0,09735	0,188327	-0,1146
s	0,013701	0,013841	0,012756	0,008414

Experimentální část



Z výsledků měření deformace na reálném výlisku pátých dveří Škoda Fabia combi je vidět patrný rozdíl mezi materiélem Sollac EDT a materiélem Salzgitter Pretex. Materiál Salzgitter Pretex má ve sledované oblasti o 14% vyšší deformaci φ_1 a o 17% vyšší deformaci φ_2 . Vliv morfologie povrchu testovaných materiálů na rozvoj deformace se projevil při sériovém lisování, kdy materiál Sollac EDT měl výrazně nižší zmetkovitost než materiál Salzgitter Pretex. Materiál Salzgitter Pretex byl pro svojí značnou zmetkovitost vyřazen ze sériového lisování.

13. DISKUSE VÝSLEDKŮ DISERTAČNÍ PRÁCE

Diskuse výsledků disertační práce navazuje na dílčí diskuse výsledků uvedené v předcházejících kapitolách.

Předložená disertační práce na téma vliv morfologie povrchu plechu na rozvoj deformace při tažení výlisků je příspěvkem při řešení teoretických i praktických problémů spojených s výrobou výlisků z plechu. Téma a řešení disertační práce úzce souvisí s problematikou zpracování pozinkovaných plechů se zvláštní morfologií povrchu v automobilovém průmyslu. Testované materiály se sledovanou morfologií povrchu Pretex, EDT a EBT byly vybrány s ohledem na dnes běžně používané materiály v sériové výrobě.

Materiály použité pro experimentální zjištění rozvoje deformace při tažení plechu mají minimální rozdíly v mechanických vlastnostech a z tohoto pohledu by nemělo dojít k výraznému ovlivnění výsledků prováděných zkoušek. Porovnání testovaných materiálů bylo provedeno pomocí základních mechanických hodnot zjištěných pomocí statické zkoušky tahem a pro jednotlivé materiály byly experimentálním způsobem zjištěny diagramy mezních přetvoření. Problematické se ukázalo najít materiály s morfologií povrchu PRETEX, EDT a EBT, které by měly minimální rozdíly v základních měřených parametrech drsnosti povrchu. Tento fakt je dán tím, že výrobci materiálů pro pohledové části karoserie používají ve většině případů pouze jeden způsob texturování pracovního válce. Po provedení mnoha „výběrových“ měření v Škoda Auto a.s. Mladá Boleslav byly vybrány materiály pro experiment, které mají parametry drsnosti velmi podobné a z hlediska technické praxe je můžeme považovat za shodné. Porovnání testovaných materiálů z hlediska morfologie bylo provedeno pomocí základních parametrů drsnosti a fotografií z elektronového mikroskopu. Vzhledem k tomu, že drsnost povrchu zpracovávaných materiálů má velký vliv na výsledek celého procesu lisování, je velmi důležité, že testované materiály mají minimální odlišnosti v parametrech drsnosti. V současné době většina prací zabývající se touto problematikou vliv drsnosti povrchu plechu neuvažuje a může tak dojít k ovlivnění výsledků zkoušky.

Pro zjištění tribologických vlastností testovaných materiálů a s ohledem na plánovanou numerickou simulaci procesu tažení výlisku byl experimentálním způsobem zjišťován koeficient tření pro jednotlivé testované materiály při respektování vstupních technologických podmínek. Koeficient tření byl zjišťován na katedře strojírenské technologie pomocí zkoušky protahováním pásku při použití dvou různých maziv a rychlosti posuvu materiálu $v = 1$ a 10 mm s^{-1} . V prvním případě se zjišťování koeficientu tření provádělo při použití pracího oleje Anticorit AC PL 3802-39LV a ve druhém případě se jednalo o kombinaci

pracího oleje Anticorit AC PL 3802-39LV + tažný olej AP 167/22. Tato volba byla provedena s ohledem na podmínky používané při reálném lisování. V rámci řešení disertační práce bylo také navrženo, sestrojeno a prakticky vyzkoušeno zařízení pro nanášení tažných olejů na povrch zkoumaných materiálů. Z výsledků měření koeficientu tření je patrný zřejmý vliv použitého mazadla, rychlosti posuvu materiálu i druh morfologie povrchu testovaných materiálů na velikost koeficientu tření. Z tribologického hlediska se pro tažení jeví jako nejvhodnější materiály s morfologií povrchu EDT. Nejméně vhodné pak materiály s morfologií povrchu Pretex. Morfologie EBT představuje svými tribologickými vlastnostmi „mezistupeň“ mezi oběma zmíněnými materiály. U zkoumaných plechů se materiál s morfologií povrchu plechu EBT blíží svými tribologickými vlastnostmi materiálu s morfologií povrchu EDT. Rozdíly mezi chováním jednotlivých materiálů z hlediska tribologie se projevují zvláště při použití velkých přidržovacích tlaků a při malých rychlostech posuvu materiálu. Při těchto extrémních podmínkách se u materiálů projevuje více, či méně, vznik zadírání, které může mít zásadní vliv na zpracovatelnost daného materiálu. Tribologickou zkouškou bylo prokázáno, že koeficient tření není v průběhu procesu tažení plechů konstantní a poměrně výrazně se mění. Pro testované materiály byly nalezeny funkční vztahy koeficientu tření na velikosti kontaktního tlaku, rychlosti posuvu materiálu a použitém mazadlu. Tyto vztahy mohou být použity pro zpřesnění výpočtových modelů při analýze deformace výlisku pomocí metody konečných prvků. V současné době již probíhá začlenění těchto nových poznatků do vývoje nové verze simulačního programu PAM-STAMPTM, kde by již měla být možnost zadávat koeficient tření jako závislá hodnota s ohledem na technologické podmínky.

Vliv morfologie povrchu plechu na rozvoj deformace při tažení výlisku byl zjišťován pro vybrané testované materiály s morfologií povrchu Pretex, EDT a EBT na jednoduchém výlisku pláště sacího koše. Z výsledků měření je patrné, že na rozvoj deformace má vliv přidržovací tlak, použité mazadlo a morfologie povrchu plechu. Poměrně překvapivé bylo zjištění, že na rozvoj deformace nemá vliv rychlosť posuvu materiálu v nástroji (pro rozmezí rychlosťí $v = 1$ až 10 mm s^{-1}). Největší deformace materiálu byla pro všechny kombinace vstupních technologických podmínek zjištěna pro materiál Salzgitter Pretex, nejmenší deformace byla zjištěna při použití materiálu Sollac EDT. Rozdíl deformace mezi těmito materiály byl v závislosti na technologických podmínkách a místě měření cca 8%. Přesné stanovení rozdílu deformace mezi jednotlivými testovanými morfologiemi je vzhledem k průběhu deformace velmi problematické. Materiál Voest EBT byl opět jakýmsi „mezičlánkem“ mezi materiálem Sollac EDT a Salzgitter Pretex. Z výsledků měření tedy

vyplývá, že pro tváření výlisků se jeví jako nevhodnější materiál s morfologií povrchu EDT. Nejméně vhodný pak materiál s morfologií povrchu Pretex. Tyto poznatky jsou v souladu s již prováděnými tribologickými testy, kde byly formulovány stejné závěry. Při minimálních rozdílech mechanických vlastností a drsnosti povrchu jednotlivých materiálů je tedy morfologie povrchu plechu (a s ním související koeficient tření) faktorem, který ovlivňuje rozvoj deformace výlisku při tažení.

Výsledky měření rozvoje deformace prováděné v laboratorních podmínkách na výlisku pláště sacího koše byly ověřeny i na výlisku nepravidelného tvaru. Měření byla provedena na výlisku pátých dveří Škoda Fabia combi, který je typickým představitelem výlisku nepravidelného tvaru. Tato měření potvrdila dříve vyslovené závěry, neboť výlisek zhotovalený z materiálu s morfologií povrchu EDT byl bez problému lisovatelný a výlisek z materiálu s morfologií povrchu Pretex vykazoval značnou zmetkovitost a byl prakticky nelisovatelný. Z tohoto měření se dá předpokládat, že při lisování složitých výlisků nepravidelných tvarů se rozdíly mezi jednotlivými typy morfologie povrchu plechu ještě prohlubují a volba morfologie povrchu použitého materiálu je tedy velmi důležitá. V současné době se druh morfologie povrchu plechu při návrhu výlisku neuvažuje a časté problémy, kdy je výlisek na hranici lisovatelnosti z materiálu dané třídy hlubokotažnosti, by se tak daly řešit vhodnou volbou morfologie povrchu při zachování materiálu ve stejné třídě hlubokotažnosti.

V rámci řešení disertační práce byla provedena numerická simulace tažení výlisku pláště sacího koše a deformace tak byla zjištována pomocí metody konečných prvků. Výsledky měření a simulace prokázaly poměrně velkou shodu v průběhu deformace podél křivky měřeného řezu. Při porovnání absolutních hodnot deformace je však rozdíl mezi experimentálně zjištěnou hodnotou deformace a hodnotou zjištěnou simulací cca 15%. Prokázal se tak již dlouho diskutovaný fakt, že numerická simulace je schopna poměrně přesně určit kritické místo na výlisku, ale je diskutabilní zda absolutní velikost deformace získaná numerickou simulací bude odpovídat skutečnosti. Z tohoto důvodu se ve většině případů při simulaci složitých výlisků nejprve „ladí“ vstupní data pro simulaci na jednoduchém výlisku kde je znám reálný výsledek lisování a teprve s upřesněnými vstupními daty se provádí simulace složitého tvaru. Začlenění poznatků zjištěných v disertační práci do konečnoprvkových výpočtových modelů by mělo přinést zpřesnění výpočtu a zkrácení času potřebného na „odladění“ vstupních dat potřebných pro simulaci.

14. ZÁVĚR

V rámci řešení disertační práce byl prokázán vliv morfologie povrchu plechu na rozvoj deformace při tažení výlisku z plechu. Z prováděných laboratorních měření a praktického ověření výsledků měření na výlisku nepravidelného tvaru vyplývá, že pro tváření je nejvhodnější struktura povrchu označovaná jako EDT. Tento fakt je poměrně zarázející, neboť tato metoda texturování pracovního válce pro výrobu plechů je již známá poměrně dlouhou dobu a tato metoda nepatří mezi rozvíjející se způsoby texturování pracovního válce. Použití materiálu s povrchem EDT přináší určité komplikace při lakování pohledových částí karoserie automobilu, kdy kvalita laku často není na požadované úrovni. Tyto problémy jsou způsobeny (pseudo)stochastickým povrchem tohoto materiálu. Vzhledem k tomu, že výsledky prováděných testů pro materiály s morfologií povrchu EDT a EBT jsou si podobné, jeví se jako poměrně výhodné použít pro tváření výlisků nepravidelných tvarů materiál s morfologií povrchu EBT. Tyto materiály mají dobrou lisovatelnost a kvalita laku je vzhledem k (semi)deterministické struktuře povrchu materiálu výborná. Na oblast materiálů s morfologií povrchu plechu EBT se v poslední době orientuje i výzkum výrobců plechů pro automobilový průmysl a je předpoklad, že tyto materiály budou nacházet stále větší uplatnění.

Jsem si vědom, že formulované výsledky řeší jen úzkou část rozsáhlé problematiky vlivu morfologie povrchu plechu na rozvoj deformace a celkové řešení je podstatně komplikovanější. Při řešení disertační práce není uvažován např. vliv drsnosti povrchu na výsledek testů, vliv rychlosti při použití reálných rychlostí posuvu atd..

S ohledem na současné trendy při vývoji materiálů pro výrobu výlisků nepravidelných tvarů bych pro další výzkum doporučoval orientaci na materiály s morfologií povrchu EBT.

14. SEZNAM POUŽITÉ LITERATURY

- [1] PRIMUS,F.: Teorie tváření plechu a trubek, skripta ČVUT, vydavatelství ČVUT, Praha, 1980
- [2] BUCHAR,Z.: Diagramy mezních přetvoření tenkých ocelových plechů, kandidátská disertační práce, VŠST Liberec,1987
- [3] BUCHAR,Z.: Komplexní analýza přetvoření výlisků nepravidelných tvarů, habilitační práce, VŠST Liberec,1996
- [4] KOBAYASHI, H.: Shear Localization and Fracture in Torsion of Metals, Ph.D. thesis, Dept. of Engineering, University of Reading, GB, 1987
- [5] KEELER, S.P.-BACKOFEN, W.A.:Plastic Instability and Fracture in Sheets Stretched Over Rigid Punches. TRANS. QUART.ASM, Vol.56, No.1, March 1963
- [6] PRIMUS,F.:Tvářitelnost hlubokotažných plechů, Strojírenství,26,č.8,1976
- [7] PRIMUS,F.:Nomogramy pro určení zásoby plasticity anizotropních hlubokotažných plechů. Strojírenská výroba,26, č.2,1978
- [8] VENTER, R.D.-DE MALHERBE, M.C.:Theoretical Estimate of the Keeler-Goodwin Formability Curve,SH. METAL.IND., Vol.48, 1971
- [9] MARCINIAK,Z.-KUCZINSKI,K.:Limit Strains in the Process of Stretch forming Sheet Metal. Int. J.Mech.Sci., Vol.9,1967
- [10] SOWERBY,R.-DUNCAN,J.L.:Failure in Sheet Metal in Biaxial Tension. Int. J.Mech.Sci., Vol.13, 1971
- [11] GHOSH, A.K.: A Criterion for Ductile Fracture in Sheet under Biaxial Loading. Metallurg. Trans A, April, 1976
- [12] ŠTEFAN,B:-ŠLESÁR,M. -BOBOŘOVÁ,E.-LUŠTÍK,J.:Mechanizmy tvárného lomu. In: Predikace mechanických vlastností kovových materiálů na základě strukturních charakteristik, Nové Město na Moravě, 1985
- [13] NEEDLEMAN, A.-RICE, J.R.:Limits to DuctilitySet by Plastic Flow Localization. In: Mechanics of Sheet Metal Forming, Material Behavior and Deformation Analysis, GMR symposium, New York, 1978
- [14] KEELER,S.P.: Forming Limit Criteria -Sheets, chapter 4. In: Advances in Deformation Processing, Army Materials Research Center, 1978
- [15] KANOCZ, A.-ŠPANIEL,M.: Metoda konečných prvků v mechanice poddajných těles, Vydavatelství ČVUT, Praha 1998

- [16] OKROUHLÍK,M.-HÖSCHL,C.-PLEŠEK,J.-NADRchal,J.:Mechanika poddajných těles, numerická matematika a superpočítáče, Ústav termomechaniky AV ČR, Praha, 1997
- [17] MARŠÍK F.: Termodynamika kontinua, Academia, Praha, 1999
- [18] VITÁSEK, E.:Numerické metody, SNTL-nakladatelství technické literatury, Praha, 1987
- [19] BRDIČKA,M.:Mechanika kontinua, Nakladatelství Československé akademie věd, Praha, 1959
- [20] ŠUBRT,L.: Teorie desek a skořepin, Ediční středisko ČVUT, Praha, 1991
- [21] BRDIČKA,M.-HLADÍK,A.: Teoretická mechanika, Academia, Praha, 1987
- [22] BRENDEL,H. a kol.:Tribotechnika ,SNTL Praha 1984
- [23] BLAŠKOVIČ,P.-BALLA,J.-DZIMKO,M.:Tribológia,Alfa Bratislava 1990
- [24] ŠTĚPINA,V.-VESELÝ,V.: Maziva v tribologii. Veda Bratislava, 1985
- [25] DORINSON,A.-LUDEMA, K.C.: Mechanics and chemistry in lubrication (Tribology series ,9), Elsevier, 1985
- [26] MANG,T.-DRESEL,W.: Lubricant and Lubrication, Wiley-vch, 1997
- [27] DANE, C.M.: Multi pass friction tests on zinc coated sheet to simulate galling behaviour. Sborník IDDRG, Lisbon, Portugalsko 1994, str. 211-221.
- [28] BAREŠ,K. a kol.:Lisování SNTL, Praha 1971
- [29] TMĚJ,J. – MIKEŠ,V.: Teorie tváření,skripta VŠST, Liberec 1981
- [30] MORTENS, J.: A combined physical and numerical simulation of tool performance in conventional deep-drawing operations. Sborník IDDRG, Lisbon, Portugalsko 1994, str. 233-239.
- [31] MARCINIAK, Z.:Teorie tváření plechů, SNTL Praha 1964
- [32] MELOUN,M.-MILITKÝ,J.: Statistické zpracování experimentálních dat,edice PLUS, Praha, 1994
- [33] DRÁB,V.-MOC,L.: Teorie spolehlivosti a řízení jakosti, skripta VŠST, Liberec, 1992
- [34] SOLFRONK,P.: Metodika měření koeficientu tření zkouškou protahováním pásku, výzkumná zpráva č. HC 2350/478, Liberec, 2001
- [35] KUČERA,O.: Nastavení lisu GRS II pro lisování pátých dveří A04 combi, technická zpráva, 15.9. 2000, Škoda Auto a.s. Mladá Boleslav
- [36] PAM-SYSTEM: PAM-STAMP™ Reference manual, Software Company of ESI Group, Paris,2000

Přehled publikací:

1. SOLFRONK,P.:Vliv povrchu plechu na tribologické podmínky při tažení plechu. TRANSFER 99, Brno, ISBN 80-214-1347-7, str. K53.
2. SOLFRONK, P. - KOLNEROVÁ, M.: Vliv morfologie povrchů plechů typu "SIBETEX" na tribologické podmínky při tažení výlisků. . In. Sympozium TU Dresden - TU Liberec, Dresden září 1999, ISBN 3-86005-235-7 s.147-152
3. SOLFRONK,P. - KOLNEROVÁ,M.: Vliv morfologie povrchu plechů na tribologické vlastnosti. In:Sborník mezinárodní konference Materiálového inženýrství, Liberec 2000, s .218-223.
4. SOLFRONK,P. - KOLNEROVÁ,M.: Vliv textury povrchu plechu určeného pro hluboké tažení na tribologické vlastnosti. . In: 5. Mezinárodní konference Form 2000, Brno 2000, s. 133-138.
5. SOLFRONK,P. - KOLNEROVÁ,M.: Využití software PAM-STAMP při zjištění mezních stavů při ohýbání trubek. In:PRO-TECH-MA 2002, Košice, SR, s.145-150. ISSN 1335-2393
6. SOLFRONK,P. - KOLNEROVÁ,M.: Vliv výpočtového modelu na přesnost výsledku simulace mezního stavu při tváření hliníkových slitin. In: "Nové smery vo výrobnom inžinierstve 2002"Prešov, SR, s.148-151. ISBN 80-70099-828-8
7. SOLFRONK,P. - KOLNEROVÁ,M.: Simulace mezního stavu pomocí software PAM-STAMP při ohýbání trubek. In: "FORM 2002", Brno,ČR,s.213-218.ISBN 80-214-2162-2
8. SOLFRONK,P. - KOLNEROVÁ,M.: Simulace mezního stavu pomocí software PAM-STAMP při tváření hliníkových slitin.In:"FORMING 2002", Luhačovice,ČR
9. SOLFRONK,P. - KOLNEROVÁ,M.: Simulace procesu rozširování stříhaného otvoru pomocí software PAM-STAMP. In:TECHNOLÓGIA 2001, Bratislava 2001, s.356-359. ISBN 80-337-1567-0
10. SOLFRONK,P. - KOLNEROVÁ,M.: Simulace účinků brzdící lišty používané při hlubokém tažení. In:XIII. Vědecké sympozium TU Liberec - TU Dresden, Liberec 2001, s.37-42. ISBN 80 -7083- 469 -2
11. KOLNEROVÁ,M - SOLFRONK,P.: Vliv technologických podmínek při vypínání plechů s povlaky. In: 5. Mezinárodní konference Form 2000, Brno 2000, s. 139-144.

-
12. KOLNEROVÁ,M - SOLFRONK,P.: Morfologie povrchu plechů určených pro lisování. In: Sborník mezinárodní konference Materiálového inženýrství, Liberec 2000, s.110 -115.
 13. HISEM ,P. - SOLFRONK,P. - KOLNEROVÁ,M. : Hodnocení maziv z hlediska lisování a lepení plechů v automobilovém průmyslu. . In. Sympozium TU Dresden - TU Liberec, Dresden září 1999, ISBN 3-86005-235-7 s.1-6
 14. KOLNEROVÁ,M - SOLFRONK,P.: Hodnocení povrchu plechu při vypínání. In:TECHNOLÓGIA 2001, Bratislava 2001,s.306 - 307.ISBN 80-227-1567-0
 15. KOLNEROVÁ,M - SOLFRONK,P.: Vliv povrchové úpravy plechu na jeho lisovatelnost. In:XIII. Vědecké sympozium TU Liberec - TU Liberec, Liberec 2001, s.22 -27.ISBN 80 -7083- 469 –2
 16. KOLNEROVÁ,M - SOLFRONK,P.: Morfologie plechů se zinkovým povlakem používaných v automobilovém průmyslu. In:METAL 2001, Ostrava 2001, s.73 - 79. ISBN 80-85988 -56-9
 17. KOLNEROVÁ,M - SOLFRONK,P.: Hodnocení tribologických vlastností hliníkových plechů používaných v automobilovém průmyslu. In: "PRO-TECH-MA 2002", Košice, SR, s.243-248.ISSN 1335-2393
 18. KOLNEROVÁ,M - SOLFRONK,P.: Vliv teploty nástroje při hodnocení tribologických vlastností plechů určených k lisování. In: "Nové smery vo výrobnom inžinierstve 2002", Prešov, SR, s.53-56. ISBN 80-70099-828-8
 19. KOLNEROVÁ,M - SOLFRONK,P.: Porovnání tribologických vlastností hliníkových a ocelových plechů používaných při stavbě karoserie.In:" FORM 2002", Brno, ČR, s.207-212.ISBN 80-214-2162-2
 20. KOLNEROVÁ,M - SOLFRONK,P.: Simulace odpružení výlisku z pevnostního plechu pomocí software PAM-STAMP.In: "FORMING 2002", Luhačovice, ČR

TECHNICKÁ UNIVERZITA V LIBERCI

FAKULTA STROJNÍ



Disertační práce

**Vliv morfologie povrchu plechu na rozvoj deformace při
tažení výlisků z plechu**

Přílohy

2002

Ing. Pavel Solfronk

TECHNICKÁ UNIVERZITA V LIBERCI
FAKULTA STROJNÍ

Obor 23-03V Strojní inženýrství

zaměření

Tváření kovů a plastů

Katedra strojírenské technologie

Oddělení tváření kovů a plastů

Přílohy disertační práce

**Vliv morfologie povrchu plechu na rozvoj deformace při tažení výlisků
z plechu**

**Influence of the morphology of the surface of metal sheets upon the course
of the deformation when drawing stamped metal sheets**

Ing. Pavel Solfronk

Vedoucí katedry: Prof. Ing. Jaroslav Exner, CSc.

Školitel: Doc. Ing. Mirko Král, CSc.

Rozsah práce a příloh:

Počet stran: 189

Počet obrázků: 114

Počet tabulek: 41

Počet příloh: 44

**TECHNICKÁ UNIVERZITA
v Liberci**
Katedra strojírenské technologie FS

Hálkova 6, 461 17 Liberec
tel.48 535 3374, fax.48 535 3334, E-mail: pavel.solfronk@vslib.cz

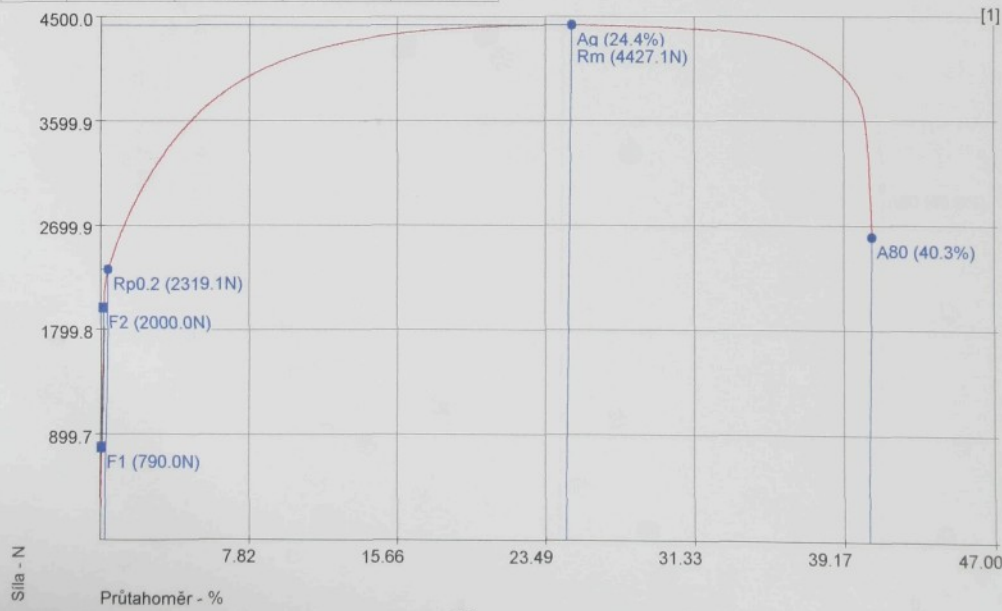
Statická zkouška tahem

Vstupní hodnoty

Testovaný materiál :	DX 54 D+Z100 MBO	Rozměr vzorku :	20 x 0,77 mm
Výrobce :	Salzgitter Stahl GmbH	Datum provedení zkoušky :	22.1.2002
Morfologie povrchu :	PRETEX	Vypracoval :	Ing. Pavel Solfronk
Směr :	0°	Zkouška provedena dle :	EN 10002

Výstupní hodnoty

Zkouška	Rp0.2 MPa	Rm MPa	Aq %	A80 %
1	151.35	288.92	24.43	40.27
2	149.60	287.44	25.07	42.85
3	150.27	289.00	26.08	42.06
4	148.89	286.52	26.58	43.27
5	151.44	288.75	24.42	40.31
6	149.71	287.27	26.02	42.91
7	151.10	289.03	25.60	42.04
8	149.12	286.57	25.63	43.13
x	150.19	287.94	25.48	42.11
s	1.01	1.10	0.78	1.21



**TECHNICKÁ UNIVERZITA
v Liberci**
Katedra strojírenské technologie FS

Hálkova 6, 461 17 Liberec
tel.48 535 3374, fax.48 535 3334, E-mail: pavel.solfronk@vslib.cz

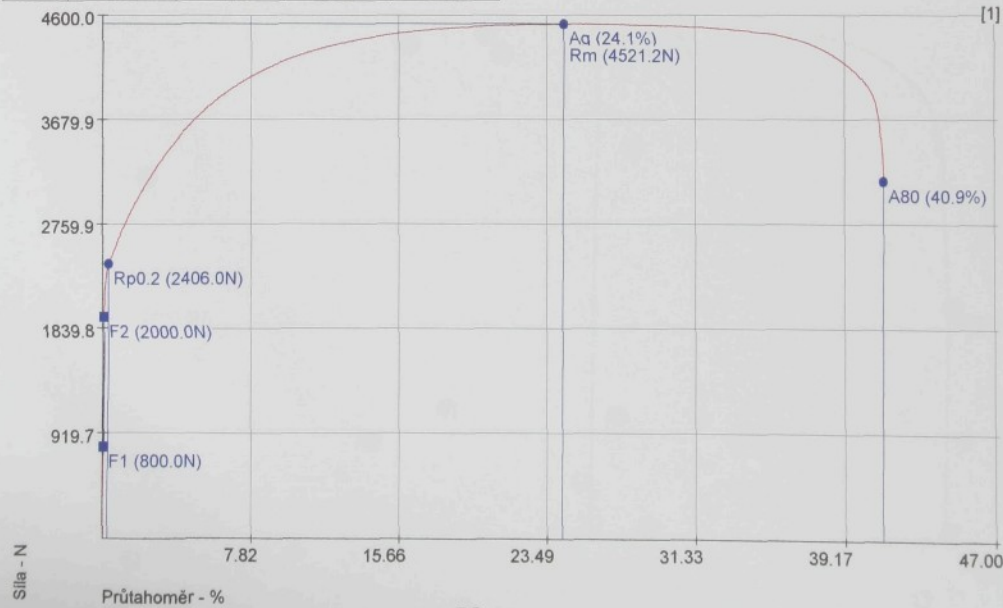
Statická zkouška tahem

Vstupní hodnoty

Testovaný materiál :	DX 54 D+Z100 MBO	Rozměr vzorku :	20 x 0,77 mm
Výrobce :	Salzgitter Stahl GmbH	Datum provedení zkoušky :	22.1.2002
Morfologie povrchu :	PRETEX	Vypracoval :	Ing. Pavel Solfronk
Směr :	45°	Zkouška provedena dle :	EN 10002

Výstupní hodnoty

Zkouška	Rp0,2 MPa	Rm MPa	Aq %	A80 %
1	157.02	295.06	24.14	40.94
2	157.58	295.93	24.39	42.06
3	158.06	295.52	25.23	42.37
4	155.73	295.19	23.94	41.06
5	156.91	295.24	24.42	40.94
6	157.84	296.13	24.88	42.02
7	156.95	295.47	25.28	42.40
8	156.88	295.11	25.31	41.07
x	157.12	295.45	24.70	41.61
s	0.72	0.39	0.55	0.66



**TECHNICKÁ UNIVERZITA
v Liberci**
Katedra strojírenské technologie FS

Hálkova 6, 461 17 Liberec
tel. 48 535 3374, fax. 48 535 3334, E-mail: pavel.solfronk@vslib.cz

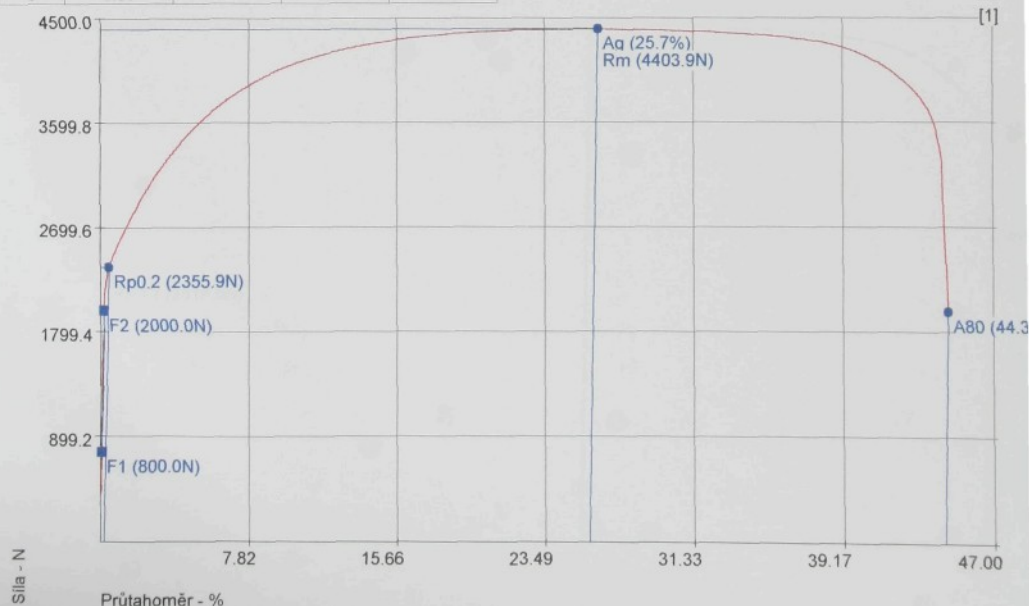
Statická zkouška tahem

Vstupní hodnoty

Testovaný materiál :	DX 54 D+Z100 MBO	Rozměr vzorku :	20 x 0,77 mm
Výrobce :	Salzgitter Stahl GmbH	Datum provedení zkoušky :	22.1.2002
Morfologie povrchu :	PRETEX	Vypracoval :	Ing. Pavel Solfronk
Směr :	90°	Zkouška provedena dle :	EN 10002

Výstupní hodnoty

Zkouška	Rp0.2 MPa	Rm MPa	Aq %	A80 %
1	153.75	287.41	25.71	44.26
2	153.39	287.28	26.07	45.18
3	154.14	286.95	26.11	45.35
4	155.10	287.63	26.02	45.65
5	152.63	287.22	24.85	44.30
6	153.73	287.09	25.18	45.21
7	154.09	287.04	24.75	45.33
8	154.96	287.71	24.62	45.61
x	153.98	287.29	25.41	45.11
s	0.81	0.27	0.63	0.54



TECHNICKÁ UNIVERZITA
v Liberci
Katedra strojírenské technologie FS

Hájekova 6, 461 17 Liberec
tel. 48 535 3374, fax. 48 535 3334, E-mail: pavel.solfron@vslib.cz

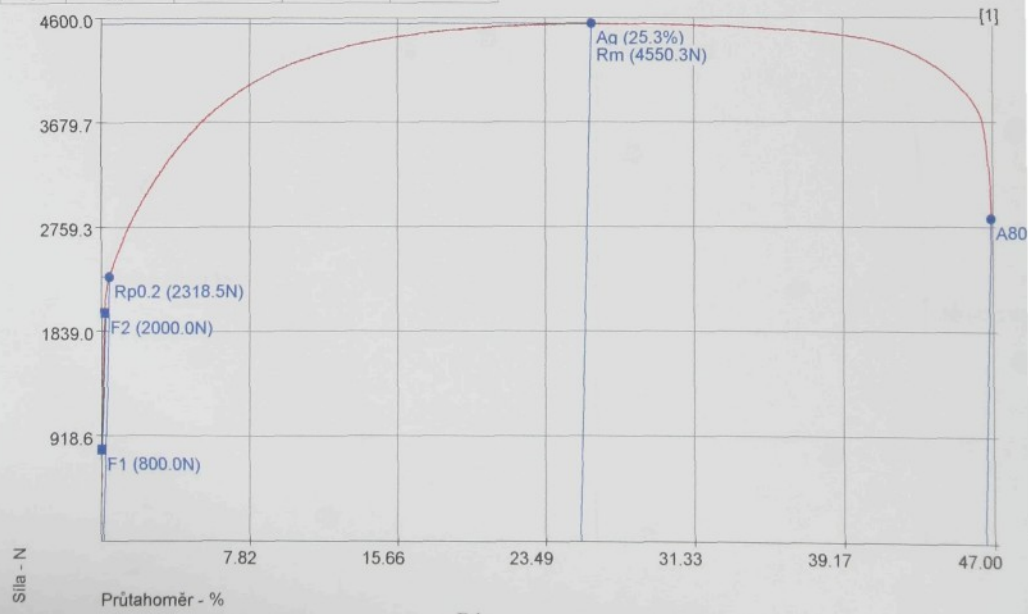
Statická zkouška tahem

Vstupní hodnoty

Testovaný materiál :	DX 54 D+Z100 MBO	Rozměr vzorku :	20 x 0,8 mm
Výrobce :	ARCELOR S.A. Group -Sollac	Datum provedení zkoušky :	7.2. 2002
Morfologie povrchu :	EDT	Vypracoval :	Ing. Pavel Solfron
Směr :	0°	Zkouška provedena dle :	EN 10002

Výstupní hodnoty

Zkouška	Rp0.2 MPa	Rm MPa	Aq %	A80 %
1	146.89	288.29	25.25	46.39
2	147.35	289.13	26.79	45.01
3	146.85	288.44	26.09	46.10
4	147.64	289.09	25.72	45.08
5	146.76	288.59	26.07	46.27
6	147.23	288.73	25.58	46.00
7	147.76	289.51	25.82	44.89
8	147.03	289.44	26.10	44.98
x	147.19	288.90	25.93	45.59
s	0.37	0.46	0.45	0.65



**TECHNICKÁ UNIVERZITA
v Liberci**
Katedra strojírenské technologie FS

Hájkova 6, 461 17 Liberec
tel. 48 535 3374, fax. 48 535 3334, E-mail: pavel.solfronk@vslib.cz

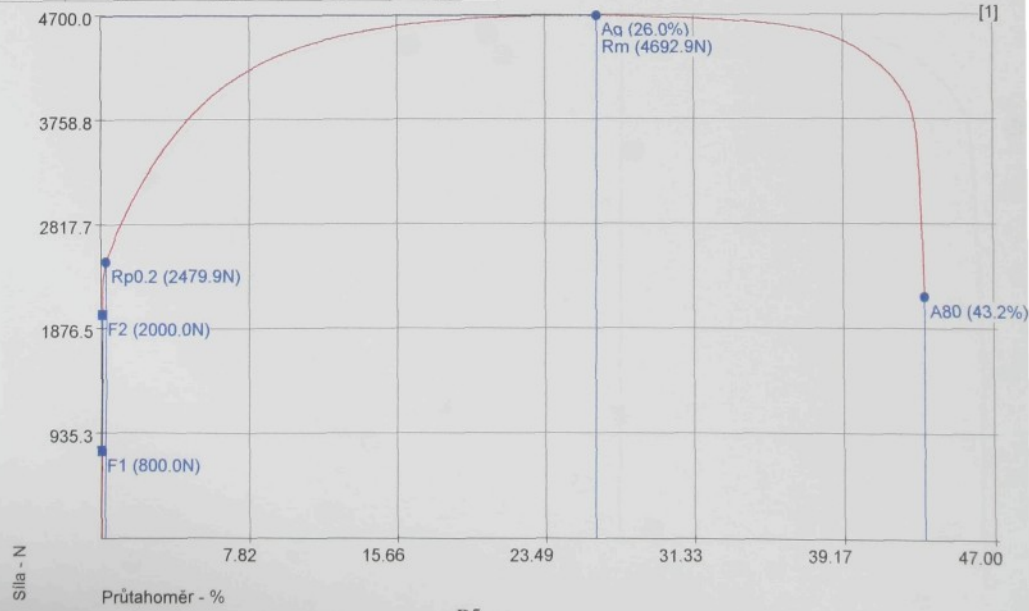
Statická zkouška tahem

Vstupní hodnoty

Testovaný materiál :	DX 54 D+Z100 MBO	Rozměr vzorku :	20 x 0,8 mm
Výrobce :	ARCELOR S.A. Group -Sollac	Datum provedení zkoušky :	7.2. 2002
Morfologie povrchu :	EDT	Vypracoval :	Ing. Pavel Solfronk
Směr :	45°	Zkouška provedena dle :	EN 10002

Výstupní hodnoty

Zkouška	Rp0.2 MPa	Rm MPa	Aq %	A80 %
1	157.27	297.62	25.98	43.20
2	153.32	294.02	25.54	44.34
3	157.30	297.66	24.94	43.15
4	153.17	293.28	25.89	43.94
5	153.17	293.17	25.39	43.85
6	156.05	297.49	24.52	43.09
7	153.35	293.80	25.44	44.23
8	157.70	297.44	25.03	43.11
x	155.17	295.56	25.34	43.61
s	2.10	2.15	0.49	0.53



TECHNICKÁ UNIVERZITA
v Liberci
Katedra strojírenské technologie FS

Hájekova 6, 461 17 Liberec
tel. 48 535 3374, fax. 48 535 3334, E-mail: pavel.solfron@vslib.cz

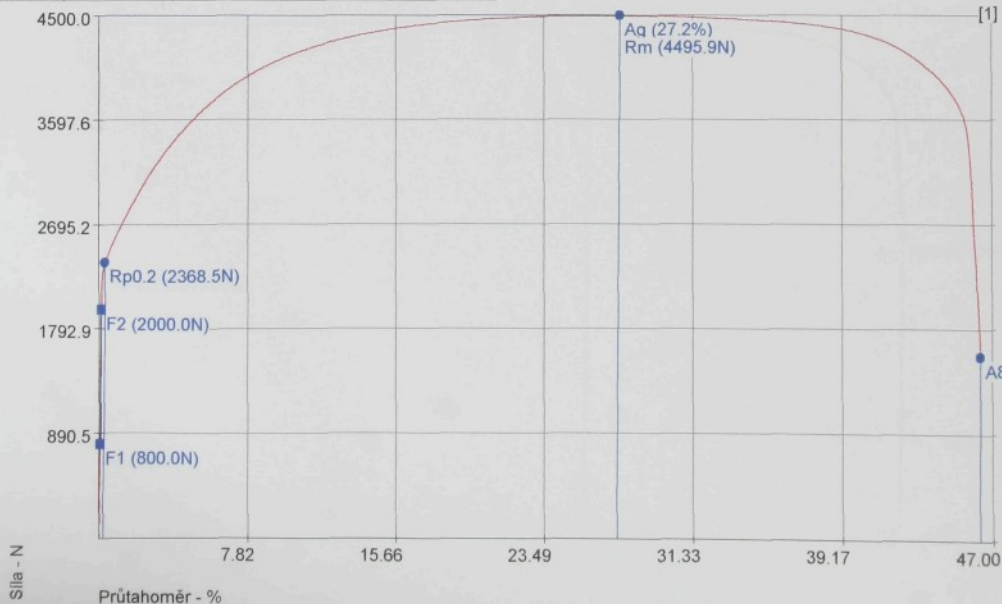
Statická zkouška tahem

Vstupní hodnoty

Testovaný materiál :	DX 54 D+Z100 MBO	Rozměr vzorku :	20 x 0,8 mm
Výrobce :	ARCELOR S.A. Group -Sollac	Datum provedení zkoušky :	7.2. 2002
Morfologie povrchu :	EDT	Vypracoval :	Ing. Pavel Solfron
Směr :	90°	Zkouška provedena dle :	EN 10002

Výstupní hodnoty

Zkouška	Rp0.2 MPa	Rm MPa	Aq %	A80 %
1	150.21	285.13	27.20	46.14
2	152.68	286.16	25.94	44.84
3	152.43	286.36	25.36	45.27
4	152.70	286.11	25.40	44.71
5	150.44	284.96	26.13	46.01
6	152.53	286.26	26.20	45.24
7	153.24	286.27	26.29	44.67
8	148.35	281.60	27.03	45.86
x	151.57	285.36	26.19	45.34
s	1.71	1.61	0.67	0.59



TECHNICKÁ UNIVERZITA
v Liberci
Katedra strojírenské technologie FS

Hájekova 6, 461 17 Liberec
tel. 48 535 3374, fax 48 535 3334, E-mail: pavel.solfronk@vslib.cz

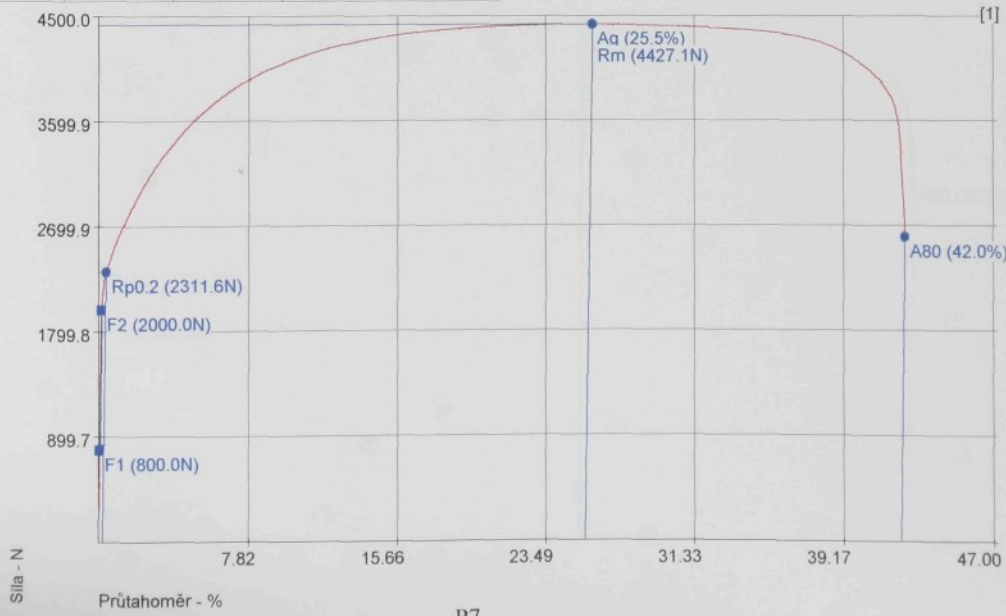
Statická zkouška tahem

Vstupní hodnoty

Testovaný materiál :	DX 54 D+Z100 MBO	Rozměr vzorku :	20 x 0,78 mm
Výrobce :	Voest Alpine Eurostahl GmbH	Datum provedení zkoušky :	16.3. 2002
Morfologie povrchu :	EBT	Vypracoval :	Ing. Pavel Solfronk
Směr :	0°	Zkouška provedena dle :	EN 10002

Výstupní hodnoty

Zkouška	Rp0.2 MPa	Rm MPa	Aq %	A80 %
1	150.48	288.20	25.48	42.01
2	149.89	288.27	27.20	43.87
3	149.22	286.72	26.15	44.70
4	148.52	285.80	27.72	45.13
5	150.98	287.88	25.35	41.86
6	149.50	287.87	26.62	43.71
7	148.28	286.41	27.02	44.55
8	148.52	285.42	26.65	44.84
x	149.43	287.07	26.52	43.83
s	0.98	1.13	0.82	1.27



**TECHNICKÁ UNIVERZITA
v Liberci**
Katedra strojírenské technologie FS

Hájkova 6, 461 17 Liberec
tel. 48 535 3374, fax. 48 535 3334, E-mail: pavel.solfronk@vslib.cz

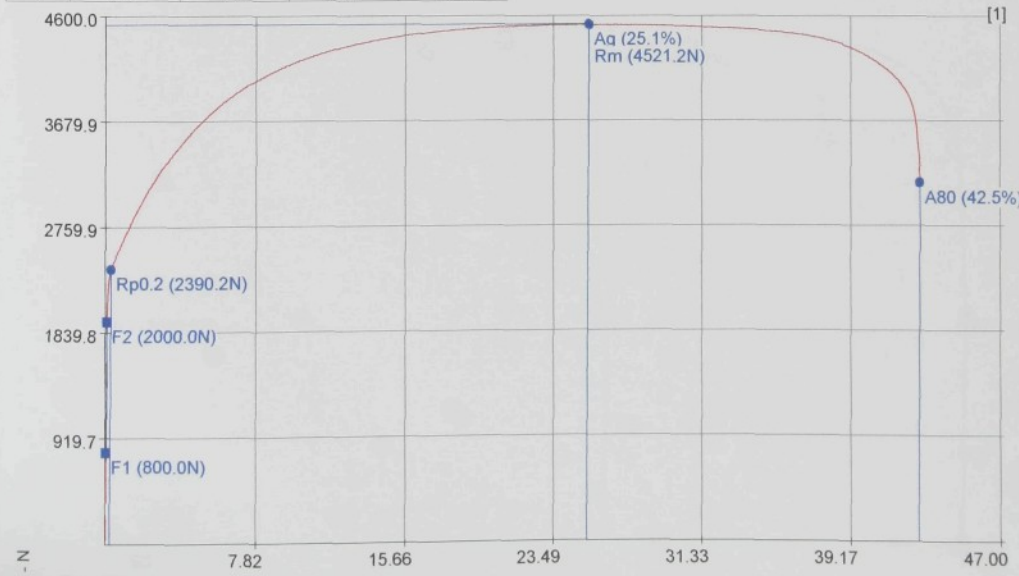
Statická zkouška tahem

Vstupní hodnoty

Testovaný materiál :	DX 54 D+Z100 MBO	Rozměr vzorku :	20 x 0,78 mm
Výrobce :	Voest Alpine Eurostahl GmbH	Datum provedení zkoušky :	16.3. 2002
Morfologie povrchu :	EBT	Vypracoval :	Ing. Pavel Solfronk
Směr :	45°	Zkouška provedena dle :	EN 10002

Výstupní hodnoty

Zkouška	Rp0.2 MPa	Rm MPa	Aq %	A80 %
1	155.44	294.03	25.08	42.54
2	156.28	294.48	26.21	44.02
3	157.03	294.89	25.34	43.70
4	155.19	294.15	24.88	42.66
5	155.86	294.35	25.48	42.73
6	156.64	294.87	26.35	44.20
7	156.81	295.24	25.97	43.86
8	156.57	294.52	26.38	42.81
x	156.23	294.57	25.71	43.31
s	0.67	0.41	0.59	0.69



**TECHNICKÁ UNIVERZITA
v Liberci**
Katedra strojírenské technologie FS

Hálkova 6, 461 17 Liberec
tel. 48 535 3374, fax. 48 535 3334, E-mail: pavel.solfronk@vslib.cz

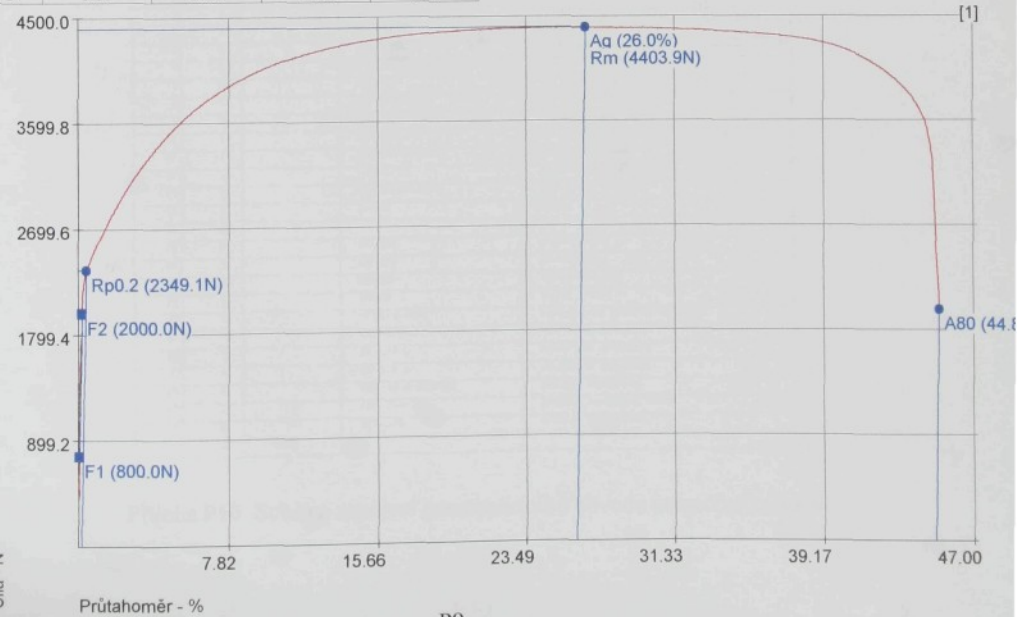
Statická zkouška tahem

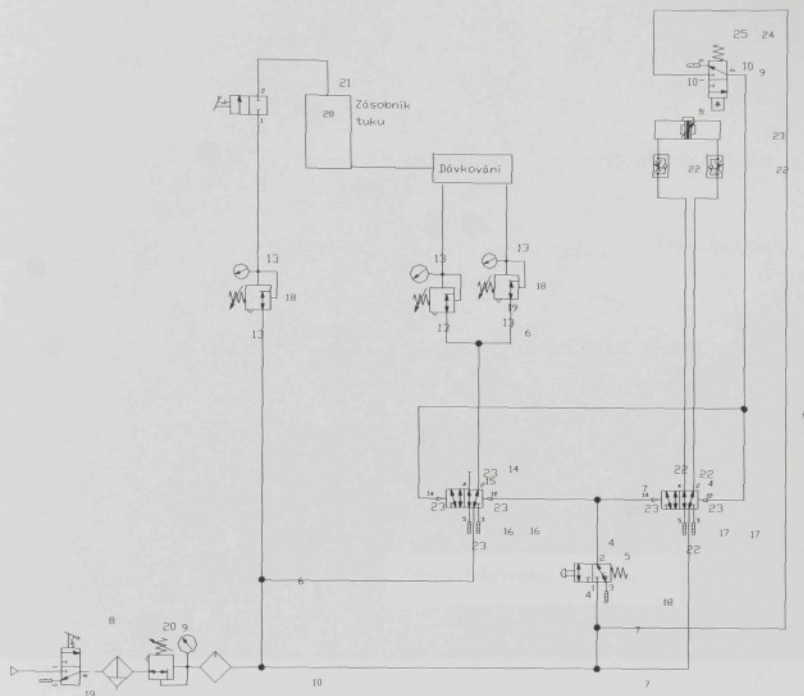
Vstupní hodnoty

Testovaný materiál :	DX 54 D+Z100 MBO	Rozměr vzorku :	20 x 0,78 mm
Výrobce :	Voest Alpine Eurostahl GmbH	Datum provedení zkoušky :	16.3. 2002
Morfologie povrchu :	EBT	Vypracoval :	Ing. Pavel Solfronk
Směr :	90°	Zkouška provedena dle :	EN 10002

Výstupní hodnoty

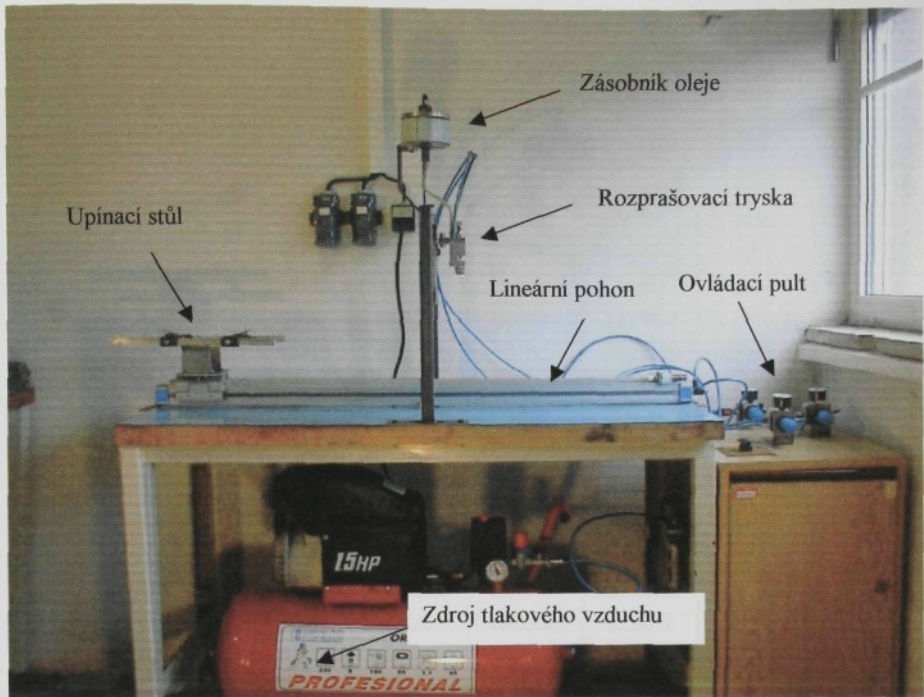
Zkouška	Rp0.2 MPa	Rm MPa	Aq %	A80 %
1	152.77	286.40	26.03	44.82
2	153.60	285.94	26.44	45.92
3	152.86	286.28	26.40	45.76
4	154.56	286.62	26.35	46.23
5	152.32	286.65	25.31	45.12
6	153.63	286.18	25.24	46.23
7	153.42	286.51	25.65	46.05
8	154.50	286.84	25.10	46.51
x	153.46	286.43	25.82	45.83
s	0.80	0.29	0.56	0.58





Poz	Počet	Teilenummer	typ	název zboží
1	1	DGFL-25-1000-PFV-A-GF-B	pneum. lineární pohon, s kluzným vedením	
2	2	GRLA-1/8-DS-6-RS-B	skřítič zpětný ventil	
3	1	SMPD-0-BE	pneumatické přiblížovací čidlo	
4	1	J-5-1/4B	pneum. impulzní ventil	
5	1	SV-3-M5	ventil pro panelovou montáž (základní ventil)	
6	1	P-REISSCHWARZ	hrívavé tláčítka	
7	6	DSL-6	T - nástrčné spojky	
8	1	HE-D-MINI	spinaci ventily	
9	1	FRC-1/4-D-MINI	jednotka pro úpravu stlač. vzduchu	
10	1	DSL-1/4-6	T - šroubení s nástrčnými koncovkami	
11	1	LR-1/4-D-MINI	redukční ventil	
12	1	J-5-1/8B	pneum. impulzní ventil	
13	1	HE-3-1/8-DS-6	uzavírací ventil	
14	1	B-1/8	zárka	
15	2			
16	1	UC-1/B	tlumící kluky	
17	2	UC-1/4	tlumící kluky	
18	2	UC-M5	tlumící kluky	
19	1	U-1/8	tlumící kluky	
20	1	HF DE-D-MINI	upevňovací gumeník (2 kusy)	
21	4	OSM-1/8-6	nástrčné šroubení	
22	9	OS-1/4-6	nástrčné šroubení	
23	6	OS-1/8-6	nástrčné šroubení	
24	2	MAP-40-6-1/8-EN	přesný manometr	
25	1	LRP-1/4-10	přesný redukční ventil	
26	1	SCN-1/8	vnitřní průchodka	
27	1	178230		

Příloha P10. Schéma zapojení pneumatického obvodu mazacího zařízení.



Příloha P11. Fotografie zařízení pro nanášení maziv.

Příloha P12. Zkouška protahováním pásku - tabulka naměřených a vypočtených hodnot, materiál Salzgitter PRETEX, rychlosť posuvu $v = 1 \text{ mm s}^{-1}$, mazivo AC PL3802-39LV

Mazivo Anticorit AC PL 3802-39LV (množství maziva $1,2 \pm 0,2 \text{ g m}^{-2}$). Rychlosť posuvu $v=1 \text{ mm s}^{-1}$.

Materiál čelistí 19 312 (kaleno na $60 \pm 2 \text{ HRC}$). Drsnosť čelistí $Ra = 0,22 \mu\text{m}$, $Rz = 1,87 \mu\text{m}$. Teplota: $22 \pm 2^\circ\text{C}$

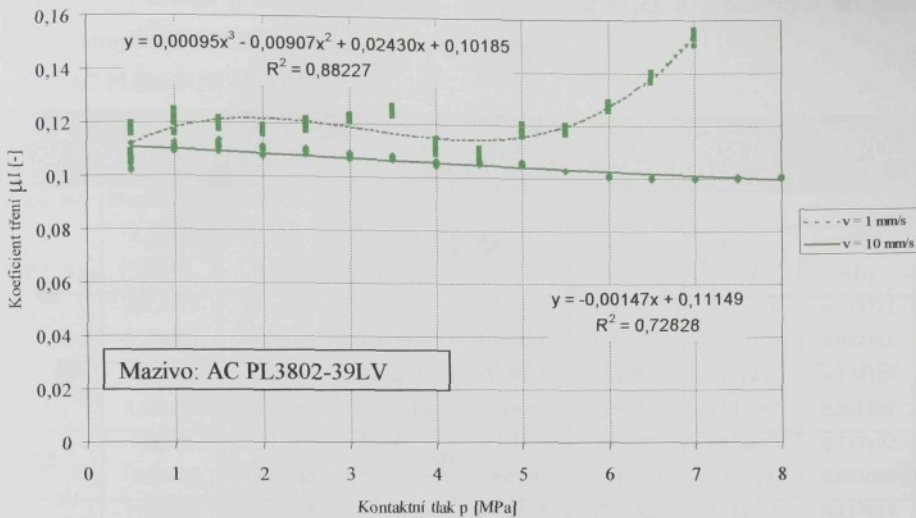
Kontaktní tlak p [MPa]	Naměřené a vypočítané hodnoty						
	F_{max} [N] s [N]	F_s [N] s [N]	F_h [N] s [N]	F_{min} [N] s [N]	ΔF [N] s [N]	μ_l [-] s [-]	μ_H [-] s [-]
0,5	223,06 8,480942	171,0338 8,901482	182,9963 7,616011	159,0713 10,83964	23,925 5,835867	0,120392 0,005011	0,112522 0,005856
1	452,055 10,67635	364,1356 10,15082	376,5488 8,653025	351,7225 12,04545	24,82625 5,270573	0,123865 0,002846	0,119781 0,003339
1,5	728,2938 6,273798	542,5131 12,60862	558,2363 11,92015	526,79 13,46325	31,44625 3,284705	0,12242 0,002614	0,118972 0,002765
2	971,145 10,24523	717,9506 6,938453	732,3813 6,226713	703,52 8,025782	28,86125 3,715068	0,120457 0,001024	0,118084 0,001141
2,5	1241,866 17,11326	904,9525 13,11058	924,6363 11,97033	885,2688 15,17745	39,3675 7,729025	0,121663 0,001575	0,119073 0,001725
3	1493,656 15,08598	1111,828 6,578252	1143,011 10,22608	1080,644 6,226489	62,3675 10,65787	0,12533 0,001121	0,121911 0,000721
3,5	1772,443 21,447	1334,234 12,86586	1373,844 9,979966	1294,624 16,90795	79,22 10,43246	0,129121 0,000938	0,125398 0,001209
4	2120,521 30,85246	1358,571 24,61536	1633,274 12,63177	1083,869 39,44816	549,405 31,74545	0,134315 0,001039	0,111725 0,002024
4,5	2457,293 18,11322	1498,749 22,56584	1875,615 20,30016	1121,884 29,05093	753,7313 21,79995	0,137106 0,001484	0,109558 0,00165
5	2645,145 24,83145	1782,127 24,80377	2248,658 18,87293	1315,596 32,56741	933,0613 19,30643	0,147938 0,001242	0,117245 0,001632
5,5	2845,323 20,96989	1979,264 23,68698	2601,086 17,5819	1357,441 33,26467	1243,645 24,22872	0,155567 0,001052	0,118377 0,001417
6	3259,354 26,1106	2325,464 26,54768	3052,064 23,45744	1598,864 32,99698	1453,2 21,42396	0,167328 0,001286	0,127493 0,001455
6,5	3646,746 21,27841	2725,323 24,32616	3646,746 21,27841	1803,9 32,63957	1842,846 25,86845	0,184552 0,001077	0,137921 0,001231
7	4406,725 44,30082	3287,541 41,37881	4406,725 44,30082	2168,358 42,68355	2238,368 26,83414	0,207083 0,002082	0,15449 0,001944
7,5							
8							

Příloha P13. Zkouška protahováním pásku - tabulka naměřených a vypočtených hodnot, materiál Salzgitter PRETEX, rychlosť posuvu $v = 10 \text{ mm s}^{-1}$, mazivo AC PL3802-39LV

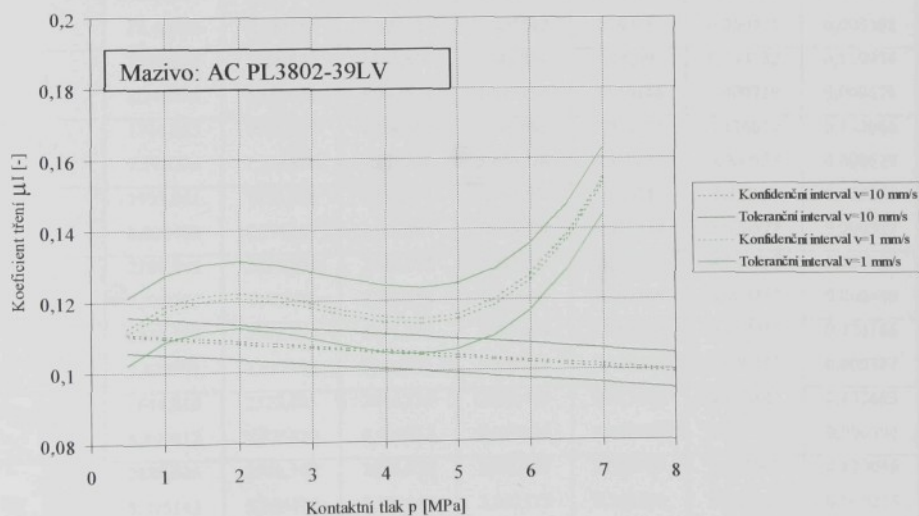
Mazivo Anticorit AC PL 3802-39LV (množství maziva $1,2 \pm 0,2 \text{ g m}^{-2}$). Rychlosť posuvu $v=10 \text{ mm s}^{-1}$.

Materiál čelisti 19 312 (kaleno na $60 \pm 2 \text{ HRC}$). Drsnosť čelisti $Ra = 0,22 \mu\text{m}$, $Rz = 1,87 \mu\text{m}$. Teplota: $22 \pm 2^\circ\text{C}$

Kontaktní tlak p [MPa]	Naměřené a vypočítané hodnoty						
	F _{max} [N] s [N]	F _s [N] s [N]	F _b [N] s [N]	F _{min} [N] s [N]	ΔF [N] s [N]	μI [-] s [-]	μII [-] s [-]
0,5	196,13 4,721843	160,3225 5,057702	173,8963 4,233087	146,7488 6,832376	27,1475 5,184531	0,114405 0,002785	0,105475 0,003327
	400,7775 8,233116	335,5969 4,044059	347,8375 5,230613	323,3563 3,14565	24,48125 3,015159	0,11442 0,001721	0,110394 0,00133
1,5	646,8725 6,700328	505,9669 7,33281	518,58 7,161658	493,3538 7,737502	25,22625 2,690008	0,113724 0,001571	0,110958 0,001608
	885,2475 8,267604	666,7631 9,024803	681,4675 7,818567	652,0588 10,38238	29,40875 3,472642	0,112083 0,001286	0,109665 0,001484
2,5	1149,718 14,4259	832,8213 5,735609	852,8638 5,017392	812,7788 6,801192	40,085 3,357384	0,112219 0,00066	0,109582 0,000755
	1354,444 9,856258	988,325 7,059154	1006,911 6,823023	969,7388 8,033513	37,1725 4,780722	0,110407 0,000748	0,108369 0,000774
3,5	1584,61 12,50446	1145,531 7,157145	1174,184 7,302917	1116,879 7,597677	57,305 4,149179	0,110356 0,000686	0,107663 0,000673
	1864,989 8,299753	1279,134 7,352257	1314,811 7,673732	1243,458 7,615073	71,35375 4,186676	0,108126 0,000631	0,105192 0,000605
4,5	2158,145 19,28508	1443,933 6,570954	1481,973 7,610241	1405,894 6,090637	76,07875 4,160949	0,108331 0,000556	0,105551 0,00048
	2461,413 11,16377	1607,633 8,755822	1647,63 7,520435	1567,635 10,3455	79,995 4,529352	0,108397 0,000495	0,105765 0,000576
5,5	2664,666 18,36678	1721,113 3,879563	1780,846 4,473027	1661,38 5,061948	119,4663 5,573019	0,10651 0,000268	0,102937 0,000232
	3094,344 9,997497	1841,724 5,896287	1935,329 6,81777	1748,12 6,974191	187,2088 7,153869	0,106104 0,000374	0,100972 0,000323
6,5	3464,166 12,35482	1978,528 5,705602	2081,851 6,384097	1875,204 6,085322	206,6475 5,035882	0,105357 0,000323	0,100128 0,000289
	3669,114 19,05766	2130,993 6,523267	2238,494 5,880921	2023,493 8,065322	215,0013 5,390477	0,105192 0,000276	0,100141 0,000307
7,5	3876,838 14,53791	2287,106 8,320352	2404,505 6,505176	2169,706 12,48761	234,7988 10,93628	0,105461 0,000285	0,100312 0,000365
	4096,199 10,48753	2449,743 8,628444	2567,468 8,960648	2332,019 8,949933	235,4488 4,794671	0,10557 0,000368	0,10073 0,000355



Příloha P14.1. Průběh závislosti $\mu_{II} = f(p)$ při rychlosti posuvu $v = 1$ a 10 mm s^{-1}
materiál Salzgitter PRETEX



Příloha P14.2. Oboustranné konfidenční a toleranční intervaly pro $\mu_{II} = f(p)$,
rychlosť posuvu $v = 1$ a 10 mm s^{-1} , materiál Salzgitter PRETEX

Příloha P15. Zkouška protahováním pásku - tabulka naměřených a vypočtených hodnot, materiál Salzgitter PRETEX, rychlosť posuvu $v = 1 \text{ mm s}^{-1}$, mazivo AC PL3802-39LV+AP167/22

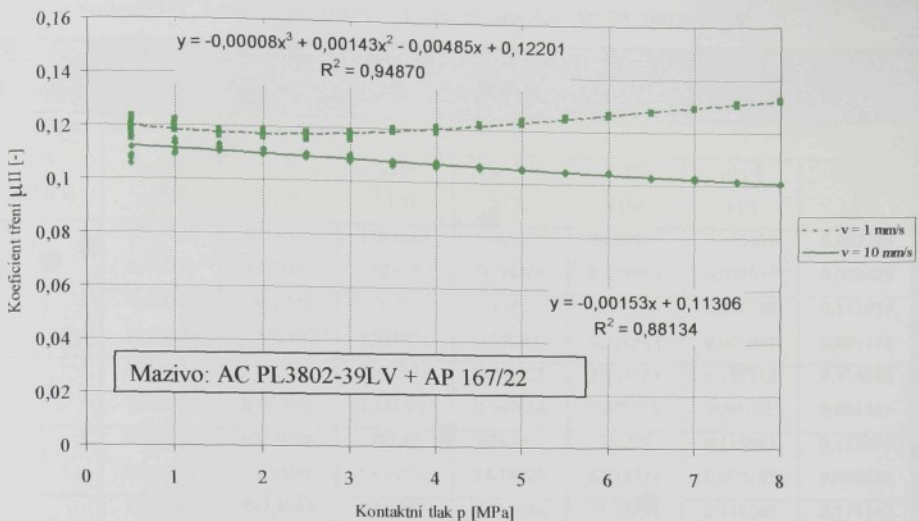
Mazivo Anticorit AC PL 3802-39LV ($1,2 \pm 0,2 \text{ g m}^{-2}$) + AP167/22 ($2 \pm 0,2 \text{ g m}^{-2}$) Rychlosť posuvu $v=1 \text{ mm s}^{-1}$. Materiál čelisti 19 312 (kaleno na $60 \pm 2 \text{ HRC}$). Drsnosť čelisti $Ra = 0,22 \mu\text{m}$, $Rz = 1,87 \mu\text{m}$. Teplota: $22 \pm 2^\circ\text{C}$							
Kontaktní tlak $p [\text{MPa}]$	Naměřená a vypočítané hodnoty						
	$F_{\max} [\text{N}]$ s [N]	$F_s [\text{N}]$ s [N]	$F_h [\text{N}]$ s [N]	$F_{\min} [\text{N}]$ s [N]	$\Delta F [\text{N}]$ s [N]	$\mu I [-]$ s [-]	$\mu II [-]$ s [-]
0,5	207,5775 5,270104	181,0675 4,232615	190,195 3,513627	171,94 5,347007	18,255 3,195622	0,125128 0,002312	0,119123 0,002785
	407,0875 8,923117	365,9231 4,221899	377,8725 5,012509	353,9738 4,299947	23,89875 3,991471	0,1243 0,001649	0,120369 0,001389
1,5	570,385 10,8444	534,395 4,953985	551,0713 5,607223	517,7188 5,405403	33,3525 4,811527	0,120849 0,00123	0,117192 0,001086
	775,9275 12,70146	711,5756 5,430245	732,9588 5,648998	690,1925 8,21706	42,76625 8,995126	0,120552 0,000929	0,117035 0,000893
2,5	953,755 6,351711	887,53 8,630324	914,705 7,268175	860,355 10,45026	54,35 5,112587	0,120356 0,000956	0,11678 0,001136
	1155,134 14,41195	1071,838 10,79658	1106,521 9,245953	1037,155 13,48833	69,36625 8,281354	0,121329 0,001014	0,117526 0,001184
3,5	1356,87 12,40896	1273,424 6,184357	1307,106 7,824651	1239,743 6,621542	67,36375 7,560087	0,122848 0,000735	0,119683 0,000581
	1511,874 8,741574	1458,879 8,155021	1511,874 8,741574	1405,884 10,47156	105,99 10,30146	0,124332 0,000719	0,119974 0,000671
4,5	1734,853 7,178276	1669,869 7,238858	1734,853 7,178276	1604,885 8,670576	129,9675 6,618821	0,126817 0,000525	0,122066 0,000529
	1953,051 8,003405	1873,536 8,770167	1953,051 8,003405	1794,02 10,49338	159,0313 6,377134	0,12849 0,000527	0,123259 0,000577
5,5	2180,895 7,239554	2084,203 7,48506	2180,895 7,239554	1987,51 9,31369	193,385 7,362569	0,130436 0,000433	0,124653 0,000448
	2411,553 9,436991	2301,624 7,057995	2411,553 9,436991	2191,696 6,659318	219,8563 8,218602	0,132212 0,000517	0,126186 0,000387
6,5	2644,819 6,899812	2522,631 7,826829	2644,819 6,899812	2400,443 9,800032	244,3763 6,500697	0,133847 0,000349	0,127663 0,000396
	2885,626 8,825143	2746,107 5,206475	2885,626 8,825143	2606,588 3,212577	279,0388 8,244881	0,135603 0,000415	0,129046 0,000245
7,5	3136,091 7,646754	2982,402 8,031255	3136,091 7,646754	2828,713 9,969335	307,3788 7,597153	0,137548 0,000335	0,130807 0,000352
	3385,029 7,600046	3214,331 11,272	3385,029 7,600046	3043,633 15,66495	341,3963 9,903079	0,139187 0,000313	0,132168 0,000463

Příloha P16. Zkouška protahováním pásku - tabulka naměřených a vypočtených hodnot,
 materiál Salzgitter PRETEX, rychlosť posuvu $v = 10 \text{ mm s}^{-1}$,
 mazivo AC PL3802-39LV+AP167/22

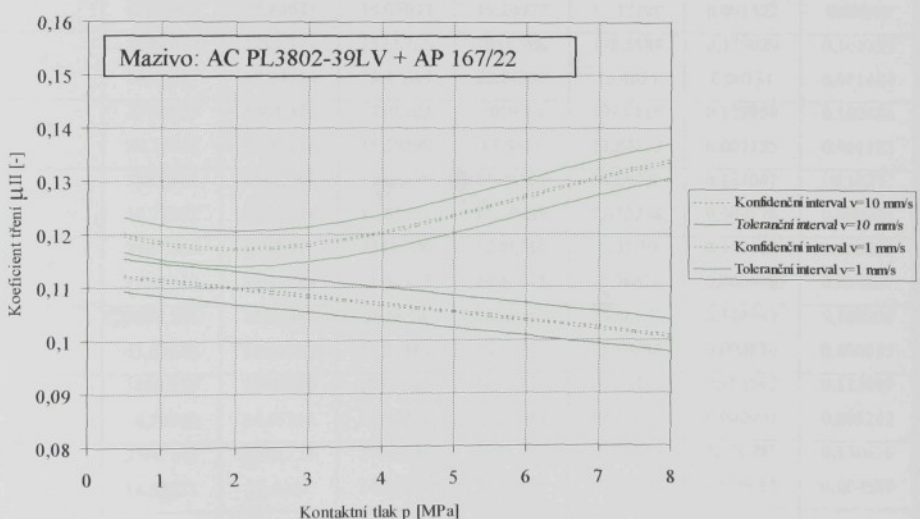
Mazivo Anticorit AC PL 3802-39LV ($1,2 \pm 0,2 \text{ g m}^{-3}$) + AP167/22 ($2 \pm 0,2 \text{ g m}^{-3}$) Rychlosť posuvu $v=10 \text{ mm s}^{-1}$.

Materiál čelistí 19 312 (kaleno na $60 \pm 2 \text{ HRC}$). Drsnosť čelisti $Ra = 0,22 \mu\text{m}$, $Rz = 1,87 \mu\text{m}$. Teplota: $22 \pm 2^\circ\text{C}$

Kontaktní tlak p [MPa]	Naměřené a vypočítané hodnoty						
	F _{max} [N] s [N]	F _s [N] s [N]	F _h [N] s [N]	F _{min} [N] s [N]	ΔF [N] s [N]	μI [-] s [-]	μII [-] s [-]
0,5	201,2263 10,1907	168,1106 5,65259	176,7525 4,815433	159,4688 7,025119	17,28375 4,156234	0,116285 0,003168	0,110599 0,003719
	413,2738 7,726424	339,7419 6,635351	349,8575 5,332935	329,6263 8,357843	20,23125 4,525037	0,115085 0,001754	0,111757 0,002183
1,5	655,295 6,191584	511,6738 4,388901	522,1363 5,037769	501,2113 4,229527	20,925 3,079968	0,114504 0,001105	0,112209 0,000962
	892,8425 11,45671	672,6019 5,1736	685,6325 4,612101	659,5713 6,348346	26,06125 4,010164	0,112769 0,000759	0,110625 0,000851
2,5	1172,42 9,81051	830,7813 4,092153	845,1125 4,377086	816,45 4,380845	28,6625 3,117447	0,111199 0,000576	0,109313 0,000538
	1294,945 13,52314	990,5175 8,723347	1006,475 8,251493	974,56 9,500206	31,915 3,506423	0,110359 0,000905	0,108609 0,000957
3,5	1555,901 20,92288	1139,667 7,387236	1157,029 7,156225	1122,305 7,989477	34,72375 3,435341	0,108743 0,000673	0,107112 0,000694
	1796,95 10,92624	1296,152 8,240267	1313,295 8,411893	1279,009 8,313135	34,28625 2,85102	0,108001 0,000692	0,106591 0,000678
4	2082,465 8,885785	1450,928 7,367506	1468,625 8,649946	1433,23 6,258845	35,395 3,296791	0,107356 0,000632	0,106062 0,000539
	2359,971 9,064791	1605,278 5,349677	1623,703 5,763349	1586,854 5,595996	36,84875 3,819235	0,106823 0,000379	0,10561 0,000352
5,5	2552,423 16,37734	1747,649 5,178236	1768,285 4,869415	1727,014 5,79012	41,27125 2,686418	0,105759 0,000291	0,104524 0,00031
	2874,623 13,94143	1903,316 6,646148	1924,4 6,48149	1882,233 7,47319	42,1675 4,362505	0,105504 0,000355	0,104348 0,000364
6	3253,2 18,71031	2033,716 5,315629	2055,671 4,541417	2011,761 6,390179	43,91 3,145482	0,104032 0,00023	0,102921 0,000269
	3414,288 6,804548	2180,502 9,01152	2203,774 10,22669	2157,23 8,067232	46,54375 3,808003	0,103561 0,000481	0,102467 0,000423
7	3536,654 15,43038	2313,353 6,967481	2339,843 6,26764	2286,864 8,153676	52,97875 4,165132	0,102625 0,000275	0,101463 0,000306
	3751,068 19,69612	2446,488 6,823675	2474,085 6,341913	2418,891 7,923954	55,19375 4,44608	0,10173 0,000261	0,100596 0,000281



Příloha P17.1. Průběh závislosti $\mu_{II} = f(p)$ při rychlosti posuvu $v = 1$ a 10 mm s^{-1}
materiál Salzgitter PRETEX



Příloha P17.2. Oboustranné konfidenční a toleranční intervaly pro $\mu_{II} = f(p)$,
rychlosti posuvu $v = 1$ a 10 mm s^{-1} , materiál Salzgitter PRETEX

Příloha P18. Zkouška protahováním pásku - tabulka naměřených a vypočtených hodnot, materiál Sollac EDT, rychlosť posuvu $v = 1 \text{ mm s}^{-1}$, mazivo AC PL3802-39LV

Mazivo Anticorit AC PL 3802-39LV (množství maziva $1,2 \pm 0,2 \text{ g m}^{-2}$). Rychlosť posuvu $v=1 \text{ mm s}^{-1}$.

Materiál čelisti 19 312 (kaleno na $60 \pm 2 \text{ HRC}$). Drsnosť čelisti $Ra = 0,22 \mu\text{m}$, $Rz = 1,87 \mu\text{m}$. Teplota: $22 \pm 2^\circ\text{C}$

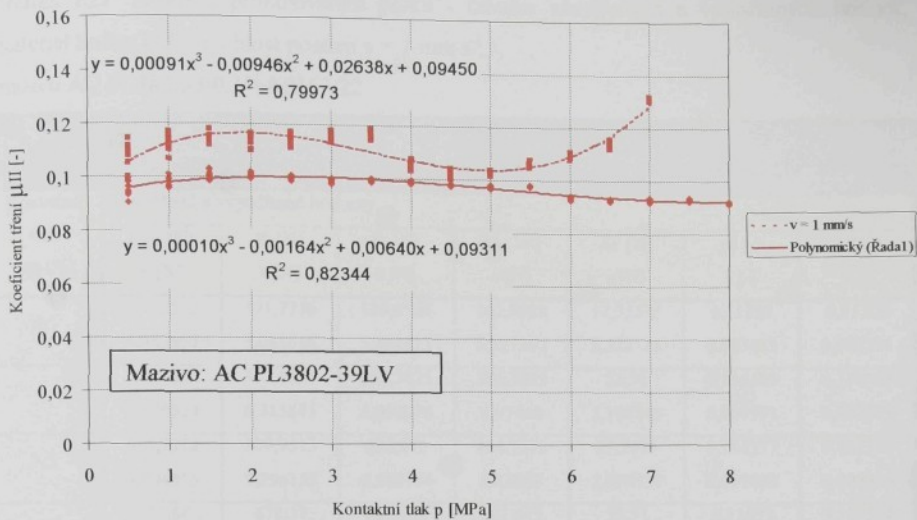
Kontaktní tlak p [MPa]	Naměřené a vypočítané hodnoty						
	F _{max} [N] s [N]	F _s [N] s [N]	F _h [N] s [N]	F _{min} [N] s [N]	ΔF [N] s [N]	μI [-] s [-]	μII [-] s [-]
0,5	193,1625 8,06704	163,0119 8,328416	175,4663 7,089763	150,5575 10,98454	24,90875 8,024933	0,115438 0,004664	0,107245 0,005479
1	418,9363 15,85595	340,3563 9,641492	353,2125 8,958451	327,5 11,2241	25,7125 6,374554	0,116188 0,002947	0,111959 0,003172
1,5	680,5275 7,943317	521,2881 8,402001	536,7938 7,386408	505,7825 9,667684	31,01125 3,697538	0,117718 0,00162	0,114318 0,001843
2	913,1875 8,161458	690,0725 12,9699	705,19 13,14732	674,955 14,19822	30,235 8,718324	0,115985 0,002162	0,113499 0,002133
2,5	1196,033 12,53985	867,4769 16,39597	885,445 15,35478	849,5088 17,75226	35,93625 5,1491	0,116506 0,00202	0,114142 0,002157
3	1400,311 13,6042	1055,346 12,91566	1082,496 13,29704	1028,196 13,83186	54,3 8,307025	0,118695 0,001458	0,115718 0,001416
3,5	1690,263 17,17449	1239,616 15,85681	1272,289 14,07033	1206,943 19,20927	65,34625 11,32198	0,119576 0,001322	0,116505 0,00149
4	2000,041 18,45677	1281,171 18,04324	1520,355 15,93514	1041,986 22,71307	478,3688 15,4075	0,125029 0,00131	0,105359 0,001484
4,5	2372,939 20,37085	1404,671 15,39676	1750,203 15,39299	1059,14 17,5315	691,0625 11,84713	0,127939 0,001125	0,102681 0,001125
5	2553,964 16,77892	1561,043 10,66974	1992,519 11,83287	1129,566 11,10849	862,9525 8,453258	0,131087 0,000778	0,1027 0,000702
5,5	2704,658 17,85258	1777,311 15,17288	2344,906 11,67135	1209,716 20,46818	1135,19 13,76474	0,140246 0,000698	0,106299 0,000907
6	3078,206 45,07816	1986,451 15,60203	2636,54 15,25488	1336,363 18,64977	1300,178 13,68788	0,144547 0,000836	0,108906 0,000855
6,5	3490,959 16,74993	2246,649 24,55134	3085,365 17,92222	1407,934 32,64643	1677,431 19,05039	0,156142 0,000907	0,113697 0,001242
7	3766,148 14,52423	2779,724 12,5261	3766,148 14,52423	1793,301 12,60206	1972,846 10,5791	0,176981 0,000683	0,130626 0,000589
7,5							
8							

Příloha P19. Zkouška protahováním pásku - tabulka naměřených a vypočtených hodnot, materiál Sollac EDT, rychlosť posuvu $v = 10 \text{ mm s}^{-1}$, mazivo AC PL3802-39LV

Mazivo Anticorit AC PL 3802-39LV (množství maziva $1,2 \pm 0,2 \text{ g m}^{-2}$). Rychlosť posuvu $v=10 \text{ mm s}^{-1}$.

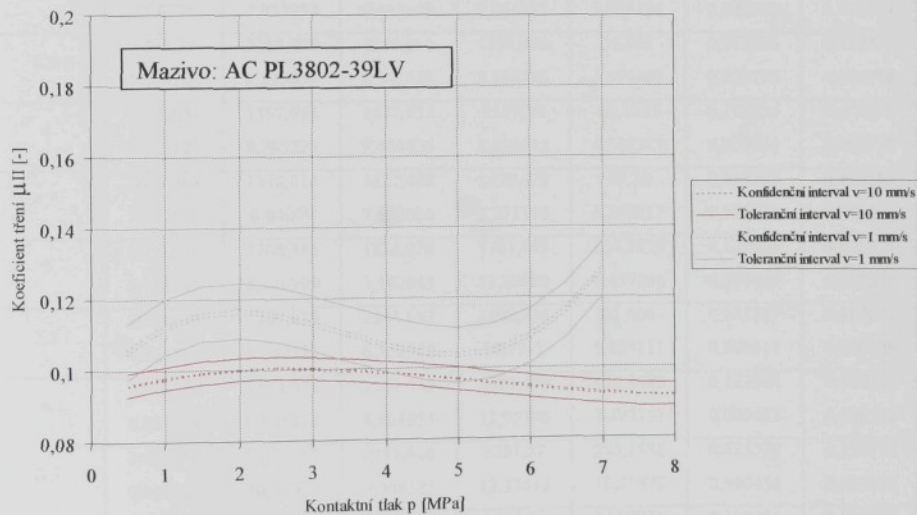
Materiál čelisti 19 312 (kaleno na $60 \pm 2 \text{ HRC}$). Drsnosť čelisti $Ra = 0,22 \mu\text{m}$, $Rz = 1,87 \mu\text{m}$. Teplota: $22 \pm 2^\circ\text{C}$

Kontaktní tlak p [MPa]	Naměřené a vypočítané hodnoty						
	F_{\max} [N] s [N]	F_s [N] s [N]	F_h [N] s [N]	F_{\min} [N] s [N]	ΔF [N] s [-]	μI [-] s [-]	μII [-] s [-]
0,5	179,5075 4,964885	144,565 4,483167	156,0863 4,752401	133,0438 5,145789	23,0425 4,211148	0,102688 0,003127	0,095109 0,002949
1	382,5575 7,23216	298,7719 6,07336	311,2575 5,771377	286,2863 6,641895	24,97125 2,702652	0,102387 0,001898	0,09828 0,001998
1,5	624,83 6,506614	459,1044 7,377739	471,4588 6,370563	446,75 8,652633	24,70875 3,630444	0,10339 0,001397	0,100681 0,001618
2	851,9913 5,49193	612,3513 4,865353	625,4038 5,543124	599,2988 4,441594	26,105 2,494262	0,102862 0,000912	0,100716 0,0008
2,5	1097,008 9,863155	760,1275 5,776003	776,7875 6,33702	743,4675 5,805873	33,32 3,779301	0,102209 0,000834	0,100017 0,00076
3	1297,505 9,079795	904,0613 7,330871	922,2875 6,984392	885,835 8,163616	36,4525 3,985734	0,101128 0,000766	0,09913 0,000804
3,5	1498,503 10,01792	1056,918 5,820993	1079,185 6,432569	1034,65 5,694902	44,535 3,476188	0,101427 0,000605	0,099334 0,000547
4	1780,645 13,06257	1200,733 5,321259	1231,81 4,717066	1169,655 7,558813	62,155 6,746076	0,1013 0,000388	0,098744 0,000438
4,5	2063,415 9,514096	1343,481 4,385094	1376,151 5,617204	1310,811 6,123291	65,34 7,821712	0,100596 0,000411	0,098208 0,000321
5	2364,846 12,01114	1482,227 7,492061	1519,758 7,617397	1444,696 8,09016	75,06125 4,735711	0,099984 0,000501	0,097515 0,000493
5,5	2574,581 14,60582	1636,751 5,338638	1689,181 7,205632	1584,32 5,37652	104,8613 6,90304	0,101028 0,000431	0,097892 0,000319
6	2967,469 11,08991	1706,791 12,97242	1789,014 8,59662	1624,568 18,43184	164,4463 12,4151	0,098082 0,000471	0,093574 0,000711
6,5	3370,223 13,73527	1836,007 6,567266	1933,348 6,328012	1738,666 9,980491	194,6813 10,33402	0,097841 0,00032	0,092915 0,000332
7	3561,513 10,61727	1972,313 9,871289	2076,345 7,495035	1868,281 13,59141	208,0638 9,593463	0,097573 0,000352	0,092684 0,000464
7,5	3745,545 12,14586	2121,995 9,343622	2237,093 6,662805	2006,898 12,69826	230,195 7,878087	0,098118 0,000292	0,09307 0,00041
8	3985,145 19,88526	2233,834 9,521831	2351,573 8,636055	2116,096 11,6129	235,4763 7,49804	0,096693 0,000355	0,091852 0,000392



Příloha P20.1. Průběh závislosti $\mu_{II} = f(p)$ při rychlosti posuvu $v = 1$ a 10 mm s^{-1}

materiál Sollac EDT



Příloha P20.2. Oboustranné konfidenční a toleranční intervaly pro $\mu_{II} = f(p)$,
rychlosti posuvu $v = 1$ a 10 mm s^{-1} , materiál Sollac EDT

Příloha P21. Zkouška protahováním pásku - tabulka naměřených a vypočtených hodnot, materiál Sollac EDT, rychlosť posuvu $v = 1 \text{ mm s}^{-1}$,
mazivo AC PL3802-39LV+AP167/22

Mazivo Anticorit AC PL 3802-39LV ($1,2 \pm 0,2 \text{ g m}^{-2}$) + AP167/22 ($2 \pm 0,2 \text{ g m}^{-2}$) Rychlosť posuvu $v=1 \text{ mm s}^{-1}$.

Materiál čelistí 19 312 (kaleno na $60 \pm 2 \text{ HRC}$). Drsnosť čelistí $Ra = 0,22 \mu\text{m}$, $Rz = 1,87 \mu\text{m}$. Teplota: $22 \pm 2^\circ\text{C}$

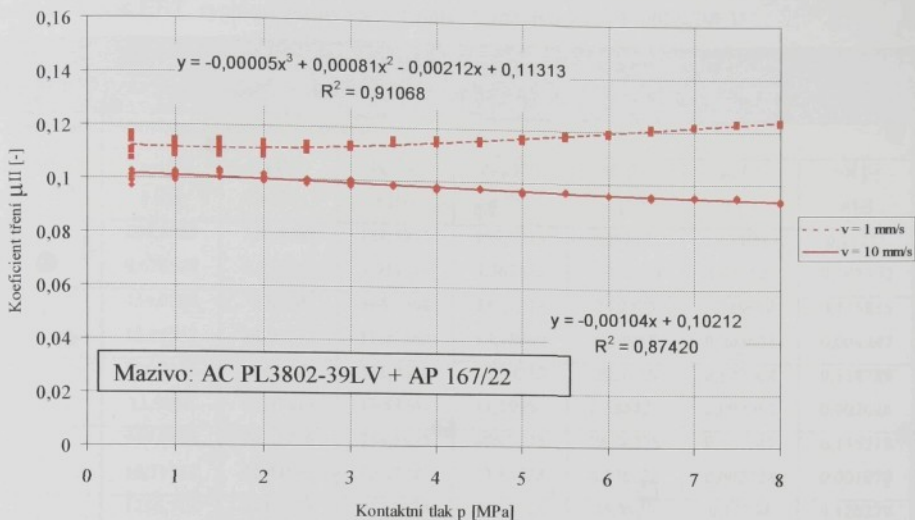
Kontaktní tlak p [MPa]	Naměřená a vypočítané hodnoty						
	F _{max} [N] s [N]	F _s [N] s [N]	F _h [N] s [N]	F _{min} [N] s [N]	ΔF [N] s [N]	μI [-] s [-]	μII [-] s [-]
0,5	191,2513 6,083957	171,7756 5,063616	180,6525 5,261813	162,8988 5,127362	17,75375 2,322111	0,11885 0,003462	0,11301 0,003331
	378,7625 4,970524	337,0625 6,313841	347,7425 5,992976	326,3825 6,97466	21,36 3,108845	0,114389 0,001971	0,110876 0,002077
1,5	553,2113 9,004815	507,7513 9,296155	521,375 8,587744	494,1275 10,1632	27,2475 2,899339	0,114337 0,001883	0,111349 0,002039
	737,64 13,47754	678,37 10,65721	695,125 9,94964	661,615 11,71074	33,51 4,238989	0,11433 0,001636	0,111574 0,001753
2,5	923,525 7,705892	853,8688 6,929745	873,44 5,332555	834,2975 9,020752	39,1425 5,247358	0,114926 0,000702	0,112351 0,000912
	1088,529 15,6291	1028,608 7,033352	1053,795 6,448688	1003,421 9,066577	50,37375 7,050151	0,115548 0,000707	0,112786 0,000771
3,5	1268,39 17,40766	1218,209 8,235635	1246,011 8,347426	1190,406 8,595216	55,605 3,976405	0,117106 0,000785	0,114493 0,000774
	1457,031 9,862122	1397,671 8,765275	1437,753 9,408836	1357,59 8,693012	80,1625 4,568275	0,118236 0,000774	0,11494 0,000721
4,5	1627,408 7,632026	1578,518 6,94079	1627,408 7,632026	1529,628 7,221198	97,78 5,299887	0,118963 0,000558	0,115389 0,000507
	1835,038 6,162045	1768,346 8,449399	1835,038 6,162045	1701,655 11,20989	133,3825 6,457206	0,120726 0,000405	0,116339 0,000556
5,5	2043,643 6,866542	1967,839 8,349731	2043,643 6,866542	1892,036 10,7711	151,6063 6,889111	0,122227 0,000411	0,117694 0,000499
	2261,648 8,804654	2174,073 9,805812	2261,648 8,804654	2086,499 11,95396	175,1488 7,498153	0,123994 0,000483	0,119193 0,000538
6,5	2481,444 9,008125	2381,357 10,28903	2481,444 9,008125	2281,27 13,53413	200,1738 10,25578	0,125579 0,000456	0,120514 0,000521
	2712,214 5,645132	2593,227 6,539032	2712,214 5,645132	2474,24 8,422855	237,9738 5,881178	0,127454 0,000265	0,121862 0,000307
7,5	2941,805 4,778048	2807,721 6,297153	2941,805 4,778048	2673,638 9,515545	268,1675 8,25434	0,129027 0,00021	0,123146 0,000276
	3150,883 6,416015	2999,316 9,344811	3150,883 6,416015	2847,75 13,78444	303,1325 10,63252	0,129559 0,000264	0,123327 0,000384

Příloha P12. Zkouška protahováním pásku - tabulka naměřených a vypočtených hodnot,
materiál Sollac EDT, rychlosť posuvu $v = 10 \text{ mm s}^{-1}$,
mazivo AC PL3802-39LV+AP167/22

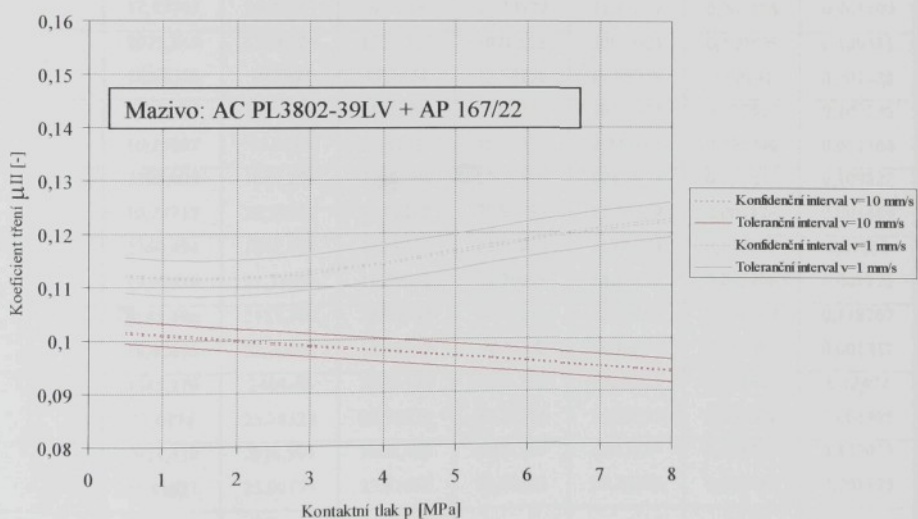
Mazivo Anticorit AC PL 3802-39LV ($1,2 \pm 0,2 \text{ g m}^{-2}$) + AP167/22 ($2 \pm 0,2 \text{ g m}^{-2}$) Rychlosť posuvu $v=10 \text{ mm s}^{-1}$.

Materiál čelistí 19 312 (kaleno na $60 \pm 2 \text{ HRC}$). Drsnosť čelisti $Ra = 0,22 \mu\text{m}$, $Rz = 1,87 \mu\text{m}$. Teplota: $22 \pm 2^\circ\text{C}$

Kontaktní tlak p [MPa]	Naměřené a vypočítané hodnoty						
	F _{max} [N] s [N]	F _s [N] s [N]	F _h [N] s [N]	F _{min} [N] s [N]	ΔF [N] s [N]	μI [-] s [-]	μII [-] s [-]
0,5	192,4238 5,116215	152,5356 2,759804	161,1638 3,339059	143,9075 2,53474	17,25625 2,163878	0,106029 0,002197	0,100352 0,001816
1	403,5925 7,817937	307,8413 3,696751	317,0175 4,418583	298,665 3,386566	18,3525 2,705834	0,104282 0,001453	0,101264 0,001216
1,5	640,5963 8,160231	464,74 5,298329	475,6425 5,21204	453,8375 6,379368	21,805 4,840894	0,104308 0,001143	0,101917 0,001162
2	875,8625 8,784759	609,9125 5,704764	622,4875 6,04253	597,3375 5,830417	25,15 3,291587	0,102383 0,000994	0,100315 0,000938
2,5	1157,555 5,35631	756,4906 5,416842	771,0013 5,331977	741,98 5,947974	29,02125 3,201261	0,101448 0,000702	0,099538 0,000713
3	1275,964 11,93794	903,2781 7,919456	918,3413 7,569315	888,215 8,403346	30,12625 2,224943	0,100695 0,00083	0,099044 0,000868
3,5	1510,098 13,73736	1048,676 4,415346	1063,178 4,837992	1034,174 4,555154	29,00375 3,21404	0,099923 0,000455	0,09856 0,000415
4	1773,464 8,350894	1186,519 7,464517	1204,034 7,668395	1169,004 7,49796	35,03 2,677931	0,099016 0,000631	0,097576 0,000614
4,5	2006,994 11,82872	1333,693 4,994563	1352,318 4,640073	1315,069 5,645677	37,24875 2,650523	0,098854 0,000339	0,097492 0,000365
5	2297,19 11,9343	1464,886 5,908113	1486,12 6,068577	1443,651 6,43673	42,46875 4,110358	0,097771 0,000399	0,096374 0,000389
5,5	2442,505 19,14499	1617,854 5,872035	1634,656 5,804845	1601,051 6,226091	33,605 2,645314	0,097767 0,000347	0,096762 0,000351
6	2787,591 10,91055	1744,348 2,638197	1762,251 3,305482	1726,444 3,146308	35,8075 3,716261	0,096615 0,000181	0,095633 0,000145
6,5	3152,388 20,35722	1885,223 9,603536	1904,02 9,411443	1866,425 10,45108	37,595 5,166154	0,096357 0,000476	0,095406 0,000486
7	3299,209 8,83117	2023,019 5,531667	2043,849 6,007746	2002,189 5,755354	41,66 4,004604	0,096046 0,000282	0,095067 0,00026
7,5	3424,218 14,20692	2160,963 8,563487	2182,598 8,808611	2139,329 8,648173	43,26875 3,381096	0,095728 0,000386	0,094779 0,000376
8	3639,243 18,11331	2273,754 9,573597	2296,895 9,832679	2250,614 9,565895	46,28125 3,12423	0,094445 0,000404	0,093493 0,000394



Příloha P23.1. Průběh závislosti $\mu_{II} = f(p)$ při rychlosti posuvu $v = 1$ a 10 mm s^{-1}
materiál Sollac EDT



Příloha P23.2. Oboustranné konfidenční a toleranční intervaly pro $\mu_{II} = f(p)$,
rychlosť posuvu $v = 1$ a 10 mm s^{-1} , materiál Sollac EDT

Příloha P24. Zkouška protahováním pásku - tabulka naměřených a vypočtených hodnot, materiál Voest EBT, rychlosť posuvu $v = 1 \text{ mm s}^{-1}$, mazivo AC PL3802-39LV

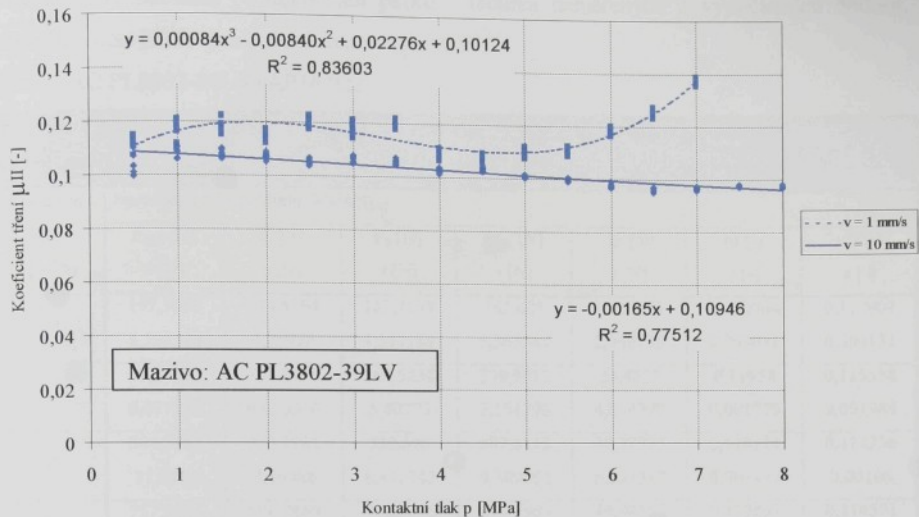
Mazivo Anticorit AC PL 3802-39LV (množství maziva $1,2 \pm 0,2 \text{ g m}^{-2}$). Rychlosť posuvu $v=1 \text{ mm s}^{-1}$.

Materiál čelistí 19 312 (kaleno na $60 \pm 2 \text{ HRC}$). Drsnosť čelistí $Ra = 0,22 \mu\text{m}$, $Rz = 1,87 \mu\text{m}$. Teplota: $22 \pm 2^\circ\text{C}$

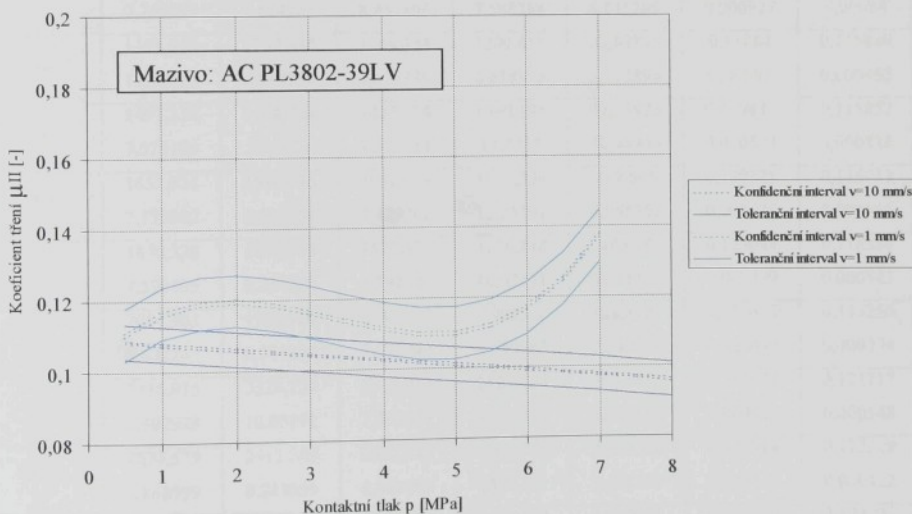
Kontaktní tlak p [MPa]	Naměřené a vypočítané hodnoty						
	F _{max} [N] s [N]	F _s [N] s [N]	F _b [N] s [N]	F _{min} [N] s [N]	ΔF [N] s [N]	μI [-] s [-]	μII [-] s [-]
0,5	204,8588 9,626578	170,4069 3,636364	181,7925 3,934016	159,0213 4,367852	22,77125 4,026989	0,1196 0,002588	0,11211 0,002392
1	434,0288 12,91752	352,14 12,91112	364,7588 11,03862	339,5213 15,18069	25,2375 6,14985	0,119986 0,003631	0,115836 0,004247
1,5	706,2175 11,9058	541,68 11,97614	556,3388 13,53241	527,0213 11,19983	29,3175 6,588871	0,122004 0,002968	0,118789 0,002626
2	949,0838 16,71343	700,5256 11,41563	714,6975 12,32881	686,3538 11,95128	28,34375 8,270388	0,117549 0,002028	0,115218 0,001878
2,5	1216,7113 15,10614	914,1175 13,10544	932,0638 14,35056	896,1713 13,04814	35,8925 8,0855	0,12264 0,001888	0,120279 0,001724
3	1447,221 17,66605	1077,124 20,59269	1107,604 18,76218	1046,644 24,27867	60,96 13,66419	0,121448 0,002057	0,118106 0,002258
3,5	1713,975 12,49745	1278,112 15,95101	1314,361 16,55895	1241,863 17,33377	72,49875 11,47074	0,12353 0,001556	0,120123 0,001499
4	2073,845 18,68559	1329,224 19,7987	1579,525 17,1474	1078,923 23,52136	500,6025 11,25259	0,129895 0,00141	0,109311 0,001628
4,5	2393,035 16,35097	1471,089 15,9245	1825,005 14,31113	1117,173 18,50397	707,8325 8,947191	0,133407 0,001046	0,107536 0,001164
5	2598,909 10,27717	1669,295 22,33381	2116,394 17,08142	1222,196 27,81797	894,1975 11,66329	0,139236 0,001124	0,109822 0,001469
5,5	2769,494 19,07476	1847,719 21,31051	2436,581 18,49835	1258,858 25,98048	1177,724 14,75792	0,145729 0,001106	0,11051 0,001275
6	3185,496 18,42456	2157,189 22,20008	2838,264 18,60759	1476,115 26,9318	1362,149 13,10554	0,155607 0,00102	0,118267 0,001217
6,5	3545,579 22,6374	2464,46 25,78323	3326,123 23,74979	1602,798 29,52274	1723,325 14,56675	0,168326 0,001202	0,12472 0,001305
7	3924,439 23,81671	2916,904 25,00193	3924,439 23,81671	1909,369 32,68563	2015,07 27,76306	0,184419 0,001119	0,137073 0,001175
7,5							
8							

Příloha P25. Zkouška protahováním pásku - tabulka naměřených a vypočtených hodnot, materiál Voest EBT, rychlosť posuvu $v = 10 \text{ mm s}^{-1}$, mazivo AC PL3802-39LV

Mazivo Anticorit AC PL 3802-39LV (rmožství maziva $1,2 \pm 0,2 \text{ g m}^{-2}$). Rychlosť posuvu $v=10 \text{ mm s}^{-1}$. Materiál čelisti 19 312 (kaleno na $60 \pm 2 \text{ HRC}$). Drsnosť čelisti $R_a = 0,22 \mu\text{m}$, $R_z = 1,87 \mu\text{m}$. Teplota: $22 \pm 2^\circ\text{C}$							
Kontaktní tlak $p [\text{MPa}]$	Naměřené a vypočítané hodnoty						
	$F_{\max} [\text{N}]$ $s [\text{N}]$	$F_s [\text{N}]$ $s [\text{N}]$	$F_h [\text{N}]$ $s [\text{N}]$	$F_{\min} [\text{N}]$ $s [\text{N}]$	$\Delta F [\text{N}]$ $s [\text{N}]$	$\mu I [-]$ $s [-]$	$\mu II [-]$ $s [-]$
0,5	186,665 6,362504	158,65 5,326627	170,415 4,009457	146,885 7,049036	23,53 4,247059	0,112115 0,002638	0,104375 0,003504
	384,9525 8,784556	327,695 5,509403	339,605 5,633951	315,785 6,013732	23,82 3,794556	0,111712 0,001853	0,107794 0,001812
1,5	635,4238 8,500971	495,3331 5,915166	508,0725 5,313276	482,5938 6,672592	25,47875 2,356271	0,111419 0,001165	0,108626 0,001297
	863,4888 6,708062	652,4975 8,214404	666,1938 8,367729	638,8013 8,323319	27,3925 2,947429	0,109571 0,001376	0,107319 0,001351
2,5	1133,424 9,774217	801,2438 8,136515	820,0738 7,916949	782,4138 8,521499	37,66 2,403438	0,107904 0,001042	0,105427 0,001071
	1339,93 11,04237	969,6406 11,0527	988,46 9,113086	950,8213 13,39441	37,63875 6,022298	0,108384 0,000999	0,10632 0,001212
3,5	1451,945 14,76522	1124,929 9,39731	1149,344 7,679023	1100,514 11,30158	48,83 4,488729	0,108021 0,000722	0,105726 0,000883
	1819,521 23,3538	1251,401 11,48895	1285,19 9,381919	1217,613 14,15762	67,5775 6,995186	0,10569 0,000772	0,102911 0,000945
4,5	2132,744 21,43964	1414,461 11,16558	1451,11 7,794097	1377,811 16,85338	73,29875 13,81623	0,106075 0,00057	0,103396 0,000816
	2398,849 7,314866	1538,506 8,252062	1579,21 6,884224	1497,803 10,71777	81,4075 7,220829	0,103895 0,000453	0,101218 0,000543
5,5	2629,051 10,44333	1668,643 9,554041	1729,149 10,09091	1608,138 12,06733	121,0113 11,39189	0,103418 0,000604	0,099799 0,000571
	3038,83 14,23463	1782,111 15,64907	1866,341 11,84775	1697,881 20,41268	168,46 11,59825	0,102321 0,00065	0,097703 0,000858
6,5	3413,044 8,485359	1906,871 13,92417	2004,691 9,939018	1809,05 18,42261	195,6413 10,04106	0,101452 0,000503	0,096502 0,000705
	3632,93 19,63949	2059,372 13,43447	2165,744 13,41823	1953 14,03453	212,7438 5,665209	0,101774 0,000631	0,096775 0,000631
7,5	3812,011 18,66278	2230,558 9,523377	2346,136 10,58876	2114,98 10,7727	231,1563 9,673023	0,102901 0,000464	0,097831 0,000418
	4052,459 17,86381	2370,33 14,98436	2488,998 17,68954	2251,663 14,93493	237,335 13,18406	0,102344 0,000727	0,097464 0,000616



Příloha P26.1. Průběh závislosti $\mu_{II} = f(p)$ při rychlosti posuvu $v = 1$ a 10 mm s^{-1}
 materiál Voest EBT



Příloha P26.2. Oboustranné konfidenční a toleranční intervaly pro $\mu_{II} = f(p)$,
 rychlosti posuvu $v = 1$ a 10 mm s^{-1} , materiál Voest EBT

Příloha P27. Zkouška protahováním pásku - tabulka naměřených a vypočtených hodnot,
 materiál Voest EBT, rychlosť posuvu $v = 1 \text{ mm s}^{-1}$,
 mazivo AC PL3802-39LV+AP167/22

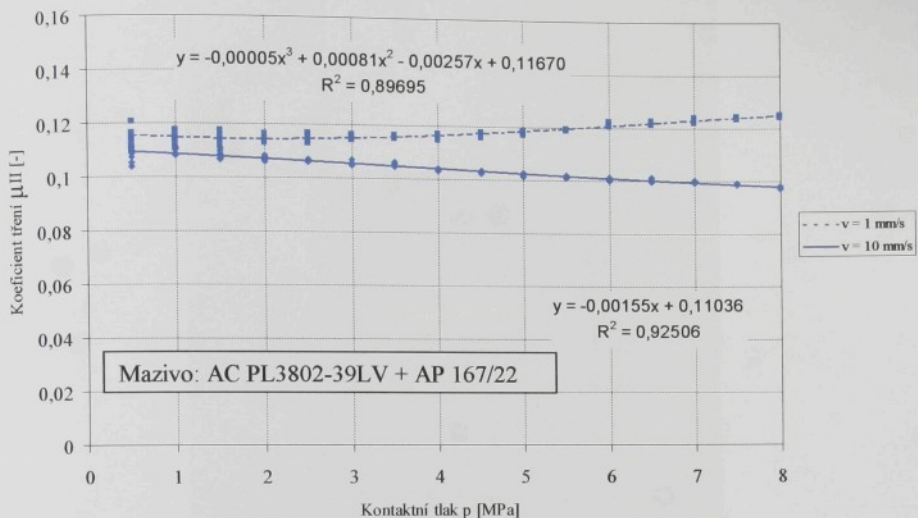
Mazivo Anticorit AC PL 3802-39LV ($1,2 \pm 0,2 \text{ g m}^{-2}$) + AP167/22 ($2 \pm 0,2 \text{ g m}^{-2}$) Rychlosť posuvu $v=1 \text{ mm s}^{-1}$.

Materiál čelistí 19 312 (kaleno na $60 \pm 2 \text{ HRC}$). Drsnosť čelistí $Ra = 0,22 \mu\text{m}$, $Rz = 1,87 \mu\text{m}$. Teplota: $22 \pm 2^\circ\text{C}$

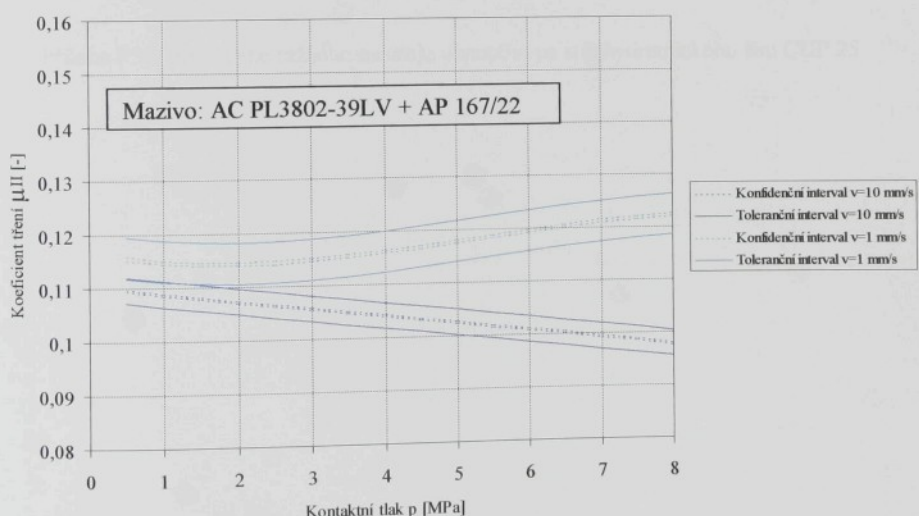
Kontaktní tlak p [MPa]	Naměřené a vypočítané hodnoty						
	F _{max} [N] s [N]	F _s [N] s [N]	F _b [N] s [N]	F _{min} [N] s [N]	ΔF [N] s [N]	μI [-] s [-]	μII [-] s [-]
0,5	197,5088 8,392528	174,6594 4,75978	183,7138 4,577189	165,605 5,363344	18,10875 2,968195	0,120864 0,003011	0,114907 0,003131
	395,0325 8,017252	351,2975 6,030956	363,5238 5,40773	339,0713 7,191796	24,4525 4,054778	0,11958 0,001779	0,115558 0,001984
1,5	564,9863 11,5911	523,1981 7,56988	538,585 6,462742	507,8113 9,389892	30,77375 5,537317	0,118111 0,001417	0,114736 0,00166
	757,8825 17,1154	696,2869 6,871848	716,7775 6,197563	675,7963 8,104602	40,98125 4,393123	0,117891 0,001019	0,114521 0,00113
2,5	934,0513 6,850409	872,3756 7,948244	895,3625 7,347419	849,3888 8,735534	45,97375 2,808899	0,117811 0,000967	0,114786 0,001046
	1128,888 7,747099	1052,236 7,664263	1081,971 8,454896	1022,501 7,588788	59,47 4,815208	0,118637 0,000927	0,115377 0,00084
3,5	1301,616 12,12113	1232,634 4,919739	1264,454 4,573339	1200,815 6,618975	63,63875 5,712896	0,11884 0,00043	0,115849 0,000462
	1457,334 7,573184	1408,764 10,3092	1457,334 7,573184	1360,195 14,4828	97,13875 10,44465	0,119847 0,000623	0,115852 0,000848
4,5	1652,934 7,129362	1596,636 8,967654	1652,934 7,129362	1540,339 12,25197	112,595 8,955562	0,120828 0,000521	0,116713 0,000656
	1870,328 7,590495	1798,588 8,254225	1870,328 7,590495	1726,848 10,02511	143,48 6,611185	0,123048 0,000499	0,118328 0,000543
5,5	2084,903 7,672243	1993,966 6,581389	2084,903 7,672243	1903,03 8,560053	181,8725 9,540278	0,124695 0,000459	0,119256 0,000394
	2316,915 7,502973	2220,124 10,00191	2316,915 7,502973	2123,334 13,20733	193,5813 7,829666	0,127024 0,000411	0,121717 0,000548
6,5	2527,579 8,868099	2415,249 8,343059	2527,579 8,868099	2302,92 10,13391	224,6588 9,178897	0,127914 0,000449	0,122229 0,000422
	2753,124 8,647193	2623,626 13,18936	2753,124 8,647193	2494,128 19,12322	258,9963 13,60535	0,129376 0,000406	0,123291 0,00062
7,5	2966,923 6,465141	2824,928 9,177284	2966,923 6,465141	2682,934 13,91954	283,9888 11,58504	0,130128 0,000284	0,1239 0,000403
	3193,194 7,554317	3031,156 7,776853	3193,194 7,554317	2869,118 8,625311	324,0763 4,583629	0,131299 0,000311	0,124636 0,00032

Příloha P28. Zkouška protahováním pásku - tabulka naměřených a vypočtených hodnot,
 materiál Voest EBT, rychlosť posuvu $v = 10 \text{ mm s}^{-1}$,
 mazivo AC PL3802-39LV+AP167/22

Mazivo Anticorit AC PL 3802-39LV ($1,2 \pm 0,2 \text{ g m}^{-2}$) + AP167/22 ($2 \pm 0,2 \text{ g m}^{-2}$) Rychlosť posuvu $v=10 \text{ mm s}^{-1}$. Materiál čelisti 19 312 (kaleno na $60 \pm 2 \text{ HRC}$). Drsnosť čelisti $Ra = 0,22 \mu\text{m}$, $Rz = 1,87 \mu\text{m}$. Teplota: $22 \pm 2^\circ\text{C}$							
Kontaktní tlak $p [\text{MPa}]$	Naměřené a vypočítané hodnoty						
	$F_{\max} [\text{N}]$ $s [\text{N}]$	$F_s [\text{N}]$ $s [\text{N}]$	$F_h [\text{N}]$ $s [\text{N}]$	$F_{\min} [\text{N}]$ $s [\text{N}]$	$\Delta F [\text{N}]$ $s [\text{N}]$	$\mu I [-]$ $s [-]$	$\mu II [-]$ $s [-]$
0,5	195,02	164,7163	173,27	156,1625	17,1075	0,113993	0,108366
	7,467424	4,105785	2,803421	5,603075	3,328267	0,001844	0,002701
1	403,8	332,9856	342,345	323,6263	18,71875	0,112613	0,109535
	8,351869	3,956649	4,605897	4,079047	3,617396	0,001515	0,001302
1,5	643,9088	496,265	506,245	486,285	19,96	0,111019	0,10883
	4,949804	7,335599	6,550426	8,507081	3,913183	0,001436	0,001609
2	880,1863	652,3075	663,6238	640,9913	22,6325	0,109149	0,107287
	6,604022	4,727379	5,186199	4,490305	2,17406	0,000853	0,000778
2,5	1164,149	809,12	821,17	797,07	24,1	0,108049	0,106463
	8,454377	3,453464	2,53024	5,325695	4,671684	0,000333	0,000454
3	1282,133	964,4456	977,1025	951,7888	25,31375	0,107138	0,105751
	9,569106	7,553315	7,347271	7,980486	2,670366	0,000806	0,000828
3,5	1526,835	1118,409	1131,989	1104,829	27,16	0,10639	0,105114
	8,364806	6,537982	6,471004	6,881689	2,735366	0,000608	0,000614
4	1782,094	1265,739	1280,913	1250,566	30,34625	0,105338	0,10409
	9,839858	5,578086	5,333441	7,228568	6,077452	0,000439	0,000459
4,5	2026,851	1411,895	1429,03	1394,76	34,27	0,104461	0,103209
	7,563743	5,302237	6,179656	5,317236	4,524091	0,000452	0,000388
5	2329,041	1553,075	1570,701	1535,449	35,2525	0,103336	0,102176
	11,59699	7,747784	8,668631	6,948522	2,596452	0,00057	0,00051
5,5	2468,006	1700,617	1717,26	1683,974	33,28625	0,102707	0,101712
	9,278331	6,112925	6,18083	6,729557	4,184229	0,00037	0,000366
6	2820,526	1836,059	1853,459	1818,659	34,8	0,101615	0,100661
	12,45669	7,047409	6,933823	7,792613	4,352188	0,00038	0,000386
6,5	3178,021	1989,208	2005,884	1972,533	33,35125	0,101512	0,100668
	13,25833	12,99844	14,18638	11,97364	3,661231	0,000718	0,000658
7	3319,475	2123,371	2143,081	2103,661	39,42	0,100709	0,099782
	7,934438	7,223268	6,610214	8,322332	4,148476	0,000311	0,000339
7,5	3455,825	2253,124	2275,006	2231,241	43,765	0,099781	0,098821
	21,32839	6,459628	5,992464	7,572196	4,425875	0,000263	0,000283
8	3669,33	2377,759	2402,201	2353,316	48,885	0,098775	0,09777
	17,85572	9,803111	10,98898	8,758632	3,24633	0,000452	0,000403



Příloha P29.1. Průběh závislosti $\mu_{II} = f(p)$ při rychlosti posuvu $v = 1$ a 10 mm s^{-1}
materiál Voest EBT



Příloha P29.2. Oboustranné konfidenční a toleranční intervaly pro $\mu_{II} = f(p)$,
rychlosti posuvu $v = 1$ a 10 mm s^{-1} , materiál Voest EBT



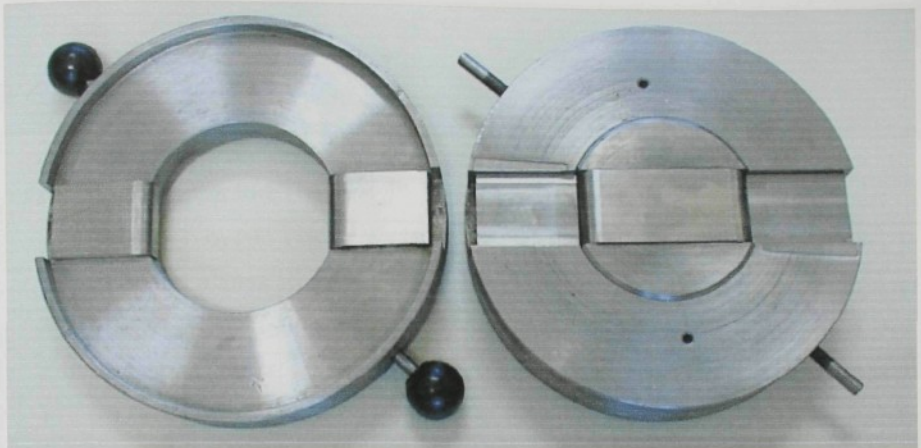
Příloha P30. Fotografie tažného nástroje upnutého na stůl hydraulického lisu CUP 25



Příloha P31.1. Dílenský mikroskop pro měření deformace výlisku pomocí deformační sítě



Příloha P31.2. Uspořádání pracoviště pro tribologickou zkoušku protahováním pásku a měření deformace na dílenském mikroskopu.



Příloha P32.1. Nástroj pro zkoušku vypínáním



Příloha P32.2. Abbeho délkoměr

Příloha P33. Deformace výlisku zjištěná numerickou simulací

Mazivo: AC PL 3802-39LV

Rychlosť posuvu beranu stroje $v_n=1 \text{ mm s}^{-1}$.

Kontaktní přidržovací tlak $p= 2 \text{ MPa}$.

č el.	Materiál								
	Salzgitter PRETEX			Sollac EDT			Voest EBT		
	x [mm]	$\varphi_1 [-]$	$\varphi_2 [-]$	x [mm]	$\varphi_1 [-]$	$\varphi_2 [-]$	x [mm]	$\varphi_1 [-]$	$\varphi_2 [-]$
1	1,09445	0,20717	-0,28546	1,09013	0,20245	-0,28320	1,09487	0,20668	-0,28787
2	3,28078	0,15381	-0,27601	3,26710	0,15234	-0,27400	3,28084	0,14794	-0,27597
3	5,44586	0,00689	-0,26685	5,42067	-0,01005	-0,26339	5,44213	-0,00421	-0,26482
4	7,60436	0,12247	-0,23762	7,56834	0,11112	-0,23432	7,59352	0,12970	-0,23486
5	9,80022	0,24413	-0,20254	9,75782	0,24090	-0,19902	9,77809	0,23585	-0,19978
6	12,01196	0,24071	-0,16358	11,96720	0,23541	-0,15885	11,97367	0,23286	-0,16108
7	14,20117	0,21643	-0,13604	14,16015	0,22269	-0,13180	14,14398	0,21036	-0,13301
8	16,33358	0,22746	-0,10772	16,29973	0,23225	-0,10604	16,25917	0,22135	-0,10554
9	18,35004	0,14070	-0,08056	18,32123	0,14169	-0,07981	18,26593	0,13788	-0,07860
10	20,26451	0,10635	-0,05400	20,23762	0,10590	-0,05263	20,17604	0,10538	-0,05250
11	22,13405	0,12030	-0,03630	22,10899	0,12616	-0,03500	22,04252	0,11921	-0,03553
12	23,96607	0,06488	-0,02381	23,94225	0,06480	-0,02267	23,87251	0,06396	-0,02300
13	25,77881	0,09755	-0,00842	25,75543	0,10008	-0,00740	25,68291	0,09681	-0,00795
14	27,57917	0,05950	-0,00497	27,55684	0,05806	-0,00379	27,48142	0,05888	-0,00474
15	29,35708	0,06273	0,00501	29,33305	0,06643	0,00535	29,25845	0,06281	0,00511
16	31,12328	0,05393	0,00495	31,09733	0,05148	0,00562	31,02347	0,05393	0,00501
17	32,87449	0,04048	0,00471	32,84942	0,04124	0,00306	32,77390	0,04048	0,00478
18	34,61483	0,03657	0,00491	34,59345	0,04092	0,00401	34,51420	0,03692	0,00495
19	36,35030	0,01196	0,00253	36,33013	0,01185	0,00300	36,24971	0,01195	0,00235
20	38,08225	0,01153	0,00271	38,05899	0,01150	0,00213	37,98160	0,01154	0,00276

Příloha P34. Deformace výlisku zjištěná numerickou simulací

Mazivo: AC PL 3802-39LV

Rychlosť posuvu beranu stroje $v_n=10 \text{ mm s}^{-1}$.

Kontaktní přidržovací tlak $p= 2 \text{ MPa}$.

č el.	Materiál								
	Salzgitter PRETEX			Sollac EDT			Voest EBT		
	x [mm]	φ_1 [-]	φ_2 [-]	x [mm]	φ_1 [-]	φ_2 [-]	x [mm]	φ_1 [-]	φ_2 [-]
1	1,09620	0,20874	-0,28804	1,09377	0,20473	-0,28749	1,09579	0,20808	-0,28935
2	3,28561	0,15197	-0,27715	3,27633	0,14872	-0,27613	3,28343	0,14549	-0,27676
3	5,45249	0,00449	-0,26774	5,43280	-0,01243	-0,26439	5,44590	-0,00548	-0,26556
4	7,61114	0,12882	-0,23854	7,58078	0,12095	-0,23554	7,59792	0,13469	-0,23549
5	9,80189	0,24024	-0,20369	9,76230	0,23651	-0,20040	9,77863	0,23325	-0,20049
6	12,00234	0,23571	-0,16498	11,95418	0,22600	-0,16119	11,96403	0,22751	-0,16185
7	14,17675	0,21106	-0,13677	14,12324	0,21411	-0,13281	14,12067	0,20560	-0,13332
8	16,29453	0,22122	-0,10794	16,23842	0,22188	-0,10582	16,22280	0,21572	-0,10551
9	18,30318	0,13941	-0,08041	18,24671	0,13964	-0,07947	18,22250	0,13683	-0,07857
10	20,21538	0,10584	-0,05393	20,15948	0,10518	-0,05240	20,13043	0,10493	-0,05240
11	22,08308	0,11884	-0,03657	22,02783	0,12376	-0,03551	21,99528	0,11777	-0,03562
12	23,91375	0,06444	-0,02388	23,85874	0,06445	-0,02272	23,82399	0,06358	-0,02304
13	25,72516	0,09639	-0,00863	25,66995	0,09803	-0,00755	25,63307	0,09584	-0,00796
14	27,52421	0,05926	-0,00518	27,46979	0,05855	-0,00431	27,43012	0,05848	-0,00476
15	29,30131	0,06213	0,00496	29,24526	0,06639	0,00458	29,20601	0,06204	0,00512
16	31,06644	0,05346	0,00495	31,00941	0,04956	0,00549	30,96985	0,05341	0,00497
17	32,81713	0,04024	0,00481	32,76097	0,04403	0,00630	32,71978	0,04030	0,00488
18	34,55749	0,03672	0,00508	34,50290	0,04044	0,00579	34,46023	0,03725	0,00519
19	36,29281	0,01186	0,00261	36,23944	0,01214	0,00293	36,19564	0,01187	0,00257
20	38,02433	0,01140	0,00281	37,96928	0,01089	0,00282	37,92708	0,01139	0,00279

Příloha P35. Deformace výlisku zjištěná numerickou simulací

Mazivo: AC PL 3802-39LV

Rychlosť posuvu beranú stroje $v_n=1 \text{ mm s}^{-1}$.

Kontaktní přidržovací tlak $p=4 \text{ MPa}$.

č el.	Materiál								
	Salzgitter PRETEX			Sollac EDT			Voest EBT		
	x [mm]	$\varphi_1 [-]$	$\varphi_2 [-]$	x [mm]	$\varphi_1 [-]$	$\varphi_2 [-]$	x [mm]	$\varphi_1 [-]$	$\varphi_2 [-]$
1	1,08149	0,19330	-0,26544	1,07733	0,18964	-0,26425	1,08114	0,19353	-0,26719
2	3,24160	0,17232	-0,25728	3,22993	0,16998	-0,25648	3,24047	0,16805	-0,25801
3	5,38389	0,05357	-0,25083	5,36353	0,03778	-0,24871	5,38122	0,03935	-0,24927
4	7,52350	0,03487	-0,22862	7,49140	0,02577	-0,22515	7,51780	0,04244	-0,22544
5	9,77425	0,29258	-0,19993	9,72167	0,27415	-0,19472	9,75106	0,28137	-0,19531
6	12,12677	0,29868	-0,16172	12,05226	0,29426	-0,15666	12,07482	0,28909	-0,15765
7	14,46712	0,26901	-0,13677	14,38520	0,27084	-0,13337	14,39398	0,26279	-0,13375
8	16,74106	0,28671	-0,10837	16,65773	0,28347	-0,10705	16,65028	0,27883	-0,10672
9	18,83840	0,15133	-0,08228	18,75485	0,15445	-0,08104	18,73502	0,14911	-0,08031
10	20,77535	0,11455	-0,05459	20,69302	0,11442	-0,05302	20,66694	0,11270	-0,05292
11	22,66498	0,13524	-0,03550	22,58164	0,13743	-0,03489	22,55244	0,13338	-0,03460
12	24,51212	0,06953	-0,02288	24,42762	0,06979	-0,02197	24,39650	0,06843	-0,02189
13	26,33463	0,10391	-0,00642	26,25053	0,10560	-0,00585	26,21757	0,10390	-0,00617
14	28,14268	0,06172	-0,00289	28,05999	0,06228	-0,00257	28,02466	0,06110	-0,00268
15	29,92603	0,06953	0,00601	29,84346	0,07135	0,00625	29,80680	0,06991	0,00601
16	31,70133	0,05392	0,00611	31,61820	0,05482	0,00687	31,58093	0,05364	0,00623
17	33,45955	0,04715	0,00718	33,37630	0,04823	0,00748	33,33848	0,04699	0,00721
18	35,20510	0,04162	0,00643	35,12205	0,04323	0,00692	35,08360	0,04160	0,00665
19	36,94510	0,01438	0,00252	36,86254	0,01506	0,00337	36,82354	0,01430	0,00295
20	38,67842	0,01328	0,00270	38,59595	0,01341	0,00309	38,55688	0,01332	0,00306

Příloha P36. Deformace výlisku zjištěná numerickou simulací

Mazivo: AC PL 3802-39LV

Rychlosť posuvu beranu stroje $v_n=10 \text{ mm s}^{-1}$.

Kontaktní přidržovací tlak $p=4 \text{ MPa}$.

č el.	Materiál								
	Salzgitter PRETEX			Sollac EDT			Voest EBT		
	x [mm]	$\varphi_1 [-]$	$\varphi_2 [-]$	x [mm]	$\varphi_1 [-]$	$\varphi_2 [-]$	x [mm]	$\varphi_1 [-]$	$\varphi_2 [-]$
1	1,08439	0,19719	-0,27123	1,08106	0,19340	-0,26992	1,08454	0,19798	-0,27356
2	3,25231	0,16666	-0,26287	3,24138	0,16491	-0,26162	3,25263	0,16368	-0,26453
3	5,40634	0,03115	-0,25731	5,38440	0,01265	-0,25379	5,40569	0,01522	-0,25722
4	7,55996	0,07644	-0,23293	7,52409	0,06888	-0,22899	7,55822	0,08897	-0,23106
5	9,78115	0,26864	-0,20104	9,73304	0,25637	-0,19758	9,76979	0,25850	-0,19726
6	12,05526	0,26750	-0,16272	11,99747	0,26345	-0,15856	12,02526	0,26024	-0,15900
7	14,32063	0,24483	-0,13734	14,25671	0,24574	-0,13336	14,27076	0,23725	-0,13397
8	16,52750	0,25805	-0,10877	16,46102	0,25708	-0,10704	16,45820	0,25110	-0,10642
9	18,58411	0,14624	-0,08150	18,51757	0,14755	-0,08016	18,50435	0,14467	-0,07945
10	20,50997	0,10970	-0,05432	20,44388	0,10989	-0,05231	20,42589	0,10772	-0,05257
11	22,38958	0,12844	-0,03597	22,32339	0,13070	-0,03459	22,30156	0,12706	-0,03469
12	24,22931	0,06764	-0,02314	24,16284	0,06752	-0,02165	24,13867	0,06617	-0,02211
13	26,04833	0,10182	-0,00725	25,98176	0,10312	-0,00615	25,95549	0,10140	-0,00659
14	27,85392	0,06105	-0,00370	27,78852	0,06143	-0,00288	27,75973	0,06053	-0,00316
15	29,63430	0,06754	0,00527	29,56907	0,06896	0,00570	29,53853	0,06722	0,00554
16	31,40595	0,05234	0,00555	31,34014	0,05334	0,00646	31,30839	0,05216	0,00580
17	33,16186	0,04541	0,00669	33,09595	0,04688	0,00725	33,06365	0,04539	0,00689
18	34,90593	0,04091	0,00611	34,83995	0,04251	0,00665	34,80745	0,04118	0,00625
19	36,64535	0,01401	0,00268	36,57912	0,01392	0,00355	36,54648	0,01381	0,00287
20	38,37796	0,01239	0,00257	38,31158	0,01275	0,00346	38,27894	0,01256	0,00268

Příloha P37. Deformace výlisku zjištěná numerickou simulací

Mazivo: AC PL 3802-39LV

Rychlosť posuvu beranu stroje $v_n=1 \text{ mm s}^{-1}$.

Kontaktní přidržovací tlak $p=6 \text{ MPa}$.

č el.	Materiál								
	Salzgitter PRETEX			Sollac EDT			Voest EBT		
	x [mm]	φ_1 [-]	φ_2 [-]	x [mm]	φ_1 [-]	φ_2 [-]	x [mm]	φ_1 [-]	φ_2 [-]
1	1,06303	0,17658	-0,23859	1,06334	0,17650	-0,24174	1,06674	0,17906	-0,24416
2	3,19108	0,18138	-0,23628	3,18888	0,17672	-0,23678	3,19783	0,17846	-0,23754
3	5,31436	0,10232	-0,23703	5,30396	0,08761	-0,23523	5,31644	0,08560	-0,23358
4	7,45933	0,03365	-0,22766	7,42932	0,01034	-0,22400	7,44524	0,01891	-0,22212
5	9,78549	0,28370	-0,21223	9,72895	0,27683	-0,20547	9,75735	0,29412	-0,20500
6	12,28869	0,37198	-0,17379	12,20566	0,35844	-0,16756	12,23943	0,35491	-0,16789
7	14,78032	0,30497	-0,14082	14,67312	0,30392	-0,13731	14,69482	0,29584	-0,13687
8	17,17238	0,32700	-0,10791	17,05113	0,32389	-0,10741	17,06081	0,32199	-0,10625
9	19,35015	0,17747	-0,08131	19,21934	0,17348	-0,08173	19,22315	0,17032	-0,08031
10	21,33031	0,12888	-0,05509	21,18923	0,12420	-0,05421	21,19172	0,12466	-0,05334
11	23,24719	0,15051	-0,03545	23,09899	0,15009	-0,03449	23,10135	0,14827	-0,03419
12	25,11185	0,07687	-0,02201	24,95959	0,07555	-0,02139	24,96186	0,07404	-0,02052
13	26,94348	0,10835	-0,00330	26,78967	0,10906	-0,00323	26,79087	0,10848	-0,00295
14	28,75667	0,06221	0,00014	28,60317	0,06331	-0,00008	28,60286	0,06192	0,00031
15	30,55064	0,07890	0,00824	30,39669	0,07871	0,00797	30,39524	0,07857	0,00767
16	32,33963	0,05771	0,00777	32,18435	0,05948	0,00797	32,18286	0,05796	0,00779
17	34,10567	0,05298	0,00813	33,94824	0,05194	0,00751	33,94783	0,05214	0,00801
18	35,85761	0,04746	0,00822	35,69777	0,04757	0,00759	35,69871	0,04691	0,00800
19	37,60311	0,01586	0,00398	37,44257	0,01763	0,00404	37,44353	0,01591	0,00405
20	39,34017	0,01529	0,00432	39,18015	0,01621	0,00394	39,18031	0,01544	0,00418

Příloha P38. Deformace výlisku zjištěná numerickou simulací

Mazivo: AC PL 3802-39LV

Rychlosť posuvu beranu stroje $v_n=10 \text{ mm s}^{-1}$.

Kontaktní přidržovací tlak $p=6 \text{ MPa}$.

č el.	Materiál								
	Salzgitter PRETEX			Sollac EDT			Voest EBT		
	x [mm]	φ_1 [-]	φ_2 [-]	x [mm]	φ_1 [-]	φ_2 [-]	x [mm]	φ_1 [-]	φ_2 [-]
1	1,08009	0,19269	-0,26366	1,07674	0,18955	-0,26304	1,08199	0,19371	-0,26669
2	3,23827	0,17582	-0,25491	3,22803	0,17274	-0,25408	3,24117	0,17165	-0,25626
3	5,37746	0,05990	-0,24716	5,35858	0,04492	-0,24564	5,37829	0,04455	-0,24614
4	7,51238	0,02587	-0,22588	7,48270	0,01428	-0,22279	7,51093	0,03164	-0,22310
5	9,77320	0,29720	-0,19998	9,72060	0,27965	-0,19360	9,75200	0,28797	-0,19430
6	12,14798	0,30694	-0,16397	12,06966	0,30110	-0,15719	12,09296	0,29508	-0,15807
7	14,50393	0,27331	-0,13839	14,41683	0,27432	-0,13454	14,42486	0,26615	-0,13499
8	16,78705	0,28932	-0,10909	16,69596	0,28488	-0,10746	16,68806	0,28075	-0,10709
9	18,89132	0,15412	-0,08207	18,79688	0,15626	-0,08125	18,77737	0,15100	-0,08045
10	20,83237	0,11471	-0,05429	20,73762	0,11397	-0,05324	20,71229	0,11301	-0,05308
11	22,72444	0,13798	-0,03577	22,62797	0,13943	-0,03485	22,59974	0,13523	-0,03442
12	24,57341	0,06956	-0,02226	24,47586	0,07116	-0,02171	24,44551	0,06927	-0,02152
13	26,39637	0,10410	-0,00577	26,29981	0,10545	-0,00502	26,26772	0,10473	-0,00519
14	28,20521	0,06192	-0,00217	28,11005	0,06287	-0,00186	28,07618	0,06194	-0,00201
15	29,99090	0,07161	0,00611	29,89517	0,07232	0,00677	29,86025	0,07059	0,00641
16	31,76947	0,05549	0,00635	31,67255	0,05666	0,00718	31,63696	0,05530	0,00680
17	33,52953	0,04845	0,00719	33,43270	0,04934	0,00764	33,39666	0,04850	0,00758
18	35,27637	0,04342	0,00690	35,17981	0,04435	0,00739	35,14368	0,04362	0,00704
19	37,01783	0,01476	0,00324	36,92185	0,01672	0,00382	36,88517	0,01507	0,00333
20	38,75229	0,01388	0,00304	38,65672	0,01498	0,00331	38,61972	0,01417	0,00339

Příloha P39. Deformace výlisku zjištěná numerickou simulací

Mazivo: AC PL 3802-39LV + AP 167/22

Rychlosť posuvu beranu stroje $v_n=1 \text{ mm s}^{-1}$.

Kontaktní pídržovací tlak $p=2 \text{ MPa}$.

č el.	Materiál								
	Salzgitter PRETEX			Sollac EDT			Voest EBT		
	x [mm]	$\varphi_1 [-]$	$\varphi_2 [-]$	x [mm]	$\varphi_1 [-]$	$\varphi_2 [-]$	x [mm]	$\varphi_1 [-]$	$\varphi_2 [-]$
1	1,09431	0,20702	-0,28522	1,09050	0,20274	-0,28362	1,09480	0,20666	-0,28785
2	3,28059	0,15393	-0,27602	3,26822	0,15195	-0,27423	3,28078	0,14803	-0,27595
3	5,44574	0,00696	-0,26695	5,42230	-0,01038	-0,26343	5,44211	-0,00415	-0,26483
4	7,60439	0,12241	-0,23760	7,56985	0,11218	-0,23414	7,59353	0,12957	-0,23491
5	9,80046	0,24432	-0,20273	9,75845	0,24063	-0,19901	9,77836	0,23597	-0,19974
6	12,01235	0,24073	-0,16368	11,96579	0,23397	-0,15894	11,97429	0,23302	-0,16070
7	14,20180	0,21665	-0,13615	14,15524	0,22136	-0,13176	14,14504	0,21047	-0,13295
8	16,33460	0,22762	-0,10781	16,29149	0,23106	-0,10592	16,26081	0,22170	-0,10551
9	18,35131	0,14069	-0,08058	18,31137	0,14144	-0,07978	18,26784	0,13781	-0,07862
10	20,26577	0,10642	-0,05402	20,22720	0,10587	-0,05251	20,17794	0,10539	-0,05248
11	22,13536	0,12029	-0,03633	22,09814	0,12566	-0,03507	22,04450	0,11930	-0,03553
12	23,96739	0,06488	-0,02380	23,93115	0,06491	-0,02278	23,87452	0,06395	-0,02300
13	25,78019	0,09755	-0,00852	25,74414	0,09982	-0,00737	25,68499	0,09688	-0,00795
14	27,58060	0,05950	-0,00506	27,54529	0,05808	-0,00387	27,48359	0,05893	-0,00475
15	29,35849	0,06274	0,00498	29,32136	0,06615	0,00535	29,26065	0,06282	0,00510
16	31,12471	0,05396	0,00491	31,08544	0,05147	0,00551	31,02572	0,05394	0,00500
17	32,87594	0,04047	0,00471	32,83747	0,04117	0,00307	32,77615	0,04049	0,00477
18	34,61627	0,03658	0,00490	34,58146	0,04092	0,00398	34,51645	0,03692	0,00496
19	36,35173	0,01197	0,00254	36,31810	0,01188	0,00302	36,25197	0,01195	0,00254
20	38,08368	0,01154	0,00269	38,04695	0,01148	0,00209	37,98387	0,01156	0,00274

Příloha P40. Deformace výlisku zjištěná numerickou simulací

Mazivo: AC PL 3802-39LV + AP 167/22

Rychlosť posuvu beranu stroje $v_n = 10 \text{ mm s}^{-1}$.

Kontaktní přidržovací tlak $p = 2 \text{ MPa}$.

č el.	Materiál								
	Salzgitter PRETEX			Sollac EDT			Voest EBT		
	x [mm]	$\phi_1 [-]$	$\phi_2 [-]$	x [mm]	$\phi_1 [-]$	$\phi_2 [-]$	x [mm]	$\phi_1 [-]$	$\phi_2 [-]$
1	1,09614	0,20863	-0,28784	1,09392	0,20485	-0,28763	1,09581	0,20808	-0,28936
2	3,28535	0,15216	-0,27707	3,27666	0,14866	-0,27624	3,28341	0,14533	-0,27673
3	5,45199	0,00457	-0,26767	5,43323	-0,01255	-0,26449	5,44579	-0,00556	-0,26557
4	7,61046	0,12823	-0,23837	7,58137	0,12132	-0,23560	7,59771	0,13487	-0,23555
5	9,80149	0,24049	-0,20362	9,76283	0,23645	-0,20044	9,77829	0,23319	-0,20058
6	12,00317	0,23640	-0,16483	11,95442	0,22582	-0,16124	11,96351	0,22742	-0,16149
7	14,17911	0,21148	-0,13668	14,12269	0,21365	-0,13273	14,11963	0,20529	-0,13313
8	16,29795	0,22162	-0,10796	16,23647	0,22137	-0,10574	16,22111	0,21544	-0,10541
9	18,30715	0,13960	-0,08044	18,24399	0,13955	-0,07946	18,22054	0,13686	-0,07863
10	20,21960	0,10587	-0,05394	20,15665	0,10515	-0,05239	20,12843	0,10484	-0,05235
11	22,08742	0,11896	-0,03658	22,02489	0,12372	-0,03552	21,99317	0,11761	-0,03545
12	23,91818	0,06449	-0,02388	23,85577	0,06440	-0,02272	23,82176	0,06360	-0,02300
13	25,72979	0,09654	-0,00865	25,66695	0,09798	-0,00754	25,63080	0,09580	-0,00793
14	27,52908	0,05932	-0,00518	27,46672	0,05854	-0,00430	27,42778	0,05846	-0,00484
15	29,30627	0,06218	0,00495	29,24211	0,06634	0,00460	29,20370	0,06208	0,00508
16	31,07145	0,05345	0,00494	31,00626	0,04954	0,00549	30,96747	0,05329	0,00492
17	32,82218	0,04025	0,00481	32,75780	0,04401	0,00631	32,71728	0,04028	0,00488
18	34,56253	0,03670	0,00507	34,49971	0,04046	0,00580	34,45769	0,03722	0,00513
19	36,29786	0,01188	0,00261	36,23627	0,01214	0,00295	36,19311	0,01187	0,00264
20	38,02940	0,01141	0,00282	37,96613	0,01089	0,00282	37,92456	0,01141	0,00284

Příloha P41. Deformace výlisku zjištěná numerickou simulací

Mazivo: AC PL 3802-39LV + AP 167/22

Rychlosť posuvu beranu stroje $v_n = 1 \text{ mm s}^{-1}$.

Kontaktní přidržovací tlak $p = 4 \text{ MPa}$.

č el.	Materiál								
	Salzgitter PRETEX			Söllac EDT			Voest EBT		
	x [mm]	$\varphi_1 [-]$	$\varphi_2 [-]$	x [mm]	$\varphi_1 [-]$	$\varphi_2 [-]$	x [mm]	$\varphi_1 [-]$	$\varphi_2 [-]$
1	1,08267	0,19490	-0,26755	1,07888	0,19097	-0,26591	1,08172	0,19463	-0,26920
2	3,24561	0,17007	-0,25925	3,23373	0,16857	-0,25785	3,24351	0,16553	-0,26018
3	5,39202	0,04568	-0,25238	5,36947	0,03035	-0,24923	5,38869	0,02959	-0,25187
4	7,53628	0,04811	-0,22956	7,50012	0,03731	-0,22544	7,53029	0,06099	-0,22751
5	9,77351	0,28374	-0,20001	9,72316	0,26867	-0,19535	9,75267	0,27166	-0,19591
6	12,09285	0,28593	-0,16211	12,03343	0,28538	-0,15717	12,04595	0,27641	-0,15800
7	14,40602	0,26176	-0,13731	14,34552	0,26381	-0,13347	14,33406	0,25256	-0,13382
8	16,65806	0,27646	-0,10899	16,59969	0,27628	-0,10731	16,56287	0,26778	-0,10672
9	18,74052	0,14917	-0,08199	18,68539	0,15262	-0,08075	18,63131	0,14696	-0,07990
10	20,67331	0,11304	-0,05447	20,62001	0,11300	-0,05279	20,55859	0,11061	-0,05277
11	22,55916	0,13251	-0,03590	22,50586	0,13580	-0,03477	22,43993	0,13082	-0,03466
12	24,40354	0,06903	-0,02309	24,35013	0,06930	-0,02196	24,28120	0,06759	-0,02209
13	26,22488	0,10309	-0,00681	26,17212	0,10492	-0,00595	26,10087	0,10302	-0,00646
14	28,03204	0,06149	-0,00320	27,98084	0,06212	-0,00276	27,90701	0,06090	-0,00293
15	29,81433	0,06879	0,00571	29,76339	0,07065	0,00606	29,68777	0,06885	0,00583
16	31,58840	0,05344	0,00589	31,53719	0,05443	0,00665	31,45999	0,05293	0,00606
17	33,34579	0,04648	0,00705	33,29476	0,04784	0,00744	33,21652	0,04634	0,00709
18	35,09063	0,04122	0,00651	35,04006	0,04314	0,00665	34,96109	0,04137	0,00661
19	36,83053	0,01428	0,00268	36,78025	0,01478	0,00335	36,70065	0,01409	0,00282
20	38,56379	0,01324	0,00273	38,51337	0,01291	0,00321	38,43368	0,01326	0,00288

Příloha P42. Deformace výlisku zjištěná numerickou simulací

Mazivo: AC PL 3802-39LV + AP 167/22

Rychlosť posuvu beranu stroje $v_n = 10 \text{ mm s}^{-1}$

Kontaktní přidržovací tlak $p = 4 \text{ MPa}$.

č el.	Materiál								
	Salzgitter PRETEX			Sollac EDT			Voest EBT		
	x [mm]	$\varphi_1 [-]$	$\varphi_2 [-]$	x [mm]	$\varphi_1 [-]$	$\varphi_2 [-]$	x [mm]	$\varphi_1 [-]$	$\varphi_2 [-]$
1	1,08437	0,19722	-0,27128	1,08171	0,19403	-0,27077	1,08458	0,19803	-0,27364
2	3,25237	0,16666	-0,26295	3,24308	0,16452	-0,26226	3,25284	0,16363	-0,26463
3	5,40658	0,03097	-0,25744	5,38712	0,01044	-0,25452	5,40602	0,01488	-0,25738
4	7,56030	0,07670	-0,23302	7,52837	0,07272	-0,22964	7,55865	0,08953	-0,23116
5	9,78133	0,26881	-0,20111	9,73575	0,25497	-0,19789	9,77002	0,25823	-0,19732
6	12,05496	0,26729	-0,16278	11,99474	0,26082	-0,15890	12,02489	0,26001	-0,15908
7	14,31993	0,24477	-0,13741	14,24740	0,24326	-0,13354	14,26956	0,23688	-0,13400
8	16,52648	0,25793	-0,10881	16,44511	0,25458	-0,10714	16,45595	0,25064	-0,10645
9	18,58290	0,14618	-0,08149	18,49818	0,14714	-0,08019	18,50146	0,14460	-0,07945
10	20,50874	0,10970	-0,05429	20,42359	0,10948	-0,05235	20,42286	0,10763	-0,05258
11	22,38827	0,12839	-0,03595	22,30224	0,13013	-0,03464	22,29842	0,12701	-0,03470
12	24,22794	0,06762	-0,02314	24,14676	0,06741	-0,02172	24,13541	0,06612	-0,02211
13	26,04693	0,10181	-0,00724	25,97098	0,10279	-0,00622	25,95221	0,10136	-0,00660
14	27,85251	0,06105	-0,00368	27,77747	0,06142	-0,00293	27,75641	0,06054	-0,00332
15	29,63289	0,06753	0,00527	29,55789	0,06893	0,00561	29,53515	0,06719	0,00554
16	31,40458	0,05233	0,00554	31,32864	0,05305	0,00631	31,30498	0,05213	0,00578
17	33,16050	0,04540	0,00669	33,08424	0,04699	0,00718	33,06021	0,04535	0,00688
18	34,90452	0,04090	0,00612	34,82829	0,04249	0,00651	34,80399	0,04119	0,00625
19	36,64396	0,01403	0,00270	36,56756	0,01394	0,00351	36,54302	0,01381	0,00286
20	38,37658	0,01239	0,00257	38,30014	0,01273	0,00345	38,27548	0,01255	0,00268

Příloha P43. Deformace výlisku zjištěná numerickou simulací

Mazivo: AC PL 3802-39LV + AP 167/22

Rychlosť posuvu beranu stroje $v_n=1 \text{ mm s}^{-1}$

Kontaktní přidržovací tlak $p=6 \text{ MPa}$.

č el.	Materiál								
	Salzgitter PRETEX			Sollac EDT			Voest EBT		
	x [mm]	$\varphi_1 [-]$	$\varphi_2 [-]$	x [mm]	$\varphi_1 [-]$	$\varphi_2 [-]$	x [mm]	$\varphi_1 [-]$	$\varphi_2 [-]$
1	1,07206	0,18422	-0,25187	1,06882	0,18124	-0,25054	1,07361	0,18585	-0,25588
2	3,21473	0,17910	-0,24393	3,20412	0,17544	-0,24245	3,21804	0,17558	-0,24669
3	5,34142	0,08034	-0,23808	5,32201	0,07182	-0,23610	5,34362	0,06960	-0,23822
4	7,46935	0,01940	-0,22504	7,43794	0,00448	-0,22215	7,46471	0,01254	-0,22186
5	9,77316	0,30264	-0,20727	9,71828	0,28198	-0,20200	9,75082	0,30103	-0,20068
6	12,23258	0,34129	-0,17019	12,16138	0,34039	-0,16396	12,18624	0,32987	-0,16367
7	14,65260	0,28734	-0,13914	14,58379	0,29376	-0,13504	14,58421	0,28192	-0,13518
8	16,98937	0,31362	-0,10911	16,92602	0,31296	-0,10721	16,90499	0,30876	-0,10702
9	19,13322	0,16269	-0,08226	19,07284	0,16557	-0,08185	19,03851	0,15930	-0,08110
10	21,09040	0,12088	-0,05478	21,02936	0,11961	-0,05399	20,98853	0,11845	-0,05355
11	22,99314	0,14430	-0,03577	22,93106	0,14651	-0,03480	22,88739	0,14264	-0,03433
12	24,84932	0,07233	-0,02201	24,78655	0,07325	-0,02121	24,74083	0,07108	-0,02116
13	26,67591	0,10612	-0,00457	26,61396	0,10786	-0,00387	26,56604	0,10672	-0,00404
14	28,48677	0,06232	-0,00108	28,42642	0,06284	-0,00064	28,37621	0,06204	-0,00086
15	30,27627	0,07485	0,00674	30,21562	0,07593	0,00728	30,16384	0,07372	0,00711
16	32,05975	0,05696	0,00690	31,99823	0,05856	0,00765	31,94538	0,05667	0,00740
17	33,82261	0,04999	0,00761	33,76120	0,05113	0,00802	33,70782	0,05050	0,00797
18	35,57172	0,04550	0,00736	35,51041	0,04623	0,00777	35,45701	0,04523	0,00766
19	37,31497	0,01515	0,00350	37,25370	0,01660	0,00390	37,20020	0,01570	0,00361
20	39,05049	0,01461	0,00350	38,98944	0,01560	0,00399	38,93608	0,01489	0,00364

Příloha P44. Deformace výlisku zjištěná numerickou simulací

Mazivo: AC PL 3802-39LV + AP 167/22

Rychlosť posuvu beranu stroje $v_n=10 \text{ mm s}^{-1}$

Kontaktní přidržovací tlak $p= 6 \text{ MPa}$.

č el.	Materiál								
	Salzgitter PRETEX			Sollac EDT			Voest EBT		
	x [mm]	$\varphi_1 [-]$	$\varphi_2 [-]$	x [mm]	$\varphi_1 [-]$	$\varphi_2 [-]$	x [mm]	$\varphi_1 [-]$	$\varphi_2 [-]$
1	1,08040	0,19290	-0,26395	1,07742	0,18990	-0,26379	1,08220	0,19393	-0,26697
2	3,23906	0,17571	-0,25508	3,22970	0,17250	-0,25482	3,24171	0,17143	-0,25648
3	5,37861	0,05917	-0,24747	5,36080	0,04333	-0,24590	5,37918	0,04373	-0,24629
4	7,51396	0,02667	-0,22593	7,48595	0,01771	-0,22345	7,51218	0,03283	-0,22313
5	9,77377	0,29691	-0,19978	9,72191	0,27812	-0,19403	9,75206	0,28722	-0,19431
6	12,14613	0,30601	-0,16381	12,06494	0,29872	-0,15724	12,09016	0,29400	-0,15808
7	14,50031	0,27286	-0,13845	14,40656	0,27265	-0,13466	14,41959	0,26543	-0,13498
8	16,78169	0,28845	-0,10910	16,68103	0,28296	-0,10762	16,68083	0,27991	-0,10710
9	18,88458	0,15395	-0,08203	18,77901	0,15568	-0,08121	18,76888	0,15081	-0,08043
10	20,82530	0,11457	-0,05427	20,71887	0,11362	-0,05319	20,70341	0,11292	-0,05308
11	22,71705	0,13775	-0,03579	22,60858	0,13911	-0,03482	22,59054	0,13496	-0,03451
12	24,56571	0,06952	-0,02227	24,45606	0,07097	-0,02161	24,43606	0,06927	-0,02150
13	26,38862	0,10403	-0,00582	26,27974	0,10527	-0,00503	26,25797	0,10435	-0,00519
14	28,19743	0,06190	-0,00222	28,08990	0,06279	-0,00191	28,06614	0,06183	-0,00193
15	29,98299	0,07153	0,00608	29,87485	0,07224	0,00680	29,85006	0,07056	0,00650
16	31,76143	0,05547	0,00634	31,65201	0,05665	0,00729	31,62669	0,05513	0,00675
17	33,52142	0,04841	0,00717	33,41203	0,04927	0,00761	33,38636	0,04865	0,00747
18	35,26820	0,04338	0,00690	35,15908	0,04438	0,00744	35,13327	0,04349	0,00700
19	37,00962	0,01475	0,00323	36,90114	0,01672	0,00390	36,87458	0,01507	0,00335
20	38,74407	0,01384	0,00300	38,63592	0,01492	0,00339	38,60910	0,01409	0,00335